



Proyecto Arqueológico
L A C O R O N A

INFORME FINAL

Temporada 2013



Tomás Barrientos Q.
Marcello A. Canuto
Jocelyne Ponce

Guatemala, Febrero de 2014

© Proyecto Regional Arqueológico La Corona
17 Avenida "B" 0-76 Zona 15, Colonia El Maestro. 01015 Guatemala
lacorona.project@gmail.com

Edición General: Tomás Barrientos, Marcello Canuto y Jocelyne Ponce
Traducciones: Jocelyne Ponce y Tomás Barrientos

Edición electrónica en: <http://mari.tulane.edu/PRALC/research.html>

Figura de la portada: Vasija CR-V42. Plato Polícromo del tipo Saxché Palmar, Variedad Huisquil, encontrado en la Ofrenda 1 de la Estructura 13R-10 (CR16C-23-6-9).

Dibujo por Cassandra Sansregret

CONTENIDO

Capítulo I	
Proyecto Regional Arqueológico La Corona: Objetivos y Antecedentes de la Temporada 2013	
<i>Tomás Barrientos y Marcello Canuto</i>	1
Capítulo II	
Operaciones CR20E y CR20R: Excavaciones en los Túneles del Palacio de La Corona	
<i>Eduardo Bustamante</i>	21
Capítulo III	
Operación CR20F: Excavaciones en la Estructura 13Q-4F en el Patio Norte del Palacio de La Corona	
<i>Máxime Lamoureux St.-Hilaire</i>	41
Capítulo IV	
Operación CR32: Excavaciones en las Estructuras 13Q-2 y 13Q-25, Temporada 2013	
<i>María Antonieta Cajas</i>	61
Capítulo V	
Operación CR16: Excavaciones en la Estructura 13R-10, Temporada 2013	
<i>Jocelyne Ponce Stokvis</i>	83
Capítulo VI	
Operación CR117: Excavaciones en la Estructura 13R-7, Temporada 2013	
<i>Jocelyne Ponce Stokvis</i>	145
Capítulo VII	
Análisis Preliminar de las Vasijas provenientes de la Estructura 13R-10, Temporada 2013	
<i>Caroline Parris y Tomás Barrientos</i>	155
Capítulo VIII	
Resultados de Análisis Paleobotánicos de Muestras Macrobotánicas	
<i>Clarissa Cagnato</i>	179
Capítulo IX	
Resultados de Análisis de Restos Microbotánicos de La Corona: 2009-2013	
<i>Cristina Guirola de Newell</i>	191
Capítulo X	
Análisis de Restos de Fauna del Entierro 6 de La Corona	
<i>Diana Fridberg</i>	235

Capítulo XI	
Resultados Generales y Conclusiones de la Temporada 2013	
<i>Marcello Canuto y Tomás Barrientos</i>	243
Bibliografía	265

Índice de Figuras

No. Página

Capítulo I

Figura 1.1 Sitios principales en el área de PRALC	7
Figura 1.2. Mapa con elevaciones (zonas amarillas son las más altas) localizando los 46 sitios registrados en la zona de estudio PRALC hasta 2012	7
Figura 1.3 Ubicación de La Corona al oeste de la Meseta Cárstica Central	8
Figura 1.4 Mapa tridimensional de La Corona, Temporada 2012	9
Figura 1.5 La Corona, Plaza Principal.....	10
Figura 1.6 La Corona, Grupo Coronitas	10
Figura 1.7 Secuencia dinástica de La Corona durante la “Era Dorada”	12
Figura 1.8. Zona de Estudio con límites aproximados	16
Figura 1.9. Mapa de la RBM con zonas naturales recuperadas desde 2008, donde se incluye el Corredor Biológico La Corona	16
Figura 1.10 Delimitación del sitio La Corona y ubicación del Campamento del PRALC	17
Figura 1.11 Edificios de oficina y bodega de materiales y herramientas, campamento PRALC	18
Figura 1.12 Ranchos para carpas de personal operativo y profesional, campamento PRALC	18

Capítulo II

Figura 2.1 A) Fragmento de tapadera encontrada en la Temporada 2013 (CR-V32) y B) Dibujo de fragmentos de tapadera encontrados en las temporadas 2012 y 2013 ...	24
Figura 2.2 Muro interior Oeste, Cuarto No. 3 Estructura <i>Ahk</i>	25
Figura 2.3 Planta de excavación de la Estructura <i>Ahk</i>	26
Figura 2.4 Entrada clausurada que unía el Cuarto No. 3 con el Cuarto No. 2	27
Figura 2.5 Planta de la Estructura <i>Wo</i>	28
Figura 2.6 Trono/Banca encontrado en la Estructura <i>Wo</i>	29
Figura 2.7 Corte Sección Central de la Estructura <i>Wo</i>	30
Figura 2.8 Perfil del muro interno del Cuarto No. 1, Estructura <i>Wo</i>	31
Figura 2.9 Entrada Oeste vista desde Cuarto No. 2, Estructura <i>Wo</i>	31
Figura 2.10 Plano de excavación en túneles, Fase Coccochan	33
Figura 2.11 Fachada Sur del basamento de la Fase Halcón	34
Figura 2.12 Banqueta decorativa adosada a la Fachada Sur del basamento de la Fase Halcón.....	35
Figura 2.13 Perfil Norte de la Unidad CR-20R-1	37
Figura 2.14 Perfil Norte de la Unidad CR-20E-6.....	38
Figura 2.15 Reconstrucción hipotética del Grupo del Palacio en la Fase Coccochan	40

Capítulo III

Figura 3.1 Perfil Norte de la Estructura 13Q-4F	43
Figura 3.2 Detalle de piedras de bóveda colapsadas	45
Figura 3.3 Fragmentos de estuco modelado con impresión negativa en su superficie ventral	46
Figura 3.4 Planta de excavaciones realizadas en la Estructura 13Q-4F	48
Figura 3.5 Reconstrucción artística en perspectiva de la versión terminal de la Estructura 13Q-4F	49
Figura 3.6 Reconstrucción artística en perspectiva del interior de la Estructura 13Q-4F, visto desde la parte posterior	51

Figura 3.7 Detalles estructurales de las bases para sostener cortinas. Plantas, perfiles (Cortineras 1 y 2) y foto (Cortinera 5).....	52
Figura 3.8 Perfiles de las once bases para sostener cortinas recuperadas	52
Figura 3.9 Foto e Ilustración del bloque tallado (medidas 27 x 15 cm).....	53
Figura 3.10 Rasgo de artefactos encontrado sobre Piso 3	55
Figura 3.11 Fragmento de tambor de cerámica portátil.....	55
Figura 3.12 Planta de la Subunidad de la Banca	58

Capítulo IV

Figura 4.1 A) Ubicación de las unidades de excavación en las estructuras 13Q-2 y 13Q-25. B) Unidades de excavación realizadas de 2008 a 2013 en las estructuras 13Q-2, 13Q-6 y 13Q-25	62
Figura 4.2 Perfil Este del muro de la Estructura 13Q-25	63
Figura 4.3 Foto del relleno de la Estructura 13Q-25	64
Figura 4.4 Foto de los bloques de piedras talladas que fueron reutilizadas como relleno de la plataforma 13Q-25.....	64
Figura 4.5 Fragmentos de piedras de moler de diversas formas reutilizadas como relleno en 13Q-25	65
Figura 4.6 Dibujo de planta que muestra parte de los muros de la Estructura 13Q-25, frente a la escalinata de la Estructura 13Q-2	66
Figura 4.7 Dibujo de planta de la esquina norte de los primeros cuatro escalones de 13Q-2 y un bloque de mampostería, adosado al Muro Oeste de 13Q-25.....	68
Figura 4.8 Bloques de contrahuella del cuarto escalón de 13Q-2 y bloques de la primera terraza.....	69
Figura 4.9 Perfil Este-Oeste de la esquina norte de la escalinata de la Estructura 13Q-2	70
Figura 4.10 Perfil Sur de la esquina sur de la escalinata de 13Q-2, mostrando dos fases constructivas y una última etapa constructiva o remodelación que quedó inconclusa.....	71
Figura 4.11 Perfil Este de las unidades CR32B-71 y CR32D-71A, que corresponden al primer, segundo y tercer escalón de 13Q-2	73
Figura 4.12 Unidades CR32B-71 y CR32D-71A y fases constructivas de la escalinata de 13Q-2	74
Figura 4.13 Perfil Norte de la escalinata de 13Q-2 que muestra dos fases constructivas	74
Figura 4.14 Cuarto de superestructura y fachada del muro posterior de 13Q-2 excavada en 2009.....	75
Figura 4.15 Trinchera excavada en 2011 que evidencia dos fases constructivas.....	76
Figura 4.16 Última fase constructiva de la escalinata de 13Q-2 y parte del Muro Este de la Estructura 13Q-25 excavada en 2012	78
Figura 4.17 Lado Norte de la escalinata que muestra los bloques de contrahuella removidos (al fondo) y las esquinas del primero y segundo escalón restituidas con otro material	78
Figura 4.18 En el límite norte de la escalinata, se excavó el relleno colocado en la última etapa constructiva que ocultó los bloques de Fachada Norte de la escalinata	79
Figura 4.19 Esquina norte y sur de la escalinata de 13Q-2, que evidencian dos fases constructivas. En la esquina sur pueden apreciarse los restos de mampostería que se agregaron sobre la fachada de la Fase A	79
Figura 4.20 Muro Este-Oeste de la Estructura 13Q-25 y primer escalón de la Estructura 13Q-2	81

Capítulo V

Figura 5.1 Mapa de los Grupos 13R-1 y 13R-II mostrando ubicación de la Estructura 13R-10	83
Figura 5.2 Ubicación de unidades de excavación con rasgos arquitectónicos de la última ocupación como referencia.....	87
Figura 5.3 Perfil Este mostrando niveles y lotes identificados esta temporada	88
Figura 5.4 Perfil Oeste mostrando niveles y lotes identificados esta temporada	89
Figura 5.5 Perfil Este mostrando los principales rasgos identificados	90
Figura 5.6 Ubicación de ofrendas encontradas en el eje central de la Estructura 13R-10	91
Figura 5.7 A) y B) Registro en el Perfil Oeste de la Unidad CR16A-45. C) Posibles piedras de muro que dividen la Escalinata Jeroglífica A y la Escalinata Jeroglífica 2. .	93
Figura 5.8 A) Fragmentos de posibles sellos. B) Caracol de piedra recuperado en el basurero (CR16A-45-6-13).....	94
Figura 5.9 Material malacológico recuperado en el basurero (CR16A-45-6-13). A) Ejemplares de caracoles. B) Concha nácar. C) y D) Conchas bivalvas	95
Figura 5.10 Posible machacador de piedra encontrado en el basurero (CR16A-45-6-13)	95
Figura 5.11 Ofrenda <i>in situ</i> (CR16A-45-6-14). A) Ubicación de los caracoles en relación a los cuencos. Efigie de jade o piedra verde dentro del cuenco inferior	96
Figura 5.12 Material recuperado como parte de la ofrenda (CR16A-45-6-14). A) Ejemplares de caracoles. B) Fragmentos de vasija CR-V34. C) Pendiente de jade o piedra verde.....	97
Figura 5.13 Materiales de ofrenda de posible mosaico hallado bajo la Escalinata Jeroglífica 2 (CR16A-45-8-15)	99
Figura 5.14 Posibles escalones o rasgos de contención bajo el Piso Aceituno. A) y B) Vista desde el sur. C) Vista desde la parte superior	103
Figura 5.15 Entierro 10 (CR16C-24a-13-33)	104
Figura 5.16 Materiales asociados al Entierro 10	105
Figura 5.17 Entierro 11 (CR16C-24a-13-35)	106
Figura 5.18 Fragmentos del plato Ixcario Naranja Polícromo Indeterminado asociado al Entierro 11(CR-V35).....	106
Figura 5.19 Planta de los entierros 10 y 11	107
Figura 5.20 Perfil Sur del muro de contención (CR16C-24b-4-19).....	108
Figura 5.21 Entierro 9 (CR16C-24b-11-17).....	111
Figura 5.22 Cráneo con collar de jade, incrustación dental y arete derecho <i>in situ</i>	111
Figura 5.23 Planta de rasgos del Piso Aceituno mostrando ubicación del Entierro 9, área donde se encontró la Ofrenda 3, muro de contención, huellas de poste y posibles escalones bajo el Piso Aceituno	112
Figura 5.24 Materiales asociados al Entierro 9. A) Collar de jade o piedra verde. B) Aretes de jade y concha. C) Cuentas de jade. D) Cuentas de <i>Spondylus</i> . E) Cuentas de concha marina	113
Figura 5.25 Fragmentos de cuenco de tipo indeterminado encontrado sobre el cráneo del individuo del Entierro 9 (CR-V36)	114
Figura 5.26 Huesos que no pertenecían al ocupante primario del Entierro 9, encontrados en el área de los pies	114
Figura 5.27 Piedras calizas que protegían la Ofrenda 3 antes de su excavación.....	115
Figura 5.28 Fragmentos de plato de la Ofrenda 3 <i>in situ</i>	116
Figura 5.29 Fragmentos de plato Palmar Naranja Polícromo (CR-V37) encontrado como parte de la Ofrenda 3.....	116

Figura 5.30 Fragmentos de cuenco Palmar Naranja Polícromo (CR-V38) encontrado como parte de la Ofrenda 3	116
Figura 5.31 Fragmentos de vaso Desquite Rojo sobre Naranja (CR-V39) encontrado como parte de la Ofrenda 3	117
Figura 5.32 Fragmentos de obsidiana y pedernal recuperados en la Ofrenda 3	117
Figura 5.33 Ofrenda 1 <i>in situ</i>	121
Figura 5.34 Fragmentos de cuenco Saxché Palmar Naranja Polícromo recuperado en la Ofrenda 1 (CR-V40). A) Interior. B) Exterior. C) Dibujo	121
Figura 5.35 Plato Saxché Naranja Polícromo variedad Huisquil (CR-V42) encontrado en la Ofrenda 1	122
Figura 5.36 Vaso Zacatal Crema Polícromo de la Ofrenda 1 (CR-V41)	123
Figura 5.37 Fragmento de concha y pedernal recuperados en la Ofrenda 1	123
Figura 5.38 Ubicación de las Ofrendas 1 y 2 en la Unidad CR16C-23	124
Figura 5.39 Ofrenda 2 <i>in situ</i>	125
Figura 5.40 Agrupación de vasijas <i>in situ</i> de la Ofrenda 2.....	125
Figura 5.41 Plato y fragmentos de huesos <i>in situ</i> de la Ofrenda 2	126
Figura 5.42 Fragmentos de vaso Zacatal Crema encontrado en la Ofrenda 2 (Vaso 1, CR-V44)	126
Figura 5.43 Fragmentos de vasija Tinaja recuperados en la Ofrenda 2	126
Figura 5.44 Fragmento del Vaso 2 de la Ofrenda 2 (CR-V45). A) Exterior. B) Interior	127
Figura 5.45 Vaso 3 de la Ofrenda 2 (CR-V46).....	127
Figura 5.46 Fragmento de cuenco Saxché Palmar recuperado en la Ofrenda 2 (CR-V43).....	127
Figura 5.47 Plato recuperado en la Ofrenda 2 (CR-V47).....	128
Figura 5.48 Cuentas de piedra verde y aro de concha asociados al plato de la Ofrenda 2	128
Figura 5.49 Alineación de piedras sobre el Piso Poité en las unidades CR16C-23 y CR16C-25	130
Figura 5.50 Huella de poste asociada al Piso Sacpá en la Unidad CR16C-23	131
Figura 5.51 Planta de la alineación de piedras sobre el Piso Poité y huella de poste asociada al Piso Sacpá	132
Figura 5.52 Alineación de piedras en la Unidad CR16C-26 que se une con el muro de contención expuesto en el Saqueo 2. A) Vista desde el oeste. B) Vista desde el sur. 134	
Figura 5.53 Muro de contención y posibles escalones en la Unidad CR16A-46	136
Figura 5.54 Planta de muro de contención y posibles escalones de la Unidad CR16A-46.....	137
Figura 5.55 Perfil Este mostrando temporalidades y pisos identificados	139

Capítulo VI

Figura 6.1 Mapa de los Grupos 13R-1 y 13R-II mostrando ubicación de la Estructura 13R-7	145
Figura 6.2 Fragmentos de piso de estuco sobre primer escalón	148
Figura 6.3 Vista desde el oeste de la excavación de las unidades CR117B-5 y CR117B-6.....	149
Figura 6.4 Planta de los rasgos de las unidades CR117B-5 y CR117B-6.....	150
Figura 6.5 Perfil Norte de las unidades CR117B-5 y CR117B-6.....	151
Figura 6.6 Perfil Sur de las unidades CR117B-5 y CR117B-6	152

Capítulo VII

Figura 7.1 Fragmento de vasija CR-V33.....	157
Figura 7.2 Fragmentos de vasija CR-V34	157
Figura 7.3 Vasija CR-V35 <i>in situ</i> , Entierro 11 (CR16C-24a-13-35)	160
Figura 7.4 Fragmentos de la vasija CR-V35 asociada al Entierro 11.....	160
Figura 7.5 Fragmentos de vasija CR-V36 del Entierro 9	161
Figura 7.6 Fragmento de Vasija CR-V37, Ofrenda 3.....	163
Figura 7.7 Fragmentos de Vasija CR-V38, Ofrenda 3	163
Figura 7.8 Fragmentos de Vasija CR-V39, Ofrenda 3	165
Figura 7.9 Fragmentos de Vasija CR-V40, Ofrenda 1	167
Figura 7.10 Vasija CR-V41, Ofrenda 1	167
Figura 7.11 Foto y dibujo de Vasija CR-V42, Ofrenda 1	170
Figura 7.12 Fragmentos de vasija Tinaja recuperados en la Ofrenda 2. A) Exterior y B) Interior	171
Figura 7.13 Fragmento de Vasija CR-V43, Ofrenda 2.....	173
Figura 7.14 Fragmentos de Vasija CR-V44, Ofrenda 2	173
Figura 7.15 Fragmentos de Vasija CR-V45, Ofrenda 2	175
Figura 7.16 Vasija CR-V46, Ofrenda 2.....	176
Figura 7.17 Vasija CR-V47, Ofrenda 2.....	178

Capítulo VIII

Figura 8.1 Posible semilla de Fabaceae.....	181
Figura 8.2 Semilla de <i>Oenothera</i>	182
Figura 8.3 Semilla de escobo.....	183
Figura 8.4 Semilla de <i>Zanthoxylum</i>	183
Figura 8.5 Semilla de <i>Psychotria</i>	184

Capítulo IX

Figura 9.1 Toma de muestras del depósito primario en Estructura 13R-10 (CR16B-2)	195
Figura 9.2 Preparación de muestras y reactivos para realizar el proceso de acetólisis	197
Figura 9.3 Utilización de centrifugadora, calentamiento de muestras en baño María, y muestras listas después de proceso de acetólisis en viales tipo eppendorff	197
Figura 9.4 Microscopio Leitz Laborlux S, objetivos del microscopio y vista de la cámara fotográfica utilizada para tomar fotografías de las muestras	200
Figura 9.5 Láminas con Azul de Metileno. Todas las láminas se montaron de la misma manera (portaobjeto con cubreobjeto, y rotuladas con el nombre de la muestra)	202
Figura 9.6 Software Macnification, version 2.0.1, para Apple OS X	203
Figura 9.7 Muestra A1-5-1. Fotografía tomada con aumento x40.	203
Figura 9.8 Ubicación de unidad CR16B-3a, en Estructura 13R-10	205
Figura 9.9 Ubicación de Estructura 13R-10	206
Figura 9.10 Ubicación de Unidad CR16C-4, en Estructura 13R-10	206
Figura 9.11 Ubicación de Unidad CR16C-6, en la Estructura 13R-10	207
Figura 9.12 Perfiles oeste y norte del <i>chultun</i>	208
Figura 9.13 Ubicación de Área de almacenaje, en la Estructura 13R-10.....	208
Figura 9.14 Cámara de almacenaje	209
Figura 9.15 Ubicación de la Unidad CR16B-2, en la Estructura 13R-10	209
Figura 9.16 Ubicación de la Operación CR16B-1A.....	210

Figura 9.17 Operación CR46-1, realizada en la Aguada Real.....	211
Figura 9.18 Mapa del sitio arqueológico La Corona con las ubicaciones de donde se tomaron muestras de tierra en los cibles.....	211
Figura 9.19 Operación CR46-3, realizada en Cibal Pato. Se puede apreciar la toma de muestras de tierra de uno de los perfiles del pozo, con un tubo de PVC para no contaminar la muestra.....	212
Figura 9.20 Operación CR45-1 (izquierda) y Operación CR45-2 (derecha), realizadas en Cibal “El Jabirú”	212
Figura 9.21 Ubicación de operaciones CR41, CR48C y CR42B	213
Figura 9.22 Unidad CR41-2	213
Figura 9.23 Depósito de cerámica y piso de estuco de la Estructura 13R-40	214
Figura 9.24 Operación CR20A-13, realizada en el Palacio Real de la Plaza Principal de La Corona	215
Figura 9.25 Dibujo de planta de excavaciones de la Unidad CR20A-13	215
Figura 9.26 Estructura 13Q-2, donde se puede apreciar en color rojo la Unidad CR32D-17 y CR32D-23	216
Figura 9.27 Ubicación de Unidad CR32D-26, frente a Estructura 13Q-2	217
Figura 9.28 Incensario encontrado en el Lote 3 de la Unidad CR32D-26	217
Figura 9.29 <i>Pluricellaesporites</i> van der Hammen 1954 (izquierda). Muestra B1-1, perteneciente al Morfotipo 42 (derecha)	219
Figura 9.30 <i>Anatolinites alaskensis</i> Elsik (izquierda). Muestra B1-7, perteneciente al Morfotipo 44 (derecha).....	219
Figura 9.31 Algunas especies de <i>Triporicellaesporites</i> Ke & Shi 1978 (izquierda). Muestra B1(2)-27, perteneciente al Morfotipo 60.....	220
Figura 9.32 <i>D. communis</i> Ke & Shi 1978 (izquierda). Muestra A2(3)-2, perteneciente a Morfotipo 157.....	220
Figura 9.33 Imagen de <i>Metaxya rostrata</i> (HBK.) (izquierda). Imagen de Muestra A1(3)-9, perteneciente a Morfotipo 32 (derecha).....	220
Figura 9.34 Imagen de la muestra B1(2)-18, perteneciente al Morfotipo 52	221
Figura 9.35 Imágenes de <i>Asplenium falcinellum</i> Maxon.	221
Figura 9.36 Imágenes de la especie <i>Blenchum serralatum</i> L. (izquierda). Imagen de la muestra A1(2)-8, perteneciente al Morfotipo 26 (derecha).	221
Figura 9.37 Imagen de muestra A1-20.	222
Figura 9.38 Imágenes de <i>Anthurium gracile</i>	222
Figura 9.39 Imágenes de <i>Desmoncus panamensis</i>	222
Figura 9.40 Imagen de <i>Acacia riparia</i> (<i>Ibid</i>) (izquierda) y muestra B1(2)-28 (derecha).	222
Figura 9.41 Imágenes de <i>Eugenia uniflora</i> (<i>Ibid</i>) (izquierda) y muestra W1-3 (derecha)	222
Figura 9.42 Muestra de Pinus 1 (arriba) y Pinus 2 (abajo).....	223
Figura 9.43 Muestra de Pinus 3 (arriba) y Pinus 4 (abajo).....	223
Figura 9.44 Muestra de Pinus 5 (arriba) y Pinus 6 (abajo).....	223
Figura 9.45 Gráfica de muestras de polen y esporas obtenidas en el sitio arqueológico La Corona. Valores Absolutos.....	224
Figura 9.46 Total de Morfotipos por Contexto	227
Figura 9.47 Distintos Morfotipos por contexto (que no se repiten en el mismo contexto)	228
Figura 9.48 Distribución de muestras de pino a través del tiempo.....	229
Figura 9.49 Distribución de helechos identificados a través del tiempo	229
Figura 9.50 Distribución de hongos identificados a través del tiempo	230

Figura 9.51 Distribución de plantas superiores que se pudieron identificar a través del tiempo	230
--	-----

Capítulo X

Figura 10.1 CAT. 01188. CR15A-1a-25. Ejemplo de fauna intrusivo (tibia izq. de roedor)	239
Figura 10.2 Caparazón de tortuga reconstruido del Entierro 6	239
Figura 10.3 Osteodermos de cocodrilo del Entierro 6.....	241
Figura 10.4 Fragmento de premaxilar de <i>Crocodylus</i> sp.....	241

Capítulo XI

Figura 11.1 Mapa de la supuesta ruta entre Calakmul y Cancuen	244
Figura 11.2 Mapa de la ruta <i>Kaanal</i> y la ubicación de Las Guacamayas	245
Figura 11.3 Estructura principal de Las Guacamayas	246
Figura 11.4 Tapadera de vaso proveniente del Palacio	247
Figura 11.5 Plato proveniente de la Ofrenda 1, Estructura 13R-10	248
Figura 11.6 Platos de “estilo La Florida” proveniente de una colección privada en Bruselas (izquierda) y de Pomoná (derecha).....	248
Figura 11.7 Mapa de la ruta <i>Kaanal</i> y su posible conexión con La Florida.....	249
Figura 11.8 Mapa de La Corona indicando grupos trabajados en 2013	250
Figura 11.9 Reconstrucción de los edificios de la Fase Cocoman.....	252
Figura 11.10 Reconstrucción artística de la Estructura 13Q-4F.....	254
Figura 11.11 Perfil de la Fachada Norte, escalinata principal de la Estructura 13Q-2 ...	257
Figura 11.12 Ubicación de pisos y ofrendas encontradas en el eje central de la Estructura 13R-10.....	262
Figura 11.13 Ubicación de ofrendas encontradas en el eje central de la Estructura 13R-10	263

Listado de Tablas

No. Página

Tabla 5.1 Correlación de fases de la historia cultural de La Corona con las fases identificadas en el Grupo Coronitas y en las estructuras 13R-9 y 13R-10.....	143
Tabla 8.1 Muestras macrobotánicas exportadas y analizadas	180
Tabla 8.2 Muestras de almidón exportadas para análisis	186
Tabla 9.1 Muestras del sitio arqueológico La Corona.....	199
Tabla 9.2 Fechamiento de unidades y niveles, basándose en la evidencia cerámica	218
Tabla 10.1 Cuantificación de restos por clase	237
Tabla 10.2 Cuantificación de restos por lote	237
Tabla 10.3 Taxones representados.....	238

NOTA ACLARATORIA

En el presente informe se hace referencia a una nomenclatura de monumentos actualizada, cuyo listado de Monumentos y Monumentos Saqueados se encuentra en el Apéndice 1.

CAPÍTULO I

PROYECTO REGIONAL ARQUEOLÓGICO LA CORONA: OBJETIVOS Y ANTECEDENTES DE LA TEMPORADA 2013

Tomás Barrientos y Marcello A. Canuto

Después de siete temporadas de campo entre 2005 y 2012, el sitio arqueológico La Corona es, junto a El Perú/Waka', el centro más importante de la región noroccidental de Petén, especialmente por su papel histórico en el desarrollo de la dinastía *Kaanal* durante el período Clásico. El Proyecto Regional Arqueológico La Corona (PRALC) continuó en 2013 sus actividades, para recuperar más información arqueológica del sitio y proteger el patrimonio cultural y natural de la zona sur del Corredor Biológico La Corona. PRALC constituye un esfuerzo conjunto de varias personas e instituciones, especialmente la Universidad de Tulane y la Universidad del Valle de Guatemala, representadas por sus directores, el doctor Marcello A. Canuto y el Magíster Tomás Barrientos, respectivamente.

Modalidad de la investigación

Las investigaciones realizadas en 2013 se circunscriben dentro de los incisos “4”, “5” y “6” del Artículo 6, Capítulo I, del Reglamento para Desarrollar Proyectos de Investigación Arqueológica de la Dirección General del Patrimonio Cultural y Natural del Ministerio de Cultura y Deportes, Acuerdo Ministerial 001-2012 (MCD 2012), los cuales literalmente dicen:

- 4. Investigaciones integrales a largo plazo e interdisciplinarias sobre las sociedades desaparecidas, las que requieren de excavaciones de sitios, así como de la protección, conservación y restauración de bienes muebles e inmuebles que lo ameriten.*
- 5. Investigaciones que no impliquen excavación, que conlleven el estudio de las evidencias expuestas, como son los análisis sobre arquitectura, pintura mural, epigrafía, iconografía y otros, actividades que requieren fotografía especial, dibujos, copias y otras técnicas documentales.*
- 6. Estudios de gabinete sobre patrimonio cultural mueble depositado en museos, laboratorios, bodegas y colecciones en general.*

Justificación

El estudio del sitio La Corona y la región noroccidental de Petén representa una oportunidad para mejorar el entendimiento de las relaciones políticas de la cultura Maya en el período Clásico y la variabilidad de manifestaciones durante el Preclásico. A simple vista La Corona parece ser un sitio de tamaño modesto y de importancia limitada, pero sus numerosos y detallados monumentos jeroglíficos desmienten esta simple caracterización. A pesar de tener un aspecto común para un sitio del período Clásico, La Corona representa una de las fuentes más importantes de información sobre el sitio colosal de Calakmul, y los datos históricos indican que funcionó como centro secundario durante la expansión de este último.

Asimismo, las investigaciones en La Corona constituyen una colaboración científica contra la depredación natural y saqueo arqueológico de la zona, la cual es una de las menos investigadas del Petén, especialmente los casi 40 km entre este sitio y la frontera norte de Guatemala. La ubicación de varios sitios importantes en una zona desconocida justifica entonces el interés en la investigación de La Corona y sus alrededores.

Planteamiento Teórico

El alcance del proyecto plantea un estudio amplio de varios temas básicos y fundamentales en los estudios arqueológicos de la cultura Maya. El estudio de la región ofrece una oportunidad única para:

- 1) Entender la organización sociopolítica de los mayas del período Clásico (250-900 d.C.) a través de la relación entre capitales regionales y sitios secundarios.
- 2) Estudiar como el desarrollo y declive socio-político Maya se relacionan con su adaptación al ambiente de las Tierras Bajas Centrales.
- 3) Investigar la extensión de la civilización Maya del periodo Preclásico hacia el oeste y su relación y/o comunicación con las civilizaciones mesoamericanas contemporáneas en la región del istmo y Golfo de México.
- 4) Apoyar los esfuerzos para el rescate, protección y conservación del patrimonio cultural y natural en el Noroccidente del Peten.

1. Entender la organización sociopolítica de los Mayas Clásicos

Las investigaciones del Proyecto Regional Arqueológico La Corona se enfocan en el registro, inventario e investigación de los sitios de la región noroccidental de Petén. Esta zona representa uno de los lugares menos estudiados de las Tierras Bajas Mayas Centrales, a pesar que se cuenta con uno de los conjuntos de inscripciones más grandes de las Tierras Bajas. Las investigaciones epigráficas han revelado una historia de estrechas relaciones políticas entre Calakmul y La Corona. Sin embargo, resulta inesperado que a pesar de estar tan vinculada a la dinastía de Calakmul, la familia real de La Corona carece del título de *k'ujul ajaw*, por lo que al sitio no se identifica por medio de un glifo emblema. Por lo tanto, desde el punto de vista de los modelos de la organización política Maya, La Corona presenta una serie de contradicciones que se pueden esclarecer por medio de la investigación arqueológica. Es probable que La Corona no fuese un centro secundario gobernando por aliados de Calakmul de forma típica, sino era un centro de función e importancia pragmática, como una *colonia*, *puesto fronterizo*, u *estación de abastecimiento remota* de Calakmul, a cargo de un ramal de la propia dinastía de Calakmul.

Esta interpretación se ha apoyado por medio de: 1) textos jeroglíficos que relatan detalles de la relación entre estos dos sitios, 2) la relación entre el paisaje y los patrones de asentamiento, y 3) las relaciones espaciales entre los sitios, especialmente en relación con las fronteras políticas antiguas entre reinos distintos.

Por razones todavía poco comprendidas, La Corona representaba una punto de importancia estratégica para los gobernantes de Calakmul en su expansión territorial en los siglos VI y VII d.C. y la competencia con Tikal para adquirir control de las rutas y recursos de las Tierras Bajas (Canuto y Barrientos 2013a). Además, el estudio de PRALC está contribuyendo a corregir el desnivel de datos históricos entre las dos grandes capitales Mayas, complementando la información ya obtenida de investigaciones realizadas en la zona de Campeche, en sitios como Calakmul (Benavides 2005), Oxpemul (Šprajc, Folan y González 2005, Robichaux y Pruett 2005), Dzibanché (Martin 2005, Velásquez 2008) y Uxul (Grube 2007). También se ha complementado la interpretación de otras zonas estratégicas, como la de Waka'/El Perú en el Río San Pedro Mártir (Freidel y Escobedo 2004, Freidel y Escobedo 2005, Freidel y Escobedo 2006, Freidel y Escobedo 2007, Freidel *et al.* 2007) y el antiguo reino de *Hix Witz'* en la zona de La Joyanca (Arnauld, Breuil-Martínez y Ponciano 2004) y Zapote Bobal (Fitzsimmons 2006).

2. Aprovechamiento prehispánico del medio ambiente en el Occidente de Petén

Otra contribución del proyecto es el estudio de la relación del medioambiente con el desarrollo de la civilización Maya Clásica, en especial en la zona de humedales donde se encuentra La Corona. El estudio de los pantanos en el Petén occidental incluye aspectos topográficos, ecológicos y de vegetación para construir un modelo de cómo las poblaciones antiguas aprovecharon los recursos de la zona. Se están estudiando muestras zoológicas, palinológicas y químicas que revelarán patrones de uso de recursos naturales, lo que se complementa con investigación de las fluctuaciones en la temperatura y precipitación en el área durante el milenio de su asentamiento. Los datos ayudarán a reconstruir el medio ambiente del período Clásico y también evaluar el papel de las fluctuaciones climatológicas en el abandono de la región en el Clásico Terminal.

3. La civilización maya preclásica y sus contactos hacia el occidente de Mesoamérica

Una de las interrogantes más importantes de los estudios mayas contemporáneos es el alcance y escala de la Civilización Maya Preclásica. Se han identificado materiales preclásicos en los sitios de La Corona y El Achiotal, y teniendo este último una ocupación continua del Preclásico Medio al Clásico Temprano. Se espera entonces ampliar y complementar los datos recabados en otras regiones, en especial la de El Mirador, por lo que cualquier otro sitio preclásico hallado en la región de estudio representará el rasgo preclásico Maya más occidental ahora conocido. Datos de esta época aclararán los enlaces que los Maya preclásicos mantuvieron con las civilizaciones contemporáneas de México, como los Olmecas.

4. Aspectos de manejo y protección de patrimonio cultural

Aparte de todos los cuestionamientos científicos, el Proyecto Regional Arqueológico La Corona contribuye a la protección y rescate del patrimonio cultural guatemalteco en la parte occidental de la Reserva de la Biósfera Maya. Además, el reconocimiento y mapeo científico apoya al monitoreo de las amenazas a la zona. Para ello se colabora con CONAP y WCS para compartir recursos y así para proteger los sitios contra los saqueadores, incendios forestales y el avance de agricultores y ganaderos.

Objetivos y metas de investigación:

De manera general, la temporada de investigación 2013 tuvo los siguientes objetivos y metas, enumerados desde los más específicos a los más generales:

- 1) Realizar excavaciones intensivas en el Palacio (Estructura 13Q-4) para identificar su secuencia constructiva y función de sus superestructuras.
- 2) Realizar excavaciones intensivas en la Estructura 13R-10 para identificar su secuencia constructiva.
- 3) Realizar excavaciones intensivas en la fachada de la Estructura 13Q-2 para entender su relación con la Estructura 13Q-2A y otras remodelaciones en su escalinata al final del período Clásico.
- 4) Llevar a cabo estudios cerámicos, osteológicos, paleozoológicos y paleobotánicos de los materiales recuperados a partir de las excavaciones realizadas.
- 5) Realizar análisis epigráficos de las inscripciones provenientes de nuevos monumentos, ya sea recuperados en excavaciones o de colecciones privadas.
- 6) Formular modelos políticos, económicos y culturales que expliquen la relación de La Corona y otros reinos Mayas asociados al Reino *Kaanal* entre los siglos VI y VIII d.C., así como sus relaciones con Tikal y otros sitios de las Tierras Bajas Mayas durante el Período Clásico.
- 7) Fortalecer las acciones de protección y conservación de la antigua ciudad de La Corona y los bienes culturales y naturales de la región de estudio.

Investigaciones previas

Los estudios llevados a cabo antes de 2009 proporcionaron una visión bastante preliminar de La Corona, y a partir de 2010 se iniciaron las investigaciones intensivas en la Plaza Principal y el Grupo Coronitas, incluyendo el descubrimiento de la Escalinata Jeroglífica 2 en 2012. A continuación se presenta una síntesis de los resultados alcanzados en las temporadas previas, que sirven como base para la realización de investigaciones en 2013.

Las investigaciones en la zona de La Corona iniciaron como resultado de la búsqueda del “Sitio Q”, que había sido relevante desde la década de 1970 en las discusiones referentes a la investigación del sistema político de los mayas clásicos. No se incluye la historia detallada estas

investigaciones, ya que esto ha sido incluido en los informes previos de PRALC de 2008 y 2009 (Canuto y Barrientos 2009, Barrientos y Canuto 2010).

En 2005 y 2006 se organizaron dos expediciones al sitio La Corona por parte del Proyecto El Perú-Waka', dirigido por David Freidel y Héctor Escobedo (Canuto *et al.* 2006, Canuto 2007, Acuña 2007, Marken y Guenter 2007). Las expediciones tenían como propósito investigar la correlación entre La Corona y el Sitio Q propuesta por Stuart (2001), lo que finalmente fue comprobado mediante el descubrimiento del Panel 1.

Dos años después, entre 2008 y 2012, se llevaron a cabo la primera, segunda, tercera, cuarta y quinta temporadas del Proyecto Regional Arqueológico La Corona (PRALC), dirigido por Marcello Canuto y Tomás Barrientos (Canuto y Barrientos 2009, Barrientos y Canuto 2010, Barrientos *et al.* 2011, Barrientos *et al.* 2012, Barrientos *et al.* 2013). Además, entre 2009 y 2011 se construyó un campamento permanente, el cual sirve como estación científica tanto para las investigaciones en el sitio de La Corona, sus alrededores y otros proyectos de carácter regional en la zona noroccidental de Petén. A continuación se presenta un resumen de los datos e interpretaciones más recientes de La Corona y su región asociada.

Asentamiento al occidente de la Reserva de la Biósfera Maya

Las temporadas 2010, 2011 y 2012 han incluido reconocimientos regionales, con el resultado del registro de 46 sitios (Figuras 1.1 y 1.2). A pesar del aparente éxito en el uso de imágenes satelitales de alta resolución para identificar sitios en otras áreas de la RBM, la técnica de identificar sitios por medio de su incidencia directa sobre la vegetación actual no ha generado resultados positivos en la zona de estudio de PRALC.

En respuesta, se ha estudiado el drenaje de suelos en relación a la topografía quebrada al este y la topografía plana al oeste. Usando el Índice de Posición Topográfica (Topographic Position Index o TPI) de la Geomorfometría, se ha definido un área de 302 km² que se mantiene arriba de los niveles normales de inundaciones temporales, y es allí precisamente donde se han identificado asentamientos prehispánicos. De estos sitios, más de la mitad han presentado material cerámico del periodo Preclásico, sugiriendo una importante ocupación de este período en la región de la RBM occidental, pero con características distintas a las encontradas en la meseta central cárstica al este y posiblemente compartiendo muchas similitudes con las ocupaciones preclásicas del suroccidente del Petén.

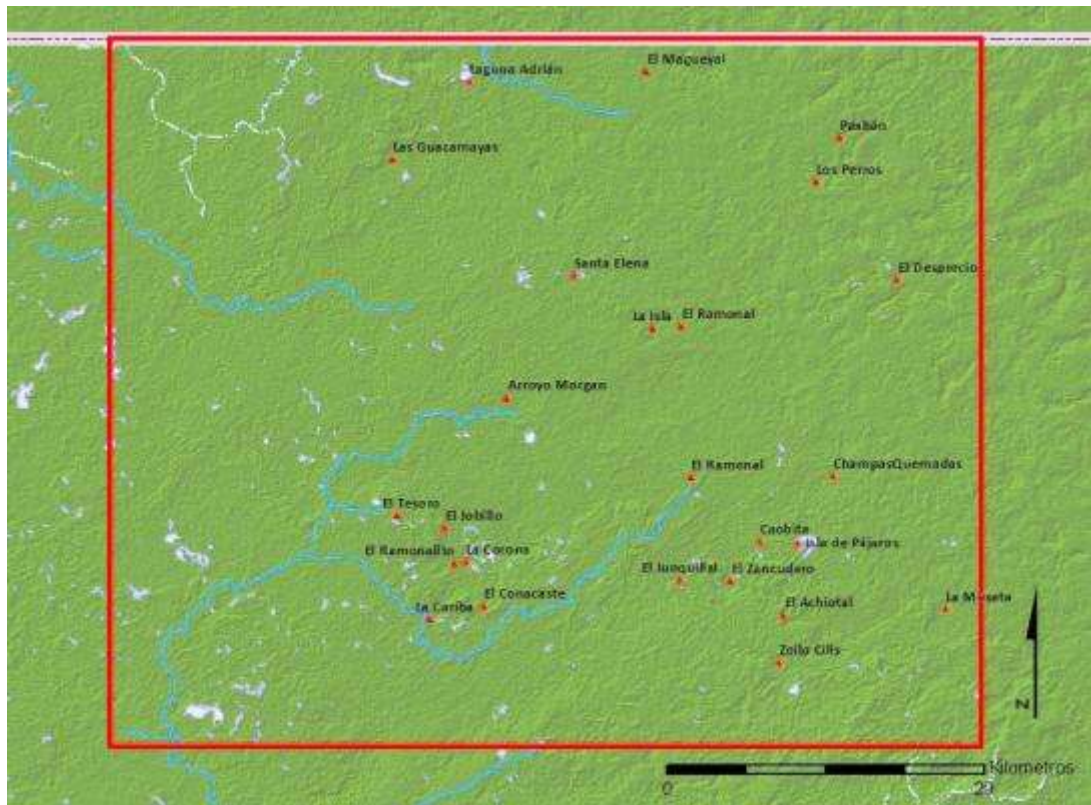


Figura 1.1 Sitios principales en el área de PRALC (Mapa por C. Chiriboga)

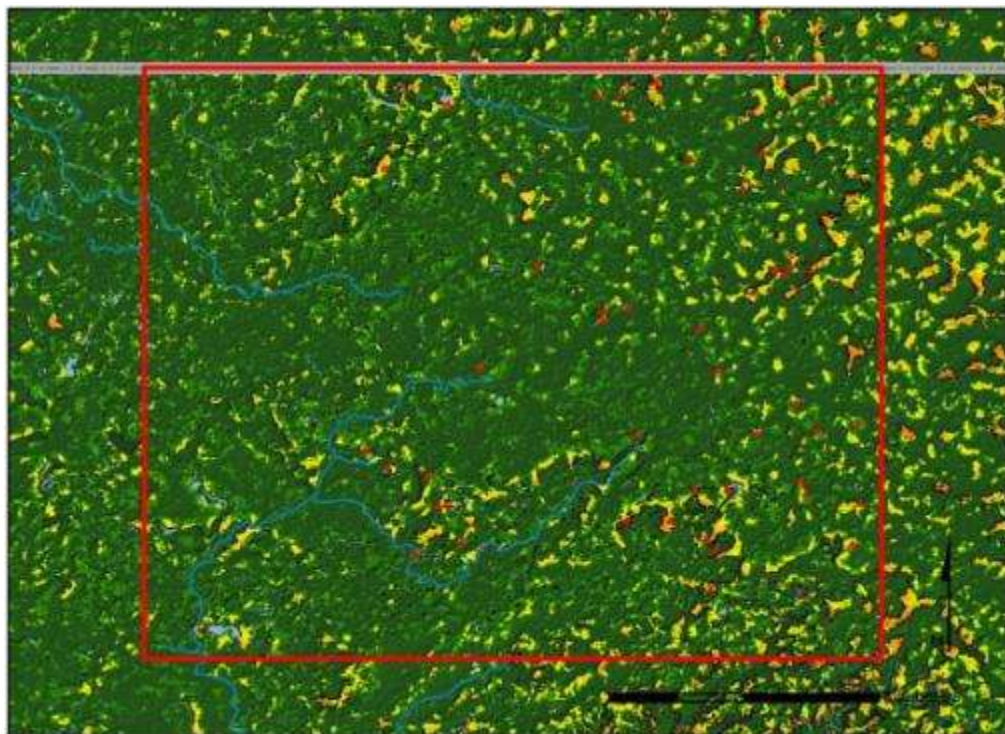


Figura 1.2 Mapa con elevaciones (zonas amarillas son las más altas) localizando los 46 sitios registrados en la zona de estudio PRALC hasta 2012 (Mapa por C. Chiriboga)

Patrón de asentamiento de La Corona

La Corona se localiza en el límite occidental de la Meseta Cárstica Central de la Reserva de la Biósfera Maya (RBM) y está dentro de una cadena de *sibales* en una zona que carece de ríos. La presencia de sitios en toda esta área es limitada hacia el oeste, ya que se inunda periódicamente y no es susceptible para el asentamiento humano. Hacia el este, el terreno se eleva continuamente en dirección a la meseta cárstica central de las Tierras Bajas, donde se ubican sitios como Tikal, Uaxactun, Naachtun y El Mirador. A unos pocos kilómetros al suroeste de La Corona se encuentran los nacimientos de los ríos Xan y Chocop, que drenan hacia el oeste hacia el Río San Pedro Mártir, el cual proveyó acceso hacia el Bajo Usumacinta y el Golfo de México (Figura 1.3).

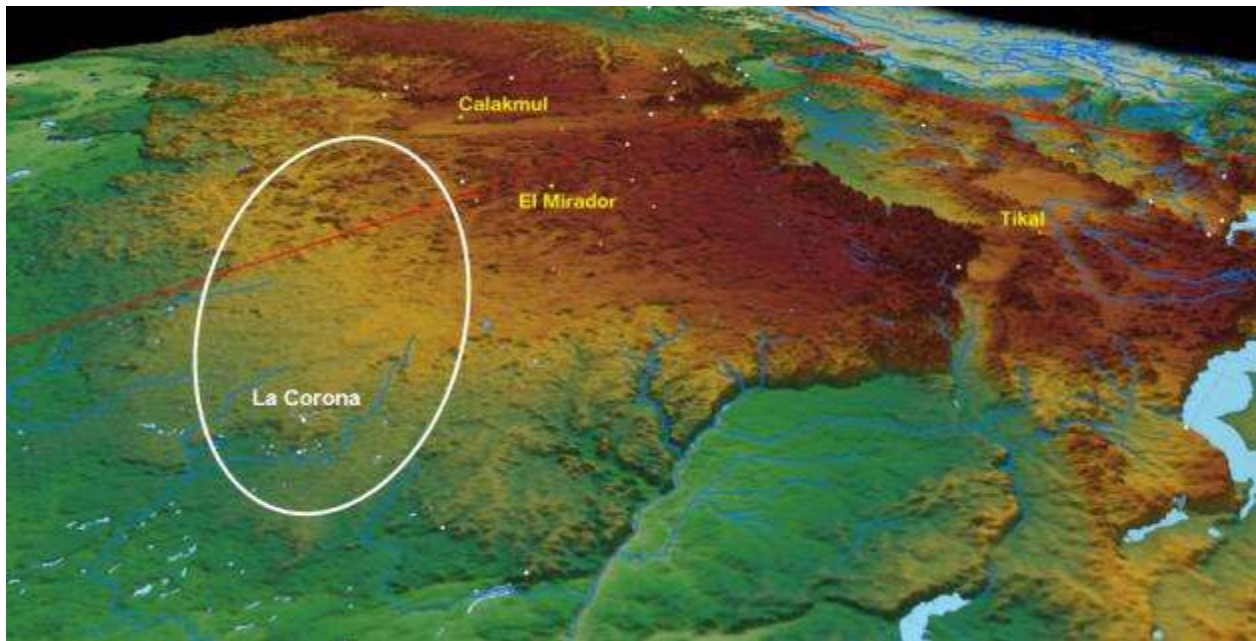


Figura 1.3 Ubicación de La Corona al oeste de la Meseta Cárstica Central (Mapa por M. Canuto)
Las áreas verdes son de menor altura y las de color café son de mayor altitud

Por lo tanto, La Corona es un sitio que está estratégicamente localizado en un área que tiene drenaje suficiente para permitir asentamiento durante todo el año y está rodeada por una riqueza de *sibales* de agua dulce. La Corona se compone de dos “complejos” arquitectónicos principales con una serie de grupos piramidales y grupos residenciales intercalados entre ellos (Figura 1.4).

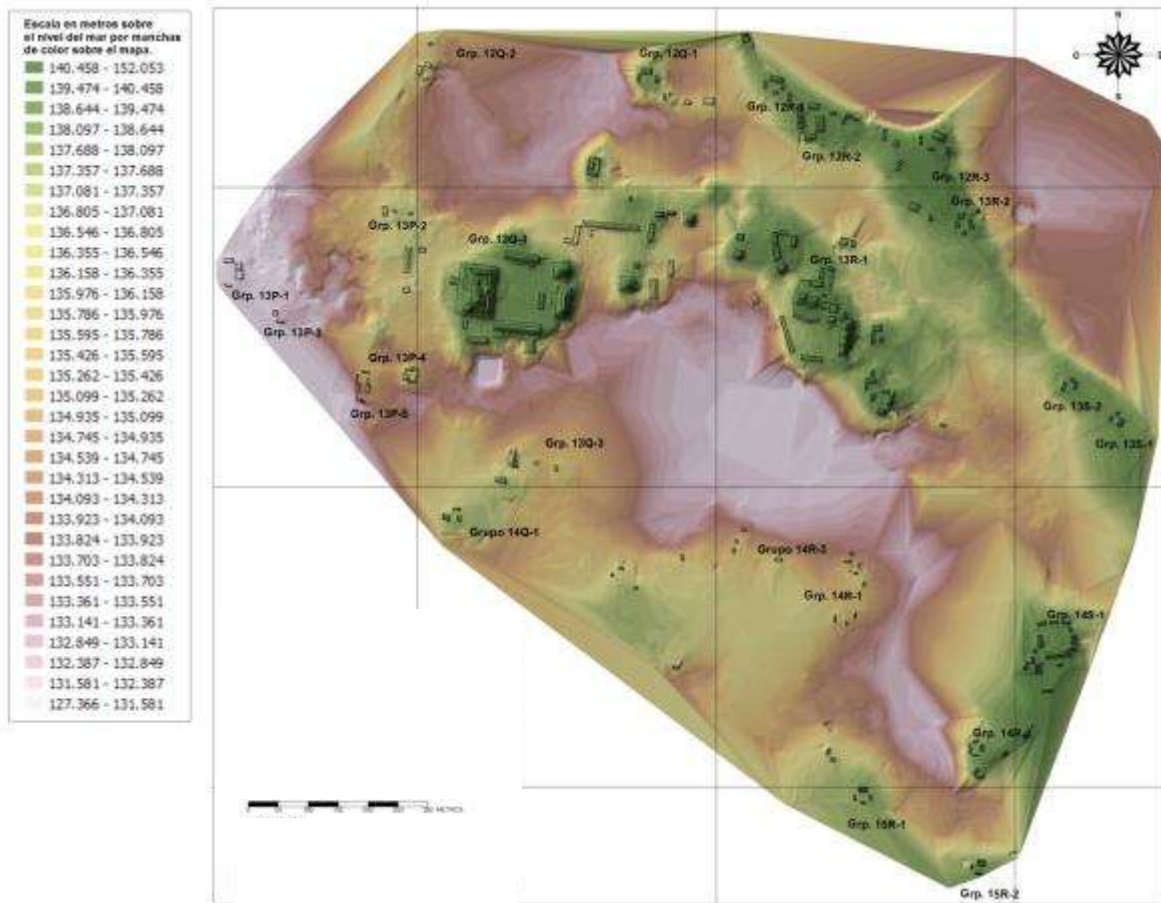


Figura 1.4 Mapa tridimensional de La Corona, Temporada 2012 (Mapa por R. Guzmán)

Los complejos de arquitectura monumental que definen el centro de La Corona tienen singularidades que los distinguen entre sí. El grupo al oeste —llamado “Grupo Principal”— está construido en una elevación natural entre los dos sibales “Pato” y “Colmoyote” al norte y sur, respectivamente. Consiste de una plaza estucada cuadrangular de aproximadamente 10,000 m² rodeada de edificios monumentales y donde se encuentra la mayoría de altares y estelas (Figura 1.5). Destaca el complejo Palacio (Estructura 13Q-4) en el lado oeste de la plaza, que es un edificio tipo acrópolis cuyo basamento cubre alrededor de 4,000 m² y se eleva 10 m sobre la plaza, sosteniendo 4 patios internos y 10 estructuras en su etapa final. Hacia el sur se encuentra una aguada cuadrangular que pudo ser la cantera original que resultó de la construcción del Grupo Principal.

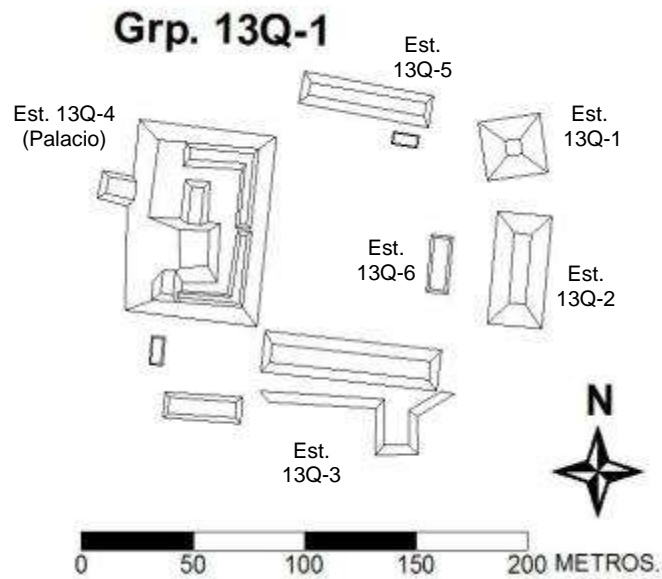


Figura 1.5 La Corona, Plaza Principal (Mapa realizado por R. Guzmán)

Por su parte, el Grupo Coronitas presenta características menos convencionales, donde destaca el conjunto de cinco pequeños templos alineados en eje norte-sur (Grupo 13R-I) y un grupo de templo y palacio en el límite norte del grupo (Grupo 13R-II). Hacia el sur y este, la plaza es casi abierta, ya que solamente presenta dos estructuras bajas y alargadas (Figura 1.6).

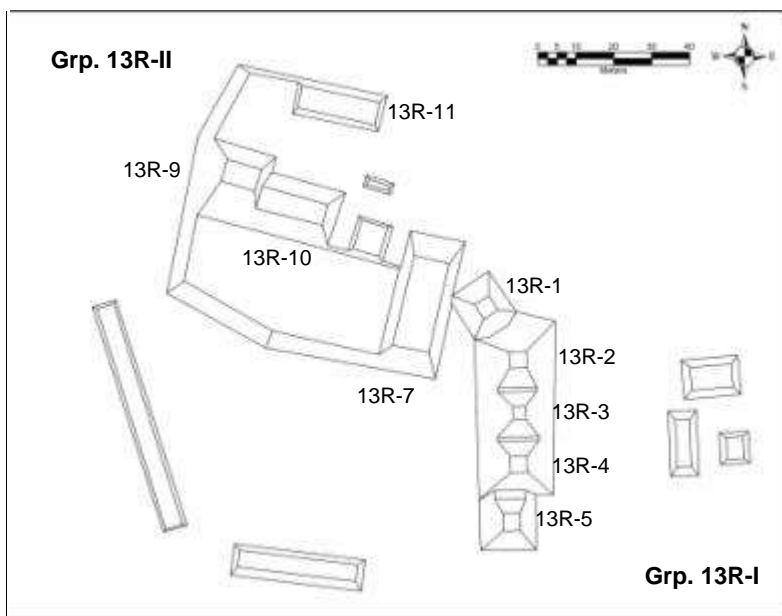


Figura 1.6 La Corona, Grupo Coronitas (Mapa por M. Canuto)

La Plaza Principal fue el escenario para actividades rituales y políticas de carácter público, dada la presencia de monumentos con inscripciones. Actualmente hay una estela y cuatro altares, y se ha identificado la Escalinata Jeroglífica 1 en la Estructura 13Q-3. De acuerdo a los descubrimientos recientes, la fachada de la Estructura 13Q-2 seguramente contuvo bloques tallados que posteriormente se recolocaron en la Estructura 13R-10 como parte de la Escalinata Jeroglífica 2.

En el Grupo Coronitas se han recuperado inscripciones en el Monumento 11 (Panel 7) y se sabe también que el Monumento Saqueado 6 (Panel 6 o Altar de Dallas) se encontraba en la Estructura 13R-10. Por supuesto, lo más relevante es la presencia del Panel 1 (Monumentos 7 y 8) en la Estructura 13R-5 y la Escalinata Jeroglífica 2 en la fachada de la Estructura 13R-10, descubierta en 2012.

Las diferencias en diseño arquitectónico y presencia de monumentos con inscripciones en ambos grupos pueden sugerir funciones distintas durante el siglo VII d.C., que corresponde al apogeo del sitio. En ese momento parece que la Plaza Principal tuvo un carácter más dinástico, relacionado con la conmemoración de eventos políticos, mientras que el Grupo Coronitas pudo haber sido transformado de un área de culto a ancestros, a un lugar dedicado a deidades patronas o tutelares del sitio. Esta hipótesis se basa en el contenido del texto del Panel 1, que incluye pasajes de carácter ritual y mitológico, especialmente la descripción de la fundación del templo como santuario en 677 d.C. para la efigie de un dios patrón. Se supone entonces que cada uno de los cinco templos de este conjunto pudo haber sido dedicado a deidades específicas y que fueron particulares al sitio de *Sak Nikte'*. Además, la remodelación de estos templos cubrió totalmente entierros de reyes antiguos, posiblemente de algún linaje distinto.

Los estudios arquitectónicos y epigráficos de estas dos plazas constituyen la principal fuente para reconstruir la cronología ocupacional del sitio. El Grupo Coronitas cuenta con seis fases constructivas: *K'inich* (314–400? d.C.), *Mam* (400–500? d.C.), *Muk* (500?–658 d.C.), *K'uh* (658–677 d.C.), *Ub* (677–750? d.C.) y *Unen* (750?–850? d.C.), las cuales muestran cambios drásticos en cuanto a su función. De la misma manera, la secuencia de las Estructuras 13R-9 y 13R-10 apunta a cambios funcionales de esta plaza en la segunda parte del Clásico Tardío y Clásico Terminal, cuando se colocó la Escalinata Jeroglífica 2, con bloques provenientes de otros edificios de la Plaza Principal.

Cronología de La Corona

La cronología actual del sitio ha sido designada mediante una “cronología arquitectónica”, que se complementa principalmente en datos epigráficos de los textos de La Corona y otros patrones generales de las Tierras Bajas Centrales durante el período Clásico. Esta cronología ha sido designada de la siguiente manera:

- Fase *Aneel* (314-500 d.C.)
- Fase *Naah Ek'* (520-625 d.C.)
- Fase *Yuknoom* (625-700 d.C.)
- Fase *Ti' Kann* (700-750 d.C.)
- Fase *Ix Mutal* (750-820 d.C.)

La Fase *Aneel* comienza con la llegada del fundador del linaje de La Corona, posiblemente en 314 d.C., mientras que la Fase *Naah Ek'* comienza con la llegada de la primera princesa proveniente de *Kaanal* (Dzibanche) en 520 d.C. La Fase *Yuknoom* comienza con el reinado de *Sak Maas* y abarca el período de tiempo donde se tiene la mayor cantidad de datos epigráficos, que corresponde a la mayor expansión de Calakmul y la llamada “Era Dorada” de La Corona (Figura 1.7). La Fase *Ti' Kaan* comienza poco después que Tikal vence a Calakmul en 695 d.C. y la Fase *Ix Mutal* comienza con la derrota de El Perú-Waka' y Naranjo por parte de Tikal a mediados del siglo octavo, hasta el abandono final del sitio de La Corona.

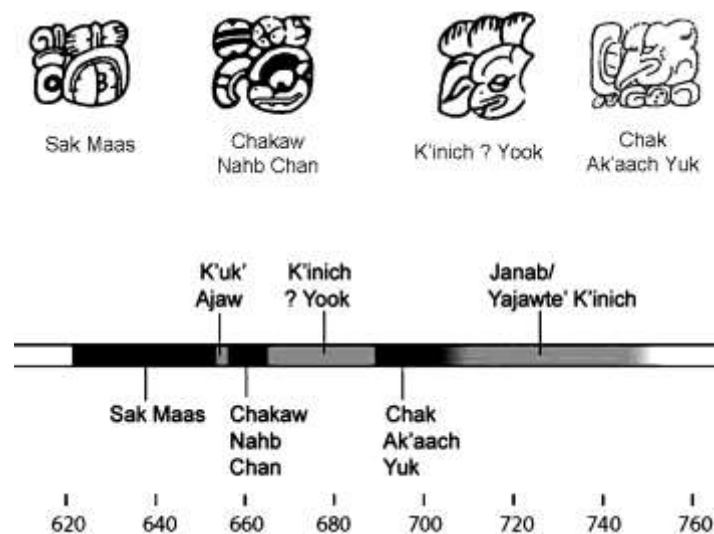


Figura 1.7 Secuencia dinástica de La Corona durante la “Era Dorada” (Gráfica por J. Baron)

Este esquema cronológico se basa mayormente en los datos epigráficos de La Corona, pero aún no se sabe si está apoyado por la cronología cerámica. Se requiere todavía desarrollar una cronología cerámica basada en cambios de formas de vasija y tratamiento de superficie a través del tiempo para demostrar cambio tecnológico y estilístico local a través del tiempo. Sin embargo, si se toma en cuenta lo corto de los períodos definidos, es poco probable que el ambiente político regional y los cambios políticos locales en La Corona influenciaron de gran manera las tendencias locales en estilo y tecnología cerámica.

Conclusiones preliminares: 2005-2012

Después de cinco años de investigación intensa en el sitio, el Proyecto Regional Arqueológico La Corona ha logrado superar varios retos para lograr definir algunas conclusiones preliminares de la función, importancia, papel de este sitio de tamaño modesto en el extremo oeste del área central de la civilización maya clásica de las tierras bajas. Por el momento se pueden plantear las siguientes conclusiones:

- 1) El modelo de asentamiento predictivo para la RBM (lado oeste) en el cual se elaboró una buena base ha proporcionado resultados satisfactorios. Con este modelo, se siguen registrando sitios nuevos. Hasta ahora, la gran mayoría de sitios visitados y reportados permanecen en la zona más elevada (la franja este) de la región.
- 2) En cuanto al Preclásico, los datos revelan una presencia contundente por toda la región que se ha investigado. Los datos son demasiado preliminares para ofrecer conclusiones ahora; sin embargo, se ha mostrado que la ocupación Preclásica parece ser extensa en la RBM occidental.
- 3) El Achiotal parece ser una cabecera de la ocupación preclásica. La arquitectura, los murales, las decoraciones arquitectónicas y la iconografía sugieren que éste era la sede de un linaje dinástico que probablemente controlaba rutas de intercambio entre la zona central y el occidente de Petén.
- 4) Los templos del Grupo Coronitas fungieron inicialmente como recintos funerarios, pero a mediados del siglo VII d.C. se cambiaron a santuarios para deidades patronales, posiblemente como una estrategia que acompañó cambios políticos en el sitio, asociados a la expansión del reino *Kaanal*.

- 5) La relación entre La Corona y el Reino *Kaanal* en los siglos VI, VII y VIII d.C. fue muy estrecha mediante y a través de lazos consanguíneos. De hecho, La Corona pudo funcionar como un tipo de colonia, definida como una extensión directa del linaje reinante en Calakmul.
- 6) Parece que en la última etapa de ocupación de La Corona, el patrocinio político del sitio y sus gobernantes estaba en manos de Tikal. Con los varios cambios arquitectónicos tardíos en la Plaza Principal y la colocación de la Escalinata Jeroglífica 2 en la Estructura 13R-10, se evidencia un cambio notorio en el sitio durante la segunda parte del siglo VIII d.C.
- 7) La importancia estratégica de la zona de La Corona, como parte del “Escudo” del Corredor Biológico de la Reserva de la Biósfera Maya, se ha demostrado mediante el paro del avance de la frontera agrícola y ganadera desde el Parque Nacional Laguna del Tigre. Por lo tanto, constituye un punto clave para la conservación de los recursos naturales y culturales de la reserva.

Organización del Proyecto

Zona de Estudio

El proyecto PRALC consiste en un estudio regional de una zona de Petén donde La Corona representa el sitio clásico Maya con arquitectura monumental más noroccidental de Guatemala. Aunque ya se han hecho algunos estudios de reconocimiento (Kaufman y Leal 1988; Leal y López 1993; Leal, López *et al.* 1988), no se han realizado investigaciones intensivas en esta zona. De hecho, al norte de La Corona hasta la frontera Guatemala-México, yacen más de 30 kms de territorio inexplorado donde podrían estar ubicados varios sitios monumentales. Por lo tanto, se pretende estudiar una zona que abarca la región entre Waka’ y La Corona hasta la frontera norte de Guatemala, que incluye unos 50 km al oeste de la Zona de El Mirador (Figura 1.8). En total, la zona mide casi 2,200 km². Aunque no se podrá realizar un estudio arqueológico exhaustivo de esta zona completa, se espera que el uso de sensores remotos permita explorar de manera “virtual” toda la región entre La Corona y la frontera norte. A continuación se describen los límites del área de estudio:

- a) Límite occidental: nacimiento de los ríos Chocoo, Xan, y Candelaria. Los tres afluentes llevan hacia el oeste y probablemente representan importantes rutas de comunicación entre el centro del Petén y el occidente. Se considera posible que existen sitios a lo largo de ellos.
- b) Límite sur: entre Waka' y La Corona, justo donde nace el Río San Juan, que fluye al sur hacia el Río San Pedro Mártir.
- c) Límite oriental: definido arbitrariamente, colindante con la región de El Mirador, aproximadamente a 6 km al oeste de Carmelita, cerca del nacimiento del Arroyo Sac Chich.

La zona de estudio, como polígono, tiene sus esquinas aproximadamente en las coordenadas N 17° 49' 04" W90° 35' 00" (punto noroeste); N 17° 49' 07" W90° 07' 00" (punto noreste); N 17° 25' 00" W90° 35' 00" (punto suroeste) y N 17° 25' 00" W90° 07' 00" (punto sureste). El área se encuentra en varias zonas distintas de la Reserva Biosfera Maya, que son: Parque Nacional Laguna del Tigre, Zona de Manejo Especial Laguna del Tigre y Corredor Biológico. En cuanto a concesiones, están Paxbán al noreste y San Andrés (AFISAP), Carmelita y La Colorada al sureste. La zona de estudio está en la jurisdicción del municipio de San Andrés, departamento de Petén. La zona no incluye comunidades actuales, aparte de algunos asentamientos ilícitos o invasiones. El sitio La Corona se ubica en las coordenadas N 17° 31' 42" W 90° 22' 46.1"

Alianza para la Protección e Investigación del Corredor Biológico PNLDT-PNMR

En 2008 se propuso una alianza llamada "Escudo Jaguar", formada por varias ONGs (WCS, ProPetén, Asociación Balam), entes gubernamentales (DGPCN, CONAP, DIPRONA), comunidades locales (ACOFOP, AFISAP) y proyectos arqueológicos para la protección de esta área. Consecuentemente, el proyecto propuesto aquí hace parte de este esfuerzo multilateral necesario para la conservación de los bienes culturales y naturales de la región (Figura 1.9). Recientemente se ha contado con el apoyo del Batallón de Selva, con base en Pozo Xan.

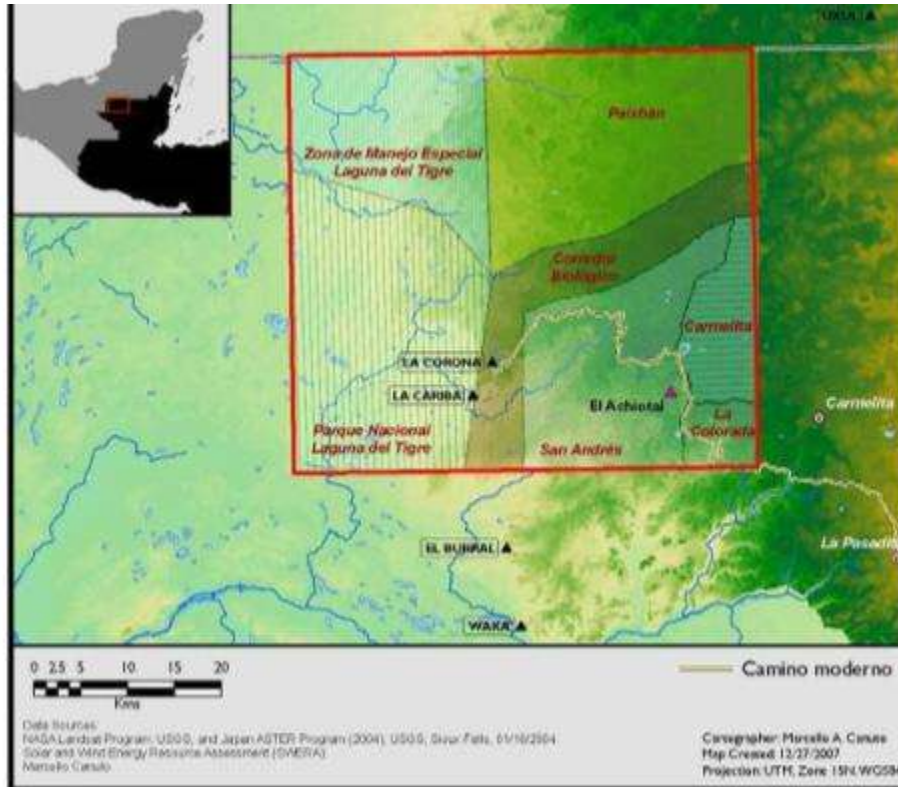


Figura 1.8 Zona de Estudio con límites aproximados (Mapa por M. Canuto)

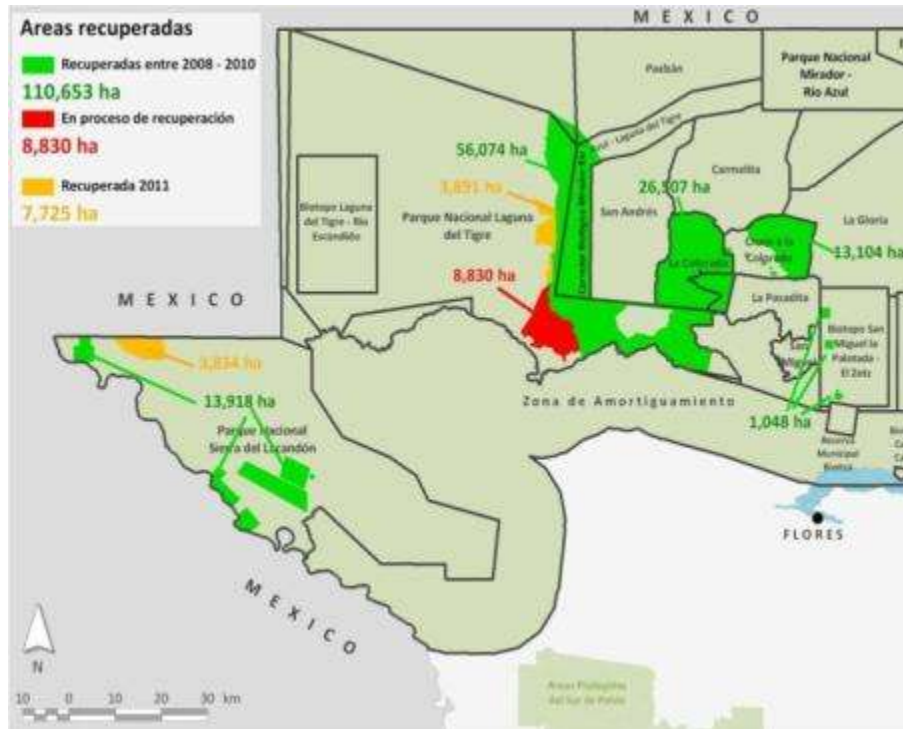


Figura 1.9 Mapa de la RBM con zonas naturales recuperadas desde 2008, donde se incluye el Corredor Biológico La Corona (Mapa por WCS)

Campamento

PRALC cuenta con un campamento permanente para los investigadores y trabajadores del proyecto, para lo cual se cuenta con el aval del Ministerio de Ambiente y Recursos Naturales, después de realizarse una Evaluación Ambiental Inicial (EAI). Se encuentra cerca del camino y con fuentes de agua suficientes, ya que está ubicado en la orilla del sibal nombrado Jabirú, que queda a menos de 500 m al este del Grupo Coronitas (Cuadrante 12S) (Figura 1.10).

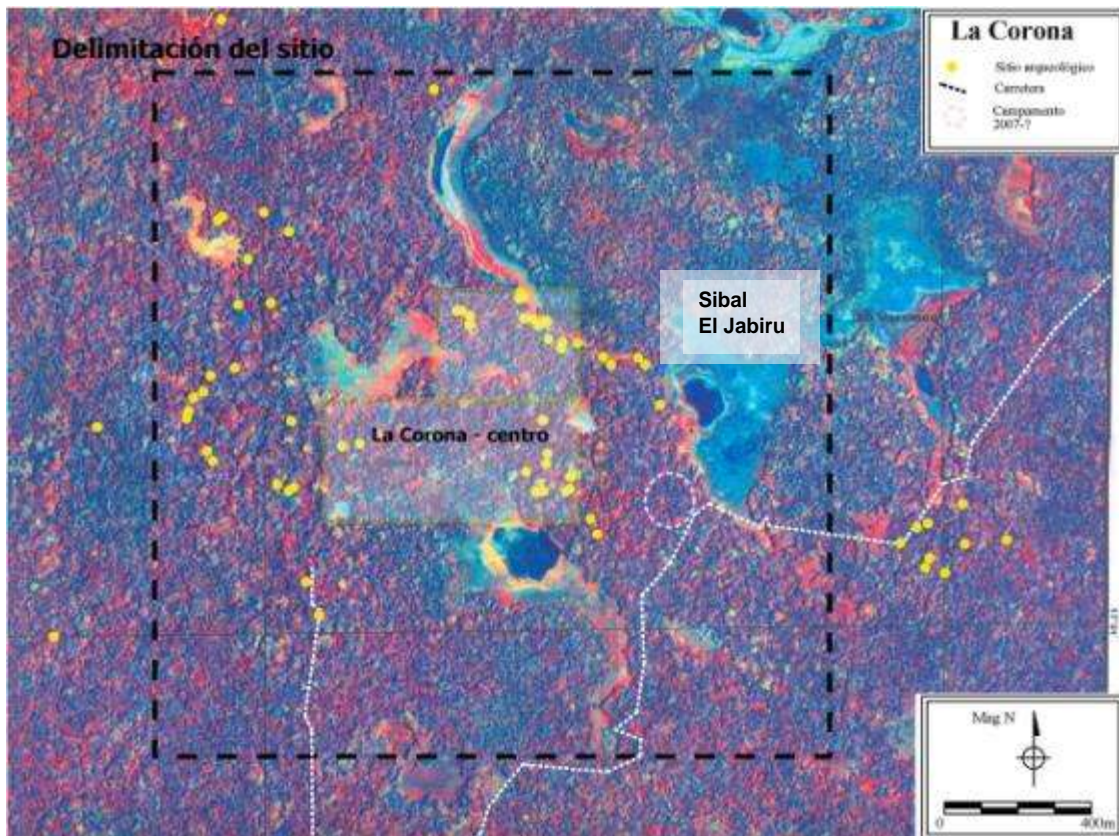


Figura 1.10 Delimitación del sitio La Corona y ubicación del Campamento del PRALC (Foto satelital, MARI)

El diseño del campamento es de bajo impacto ambiental, por lo que se han tomado medidas en cuanto al manejo de desechos, drenaje y la minimización de materiales que no son propios del lugar (lámina, malla, block, cemento). Este campamento puede servir como base para vigilantes del proyecto, así como personal del IDAEH, CONAP, Ejército de Guatemala y otras instituciones que operan en la zona. Adicionalmente, se cuenta con el apoyo de los campamentos de CONAP en El Achiotal y El Sargazo, y de AFISAP en Buena Vista, para apoyo logístico y como base para investigaciones de carácter regional.

El campamento incluye oficina administrativa, laboratorio, comedor, cocina, bodega de materiales y bodega de equipo y herramientas (Figura 1.11). Adicionalmente se construyeron sanitarios, duchas y un área de lavandería. En cuanto al área de dormitorio, se cuenta con dos ranchos de guano para albergar 60 carpas para el personal operativo (Figura 1.12). Para el personal técnico y profesional se cuenta con 10 ranchos individuales para carpas y dos ranchos grandes para visitantes.



Figura 1.11 Edificios de oficina y bodega de materiales y herramientas, campamento PRALC (Foto por T. Barrientos)

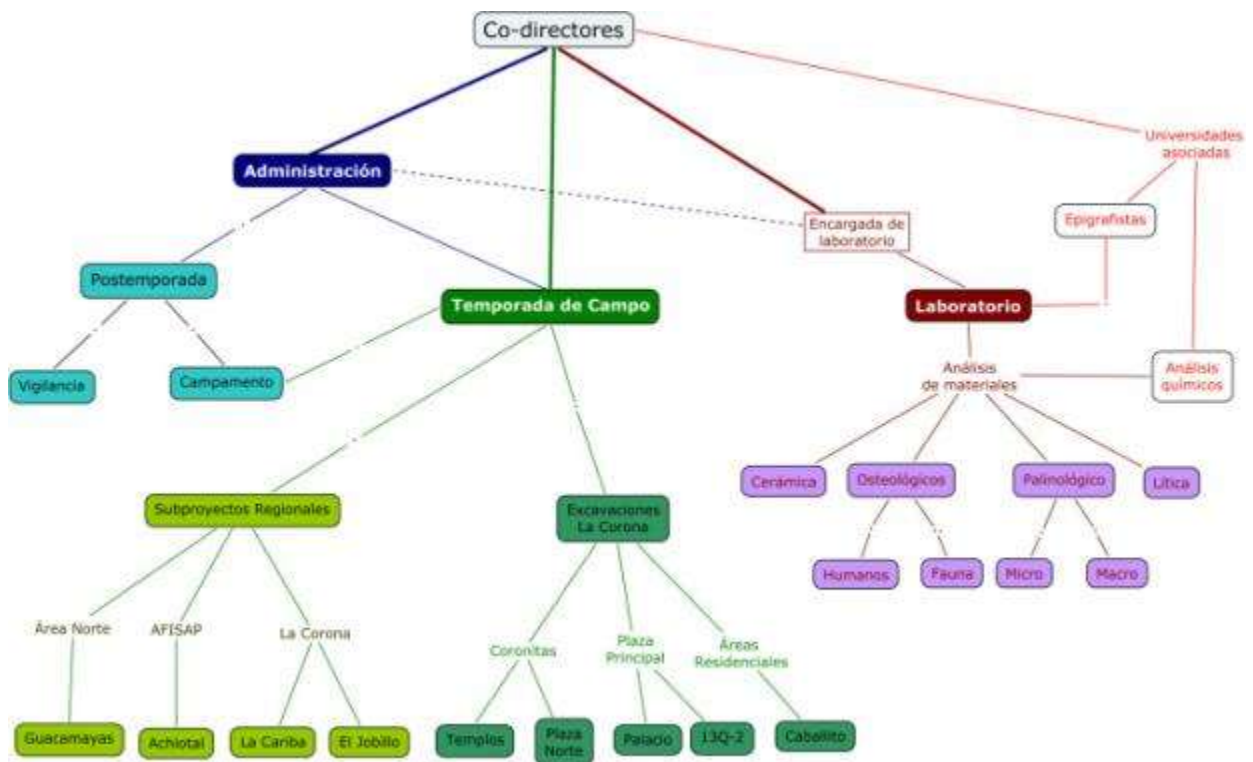


Figura 1.12 Ranchos para carpas de personal operativo y profesional, campamento PRALC (Foto por T. Barrientos)

Personal Científico y Técnico, Temporada 2013

1. Doctor Marcello A. Canuto, *Director General del Proyecto*
2. M.A. Tomás Barrientos Q. (candidato a doctor), *Codirector General del Proyecto*
3. Licenciada. Jocelyne Ponce, *Arqueóloga, Estructura 13R-10*
4. M.A. Maxime Lamoreaux (candidato a doctor), *Arqueólogo, Estructura 13Q-4E*
5. Eduardo Bustamante (candidato a licenciado), *Arqueólogo, Estructura 13Q-4*
6. Antonieta Cajas (candidata a licenciada), *Arqueóloga, Estructura 13Q-2*
7. M.A. Caroline Paris (candidata a doctora), *Arqueóloga, análisis cerámico*
8. M.A. Erin Patterson (candidata a doctora), *Arqueóloga, análisis de restos óseos*
9. M.A. Clarissa Cagnato (candidata a doctora), *Arqueóloga, análisis palinológico*
10. M.A. Diana Fridberg (candidata a doctora), *Arqueóloga, análisis de restos de fauna*
11. Licenciada Cristina Guirola, *Arqueóloga, análisis arqueobotánico*

Organigrama del Proyecto



Agradecimientos

Los directores y el personal de PRALC agradecen a todas las personas e instituciones que de una u otra manera colaboraron para el desarrollo de la Temporada de Campo 2013. Las instituciones que brindaron apoyo académico y financiero fueron: Middle American Research Institute (MARI), Universidad del Valle de Guatemala (UVG), Fundación SELZ y US Department of the Interior (DOI) y Fundación Patrimonio Cultural y Natural Maya (PACUNAM). Asimismo, el apoyo de las siguientes instituciones: Viceministerio de Patrimonio y Dirección General de Patrimonio Cultural y Natural (DGPCN) del Ministerio de Cultura y Deportes (MCD), Consejo Nacional de Áreas Protegidas (CONAP), Wildlife Conservation Society (WCS) y la Concesión Forestal de San Andrés (AFISAP). Reconocemos también la labor del personal técnico del proyecto, provenientes mayormente de las comunidades de San Andrés y Dolores, Petén. Agradecemos también a todas las personas que nos brindaron consejos académicos, en especial la parte epigráfica, por parte de David Stuart, Stanley Guenter, Simon Martin y Marc Zender. En cuanto a la logística, estamos agradecidos con la colaboración de Gloria Argueta de Montenegro, Gamaliel Jiménez, Esau Quixchan “Nejo”, el equipo de vigilantes de PRALC (Luis Morales, Víctor Muñoz, Blas Orrego, Selvin Chí y Miguel Aldana) y todos nuestros proveedores y amigos en San Benito, Santa Elena, San Andrés y Flores. Dada la gran cantidad de colaboradores, nos disculpamos por omitir algún nombre, por lo que nuestro agradecimiento va de manera general a todos.

CAPÍTULO II

OPERACIONES CR20E Y CR20R: EXCAVACIONES EN LOS TÚNELES DEL PALACIO DE LA CORONA

José Eduardo Bustamante Luna

Introducción

Por tercer año consecutivo se realizaron excavaciones de túneles exploratorios a nivel de la Fase Coccochan del Palacio de La Corona (Estructura 13Q-4). Estas excavaciones han revelado un grupo de estructuras que conforman una plaza cerrada hacia el sur del Palacio (Padilla 2011; Bustamante 2013), más específicamente bajo la Superestructura 13Q-4E del mismo. Durante las excavaciones de 2010 y 2011 se identificaron dos de las estructuras de la Fase Coccochan que limitan la plaza de esta fase hacia el este, Estructura *Ayiin* (13Q-4E Sub-1), y oeste, Estructura *Ahk* (13Q-4E Sub-2) (Padilla 2011), mientras que en las excavaciones del año 2012 se identificó la existencia de una estructura que limita esta misma plaza hacia el norte, la Estructura *Wo* (13Q-4E Sub-3) (Bustamante 2013).

La Estructura *Ayiin*, al norte, identificada por Liliana Padilla (2010), se trata de una plataforma con orientación norte-sur compuesta por dos plataformas y tres gradas de acceso. Hasta el momento no se ha identificado una superestructura, puesto que ésta fue destruida al construir la Superestructura 13Q-4A de la Fase Halcón (posterior a Coccochan). Sin embargo por su posición y sus características muy similares a la Superestructura A se considera que la Estructura *Ayiin* sirvió como un palacio de presentación (Padilla 2010).

La Estructura *Ahk*, al oeste, identificada por Liliana Padilla (2011) y excavada por Eduardo Bustamante (2013), se trata de una estructura de plataforma baja, con una grada de acceso principal al este. Su fachada presenta estuco pintado de color rojo; hasta el momento se han identificado tres cuartos en esta estructura. El Cuarto No. 1 con acceso desde la Fachada Este es el cuarto principal, las excavaciones realizadas en este cuarto no han hallado ningún rasgo arquitectónico como bancas o nichos. El Cuarto No. 2 posee una entrada desde la Fachada Norte, y se trata de un cuarto lateral, sin embargo se tienen evidencias que este cuarto no existía originalmente en la disposición del edificio. Por

último el Cuarto No. 3 tiene entrada desde el Cuarto No. 1, pero hasta el 2012 solo se había identificado pero no excavado.

La tercera estructura identificada para esta fase es *Wo*, que limita al norte de la plaza. Esta estructura fue identificada primero mediante un pozo, CR-20E-2 (Bustamante 2013), hallándose el interior de un cuarto lo cual dificultó la excavación; por lo cual se decidió la excavación de un túnel para hallar dicha estructura el mismo año, identificándose efectivamente su Fachada Sur. Ésta, igual que la Estructura *Ahk*, presenta estuco pintado de color rojo. Se trata de una plataforma elevada, con dos gradas de acceso (Bustamante 2013).

Claramente el patrón del grupo que se observa hasta el momento de la Fase Coccochan contrasta con el patrón arquitectónico que se observa en la última etapa constructiva del palacio; puesto que el patrón cambia de una plaza interna cerrada, al menos a tres de sus lados (Fase Coccochan) a una plataforma elevada durante la última fase del palacio. De esta manera se considera que posiblemente se dio un cambio de funcionalidad de este sector del palacio.

Objetivos:

Como se mencionó anteriormente, este año las excavaciones se enfocaron casi en su totalidad en la exploración de la Fase Coccochan siguiendo con los planteamientos establecidos en la Temporada 2012 (Bustamante 2013). De esta manera se siguieron tres líneas de investigación primaria. 1) Continuar con la excavación de la Estructura *Wo*; esta excavación se enfocaría primeramente en la exploración interna de la misma, puesto que por el momento la exploración de sus fachadas se ve limitada por el hecho que el túnel principal corre paralelamente a la Fachada Sur de esta estructura y muy cerca de ella; 2) Realizar la exploración del Cuarto No. 3 de la Estructura *Ahk*, buscando rasgos arquitectónicos que permitieran identificar la funcionalidad de esta estructura; y 3) Seguir con las excavaciones, a nivel de plaza, hacia el sur. Esta línea de investigación se fundamenta en la suposición que el grupo que observamos en la Fase Coccochan se encontraba cerrado a sus cuatro lados, por lo cual faltaría identificar la estructura que cierra el grupo al sur.

Para esta última línea de investigación se realizaron dos acciones paralelas, por un lado se continuó la excavación del túnel hacia el sur, pero también se trazó un pozo, CR-20R-1, al sur de la Superestructura 13Q-4E. Este último con la finalidad de conectar el pozo con los túneles al sur, tanto para tener una salida de emergencia como para facilitar la extracción de material de la excavación de este sector de la Fase Coccochan.

Por último, se contó también con la excavación de un pozo en el interior de la Estructura *Ahk*, éste con triple funcionalidad. 1) Identificar la secuencia constructiva de la estructura; 2) Contar con un punto de comparación con la secuencia constructiva identificada en la excavación del Pozo CR-20E-2 (Bustamante 2013); y 3) Contar con un punto de acceso para la futura excavación de la Fase Canario (anterior a Coccochan) identificada en 2012 (Bustamante 2013).

CR-20E-1-5

Al igual que lo propuesto en la Temporada 2012 (Bustamante 2013) la excavación es llevada a cabo por unidades, que se refieren a las estructuras investigadas (CR-20E-1 siendo Estructura *Ahk* y CR-20E-3 siendo la Estructura *Wo*), luego se sigue con lotes, que corresponden a ambientes de las estructuras, por ejemplo la excavación del Cuarto No. 1 de la Estructura *Ahk* corresponde al Lote 2. Por último los niveles corresponden a segmentos de excavación, estos tienen un volumen variable según sea el caso.

De esta manera, en lo que respecta a la Operación CR-20E-1, solo se continuó con la excavación del Lote 5, que corresponde al Cuarto No. 3 de dicha estructura. En la Temporada 2012 (Bustamante 2013) solo se identificaron las jambas de la entrada a dicho cuarto desde el Cuarto No. 1, en este punto la estratigrafía que presentaba el Lote 5 parecía muy intrincada, puesto que cambiaba de una estratigrafía simple entre rellenos negros y amarillos en el Cuarto No. 1 a una estratigrafía dividida por 8 estratos diferentes (*Ibid.*). Esto hizo pensar que se tratara de un relleno “especial” para cubrir algo. Esta teoría se vio reforzada cuando en la Temporada 2012, tras excavar solamente 50 cm horizontalmente de este lote se encontró un fragmento tapadera de cerámica fina con glifos.

Durante las excavaciones de este año se ha aclarado que este relleno no se trataba de nada fuera de lo común, aunque el material encontrado en el sector de la entrada en este cuarto sí parece estar asociado con algún tipo de ofrenda, puesto que se encontró una gran

cantidad de cerámica polícroma fina, así como huesos de animal (no identificados). Dentro de la cerámica encontrada se lograron recuperar varios fragmentos de una tapadera de vaso trípode encontrada la temporada pasada (CR-V32 en el catálogo de vasijas del Proyecto Regional Arqueológico La Corona) (Figura 2.1).

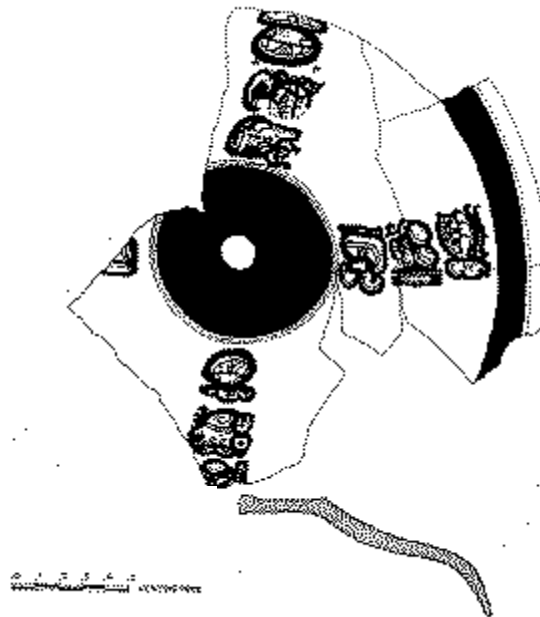


Figura 2.1 A) Fragmentos de tapadera encontrada en la Temporada 2013 y B) Dibujo de fragmentos de tapadera encontrados en las temporadas 2012 y 2013(CR-V32)
(Foto por E. Bustamante y dibujo por C. Sansregret)

Por su estilo e inscripción se logró identificar que esta tapadera corresponde a finales del séptimo siglo d.C. y que proviene del sitio La Florida, al suroeste de La Corona, puesto que coincide en estilo con cerámica de este sitio y su inscripción de 12 glifos en 4 columnas menciona el glifo emblema de La Florida (*Namaan*) y un gobernante conocido de ese sitio (*Siyaj Chaan K'awiil*). Por lo tanto, se supone que esta vasija pudo llegar a La Corona como regalo de un rey aliado de La Florida (David Stuart, comunicación personal).

Además de la gran cantidad de cerámica fina encontrada en todo el cuarto, pero principalmente en la entrada de este, la excavación de este lote no mostró gran cantidad de rasgos. Al contrario, se reveló un cuarto sobrio y aparentemente vacío, al igual que el Cuarto No. 1 de la misma estructura. Uno de los rasgos que llamó mayor la atención es que el cuarto, en su parte sur, fue destruido; esta destrucción fue llevada a cabo durante las remodelaciones del palacio al ser construida la Fase Halcón (de esta remodelación se hablará más adelante). Esta destrucción se evidencia en el Cuarto No. 3 con el corte de la Jamba Sur de la entrada de una forma que permitiera un talud, así como la mutilación de la Fachada Sur y Suroeste de la Estructura *Ahk* (Figura 2.2).

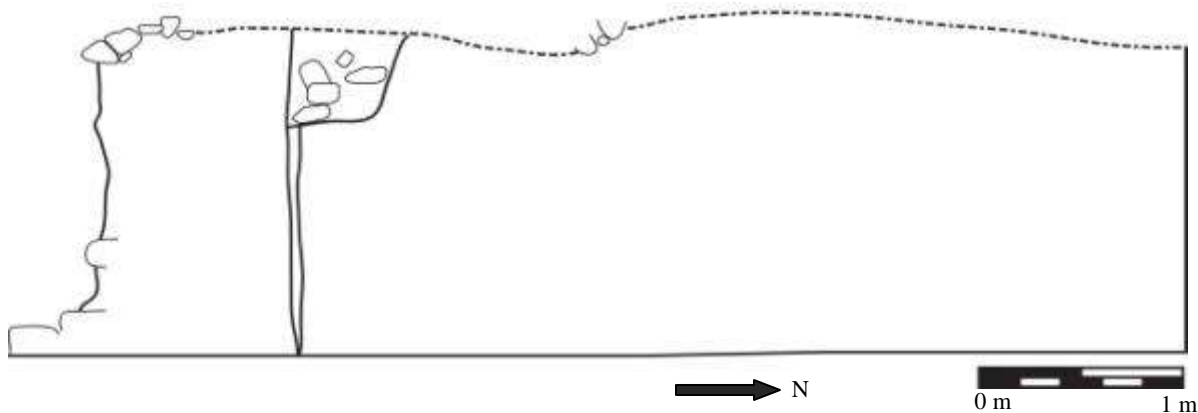


Figura 2.2 Muro interior Oeste, Cuarto No. 3 Estructura *Ahk*. (Dibujo por E. Bustamante)

El único rasgo arquitectónico visible que fue hallado en el Cuarto No. 3 fue una saliente en el muro interno oeste. Esta saliente se observa a nivel de la Jamba Norte de la entrada al cuarto y se extiende por todo el muro hacia el norte, ésta también se extiende a todo el alto del cuarto (Figura 2.2 y 2.3). Este rasgo es muy similar a lo encontrado en la Temporada 2012 (Bustamante 2013) en el Cuarto No. 2 de la Estructura *Wo*. Las

comparaciones entre estas dos estructuras se harán más adelante. En base a un registro que se realizó en esta saliente se logró constatar que se trata de un rasgo original del muro y no una modificación.

De igual manera que en el Cuarto No. 1, se encontró un muro interno al norte del cuarto que divide el Cuarto No. 2 del Cuarto No. 3, al norte del primero. Al igual que lo notado por Padilla (2011) al similar de este muro en el Cuarto No. 1, este muro interno es de construcción posterior, lo cual apoya la teoría que el Cuarto No. 2 se trata de una modificación a la Estructura *Ahk*. Pero al contrario de lo notado en el Cuarto No. 1, en el Cuarto No. 3 se observa la existencia de una entrada que unía el Cuarto No. 3 con el Cuarto No. 2 (Figuras 2.3 y 2.4); sin embargo ésta fue clausurada antes de la construcción de la Fase Halcón.

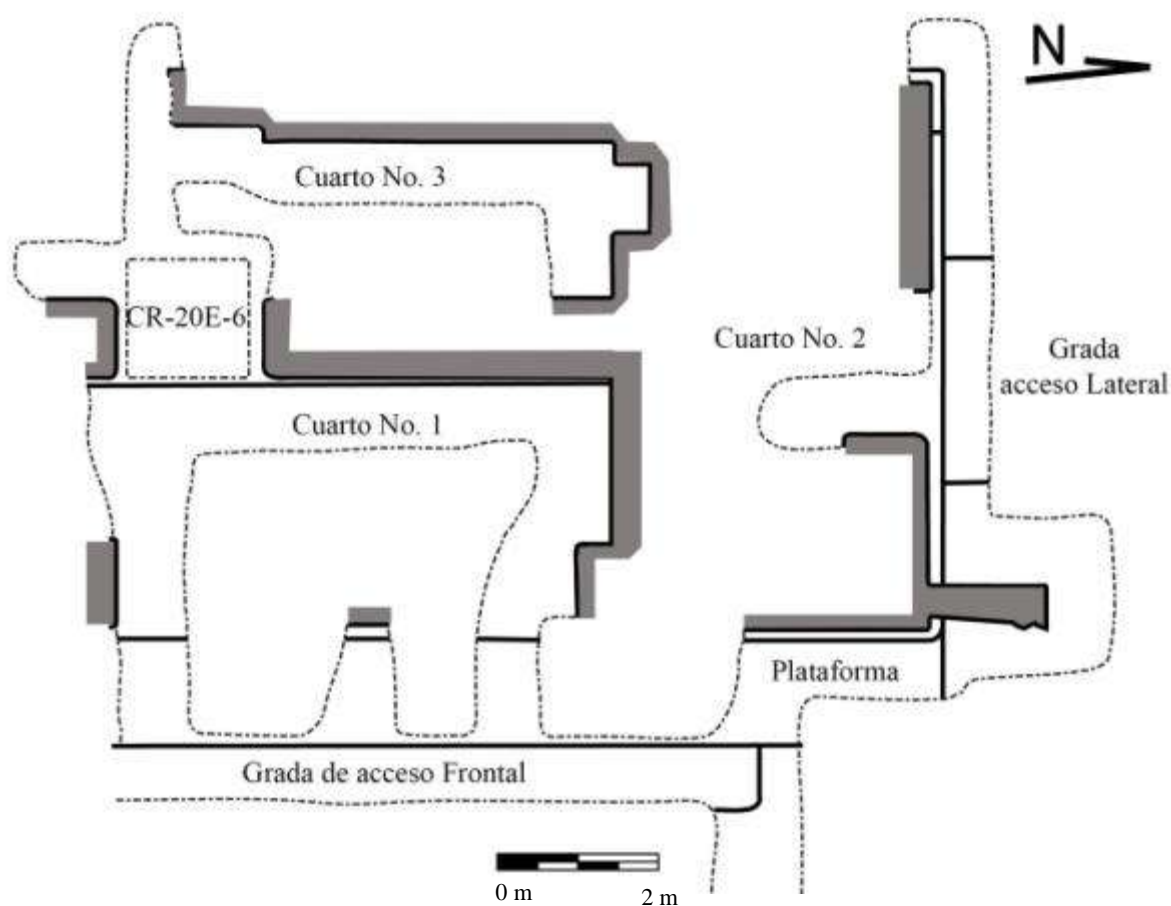


Figura 2.3 Planta de excavación de la Estructura *Ahk*.
(Dibujo por E. Bustamante)



Figura 2.4 Entrada clausurada que unía el Cuarto No. 3 con el Cuarto No. 2 (Foto por E. Bustamante)

CR-20E-3

Esta operación corresponde a la excavación de la Estructura Norte del complejo (*Wo*). Como se mencionó anteriormente las excavaciones realizadas en la Temporada 2012 solo revelaron parte de uno de los cuartos internos de esta estructura, así como parte de la Fachada Sur de la misma (Bustamante 2013). Las excavaciones de esta temporada revelaron una estructura compleja e interesante por sus fases constructivas y por sus rasgos arquitectónicos. La Estructura *Wo* cuenta con al menos 2 cuartos estrechos pero alargados. El Cuarto No. 1, Cuarto Sur, fue excavado en su totalidad por la parte interna, mientras que el Cuarto No. 2, al norte, solo se conoce por las excavaciones realizadas en la Temporada 2012 que solo revelaron una pequeña parte de éste (Bustamante 2013.)

El Cuarto No. 1 se extiende por 7.5 m en su eje este-oeste, y tan solo 1.7 m en su eje norte-sur (Figura 2.5). Este cuarto parece contar con tres entradas desde su Fachada Sur, aunque solo han sido identificadas dos de ellas, la Entrada Central y la Entrada Oeste.

Dentro de los rasgos más sobresalientes de este cuarto destaca una banca o trono que se encuentra justamente frente a la Entrada Central del cuarto (Figuras 2.5 y 2.6). Este trono se encuentra a 1 m dentro del muro interno central de la estructura. Asociado con este último se encuentra el Muro Central en el Cuarto No. 2 de la estructura, que también muestra una saliente que pareciera ser para dar mayor espacio a este trono en el muro sin comprometer los cimientos de la estructura.

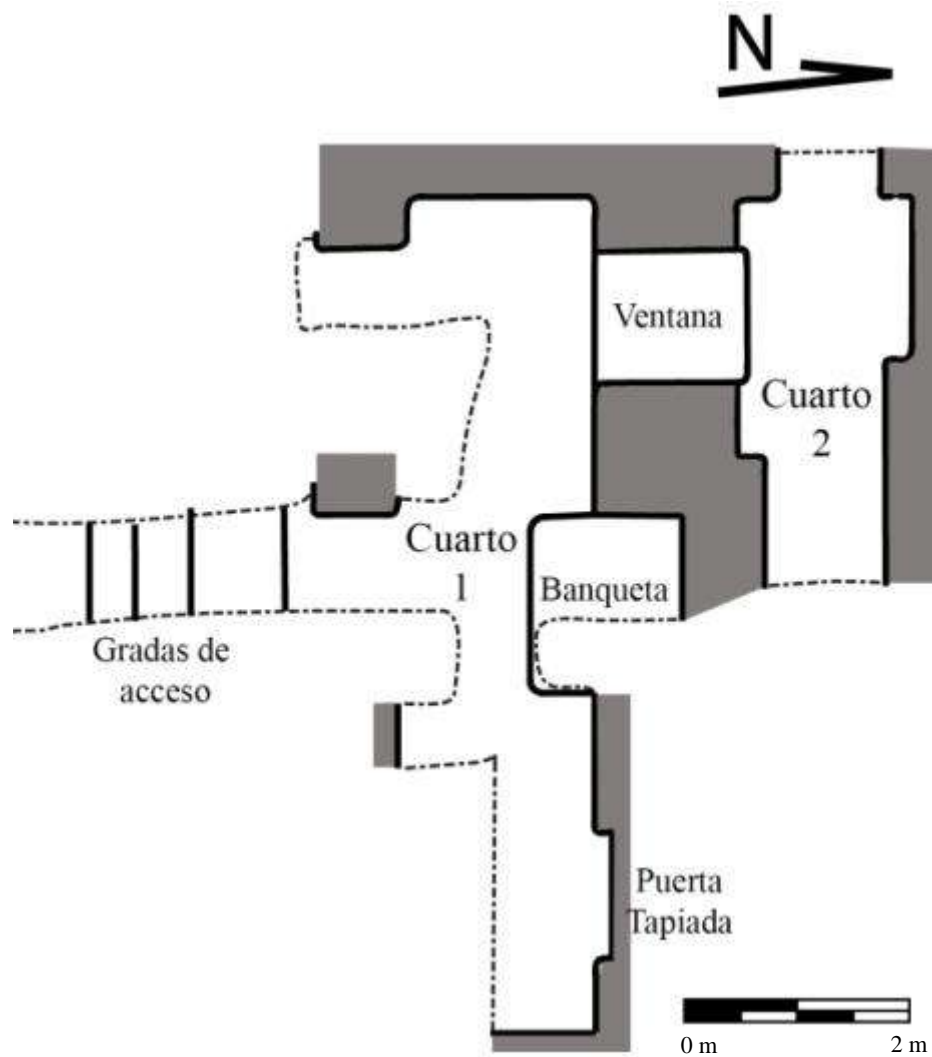


Figura 2.5 Planta de la Estructura *Wo* (Dibujo por E. Bustamante)



Figura 2.6 Trono/Banca encontrado en la Estructura *Wo* (Foto por E. Bustamante)

Como lo muestra la Figura 2.6, este trono cuenta con una moldura a manera de “tablero” que sobresale 5 cm de la parte frontal del mismo. Llamativamente, también se observó una especie de “escondite” que consistía en un bloque faltante en la parte frontal del trono, sin embargo al hacer el registro de este rasgo no se encontró material alguno.

Se realizó también un registro al centro del trono, así como frente al mismo. Este registro reveló que el trono fue realizado al mismo tiempo que la apertura donde se encuentra metido, puesto que ni el estuco del piso ni el estuco de las paredes se encuentra bajo el trono. Además, el trono en sí mismo fue construido con bloques de lo que parece ser adobe o barro cocido, aunque la moldura sí está hecha de bloques de piedra, que forman una caja que a su vez se encuentra rellena por piedra caliza de tamaño medio.

Por su parte el registro realizado frente al trono solamente alcanzó 70 cm de profundidad y mostró un piso a 30 cm desde la superficie del registro que coincide con el nivel de la cima de la plataforma (Figura 2.7).

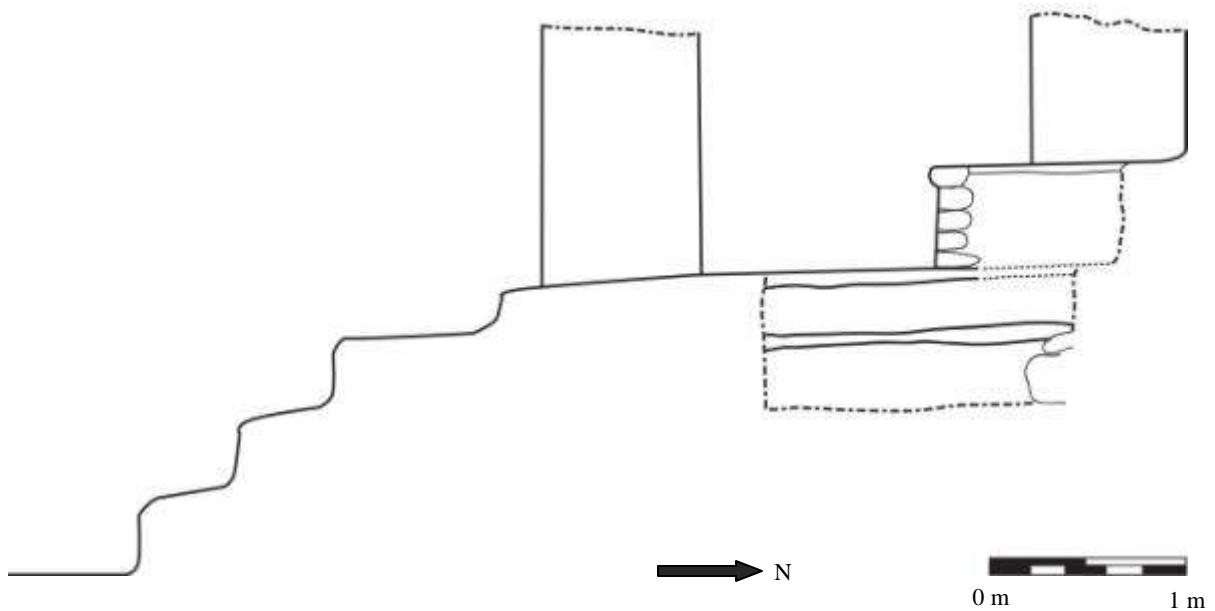


Figura 2.7 Corte Sección Central de la Estructura *Wo* (Dibujo por E. Bustamante)

Otro de los rasgos interesantes de la Estructura *Wo* es que originalmente contaba con dos entradas que conectaban el Cuarto No. 1 con el Cuarto No. 2. Estas entradas se encontraban a los extremos este y oeste de los cuartos (Figura 2.5); sin embargo éstas fueron clausuradas cuando el edificio aún se encontraba en uso. La Entrada Este fue clausurada en su totalidad, sin embargo la Entrada Oeste solo fue convertida en una especie de ventana a manera que aún comunicara ambos cuartos pero que no se pudiera usar como paso (Figuras 2.8 y 2.9).

La excavación de este cuarto no alcanzó mayor altura, 1 m, puesto que la construcción de la Fase Halcón destruyó la parte superior de la estructura (la excavación llevaba como “techo” el Piso Halcón). Sin embargo al oeste del Cuarto No. 1, a inmediaciones de la “ventana” antes mencionada, se detectó un relleno intrusivo correspondiente a barro negro con piedra caliza que cortaba el Piso Halcón y entraba en la Fase Coccochan y se extendía en dirección sur de ésta (Figura 2.8). Por motivo de esta intrusión posterior, parte de la Jamba Oeste de la “ventana” se encontraba parcialmente destruida.

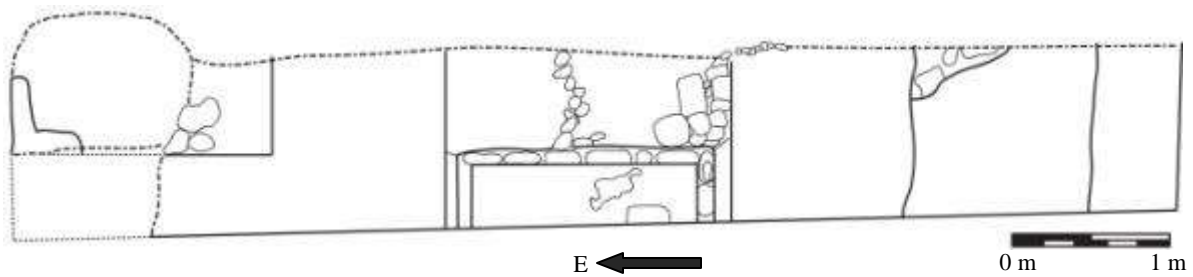


Figura 2.8 Perfil del muro interno del Cuarto No. 1, Estructura *Wo* (Dibujo por E. Bustamante)



Figura 2.9 Entrada Oeste vista desde Cuarto No. 2, Estructura *Wo* (Foto por E. Bustamante)

Al realizar la excavación de este relleno intrusivo no se encontró mayor cantidad de material, además de poca cerámica que se encontraba dentro de este relleno. Esto nos hace pensar que esta intrusión fue realizada con el afán de extraer algo que se encontraba en esta sección del edificio. Así mismo también se identificó que esta intrusión sale de la Estructura *Wo* en dirección al sur, por lo cual también es posible que la intención fuera otra;

sin embargo se necesitan más excavaciones para determinar las dimensiones y objetivo de la misma por lo que queda como objetivo de investigación para futuras temporadas.

La excavación del Cuarto No. 2 empezada en la Temporada 2012 hacia el oeste, y a escasos 10 cm se identificaron las jambas de una entrada desde la Fachada Oeste que conducía al Cuarto No. 2 de esta estructura.

CR-20E-5

Puesto que ya se contaba con las dimensiones tanto de la Estructura *Ahk* al oeste, como la Estructura *Wo* al norte, se decidió realizar un túnel que buscara los ejes centrales de ambas estructuras con el objetivo de determinar el “centro” de la plaza de la Fase Coccochan. Este túnel empezó justamente frente a la Operación CR-20E-3 (Figura 2.10), alcanzando una longitud de 5.75 m. Aunque no se encontró ningún rasgo constructivo, así como muy poca cerámica (solamente 27 fragmentos en todo el túnel), este túnel servirá en investigaciones futuras para realizar un pozo de sondeo en el centro de la plaza.

Lo que sí se pudo constatar es la presencia de uno de los muros de contención, encontrado por Liliana Padilla en 2011, que se encuentra en la Entrada Norte del Cuarto No. 1 de la Estructura *Ahk*. Estos muros de contención parecen estar asociados con los cimientos de la plataforma construida durante la Fase Halcón (Padilla 2011, Bustamante 2013) y se extienden por todo el eje este-oeste de la misma.

CR-20E-4

Como se mencionó anteriormente, se decidió continuar con la excavación hacia el sur del túnel central con el objetivo de buscar si existe una estructura en este sector que cierre el grupo. Sin embargo cuando se continuó la excavación del túnel central, se encontró, al igual que lo observado en la Unidad CR-20E-1-5, que la sección sur de la Estructura *Ahk* había sido destruida para dar lugar a un nuevo basamento o plataforma que corresponde a la Fase Halcón. De esta manera el túnel rompió la Fachada Sur de este basamento desde su parte interna.

Debido a este hallazgo no planificado se modificaron los objetivos iniciales de investigación, por lo cual se siguió la excavación hacia el sur solo para unir el túnel con la Unidad CR-20R-1 y además se siguió hacia el este el basamento de la Fase Halcón. La

Fachada Sur de este basamento se trata de un talud, del cual no se conserva bien el estuco y no presenta color aparentemente. La excavaciones siguiendo esta fachada hacia el este se prolongaron 5.76 m hasta que se topó con una especie de pared de embono (Figura 2.11). Este embono, por su ubicación cercana al eje central este-oeste del Grupo Coccochan podría tratarse de unas gradas para subir a la plataforma, por lo cual se paró la excavación en este sector y se planea buscar este mismo rasgo desde el sur.

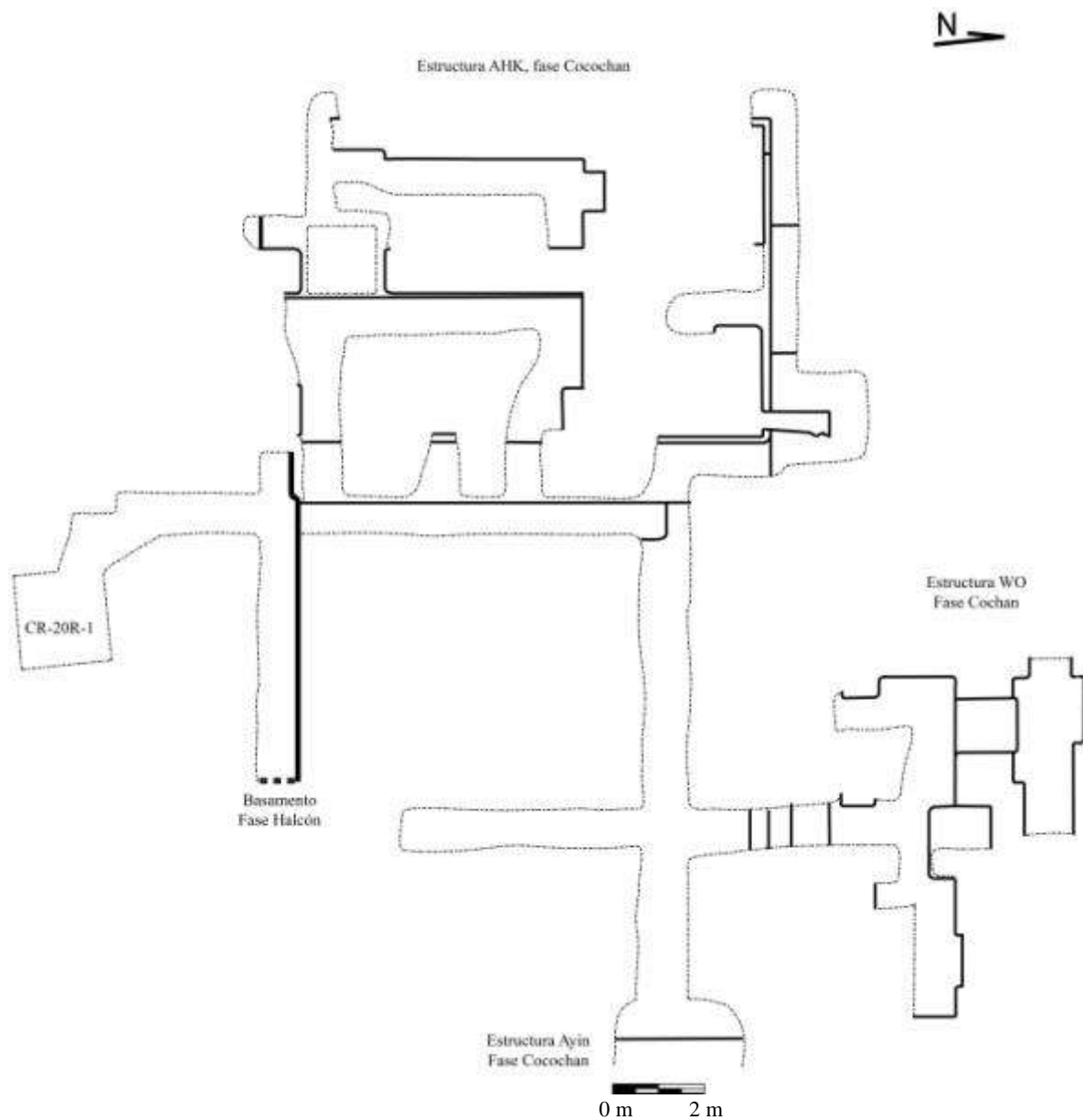


Figura 2.10 Plano de excavación en túneles, Fase Coccochan (Dibujo por E. Bustamante)



Figura 2.11 Fachada Sur del basamento de la Fase Halcón (Foto por E. Bustamante)

Un rasgo muy importante de este basamento es que clausura las estructuras *Ahk*, *Wo* y *Ayiin*; sin embargo hacia el sur de la plataforma se siguió utilizando el piso de la Fase Coccochan. Por lo tanto, cabe la posibilidad que sí existía una estructura que limitaba al sur la plaza de la Fase Coccochan, y que siguió siendo utilizada tras la construcción del basamento de la Fase Halcón.

Debido a que el Piso Coccochan siguió siendo utilizado hacia el sur, la construcción del basamento de la Fase Halcón incluye una banqueta baja que se prolonga hacia al sur (Figura 2.12), aparentemente de forma decorativa, pero que tenía la funcionalidad de esconder los cimientos destruidos de la sección sur de la Estructura *Ahk* de la Fase Coccochan. Sin embargo esta banqueta presenta un alto nivel de deterioro, por lo cual en varios sectores de la misma ésta se confunde con el relleno que la clausuró.



Figura 2.12 Banqueta decorativa adosada a la Fachada Sur del basamento de la Fase Halcón
(Foto por E. Bustamante)

Una característica interesante fue hallada en todo el relleno en este sector, visible tanto en la excavación de la Unidad CR-20E-4 como en la Unidad CR-20R-1. Claramente se notó que en este sector el relleno se encontraba compuesto de dos estratos diferenciados y muy bien nivelados (Figura 2.11). La parte superior del relleno es de color rojizo y se compone principalmente de piedras medianas colocadas ordenadamente en capas, mientras que la parte inferior se compone de piedra grande desordenada amalgamada con arena mezclada con cal, lo que le da un aspecto grisáceo; sin embargo esto no corresponde a ningún rasgo arquitectónico sino meramente a nivelaciones del relleno.

CR-20R-1

Como se mencionó al inicio de este capítulo, se realizó un pozo al sur de la Superestructura 13Q-4E, específicamente a nivel de plaza entre las superestructuras 13Q-4C y 13Q-4E (Figura 2.13). Esta unidad se colocó fuera de la fachada de la Estructura 13Q-

4E, puesto que su única intención era conectar con las excavaciones de los túneles de la Fase Coccochan para facilitar la extracción de material. Así mismo de manera secundaria tendríamos la secuencia de pisos de este sector del palacio.

Como resultado de la excavación se pudo determinar que a diferencia de la secuencia de pisos y remodelaciones que fueron hallados en los pozos al este de la Superestructura 13Q-4C, al sur sólo se identificaron dos pisos, el Piso Guacamaya, descrito por Padilla (2010) y el Piso Coccochan. Esto coincide con el hecho que la unidad de excavación se encontraba fuera del Basamento Halcón.

Al igual que en la excavación de otras unidades ubicadas en la última fase constructiva del palacio, se encontraron restos de estuco modelado en los primeros niveles de excavación, estos seguramente desprendidos de la Fachada Sur de la Superestructura 13Q-4E. A una profundidad de 1.28 m de profundidad se hallaron los restos del piso Guacamaya. Puesto que este fue el piso de la etapa terminal del palacio, su conservación es muy mala y solo pudo ser identificado en algunos sectores de la unidad. Bajo el Piso Guacamaya se encontró el mismo relleno rojizo compuesto por piedras medianas y pequeñas colocadas en capas que se mencionó para la Unidad CR-20E-4. Este relleno tuvo una profundidad máxima de 2.28 m desde la superficie (1 m bajo el Piso Guacamaya).

Al igual que lo descrito en la Unidad CR-20E-4, este relleno rojizo fue seguido por un relleno grisáceo compuesto mayormente por piedras grandes que alcanzó una profundidad máxima de 3.63 m (1.35 m bajo el relleno rojizo), el cual descansa sobre el Piso Coccochan. Notablemente se pudo identificar un desnivel en el Piso Coccochan que se eleva a medida que se dirige hacia el norte a encontrarse con el basamento de la Fase Halcón.



Figura 2.13 Perfil Norte de la Unidad CR-20R-1 (Foto por E. Bustamante)

CR-20E-6

Se colocó una unidad de 1.5 x 1.5 m en la entrada del Cuarto No. 3 de la Estructura *Ahk* (Figuras 2.3 y 2.10). Esta unidad buscaba identificar la secuencia constructiva de la Estructura *Ahk*, así como crear un punto de acceso a la Fase Canario (Bustamante 2013) identificada en la Temporada 2012 (Figura 2.14).

Esta unidad alcanzó una profundidad máxima de 1.60 m, aunque se detuvo por falta de tiempo y no por la identificación de un rasgo. De manera similar a lo observado en la Unidad CR-20E-2 llevada a cabo en la Temporada 2012 (Bustamante 2013), se pudo observar una secuencia comparable con la observada al romper la Estructura *Wo*. Hacia el este se identificó la existencia de un piso a 30 cm de profundidad y que solo se prolongaba por 24 cm al oeste. Este correspondería a la grada que se observa al pasar del Cuarto No. 1

al Cuarto No. 3; de esta manera el piso del Cuarto No 1 se extendió unos pocos centímetros bajo el piso del Cuarto No. 3.

A 60 cm de profundidad se identificó otro piso, posiblemente de una fase anterior de la Estructura *Ahk* y a los 80 cm de profundidad se halló el Piso Coccochan, que al igual a lo visto en la Estructura *Wo*, presentaba restos de carbón y ceniza sobre el piso, posiblemente restos de una ofrenda dedicatoria durante la construcción de las estructuras.



Figura 2.14 Perfil Norte de la Unidad CR-20E-6 (Foto por E. Bustamante)

Bajo el Piso Coccochan se encontró el mismo relleno identificado en la Unidad CR-20E-2 en 2012, que corresponde a piedra grande junto con arena gris suelta y que parece corresponder a la fase del Clásico Temprano del palacio.

Conclusiones e Interpretaciones

Las excavaciones de los túneles en la Fase Coccochan han revelado un complejo arquitectónico que comprende una plaza cerrada interna, de carácter privado, puesto que se encuentra cerrada al menos en tres de sus lados (Este, Norte y Oeste) (Figura 2.15). Hasta ahora los tres edificios identificados, *Ayiin*, *Wo* y *Ahk*, respectivamente, presentan estuco pintado de color rojo, sin embargo ninguno de estos parece tener decoración en estuco modelado. Esto da la impresión de un grupo sobrio. En lo referente a lo arquitectónico esta sobriedad también se hace evidente; aparte de los muros salientes que se encuentran en los cuartos posteriores tanto de la Estructura *Ahk* como *Wo* y de la banqueta/trono encontrado en esta última, la arquitectura de esta fase no presenta mayores adornos. ¿Entonces cuál era la funcionalidad de este grupo?

Como se ha expuesto en años anteriores (Bustamante 2013) se ha jugado con la idea que este grupo en la Fase Coccochan pudo haber servido como grupo residencial, sin embargo en momentos posteriores la funcionalidad de este grupo cambia hacia algo más cívico/religioso con la construcción de la Superestructura 13Q-4E. Sin embargo este puede que no sea el caso. Hasta el momento no se ha identificado un solo rasgo, como banquetas de habitación o nichos, que puedan clasificar este grupo como grupo residencial. Sin embargo puede que sí se haya dado un cambio en la funcionalidad de este grupo, pero que este cambio haya empezado en el grupo mismo.

Las excavaciones, tanto de la Estructura *Wo* como la Estructura *Ahk*, presentan una serie de modificaciones de gran envergadura con el deseo de modificar los espacios y los accesos a los mismos. Si se observa una reconstrucción de esta fase del palacio (Figura 2.15), el Cuarto No. 2 de la Estructura *Ahk*, como el Cuarto No. 2 de la Estructura *Wo*, son modificados a tal manera que se separan de los cuartos frontales de ambas estructuras, pero además modificados para tener un acceso hacia un espacio ubicado hacia el noroeste del grupo. De hecho, inclusive el adosamiento en la parte norte de la Fachada Este de la Estructura *Ahk* parece estar ubicado para “romper” con la vista desde el centro de la plaza hacia este “nuevo” espacio al noroeste. Pero ¿Por qué hacer este grupo aún más privado? La respuesta podría encontrarse en la excavación de esta “nueva” plaza al noroeste. Sin embargo si observamos la disposición del palacio en su última fase constructiva observamos como el área residencial se encuentra al norte de la Superestructura 13Q-4E

(ver excavaciones en la Superestructura 13Q-4F, en el siguiente capítulo). De esta manera podría tratarse que el área residencial se trasladó desde el grupo conformado por las estructuras *Ahk*, *Wo* y *Ayiin* hacia un grupo ubicado al noreste de esta plaza y que haya quedado como un espacio cívico/religioso.

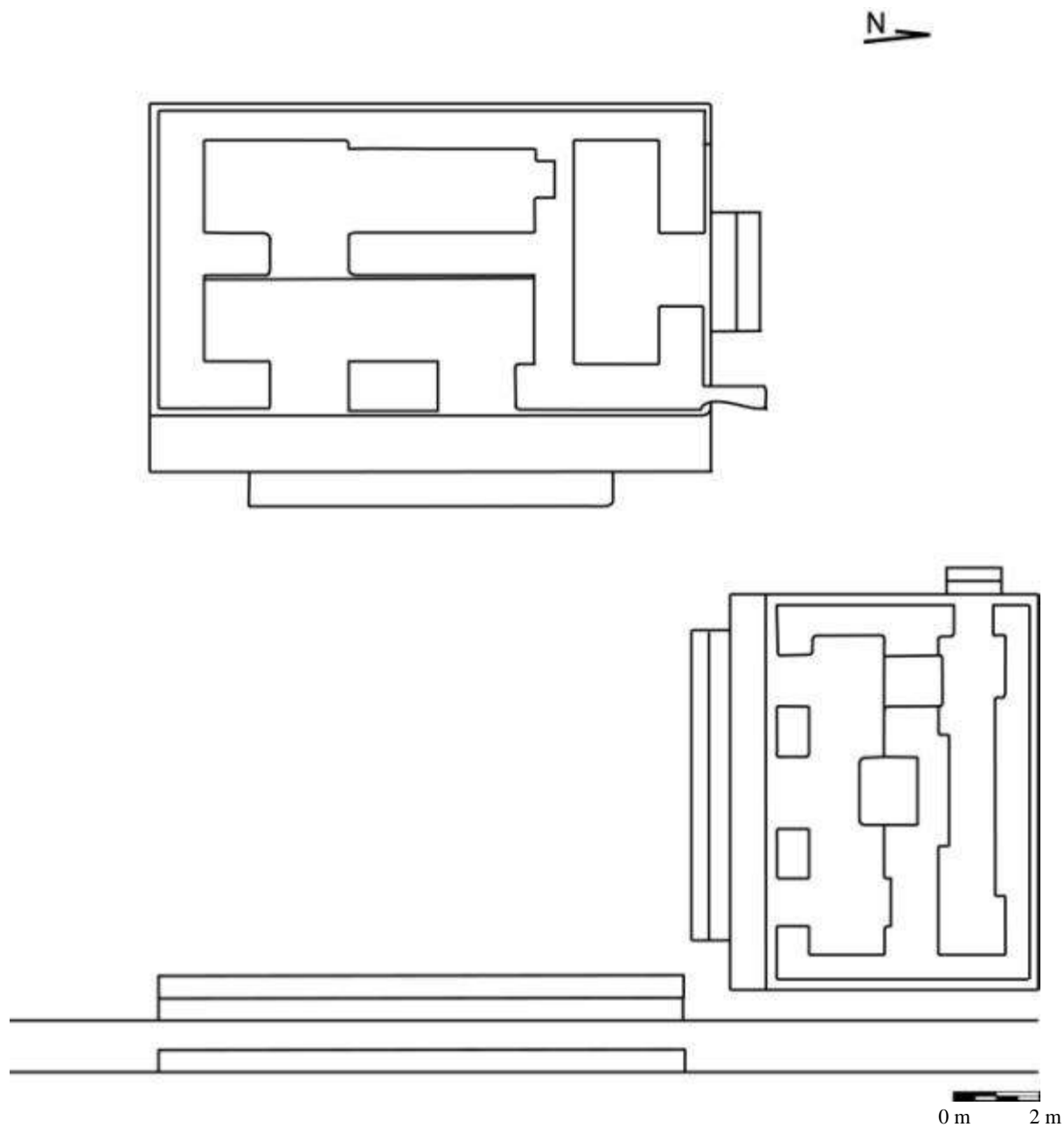


Figura 2.15 Reconstrucción hipotética del Grupo del Palacio en la Fase Cocochan
(Dibujo por E. Bustamante)

CAPÍTULO III

OPERACIÓN CR20F: EXCAVACIONES EN LA ESTRUCTURA 13Q-4F EN EL PATIO NORTE DEL PALACIO DE LA CORONA

Máxime Lamoureux St.-Hilaire

Introducción

El Palacio de La Corona es la estructura arquitectónica más grande del sitio, con una plataforma que mide casi 90 m de largo, más de 60 m de ancho y aproximadamente 6 m de altura. Es un complejo palaciego inusual, ya que posee una estructura piramidal en la sección central, la Estructura 13Q-4E, que se eleva más de 10 m sobre la Plaza Principal del sitio, y soporta dos montículos bajos paralelos. Tal palacio con enfoque piramidal también está presente en el sitio de Cahal Pech, Cayo, Belice, aunque este es el único ejemplo del que está consciente el autor (Ball y Taschek 2001). Alrededor de la estructura piramidal del palacio de La Corona hay cuatro diferentes grupos arquitectónicos. Al sur se encuentra un grupo angosto, como corredor, que se compone de las estructuras 13Q-4C y 4D, y una posible escalinata que lleva abajo hacia la plaza que se encuentra junto a la “aguada real”. Al este hay otro grupo angosto, compuesto de las estructuras 13Q-4A y 4E, que posee la entrada principal al Palacio y la escalinata central, que lleva a la Plaza Principal (Padilla 2010, 2011). Al norte se encuentra el único grupo de patio del Palacio, compuesto de las estructuras 13Q-4B, 4F y 4G, arreglado de forma ortogonal, y ubicado más bajo que los otros rasgos arquitectónicos en el Palacio, haciéndolo un “patio hundido”. Finalmente, en el cuadrante noroeste del Palacio se encuentra un pequeño grupo de patio que incluye dos montículos pequeños, las estructuras 13Q-4H y 4I. Este último grupo más pequeño también posee una escalinata que lleva al oeste a una pequeña plataforma adjunta a la parte trasera del Palacio, la Estructura 13Q-4J, que mide aproximadamente 10 x 10 x 2 m, que posiblemente fue un centro para preparación de alimentos.

Este año, se ideó un programa para investigar la sección norte del Palacio. Se decidió que una buena ubicación para una primera unidad de excavación sería la estructura oeste del patio hundido, la Estructura 13Q-4F, que está contigua a la Fachada Norte de la estructura piramidal 13Q-4E, y no está saqueada. Este capítulo reporta las excavaciones en

la Estructura 13Q-4F, detalla su arquitectura terminal, los rasgos y artefactos notables que reveló, al igual que elementos de la arquitectura de la penúltima fase.

Estructura 13Q-4F

La Estructura 13Q-4F (en este informe referida como Estructura F) mide aproximadamente 16 m de largo, 7.5m de profundidad, y originalmente hubiese tenido 5 m de altura. Actualmente es un montículo de 3.9 m de altura. Las investigaciones en la estructura fueron denominadas Operación CR20-F. Antes que comenzaran las excavaciones, se estimaba, en base a una sección pequeña de un muro expuesto, que la estructura estaba orientada 17 grados este del norte, por lo tanto orientada 107 grados. Sin embargo, las excavaciones revelaron que este estimado era erróneo por 10 grados y que el eje central de la Estructura F estaba a 97 grados. Por ende, las unidades de excavación fueron trazadas en un ángulo equivocado. Por suerte, se identificó el punto central exacto de la estructura y fue utilizado para trazar las unidades de excavación y la desorientación probó tener solamente consecuencias triviales. Se abrió un total de cuatro unidades de excavación, tres de las cuales se extendieron, durante los 21 días de excavación en la Estructura F. La Unidad CR20-F-1 (aquí referida como la Unidad 1), una trinchera de 11.5 x 2 m, se trazó en el eje central del montículo. Las unidades CR20-F-2 y 3 (aquí referidas como unidades 2 y 3), fueron colocadas adyacentes y perpendiculares a la Unidad 1 para expandir las investigaciones hacia las secciones sur de sus dos cuartos. Finalmente, la Unidad CR20-F-4 (aquí referida como la Unidad 4), fue colocada directamente al este de la Unidad 1.

La excavación de las unidades 1, 2 y 3 son reportadas en conjunto, ya que todas investigaron la misma ocupación y son referidas como “excavaciones arquitectónicas”. La excavación de la Unidad 4 se reporta de último, y se refiere a ella como “unidad de patio”.

Excavaciones arquitectónicas

La disposición arquitectónica general de la Estructura F consiste de una estructura larga con dos habitaciones con tres accesos y dos escalones al frente, y podría ser considerada una estructura tándem/no-transversal, según Harrison (2003:103-104). Una sección del cuarto posterior, probablemente también accedido por tres entradas, fue

eventualmente bloqueada por un muro conveniente, subdividiéndola en dos habitaciones (Figuras 3.1 y 3.4).

Nivel 1

Descripción. El Nivel 1, el estrato de humus, corresponde a los lotes CR20-F-1-1, CR20-F-2-1 y CR20-F-3-1. Su matriz estaba compuesta de tierra café oscura, rica en material orgánico, incluyendo muchas raíces y raicillas, al igual que piedras pequeñas y piedrín. La profundidad del estrato de humus varió de 1 a 23 cm.

Artefactos. En cuanto a los artefactos, el Lote CR20-F-1-1 contuvo 73 fragmentos de cerámica, dos fragmentos de navajas de obsidiana y dos fragmentos de estuco modelado. El Lote CR20-F-2-1 solamente incluyó dos fragmentos de cerámica, mientras que el Lote CR20-F-3-1 contuvo 22.

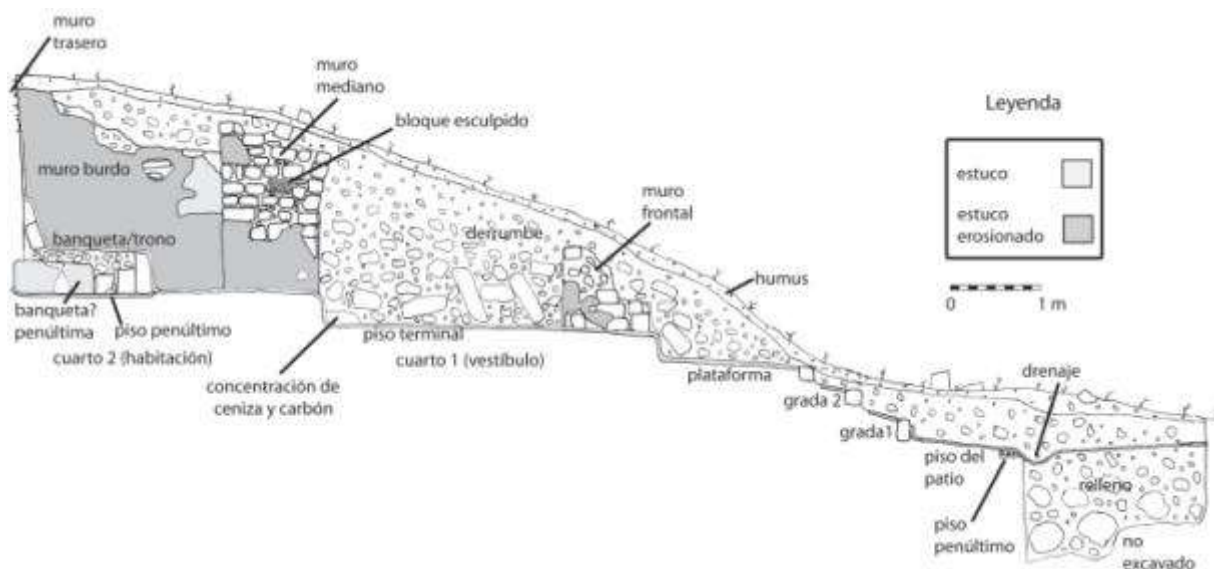


Figura 3.1 Perfil Norte de la Estructura 13Q-4F (Dibujo por M. Lamoureux St.-Hilaire)

Nivel 2

Descripción. El Nivel 2, un estrato de derrumbe, fue subdividido en cuatro secciones, siguiendo la disposición arquitectónica de la Estructura F. Los lotes CR20-F-1-2 y CR20-F-2-2 corresponden al derrumbe excavado frente al muro frontal de la estructura. Los lotes CR20-F-1-3 y CR20-F-2-3 pertenecen al derrumbe excavado en el cuarto frontal del

edificio, mientras que los lotes CR20-F-1-4 y CR20-F-3-2 corresponden al derrumbe excavado en el cuarto posterior de la Estructura F. Finalmente, el Lote CR20-F-1-6 representa el derrumbe recuperado en la porción bloqueada del cuarto posterior. El Nivel 2 estuvo compuesto del colapso de la porción superior de los muros de la estructura, al igual que de su techo y bóveda de arco falso (Figura 3.2). La matriz del Nivel 2 estuvo compuesta de tierra café y amarillenta, de color más blanco y textura más fina a medida que se encontraba más profundo. Se entiende que la matriz más blanca representa el estuco descompuesto que originalmente cubría el interior y exterior de las paredes, techo y cornisa con friso. La profundidad del nivel de escombros varió de 8 a 105 cm frente a los edificios, 100 a 220 cm en el primer cuarto, 112 a 226 cm en el segundo cuarto y 148 a 214 cm en el cuarto bloqueado.

Artefactos. Se recuperaron varios artefactos estupendos en el Nivel 2. Frente al edificio, el Lote CR20-F-1-2 contuvo 184 tiestos de cerámica, 19 fragmentos de pedernal (incluyendo varios fragmentos de bifaciales), cuatro fragmentos de navajas de obsidiana, un hueso de fauna, tres fragmentos de concha y pocos fragmentos de metates y estuco modelado, mientras que el lote más pequeño, CR20-F-2-2, sólo incluyó 20 fragmentos de cerámica. En el cuarto frontal, el Lote CR20-F-1-3 contuvo 279 fragmentos de cerámica, un fragmento de figurilla, 22 fragmentos de pedernal (incluyendo varios fragmentos de bifaciales), siete fragmentos de navajas de obsidiana, varios fragmentos de huesos de fauna, al igual que varios fragmentos de metate y estuco modelado, mientras que el Lote CR20-F-2-3 incluyó 338 fragmentos de cerámica, siete fragmentos de pedernal (incluyendo algunos fragmentos de bifaciales), dos fragmentos de navajas de obsidiana, cuatro fragmentos de hueso de fauna y algunos fragmentos de metate y estuco modelado. En el cuarto posterior, el Lote CR20-F-1-4 incluyó 350 tiestos de cerámica, tres fragmentos de figurilla, diez fragmentos de pedernal (incluyendo algunos fragmentos de bifaciales), un fragmento de navaja de obsidiana, algunos fragmentos de huesos de fauna y algunos fragmentos de metate y estuco modelado, mientras que el Lote CR20-F-3-2 estuvo compuesto de 662 tiestos de cerámica, un fragmento de figurilla, 20 fragmentos de pedernal (incluyendo varios fragmentos de bifaciales), nueve fragmentos de navajas de obsidiana, cuatro fragmentos de concha, un lote de fragmentos de huesos de fauna y algunos fragmentos de metate y estuco modelado. Finalmente, en el cuarto bloqueado, el Lote CR20-F-1-6 contuvo 165 tiestos de cerámica,

16 fragmentos de pedernal (incluyendo varios fragmentos de bifaciales), dos bloques pulidos de piedra caliza dura, un fragmento de navaja de obsidiana y varios fragmentos de huesos de fauna.

Observaciones de Artefactos. En base a la riqueza de los artefactos obtenidos durante las excavaciones del Nivel 2, varias piezas interesantes permitieron hacer observaciones valiosas. En primer lugar, una gran cantidad de piedras alargadas talladas, que medían hasta un metro de largo, fueron encontradas en el derrumbe, generalmente en el eje central de las habitaciones y cerca de la superficie del piso (Figura 3.2).



Figura 3.2 Detalle de piedras de bóveda colapsadas (Foto por M. Lamoureux St.-Hilaire)

Esto nos permite postular con gran grado de certeza que, originalmente, las habitaciones de la Estructura F tenían techo con bóveda de arco falso. Debido a que los muros estaban preservados hasta 2.20 m de alto en algunos puntos sin mostrar muchas señales de estar inclinados, esto también sugiere que el techo era alto, quizás alcanzando una elevación cercana a los 4 m. Asimismo, la incidencia de fragmentos de metates de piedra caliza grandes y planos en el derrumbe sugiere que estos fragmentos posiblemente eran usados como piedras de mampostería.

Fue interesante recuperar varios fragmentos grandes y pequeños de estuco modelado, no sólo en la parte frontal de la Estructura F, sino también en el cuarto frontal y algunos también en el cuarto posterior. Esta intrusión de fragmentos de estuco, especialmente en el cuarto posterior, sugiere que éstos decoraban una porción grande, si no toda la fachada superior. Algo más salió a la luz en relación a los fragmentos esculpidos de estuco. Algunos eran más gruesos que otros. Se volvió claro que algunos mostraban señales de estratigrafía y un fragmento más pequeño incluso mostraba evidencia de moldes negativos en su fachada ventral (Figura 3.3). Consecuentemente, la evidencia sugiere que el friso fue, en algún momento durante la ocupación terminal, estucado de nuevo, o rejuvenecido, quizás cambiando de temática. Esto indica el tiempo invertido en el mantenimiento y cuidado intensivo en la apariencia de este edificio. Lamentablemente es casi imposible volver a unir este rompecabezas de estuco, ya que es posible que sus fragmentos pertenecían a dos diferentes escenas.



Figura 3.3 Fragmentos de estuco modelado con impresión negativa en su superficie ventral (Foto por M. Lamoureux St.-Hilaire)

Otra observación relacionada con las piedras de bóveda es de notable interés. Se encontraron un par de vasijas parciales en la parte superior de las piedras de bóveda, si mucho un metro sobre el piso. Esto trae a la mente preguntas relacionadas a procesos de formación. ¿Cómo cayeron estas vasijas en la parte superior de lo que hubiera sido el punto más alto dentro del edificio? Sugiero que esas vasijas posiblemente estaban colocadas en estanterías o muebles de madera, que hubieran estado situadas contra las paredes de la estructura. Entonces, al colapsar el techo y caer en el piso, trajo abajo este mueble con lo que tenía en él, llevándolo a descansar en la parte superior de las piedras de bóveda. Obviamente, por razones de conservación, no se preservó el mueble de madera, haciendo de esta hipótesis solo una inferencia basada solamente en contexto arquitectónico colapsado y procesos de formación. Consecuentemente, parece que este material cerámico fue encontrado en contexto secundario y puede ser mejor referido como escombros de colapso o restos secundarios (Schiffer 1976; Lamoureux St-Hilaire 2011:29-32).

Nivel 3

Descripción. El Nivel 3 representa la arquitectura terminal de la Estructura F, cuya historia necesita ser subdividida en cuatro fases. La arquitectura terminal original se describe de primero en detalle, seguido por sus dos fases de modificación. Después, se discuten tres diferentes conjuntos de materiales encontrados sobre el piso en asociación a la última ocupación del edificio. Finalmente, se describe la subunidad excavada en la banca terminal, junto con el material asociado al relleno de construcción de la arquitectura terminal original.

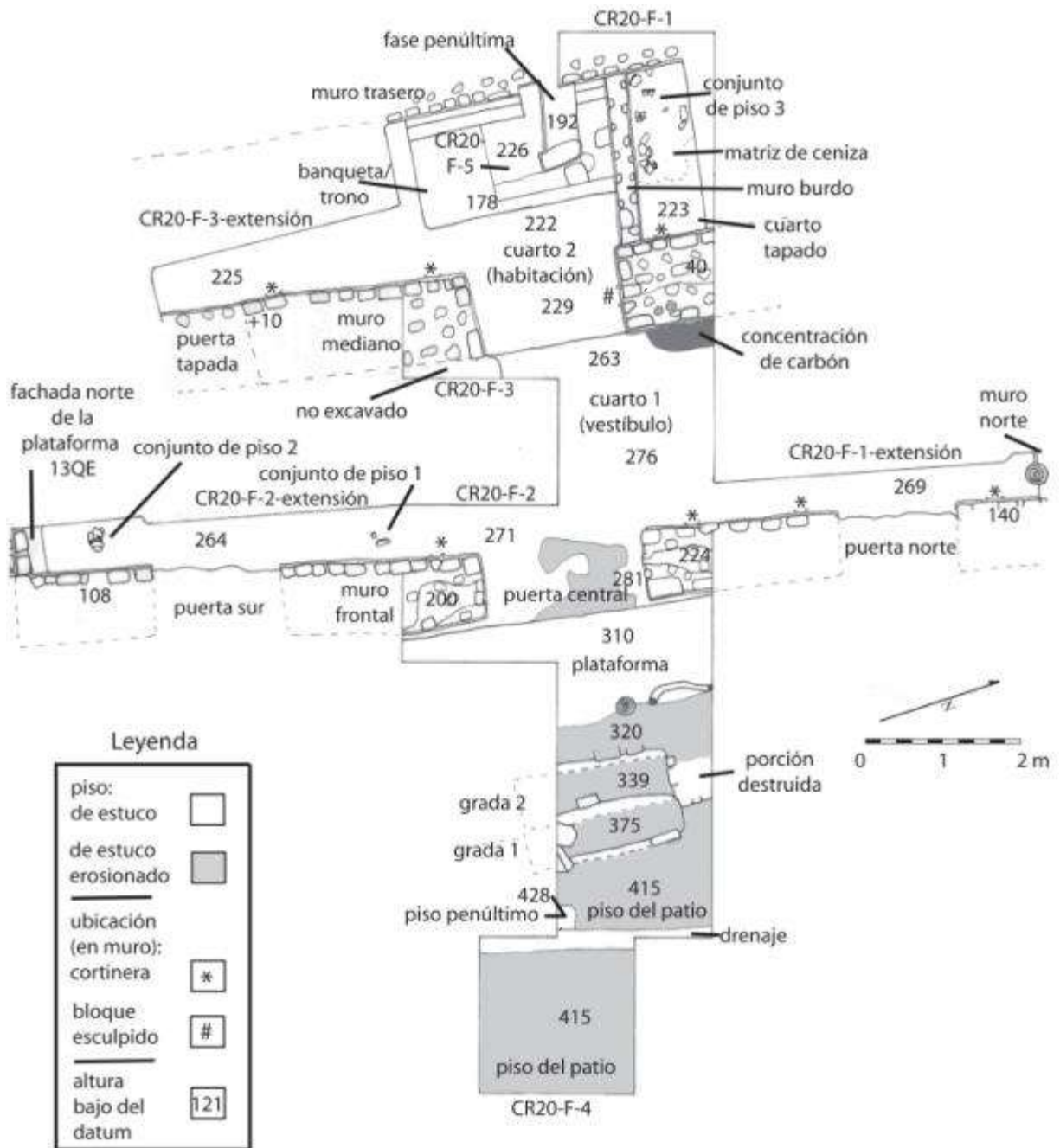


Figura 3.4 Planta de excavaciones realizadas en la Estructura 13Q-4F (Dibujo por M. Lamoureux St.-Hilaire)

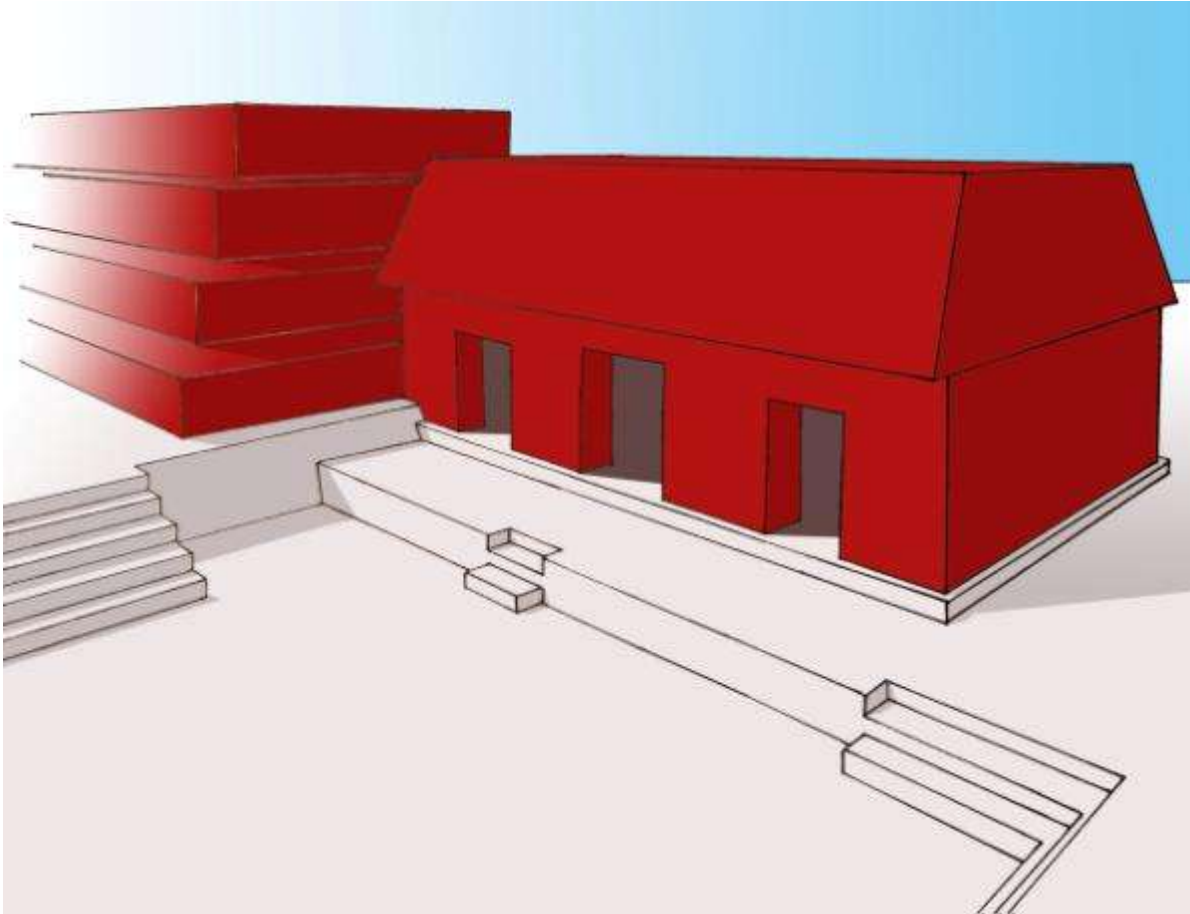


Figura 3.5 Reconstrucción artística en perspectiva de la versión terminal de la Estructura 13Q-4F
(Dibujo por M. Lamoureux St.-Hilaire)

Arquitectura Terminal Original. La Estructura F (Figura 3.5) era un centro prominente en el palacio de un sitio importante. Por lo tanto, se esperaba que por lo menos sus cualidades arquitectónicas fueran considerables. Puede ser descrita como una estructura larga pequeña de dos habitaciones asentada en la parte superior de una plataforma baja. Dos escalones, uno hundido y otro sobresaliente, llevaban a la plataforma desde el piso de plaza. La Estructura F era accesible por medio de tres entradas escalonadas (30 cm de alto) que llevaban al cuarto frontal, o vestíbulo, a través de un muro de 90 cm de grosor. El Acceso Central, con 2.1 m de ancho, era más ancho que los de ambos lados (1.6 m y 1.5 m respectivamente), y puede ser considerada la entrada principal. El vestíbulo medía 13 m de largo y 2.6 m de ancho, haciéndolo un cuarto grande (33.8 m²). La pared dorsal se conservó con una altura mayor de 2 m, la cual no contenía el saledizo de la bóveda, por lo que es

probable que su techo haya tenido aproximadamente 4 m de altura. El segundo cuarto, o cuarto privado, era accedido por al menos dos, y más probable tres accesos escalonados (30 cm de altura) que seguían la misma alineación que los frontales, pero ligeramente más estrechos, a través de una pared de 1.2 m. Es probable que el cuarto privado midiera 13 m de largo y 2.1 m de ancho (cubriendo 27.3 m²). Debido a que el cuarto privado era ligeramente más alto que el vestíbulo, su techo hubiese sido levemente más bajo (probablemente 30 cm más bajo). Una banca grande (300 x 120 x 44 cm) con respaldo (54 cm de altura), colocada justo frente al Acceso Central, ocupaba la porción central del cuarto privado. El gran tamaño y ubicación clave de esta banca le da mucha importancia y es posible que represente un trono para el último gobernante de La Corona. Otras bancas pequeñas pudieron haber estado frente a los accesos de los lados, pero éstas no han sido detectadas. El muro posterior todavía ostentaba 2.2 m de altura, pero no se conoce su grosor, ya que su fachada posterior no fue excavada. El piso, muros y techo originalmente hubiesen sido estucados, y mientras que el estuco de los muros estaba bastante erosionado, el piso estaba muy bien conservado, a excepción de una pequeña porción en el interior del Acceso Central Frontal.

Finalmente, vale la pena resaltar la manera en que la Estructura F colindaba con la Estructura E. De hecho, los arquitectos que diseñaron la Estructura F optaron por usar el nivel inferior de la plataforma piramidal como base para construir el Muro Sur. Consecuentemente, la porción inferior del Muro Sur presentó un rasgo estrecho, inclinado, similar a una banca, que de hecho era parte del nivel norte inferior de la Estructura E. Este método de construcción representaría una economía considerable en relación a materiales de construcción y habría hecho a la Estructura F más fuerte, ya que se "inclinaba" contra una plataforma monumental. Esto también indica que la versión terminal de la Estructura F fue erigida después que la versión terminal de la Estructura E fuese completada. Además, esto unió contextualmente ambos edificios y probablemente es indicativo de una relación funcional.

Un rasgo notable asociado a la arquitectura terminal original son bases para amarrar cortinas, las cuales fueron encontradas en cuatro de las cinco entradas excavadas (la Entrada Sur Frontal no las tenía; Figura 3.6). Estas bases estaban hechas de cuellos de cántaros rotos, los cuales fueron insertados en las paredes, cubiertos con estuco y sostenían

una tabique hecho de hueso de fauna (más probable metapodiales y fémures de venado) donde las cortinas se hubiesen amarrado (Figuras 3.7 y 3.8). Se colocaron cuatro agarradores de cortinas por cada acceso, con las inferiores situadas entre 35 y 65 cm desde el piso y las superiores entre 1.4 y 1.5 m desde el piso. De los 14 agarradores de cortinas que pudieron haber sido recuperados durante la excavación, los siete inferiores y dos de los superiores fueron encontrados *in situ* y dos de los superiores fueron encontrados en el estrato de derrumbe, con un total de 11 de 14 recuperados. Todos los cuellos de cántaro pertenecían a las variedades de Tinaja Rojo (9) y Pantano Impreso (2), sugiriendo una fecha de construcción del Clásico Tardío. En el futuro se espera que uno de los huesos pueda ser fechado con radiocarbono para proveer una fecha cronométrica para la fase constructiva terminal original del edificio.

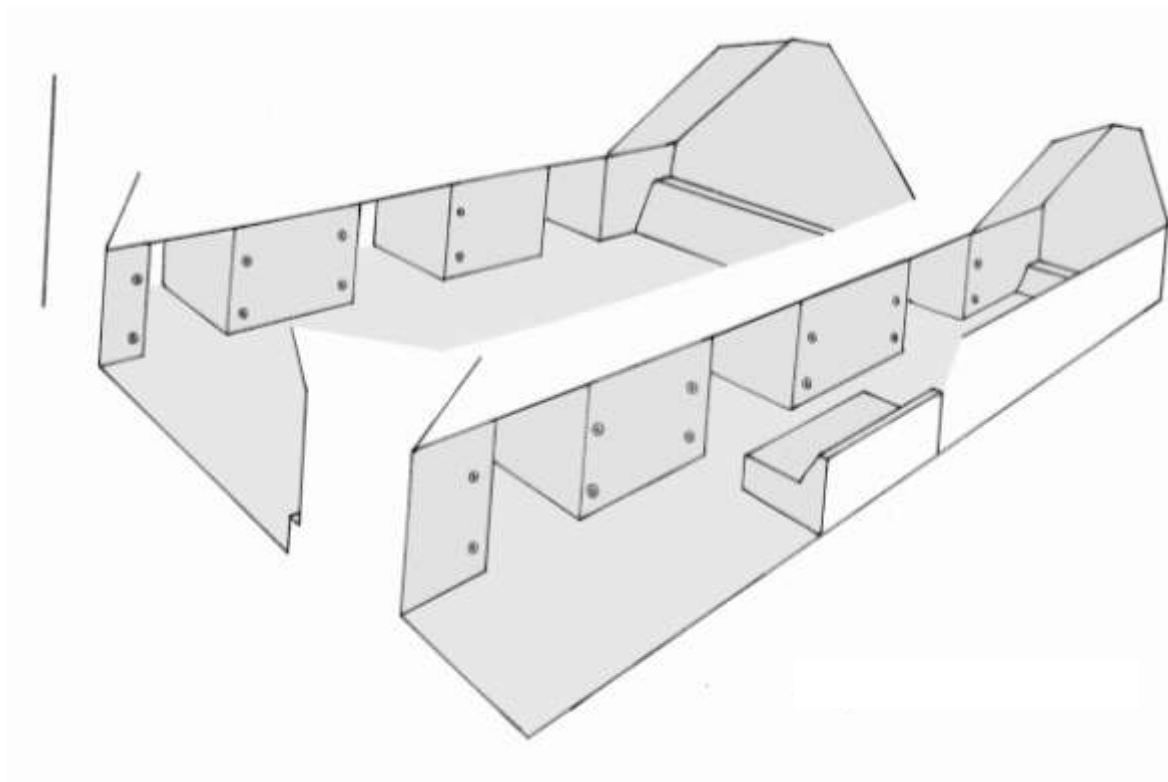


Figura 3.6 Reconstrucción artística en perspectiva del interior de la Estructura 13Q-4F, visto desde la parte posterior
(Dibujo por M. Lamoureux St-Hilaire)

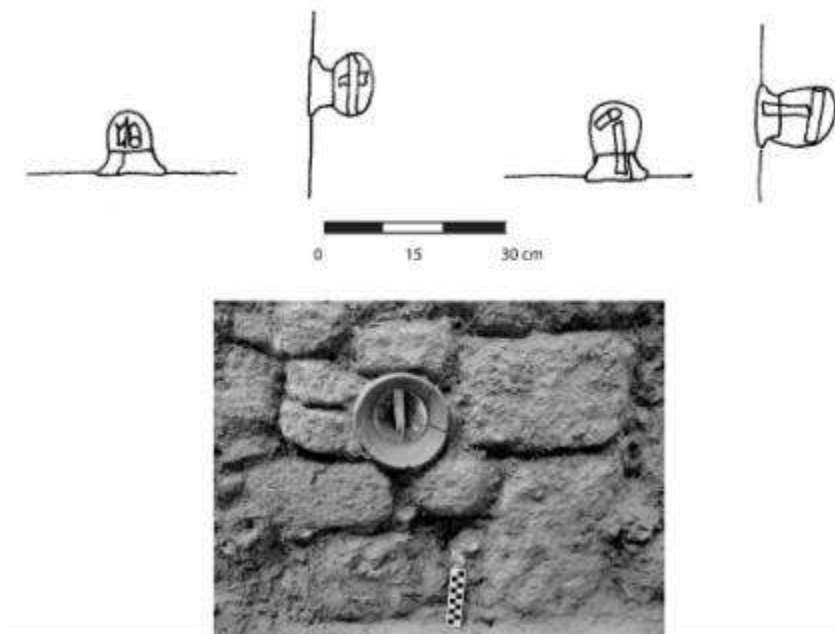


Figura 3.7 Detalles estructurales de las bases para sostener cortinas. Plantas, perfiles (Cortineras 1 y 2) y foto (Cortinera 5) (Dibujo y foto por M. Lamoureux-St. Hilaire)

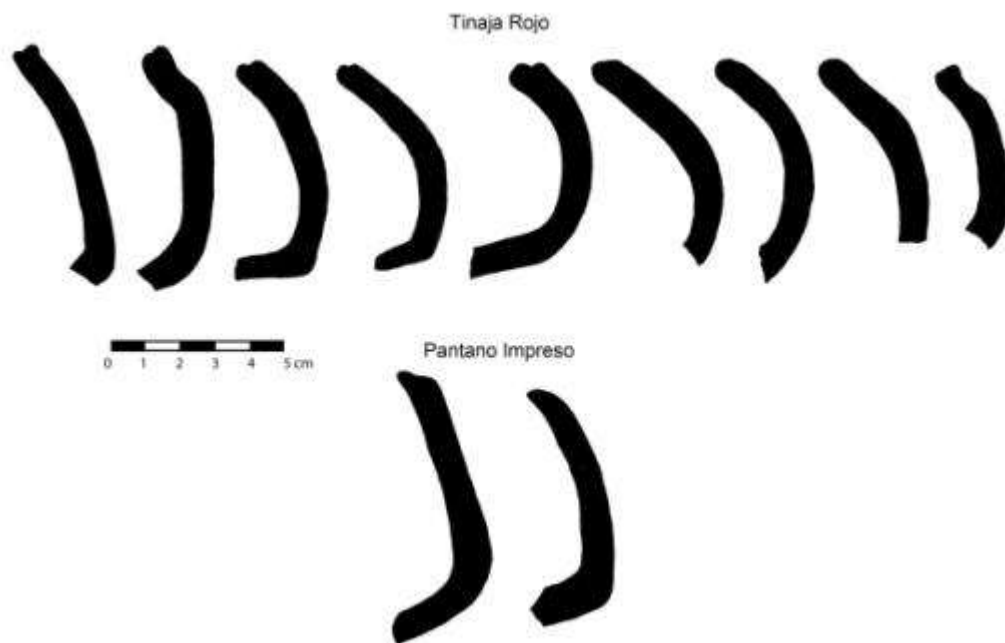


Figura 3.8 Perfiles de las once bases para sostener cortinas recuperadas (Dibujo por M. Lamoureux-St. Hilaire)

Otro rasgo interesante de la arquitectura terminal original de la Estructura F fue un bloque tallado encontrado en el Muro Norte del Acceso Central Posterior (Figura 3.9). Este bloque de 27 x 15 cm muestra un hueso con incisiones diagonales curvilíneas sobre y debajo del mismo, que corresponden al fonema *sa* del título *sajal*. Sin embargo, el resto del glifo está desaparecido. Por lo tanto, es probable que el significado de este bloque con hueso sea primariamente iconográfico. Es notable que el hueso representado muestra dos líneas paralelas que delimitan una posible acanaladura, así asimilando la acanaladura presente en la parte posterior de metapodiales ungulares. Este paralelo entre el hueso tallado y los que fueron usados como sostenedores de cortinas (varios de los cuales tenían esta acanaladura) no puede ser ignorado y sugiere que el bloque representa un hueso de venado. También es posible que el bloque fuera tomado de una ubicación distinta, donde el resto del glifo *sajal* estaba presente y luego colocado en un contexto secundario; una práctica bien conocida en el sitio.

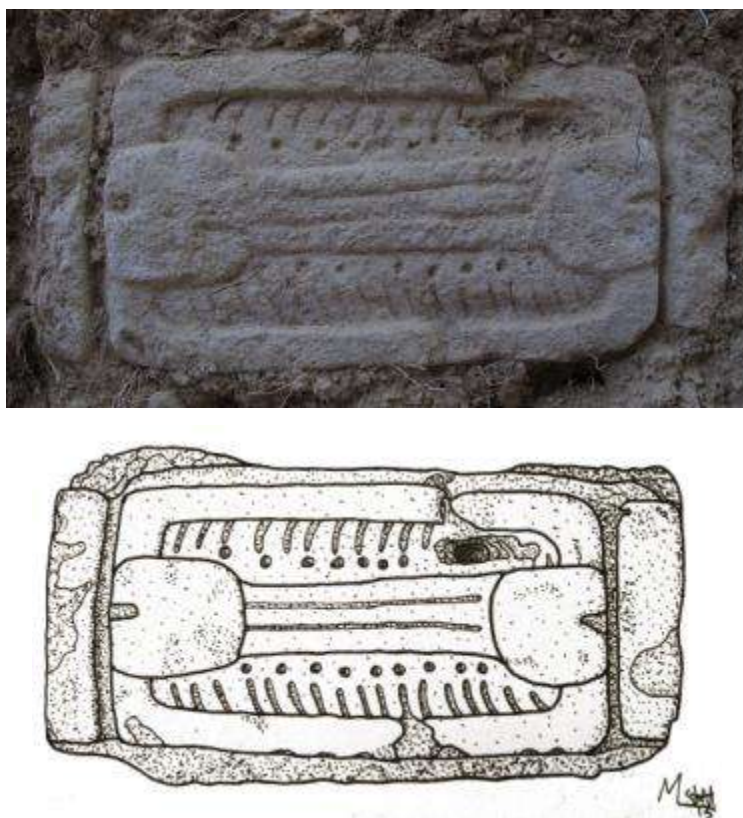


Figura 3.9 Foto e Ilustración del bloque tallado (medidas 27 x 15 cm)
(Foto y dibujo por M. Lamoureux-St. Hilaire)

Primera Fase de Modificación. En algún punto durante su historia, los ocupantes de la Estructura F decidieron bloquear el Acceso Central Sur. Lo hicieron rellenando el vano de la entrada (al menos en el lado del cuarto privado) con la misma mampostería de alta calidad que el resto del muro, en la misma línea. Consecuentemente, esto volvió obsoletos los agarradores de cortinas, ya que ya no tenían ningún acceso para bloquear. Después de cerrar este acceso, la sección sur del cuarto posterior se volvió más privada, siendo accesible solamente a través del espacio angosto junto a la banca.

Segunda Fase de Modificación. En otro momento en la historia de la edificación, sus ocupantes decidieron subdividir más el cuarto privado, bloqueando su sección norte, justo a lo largo del borde norte de la banca. Allí construyeron un muro transversal de 30 cm de grosor, hecho crudamente de pequeñas piedras planas, que fueron cubiertas con estuco. Debido a que no se excavó el Acceso Central Norte, es posible que también haya sido bloqueado. Si ese fuera el caso, entonces la sección norte del cuarto posterior hubiese estado totalmente obstruida. Esto puede tener implicaciones cronológicas, indicando que todo el material encontrado en ese sector “terminado” del cuarto privado es más temprano que el resto del edificio.

Fase de Abandono. Tres diferentes conjuntos de materiales encontrados sobre el piso fueron recuperados en la Estructura F. Debido a que fueron encontrados durante la excavación del Nivel 2, fueron integrados en los lotes de ese nivel, pero guardados en bolsas separadas y etiquetados como “sobre piso”. Los primeros dos conjuntos fueron encontrados en la porción sur del vestíbulo (Lote CR20-F-2-3), a lo largo del muro frontal, y ambos consistían de una vasija parcial fragmentada. La segunda vasija parcial fragmentada fue encontrada boca abajo, con una matriz rica que contenía carbón; consecuentemente, se tomó una muestra considerable de suelo para flotación.

El tercer conjunto de materiales encontrado sobre el piso (Figura 3.10) fue recuperado en el cuarto bloqueado (Lote CR20-F-1-6) y fue más grande que los dos primeros. Consistió en un cuenco fragmentado, un fragmento de tambor doble de cerámica portátil (Figura 3.11), algunos tiestos aleatorios, dos bloques pulidos de piedra caliza dura

(rojo y amarillo) y un bifacial completo de pedernal. Este conjunto fue encontrado en una matriz de ceniza de aproximadamente 10 cm de grosor sin carbón. Se sospecha que este conjunto ha sido expuesto solo parcialmente y probablemente se extiende a la sección norte del cuarto privado, la cual será excavada la siguiente temporada.

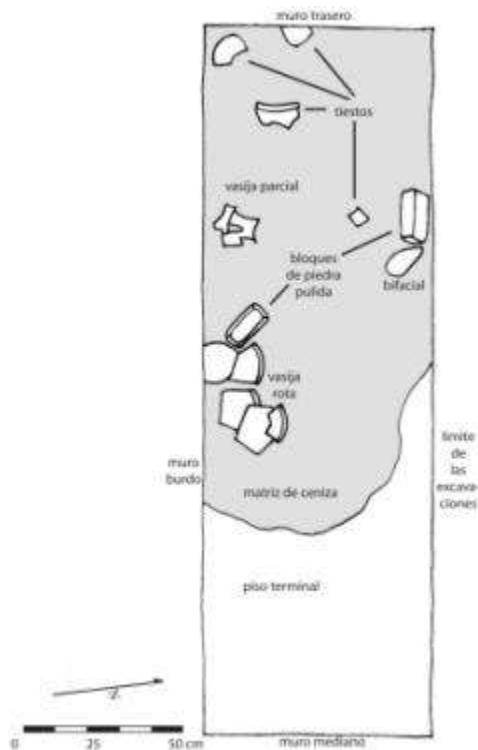


Figura 3.10 Rasgo de artefactos encontrado sobre Piso 3 (Dibujo por M. Lamoureux-St. Hilaire)



Figura 3.11 Fragmento de tambor de cerámica portátil (Foto por M. Lamoureux-St. Hilaire)

Los dos conjuntos más pequeños de materiales encontrados sobre el piso se encontraron aislados y bien podrían representar cerámica que cayó de estanterías u otros muebles al descomponerse o colapsar; por consiguiente pueden ser referidos como escombros de colapso o basura secundaria (Schiffer 1976; Lamoureux St-Hilaire 2011:29-32). Por otra parte, el tercer conjunto, apartado en la esquina de un cuarto, parece representar material dejado en su lugar durante el abandono. Su contexto no representa basura, debido a que la mayor parte todavía era utilizable, por lo que puede considerarse un depósito “de-facto”. Por la naturaleza de los artefactos y el hecho que no se encontraron en la parte central del cuarto, se considera que el origen de este depósito no fue el resultado de un comportamiento ritual, sino de actividades cotidianas.

Finalmente, vale la pena resaltar que una matriz con ceniza que contenía mucho carbón fue encontrada en el piso del vestíbulo, contra la pared dorsal (Lote CR20-F-1-3), y se muestrearon varios fragmentos de carbón. Fechar con radiocarbono estas muestras también nos permitiría identificar una fecha de abandono para la estructura y quizás para todo el Palacio.

Subunidad de la Banca: Descripción. Se excavó una subunidad de 1 x 1.5 m en la banca grande encontrada al centro del cuarto privado (Figura 3.12). Esto se hizo con el objetivo de encontrar un escondite o entierro. Sin embargo, no se encontró tal cosa. En su lugar, se expuso una porción pequeña de la penúltima arquitectura (ver abajo). El Nivel 3, el relleno de la arquitectura terminal, corresponde al Lote CR20-F-1-5. La matriz del Lote CR20-F-1-5 estuvo compuesta de un estrato duro de estuco de 4 cm de grosor superpuesto sobre un estrato de tierra amarillenta compacta mezclada con piedras pequeñas. La profundidad de este estrato osciló entre los 15 a 54 cm.

Subunidad de Banca: Artefactos. La subunidad de banca incluyó un pequeño lote abultado de cerámica compuesto de 29 tiestos. Asimismo, se encontró un trozo de barro endurecido que contenía varios restos macrobotánicos y será analizado en un futuro cercano.

Nivel 4

El Nivel 4 no fue excavado y consiste de la penúltima arquitectura. Fue expuesto en su mayoría por la subunidad de la banca y consiste de algunas piedras talladas en alineación rectilínea con estuco, al igual que tres pisos de estuco superpuestos y el punto donde el piso de estuco se une con la pared posterior, cambiando de ángulo, de horizontal a vertical.

El rasgo de mampostería estucada excavada en la banca terminal aparentemente cruza en una esquina a 90 grados y mientras es enigmático debido a que le faltan varias de sus piedras talladas y tiene orientación diferente que la arquitectura terminal, es difícil imaginar qué más podría ser además de la penúltima banca. De manera interesante, esta “banca” se entromete en el muro posterior terminal por casi 20 cm. Ahí colinda con los restos basales del penúltimo muro pintado de rojo, cuyas piedras talladas parecen haber sido removidas para reusarse. Por lo tanto, es posible sugerir que tanto el penúltimo muro y la banca fueron removidos parcialmente para reusar sus piedras talladas en la renovación del muro terminal, el cual fue engrosado aproximadamente 20 cm, y banca, la cual fue ampliada significativamente. El penúltimo piso más reciente “a” se encuentra 2 cm bajo el piso terminal, uno intermedio “b” se encuentra 1 cm bajo el piso “a”, y el piso “c” se encuentra un centímetro más abajo. El piso “c” parece ser el penúltimo piso más temprano, debido a que corresponde al punto donde se une con el penúltimo muro. Los tres pisos tenían gran parte de su pintura roja preservada.

Es notable señalar que una pequeña porción del penúltimo piso de plaza fue encontrado en la Unidad 1, justo frente a la escalinata que llevaba a la plataforma basal de la Estructura F. Es probable que este piso de plaza temprano esté fechado al mismo período que la penúltima fase estructural. No se encontraron artefactos durante esta pequeña excavación, cuya matriz consistió de un piso de estuco fino superpuesto sobre un estrato balastrado mezclado con tierra amarillenta (todo midiendo 13 cm de grosor).

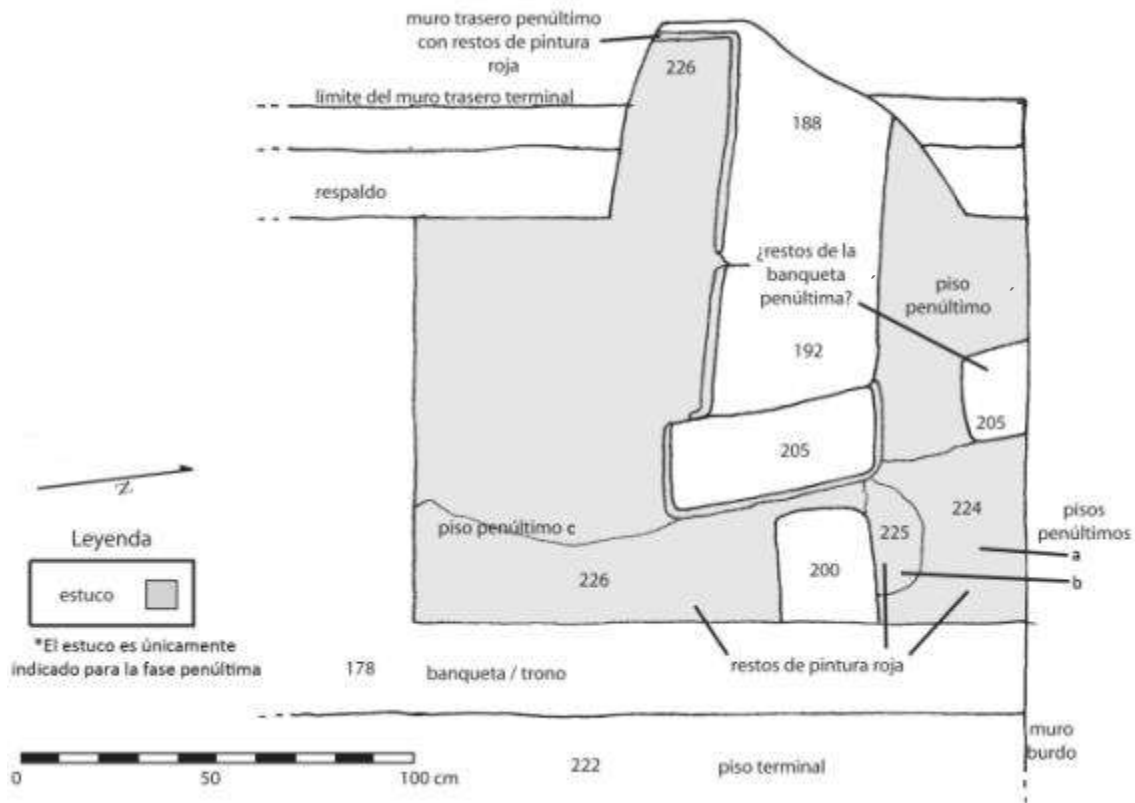


Figura 3.12 Planta de la Subunidad de la Banca (Dibujo por M. Lamoureux-St. Hilaire)

La Unidad de Patio

La unidad de patio, CR20-F-4, es una unidad de 2 x 2 m, ubicada a 1.1 m del escalón frontal de la Estructura F, en su eje central. La Unidad 4 fue excavada con dos objetivos principales: documentar la cronología del patio y alcanzar el nivel de la penúltima arquitectura para comenzar un sistema de túneles que llevará hacia el oeste y documentará versiones más tempranas de la Estructura F. Debido a limitaciones de tiempo, esta unidad no alcanzó un nivel tan bajo y se detuvo a 196 cm de profundidad. La Unidad 4 no se rellenó y en su lugar fue tapada y se continuará su excavación la siguiente temporada.

Tierra de Saqueo

Descripción. La tierra de saqueo proveniente de una trinchera pequeña excavada en la pirámide adyacente, la Estructura 13Q-4E, yacía en la parte superior de la Unidad 4. Fue necesario remover ese estrato antes de comenzar a excavar la unidad de patio. La tierra de

saqueo fue denominada como lote CR20-F-4-Saqueo y constó de una mezcla de humus, escombros y relleno arquitectónico. Estuvo compuesta de tierra café mezclada con tierra amarillenta, muchas piedras pequeñas y pocos cantos rodados. La profundidad de la tierra de saqueo osciló entre los 5 y 39 cm.

Artefactos. Los únicos artefactos encontrados en la tierra de saqueo fueron 23 tiestos cerámicos.

Nivel 1

Descripción. El Nivel 1, el estrato de humus, corresponde al Lote CR20-F-4-1. Su matriz estaba compuesta de tierra café oscura, rica en material orgánico, incluyendo muchas raíces y raicillas, al igual que algunas piedras pequeñas y piedrín. La profundidad del estrato de humus varió entre los 12 y 28 cm.

Artefactos. En cuanto a los artefactos, el Lote CR20-F-4-1 solo contuvo 14 tiestos cerámicos.

Nivel 2

Descripción. El Nivel 2, el estrato de derrumbe, consistió de tierra amarillenta mezclada con piedras pequeñas y representa cualquier segmento de las estructuras F y E que colapsaron y rodaron a la superficie del patio. La profundidad del estrato de derrumbe osciló entre los 23 a los 58 cm.

Artefactos. En términos de artefactos, el Lote CR20-F-4-2 constó de una pequeña concentración de cerámica que contenía 35 tiestos.

Nivel 3

Descripción. El Nivel 3, el nivel terminal del patio, consistió de un piso de estuco erosionado. Algo interesante es que se notó un leve canal de drenaje de agua en el patio, aproximadamente a 1m de la Estructura F. El drenaje era de 15 cm de profundidad y corría en la conexión de las Unidades 1 y 4. El relleno arquitectónico bajo el piso de patio estaba hecho de un estrato de balastro superpuesto sobre una mezcla de piedras medianas y grandes cuyo tamaño aumentaba mientras se profundizaba la excavación. El estrato de piedras grandes casi no incluyó tierra, consistiendo esencialmente de relleno seco. No se

alcanzó el Nivel 4, por lo que estos son solamente datos parciales. Sin embargo, el grosor de la porción excavada del Nivel 3 varió entre los 122 a 83 cm.

Conclusión

La arquitectura de la Estructura F resultó ser bastante elaborada, representando un primer ejemplo de arquitectura con bóveda de arco falso en el sitio. Además de estar bien construida, la Estructura F exhibía un friso de estuco en su fachada y fue construida descansando a un lado de la plataforma piramidal central del palacio (Estructura E). Esta diversidad de evidencias sugiere que la Estructura F jugó un papel central, o por lo menos albergó un agente muy prominente durante su apogeo. Es posible que la banca grande ubicada en el punto focal del edificio haya sido utilizada solo por el rey de La Corona y fácilmente podría denominarse como un trono. Sin embargo, también podría representar un rasgo más privado, ubicado dentro de un cuarto residencial. De hecho, parece natural que el trono “oficial” del señor de La Corona hubiese estado en el punto más prominente del Palacio, en la parte superior de la Estructura E. Se espera que futuras investigaciones en esa área permitan confirmar o rechazar esta hipótesis.

Las dos fases de modificación de su arquitectura terminal, el rejuvenecimiento de su friso de estuco y el múltiple re-estucado de su piso indica un alto nivel de energía invertido en el mantenimiento del edificio. Además, la evidencia sugiere que probablemente fue ocupado por un período largo de tiempo. Afortunadamente, los huesos de fauna usados como puntas en las bases para sostener cortinas y el carbón encontrado en asociación a la fase de abandono del edificio permitirán colocar esa ocupación con fechas cronométricas, al igual que identificar una fecha de abandono para el Palacio, que probablemente corresponda al final de la ocupación de la Plaza Principal del sitio.

Durante las siguientes dos temporadas de campo se excavarán varias unidades en la sección norte del palacio, al igual que en la parte superior de la Estructura E. Estas investigaciones permitirán comprender mejor el papel y funciones del palacio de La Corona.

CAPÍTULO IV

OPERACIÓN CR32: EXCAVACIONES EN LAS ESTRUCTURAS 13Q-2 Y 13Q-25, TEMPORADA 2013

Antonieta Cajas

Antecedentes

La Estructura 13Q-2 es una de las estructuras más grandes de La Corona, y se encuentra ubicada en el límite este de la Plaza Principal. Este edificio ha sido investigado durante cinco temporadas de campo por varios arqueólogos, que han permitido identificar hasta el momento dos fases constructivas y algunos cambios en su última etapa de ocupación durante el Clásico Tardío.

Frente a esta gran edificación, a escasos 20 cm aproximadamente, se encuentra otra pequeña estructura o plataforma, identificada anteriormente como 13Q-2A, pero a partir de este año su nomenclatura cambió a Estructura 13Q-25.

En la Temporada 2013, el objetivo principal fue definir las esquinas norte y sur de la escalinata saliente de 13Q-2. Además de definir los rasgos arquitectónicos de 13Q-25, determinar su temporalidad y por la proximidad a 13Q-2, determinar también su posible función. Para comprender mejor los contextos de los hallazgos derivados de excavaciones realizadas en temporadas anteriores, y asociarlos a los de esta temporada en ambas estructuras, fue necesario re-excavar algunas unidades para lograr una mejor comprensión de los mismos. Su análisis hasta el momento había sido bastante complejo debido a la naturaleza de los últimos cambios arquitectónicos, ya que quedaron inconclusos por parte de los últimos habitantes de 13Q-2 y 13Q-25.

Descripción

Durante esta temporada se excavó un total 29 unidades en su mayoría de 2 x 2 m. Todas las unidades identificadas como CR32-D corresponden a 13Q-2, ubicadas en el lado oeste y al pie de la estructura. La Operación CR32-B corresponde a todas las excavaciones realizadas en la Estructura 13Q-25 (Figura 4.1).

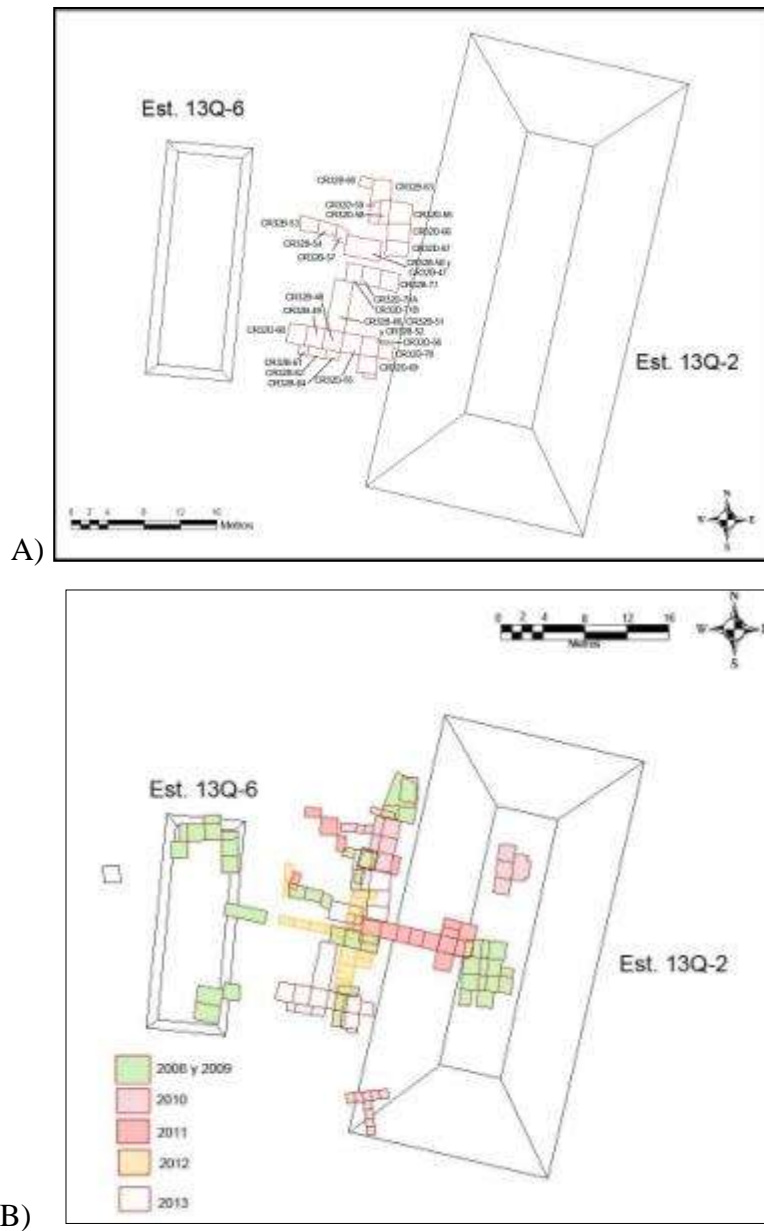


Figura 4.1 A) Ubicación de las unidades de excavación de la Temporada 2013 en las estructuras 13Q-2 y 13Q-25. B) Unidades de excavación realizadas de 2008 a 2013 en las estructuras 13Q-2, 13Q-6 y 13Q-25 (Mapas por M. Canuto)

Unidades CR32B-46, CR32B-51, CR32B-52, CR32B-48, CR32B-64, CR32B-49, CR32B-60, CR32B-64, CR32B-62 y CR32B-61

La mayoría de las unidades tuvo una extensión de 2 x 2 m, y fueron pocas las de 1 x 1 m y 1 x 2 m. El objetivo de esta trinchera fue seguir el muro con dirección norte-sur de la Estructura 13Q-25 (antes 13Q-2A), expuesto en su lado este durante la Temporada

2012. Sobre este muro se quitaron piedras de relleno que formaron parte de la estructura. La Fachada Este del muro presentó algunas piedras talladas y claramente alineadas, principalmente sobre el eje central de la estructura. Hacia el lado sur de la fachada del mismo muro, las piedras fueron puestas sin ninguna alineación y directamente sobre el piso de plaza. El ancho del muro es de aproximadamente 0.90 m con una altura máxima de 0.90 m (Figura 4.2).

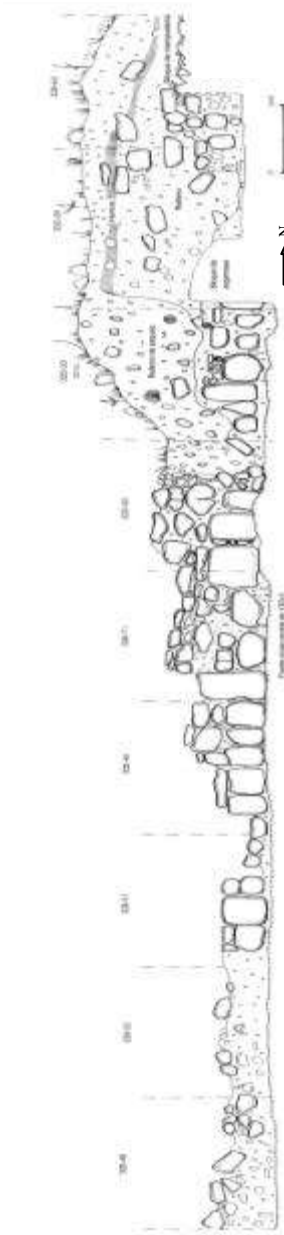


Figura 4.2 Perfil Este del muro de la Estructura 13Q-25 (Dibujo por A. Cajas)

En las unidades CR32B-49, CR32B-48 y CR32B-51 se encontraron dos líneas o bases de muro sobre el piso de la plaza que formaron cajas de relleno en el interior de la estructura (Figura 4.2), y sobre éstos se agregó un relleno de piedras sin ningún aglutinante u otro tipo de preparación arquitectónica, por lo que en un momento dio la impresión de ser un simple amontonamiento de piedras e incluso producto de excavaciones de saqueo (Figura 4.3).



Figura 4.3 Foto del relleno de la Estructura 13Q-25 (Foto por A. Cajas)



Figura 4.4 Foto de los bloques de piedras talladas que fueron reutilizadas como relleno de la Plataforma 13Q-25 (Foto por A. Cajas)

En las unidades CR32B-49, CR32B-64, CR32B-62 y CR32B-61 se encontró el muro que limita el lado sur de la estructura, y en CR32B-60 se encontró la esquina suroeste de la plataforma. En el lado este de CR32B-64 se pudo observar que el muro principal con orientación norte-sur no termina allí, sino que continúa hacia el sur, sin embargo durante esta temporada no se pudo determinar físicamente la esquina sureste de la plataforma.

En el material excavado se encontraron fragmentos de piedras de moler de diversas formas y tamaños (Figura 4.5), además de grandes bloques de piedras talladas (Figura 4.4) que posiblemente formaron parte de la fachada de otra estructura, o probablemente de la Estructura 13Q-2 que fueron reutilizadas como material de relleno, en conjunto con restos cerámicos y escasos artefactos líticos.

Las excavaciones en todas estas unidades tuvieron una profundidad máxima de 1 m hasta llegar al piso de plaza, en el que aún se encontraron restos de estuco bien preservado.



Figura 4.5 Fragmentos de piedras de moler de diversas formas reutilizadas como relleno en 13Q-25
(Foto por A. Cajas)

Unidades CR32B-53, CR32B-54, CR32B-50 y CR32D-47

En estas unidades se encontró el límite oeste de la Plataforma 13Q-25, conformado por otro muro (ver Figura 4.6), alineado con la esquina suroeste (CR32B-60). En las unidades CR32B-57 y CR32B-50 se excavó parte de material de saqueo. En realidad la composición de este material no difiere mucho con el encontrado en su contexto original, con excepción de los colores del suelo, que permitieron ver en los perfiles que hubo una intrusión. En el Perfil Norte de la Unidad CR32B-54 se encontró el límite de otra unidad excavada en 2009 por Stanley Guenter.

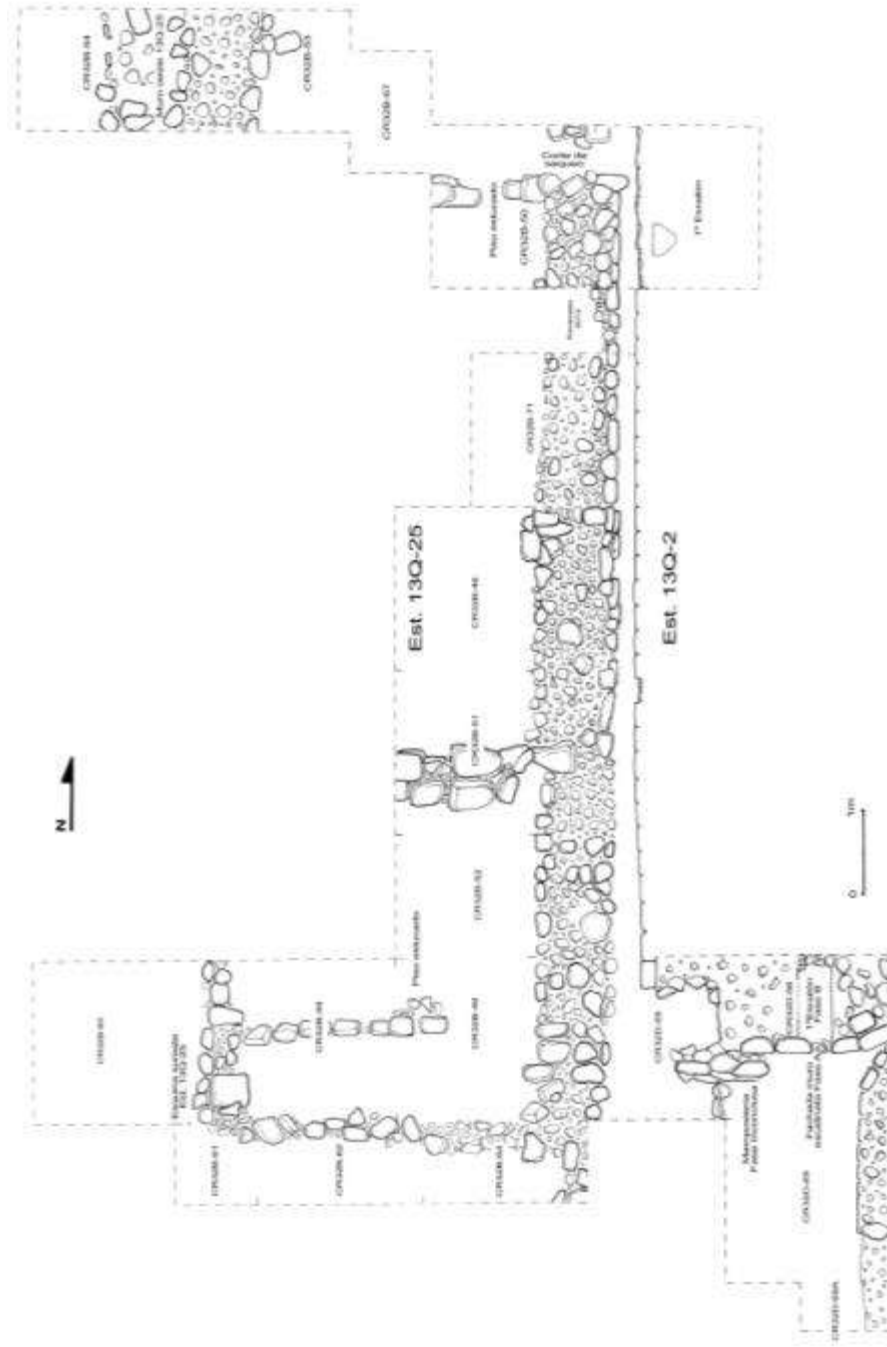


Figura 4.6 Dibujo de planta que muestra parte de los muros de la Estructura 13Q-25, frente a la escalinata de la Estructura 13Q-2
(Dibujo por A. Cajías)

En la Unidad CR32D-47, trazada sobre 13Q-2, únicamente se quitó un pequeño bloque de tierra de 1 x 1 m que no fue excavado en la Temporada 2012 por Cristina Guirola, para conservar un nido de ave. Al removerlo en esta temporada únicamente se descubrió parte del primer escalón de la fachada principal, en donde al igual que las otras partes ya expuestas el año anterior, se hizo evidente que el bloque de contrahuella había sido removido desde época prehispánica.

Unidades CR32B-63, CR32B-68, CR32B-58 y CR32B-59

Estas unidades corresponden a la esquina norte de la escalinata, específicamente al primero, segundo y tercer escalón. En esta parte de la escalinata los bloques de contrahuella también fueron removidos, sin embargo el primer y segundo escalón fueron reparados con mampostería para reemplazar el espacio de los bloques restantes. Es posible que en algún momento se haya pretendido hacer lo mismo en toda la escalinata y el trabajo haya quedado inconcluso, ya que en una parte del espacio de 30 cm entre 13Q-2 y 13Q-25 (CR32B-58) también se encontró este relleno formando una especie de muro perpendicular a la fachada de 13Q-25. A 1 m del primer escalón, y 50 cm del segundo y tercero (CR32B-63 y CR32B-68) se encontró un bloque de mampostería de 70 cm de altura pegado a la fachada de 13Q-25, lo que indica que fue construido posterior a éste, y correspondiente al mismo contexto de la remodelación o última fase de la escalinata (Figura 4.7).

Unidades CR32D-65, CR32D-66, CR32D-67

Estas unidades se ubicaron en el cuerpo de la Estructura 13Q-2. CR32D-65 se trazó hacia el lado este de CR32D-58, con el objetivo de conocer mejor la arquitectura, debido a que la última etapa constructiva resultó ser bastante confusa. Las excavaciones realizadas en la escalinata durante temporadas anteriores, y en parte del primer cuerpo de la fachada, continuamente en su lado norte, revelaron que la estructura fue desmantelada de manera arbitraria. En estas tres unidades se encontraron 16 bloques de piedra tallada que formaron parte de la contrahuella del cuarto escalón, y también se excavaron algunos bloques que formaron parte de la primera terraza de la fachada (Figura 4.8).

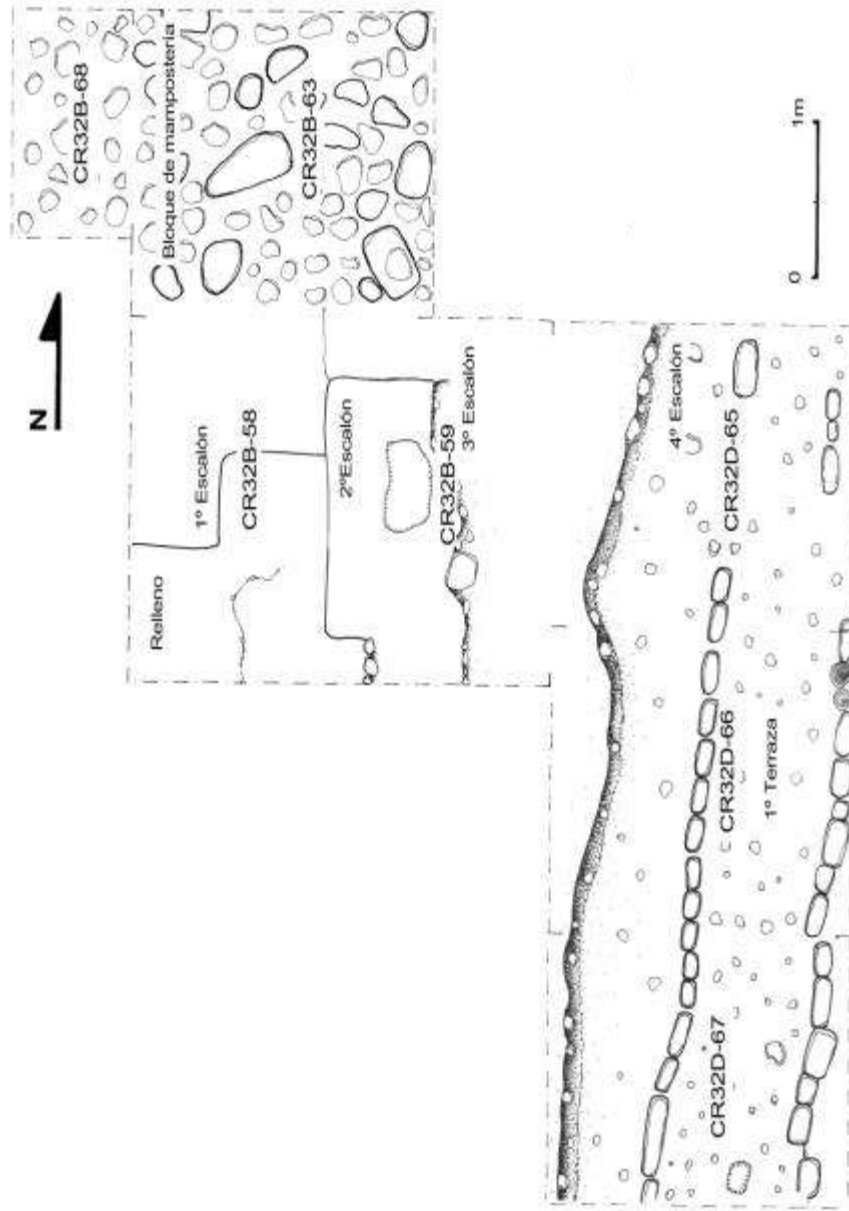


Figura 4.7 Dibujo de planta de la esquina norte de los primeros cuatro escalones de 13Q-2 y un bloque de mampostería, adosado al Muro Oeste de 13Q-25 (Dibujo por A. Cajías)



Figura 4.8 Bloques de contrahuella del cuarto escalón de 13Q-2 y bloques de la primera terraza
(Foto por A. Cajas)

En el límite norte de la escalinata, se excavó el relleno de la última etapa constructiva. Éste estuvo compuesto por una gruesa capa de argamasa que ocultó los bloques de la Fachada Norte de la escalinata saliente. Este relleno tuvo aproximadamente 80 cm de ancho, lo que indica que probablemente se pretendía ampliar un poco más la escalinata en su lado norte. El Muro Norte de la escalinata fue construido con bloques de piedras bastante sólidas y bien trabajadas, con cortes y materiales similares a los bloques de contrahuella que no fueron removidos de la escalinata. Sobre el Muro Norte de la escalinata se agregó posteriormente otro muro registrado en 2010 por Cristina Guirola (CR32D-13). Éste fue construido con bloques tallados de caliza suave y posteriormente recubiertos por una gruesa capa de estuco. Estos mismos rasgos se identificaron en la esquina sur de la escalinata (CR32B-56).

Al seguir excavando parte del relleno de la Fase A de la escalinata, se encontraron dos escalones estucados muy bien conservados, correspondientes a una fase anterior, que ya habían sido registrados por Guirola en 2012, e identificados como Fase B (Figura 4.9).

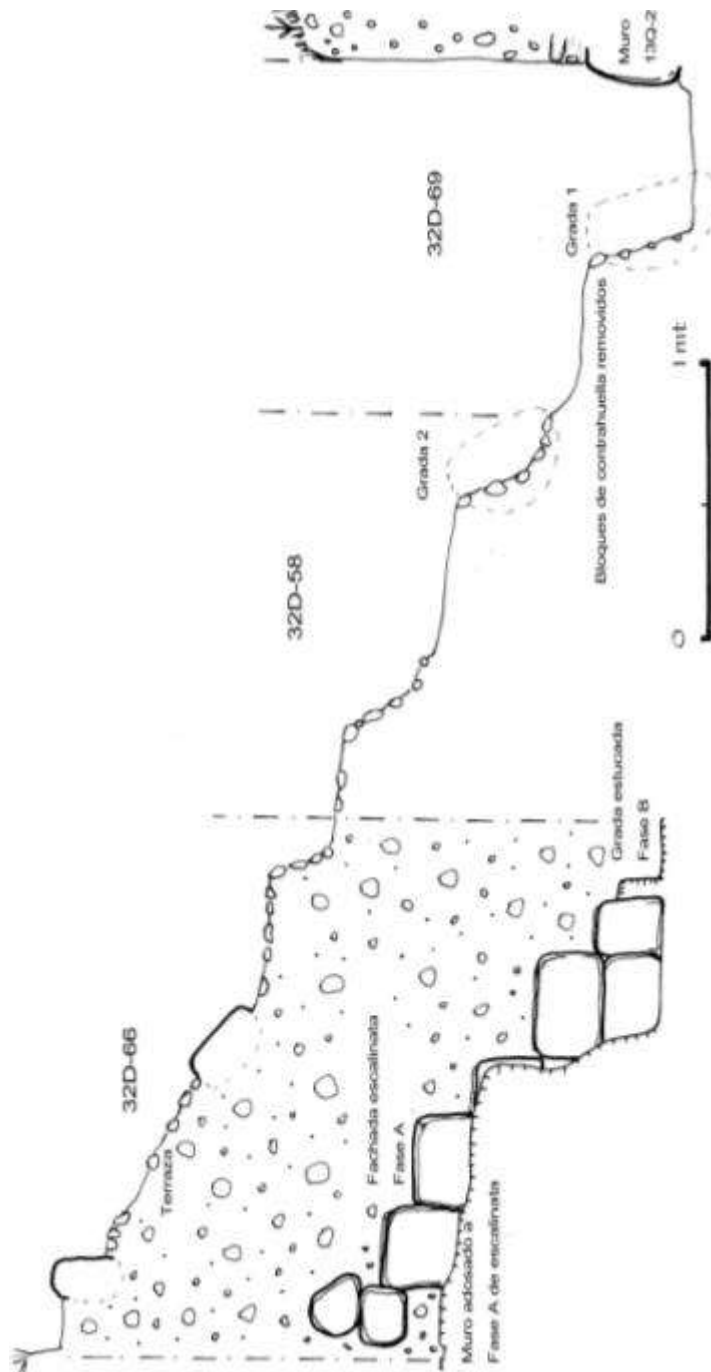


Figura 4.9 Perfil Este-Oeste de la esquina norte de la escalinata de la Estructura 13Q-2 (Dibujo por A. Cajas)

Unidades CR32D70, CR32D-56, CR32D69, CR32D69A y CR32D-55

Estas unidades fueron trazadas en la esquina sur de la escalinata de 13Q-2. En las unidades CR32D-70, CR32D-56, CR32D69 y CR32D-69A, se descubrieron las primeras tres terrazas sucesivas al muro del primer cuerpo de la estructura. Éstas estaban en muy mal estado, y se encontraron cubiertas por material de relleno, similar al encontrado en la esquina norte de los escalones 1 y 2. Este relleno formó parte de la última fase de remodelación que quedó inconclusa por parte de los últimos habitantes del sitio. La Unidad CR32D-55 de 2 x 2 m se trazó sobre una parte que ya había sido excavada en 2012 por Guirola (CR32D-44), con una extensión de 1 x 1.50 m. Al excavar se expuso parte del muro de 13Q-25 en su lado sur, y el piso de plaza (Figura 4.10).

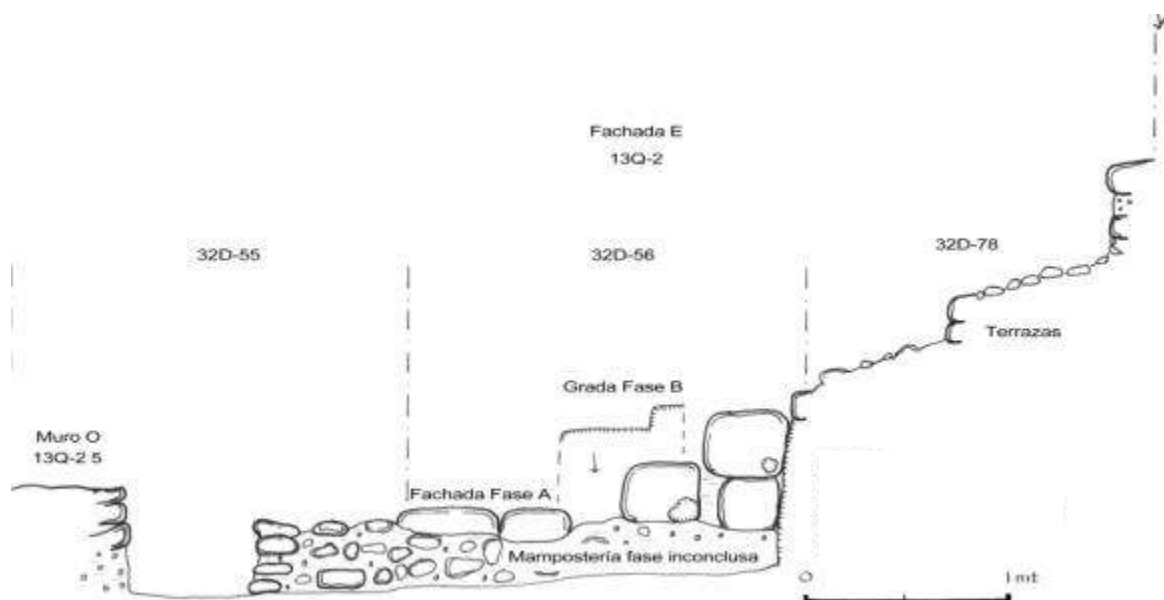


Figura 4.10 Perfil Sur de la esquina sur de la escalinata de 13Q-2, mostrando dos fases constructivas y una última etapa constructiva o remodelación que quedó inconclusa (Dibujo por A. Cajas)

Unidades CR32B-71, CR32D-71A y CR32D-71B

Estas tres unidades fueron trazadas frente al eje central de 13Q-2 y en parte del muro norte-sur de 13Q-25. La Unidad CR32B-71 estuvo ubicada sobre el muro de 13Q-25, frente a los bloques de contrahuella del primer escalón de 13Q-2 que ya había sido excavado en 2012, es decir que en este año se inició a excavar a partir del nivel dos, pero

con diferente nomenclatura para llevar un mejor orden, correspondiente a los nuevos hallazgos. En relación al muro de 13Q-25, éste fue removido hasta llegar al piso de plaza. Debajo del muro se encontró una delgada capa de suelo café de consistencia suelta, en donde se encontró un depósito de fragmentos cerámicos, fechados para el Clásico Tardío (Caroline Parris, comunicación personal). Al excavar el piso de estuco se descubrió que éste cubrió aproximadamente 10 cm de la contrahuella de la primera grada. Los perfiles Norte y Sur de la unidad evidenciaron que el piso de plaza fue cortado para colocar los bloques de contrahuella del primer escalón correspondiente a la última fase registrada como Fase A. Debajo se encontró un relleno de nivelación de color gris de aproximadamente 6 cm de grosor, de consistencia bastante dura y compacta, seguido por otro relleno color café rojizo, también de consistencia compacta, en el que se encontraron pocos materiales, entre ellos dos artefactos líticos y escasa cerámica en mal estado de conservación. Este relleno fue de 40 cm de grosor. Después se llegó a un nivel natural, compuesto de suelo café, con piedras amarillas, formando un estrato bastante compacto.

En la Unidad CR32D-71A se excavó el relleno del segundo escalón de 13Q-2, el cual tuvo 70 cm de grosor, y debajo de éste se encontró el primer escalón estucado correspondiente a una fase anterior. Este escalón es el mismo reportado por Guirola en la Temporada 2012 (unidades CR32D-27 y CR32D-31) y en las esquinas norte y sur excavadas en la Temporada 2013 (Figuras 4.11, 4.12 y 4.13).

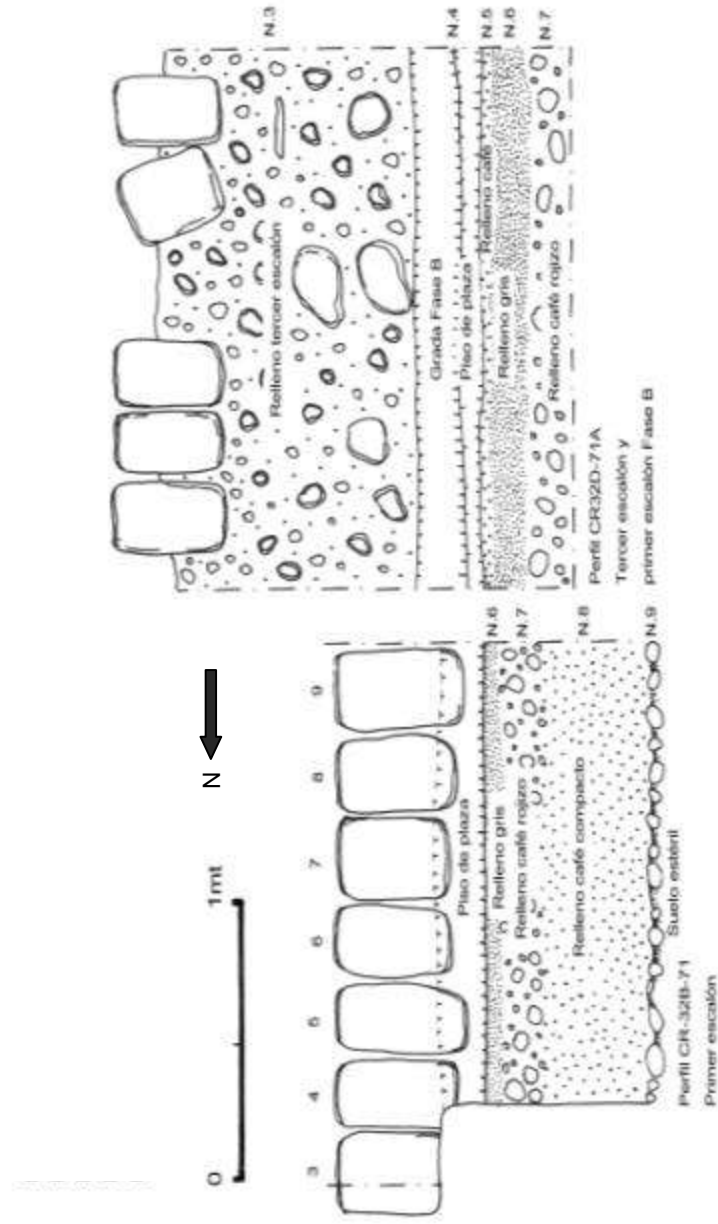


Figura 4.11 Perfil Este de las unidades CR32B-71 y CR32D-71A, que corresponden al primer, segundo y tercer escalón de 13Q-2 (Dibujo por A. Cajas)



Figura 4.12 Unidades CR32B-71 y CR32D-71A y fases constructivas de la escalinata de 13Q-2 (Foto por A. Cajas)

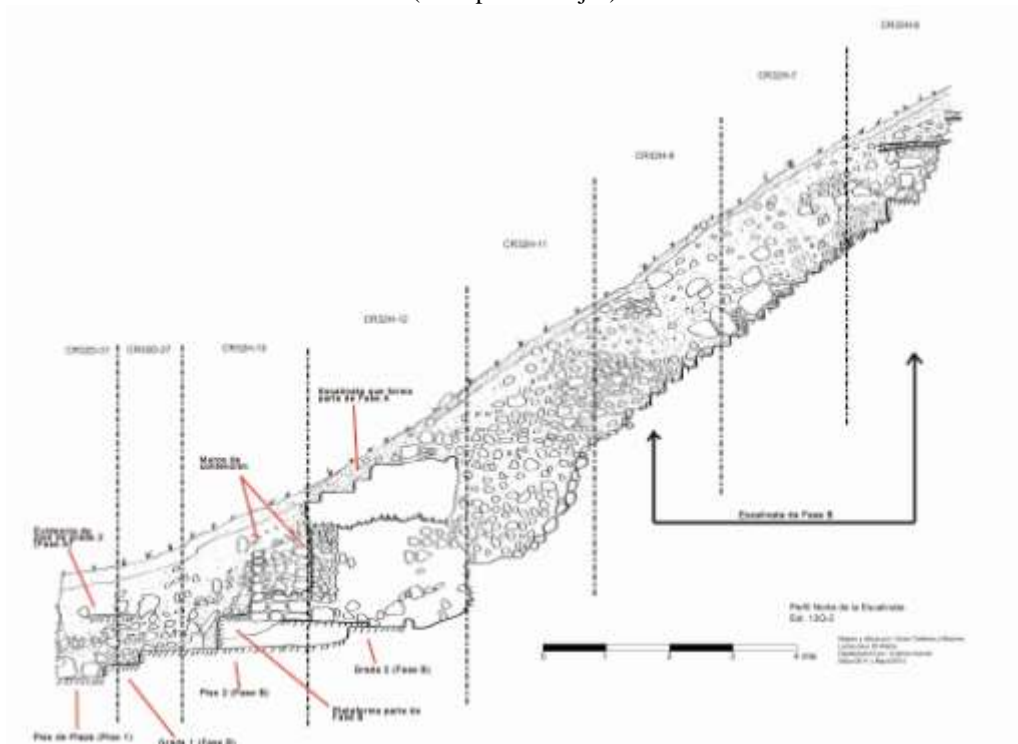


Figura 4.13 Perfil Norte de la escalinata de 13Q-2 que muestra dos fases constructivas (Dibujo por M. Lamoureux y C. Guirola. Fuente: Guirola y Slowing 2013: 89)

Síntesis de resultados de las excavaciones en 13Q-2 y 13Q-25

Durante varias temporadas, las excavaciones en la Estructura 13Q-2 de la Plaza Principal se han enfocado en conocer la arquitectura del edificio, ya que su comprensión ha resultado bastante compleja debido a los cambios y al desmantelamiento realizado en su fase final. Actualmente, lo que se conoce de la superestructura (Figura 4.14), es que está formada por un solo cuarto de 2.40 m de ancho, y aunque no se ha excavado en su totalidad, la simetría de lo que hasta hora se conoce indicaría que probablemente tuvo 20 m de largo. En el interior de la habitación no se encontraron evidencias de divisiones o bancas, pero aún falta excavar los extremos para poder confirmarlo. Frente a la fachada (lado oeste) se identificaron 3 puertas de aproximadamente 2 m de ancho, divididas por muros de igual tamaño (Guenter 2010: 83).



Figura 4.14 Cuarto de superestructura y fachada del muro posterior de 13Q-2 excavada en 2009.
(Foto por Stanley Guenter, 2010:84).

Descendiendo desde la superestructura, las excavaciones concentradas en el eje central de la escalinata permitieron comprender parte de la arquitectura de las dos últimas etapas constructivas. La escalinata se encontró bastante deteriorada en su última fase constructiva, por lo que no fue posible registrar muchos datos en la parte superior. Sin embargo, al seguir excavando se llegó a la fase anterior, y se encontró otra escalinata

perteneciente a una fase anterior (Fase B) que también mostró algunas alteraciones, entre ellas un corte que podría considerarse como un espacio que contuvo algún elemento decorativo, y que fue removido al momento de realizar la construcción de la última etapa del edificio (Figura 4.15) (Guirola y Martínez 2012:198).



Figura 4.15 Trinchera excavada en 2011 que evidencia dos fases constructivas
(Foto por C. Guirola. Fuente: Guirola y Martínez 2012:199)

En general, los registros arqueológicos orientados a la última fase de la escalinata muestran que fue desmantelada parcialmente, ya que fueron removidos varios de los bloques de contrahuella, y los pocos bloques que se encontraron *in situ* mostraron un buen grado de conservación. En los primeros tres escalones están ausentes la mayoría de bloques de contrahuella, con excepción de 27 bloques que corresponden a la primera grada y que aún pueden apreciarse en el lado sureste de la estructura. Se ha planteado la posibilidad de que quizá algunos de los bloques esculpidos o paneles jeroglíficos encontrados en la Estructura 13R-10 formaron parte de la fachada de 13Q-2, pero por razones desconocidas fueron trasladados de su lugar original alrededor de 760 y 850 d.C. (Guirola y Slowing 2013:103).

Las excavaciones realizadas en este año en las esquinas norte y sur de la escalinata, evidenciaron que sobre su última fase constructiva se estaban realizando algunos trabajos de remodelación que quedaron inconclusos. Esto puede argumentarse a partir de algunos hallazgos:

- Los bloques de contrahuella de la escalinata fueron removidos aunque no en su totalidad. De este hecho podría inferirse que algunos de los bloques extraídos pudieron ser sustituidos posteriormente por otros elementos decorativos (Figura 4.16).
- Otro ejemplo son las esquinas del primer y segundo escalón del lado norte. Después de haber removido los bloques de contrahuella, éstos fueron restituidos con mampostería, dándole forma de nuevo a las esquinas de los escalones (Figura 4.17).
- Otro ejemplo son las esquinas del primer y segundo escalón del lado norte, que después de haber removido los bloques de contrahuella. Éstos fueron restituidos con mampostería, dándole forma de nuevo a las esquinas de los escalones (Figura 4.17).
- En los laterales de los límites norte y sur de la escalinata, se encontró mampostería y material de relleno que indican que en algún momento pretendían ampliar la escalinata (Figuras 4.18 y 4.19).



Figura 4.16 Última fase constructiva de la escalinata de 13Q-2 y parte del Muro Este de la Estructura 13Q-25 excavada en 2012 (Foto por C. Guirola. Fuente: Guirola y Slowing 2013:101)



Figura 4.17 Lado Norte de la escalinata que muestra los bloques de contrahuella removidos (al fondo) y las esquinas del primero y segundo escalón restituidas con otro material (Fotos por A. Cajas)



Figura 4.18 En el límite norte de la escalinata, se excavó el relleno colocado en la última etapa constructiva que ocultó los bloques de Fachada Norte de la escalinata (Fotos por A. Cajas)

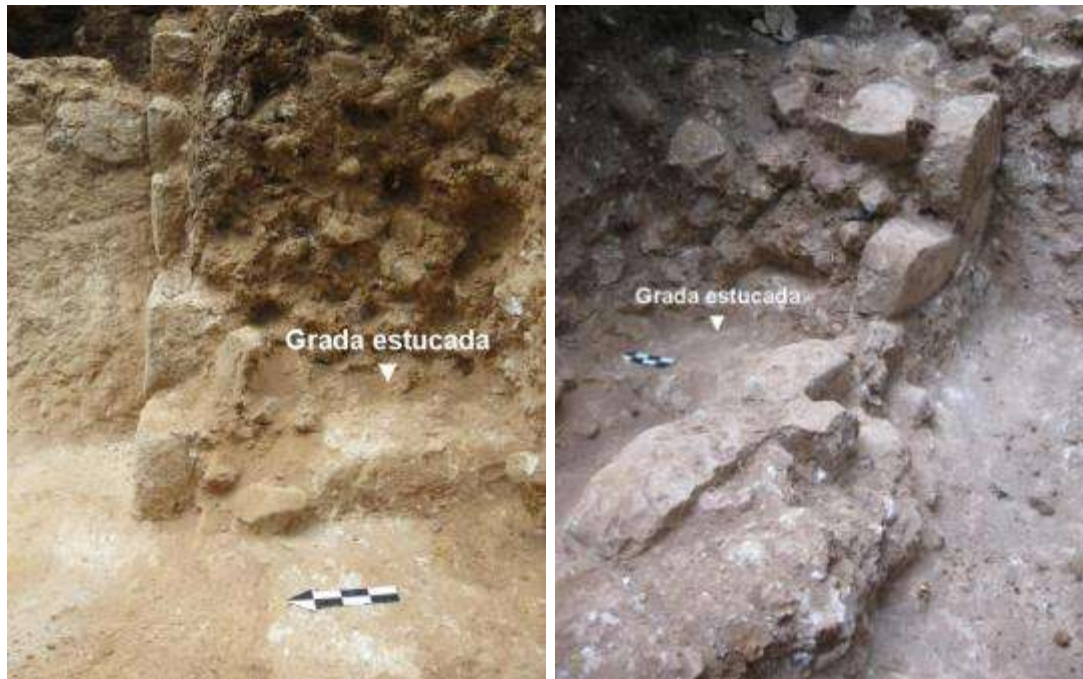


Figura 4.19 Esquina norte y sur de la escalinata de 13Q-2, que evidencian dos fases constructivas. En la esquina sur pueden apreciarse los restos de mampostería que se agregaron sobre la fachada de la Fase A (Fotos por A. Cajas)

Debajo de los rellenos de la última fase constructiva, en las esquinas norte y sur de la escalinata, se encontraron los primeros dos escalones estucados pertenecientes a una etapa anterior, los cuales también fueron registrados en el eje central de la escalinata, con un buen grado de conservación (Figura 4.19).

En relación a las posibles funciones del edificio, éstas no se han podido determinar con certeza. Aunque por su ubicación, y por ser el más grande de su tipo en la Plaza Principal y del sitio, podría argumentarse que quizá fue un templo o edificio de carácter ritual (Guenter 2010: 97). Esto puede apoyarse por el hallazgo de tres incensarios distribuidos en diferentes lugares, fechados para el Postclásico, que evidencian que la estructura fue visitada mucho tiempo después de haber sido desocupado el sitio (Guirola y Slowing 2013:103).

Otro aspecto interesante, y al mismo tiempo intrigante, es que a escasos 20 cm del primer escalón de 13Q-2, sobre el piso de plaza, se construyó una plataforma registrada como 13Q-25. Ésta fue construida con bloques de piedras reutilizadas, entre ellas fragmentos de piedras de moler y varios bloques tallados. Por las formas de los bloques, se puede argumentar que formaron parte de la fachada de otras estructuras y posiblemente de 13Q-2. Es evidente que esta plataforma también quedó en una etapa inconclusa, ya que los bloques tallados y el resto de material del relleno solamente fueron apilados sobre pequeños muros de contención o cajones sin ningún material de mampostería, con excepción del Muro Oeste, que presentó algunas piedras compuestas en hileras, únicamente frente al eje central de 13Q-2 (Figura 4.20). En el relleno de la plataforma se encontró poco material cerámico y escasos artefactos líticos.

A pesar que ya se han realizado excavaciones durante tres temporadas de campo en la Plataforma 13Q-25, no ha sido posible determinar su función. Sin embargo se le ha asociado a otra plataforma (13Q-6) de similares dimensiones, que se encuentra a pocos metros paralela a ésta. A partir de estas coincidencias, se ha argumentado tentativamente que ambas estructuras pudieron haber formado un patio para el juego de pelota. Otro indicio que ha apoyado este planteamiento fue el hallazgo de un monumento circular cortado con sierra, encontrado en la orilla sur del corredor entre ambas plataformas, por lo que podría considerarse como un marcador de juego de pelota. Lamentablemente la Estructura 13Q-6 fue víctima de un saqueo extremadamente intensivo que la destruyó

casi en su totalidad, lo cual indica que esta pequeña plataforma debió tener otros monumentos (Guenther 2010:91).



Figura 4.20 Muro Este-Oeste de la Estructura 13Q-25 y primer escalón de la Estructura 13Q-2
(Foto por A. Cajas)

CAPÍTULO V

OPERACIÓN CR16: EXCAVACIONES EN LA ESTRUCTURA 13R-10 TEMPORADA 2013

Jocelyne Ponce Stokvis

Introducción

La Estructura 13R-10 forma parte del Grupo 13R-II, ubicado al noroeste del Grupo 13R-I o Coronitas, con el cual comparte la misma plaza abierta (Figura 5.1). Esta estructura se encuentra adosada por el lado este a la estructura de forma piramidal denominada 13R-9. La Estructura 13R-10 es una plataforma basal rectangular, alargada en su eje este- oeste, de aproximadamente 19 m de ancho y 30 m de largo. La estructura posee una altura de 2.70 m desde la Plaza Sur, con una orientación de aproximadamente 10 grados al noreste. La fachada principal de esta estructura, al igual que de la Estructura 13R-9, se encuentra en el lado sur donde hay tres saqueos que destruyeron gran parte de la escalinata de acceso. El Saqueo 1 es el saqueo ubicado en el lado oeste de la Fachada Sur, el Saqueo 2 se refiere al saqueo al centro de la fachada y el Saqueo 3 es el que se encuentra ubicado en la esquina este de la misma.

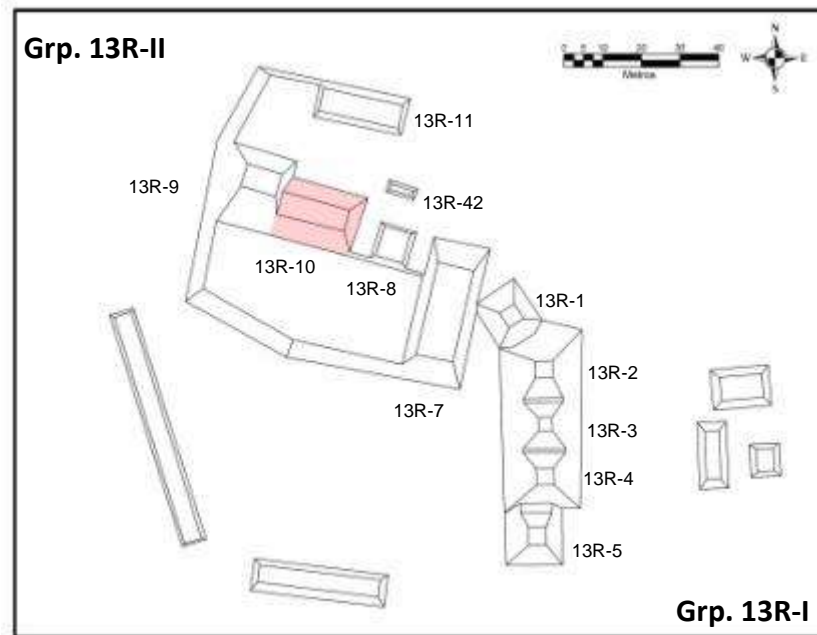


Figura 5.1 Mapa de los grupos 13R-I y 13R-II mostrando ubicación de la Estructura 13R-10 (Mapa por M. Canuto)

Antecedentes

Las intervenciones arqueológicas de años anteriores en las estructuras 13R-9 y 13R-10 han generado datos que sugieren que fue un área importante de actividad durante el Clásico Tardío y Terminal. En 2006 Mary Jane Acuña dirigió la elaboración de un pozo de sondeo ubicado entre las estructuras 13R-9 y 13R-11 como parte del programa de reconocimiento del Proyecto Arqueológico El Perú-Waka'. Este pozo dio como resultado un lote de cerámica de 651 tiestos fechados para el Clásico Tardío. Ese mismo año, el equipo de mapeo encontró un depósito de 1,506 tiestos policromos en la superficie cerca de la trinchera de saqueo de la Estructura 13R-9. Algunos poseían glifos de nombres de personajes de la elite local (Acuña 2007).

En 2008, Mary Jane Acuña dirigió la limpieza de la trinchera de saqueo de la Estructura 13R-9 con el objetivo de determinar la procedencia de la cerámica descubierta en la superficie en 2006. Las excavaciones dieron como resultado más cerámica perteneciente al Clásico Tardío, indicando que la edificación posiblemente fue construida durante esta época (Acuña 2009). Posteriormente, en 2009 Érika Gómez coordinó las excavaciones en la Estructura 13R-9 que se concentraron en la Fachada Sur de la estructura y la plaza frente a ésta. Se descubrieron diversos rasgos arquitectónicos y un escondite con una ofrenda con material marino y lítico en la superestructura, lo que sugirió que en el área se realizaban actividades rituales (Gómez 2010).

En 2010, Enrique Fernández realizó excavaciones en la Estructura 13R-10 que se concentraron en las fachadas Norte y Sur de la estructura. Se logró identificar una posible entrada al sur, mientras que en el lado norte se encontró un muro estucado que marca el borde de la plataforma basal de la estructura, un depósito de cerámica en la base del muro y un *chultun* de 2.53 m de profundidad que fue utilizado como basurero (Fernández 2011). Las excavaciones de la Temporada 2011 por parte de la autora se concentraron en identificar rasgos arquitectónicos de la parte superior de la Estructura 13R-10. Camilo Nájera excavó parte de la Fachada Sur de la edificación y Antonieta Cajas investigó la unión de las estructuras 13R-9 y 13R-10 tratando de encontrar evidencia del tipo de actividad que se realizaba en este conjunto arquitectónico (Cajas 2012; Ponce y Nájera 2012).

Como resultado de la Temporada 2011 se definió la esquina sureste de la Estructura 13R-9 y en la Estructura 13R-10 se identificaron tres habitaciones delimitadas por cuatro muros y dos

banquetas en la parte superior de la estructura, tres cuerpos de mampostería en el lado oeste de la fachada principal y el corredor que separaba ambas estructuras. El hallazgo de dos bloques con glifos (Bloques 9 y 10 de la E.J.A; Monumentos Saqueados 61 y 62) en el escombros de saqueo en la Fachada Sur de la Estructura 13R-10 demostró que esta estructura poseía una escalinata jeroglífica, confirmando la importancia de esta estructura para la elite local y posibles vínculos con la dinastía real. Asimismo, se encontraron numerosos y diversos materiales culturales que son indicios que el conjunto fue un área importante de actividad durante el Clásico Terminal (Cajas 2012; Ponce y Nájera 2012).

Las excavaciones de la Temporada 2012 en el lado oeste de la Estructura 13R-9 dieron como resultado que el exterior poseía cinco cuerpos recubiertos de estuco. También se ampliaron las excavaciones bajo el área donde se halló la ofrenda en 2009 y en uno de los rellenos se descubrió la proveniencia de la cerámica polícroma encontrada en 2006, junto con gran cantidad de huesos de fauna y ceniza, lo que sugiere que podrían ser los restos de un festín ritual realizado durante la construcción de la edificación. En la roca madre se halló un recinto funerario relleno de arena blanca suelta, que nunca fue ocupado. Asociado al recinto se halló solamente un cráneo desarticulado de un individuo joven de sexo indeterminado (Cajas 2013).

Las excavaciones de la Temporada 2012 en la Estructura 13R-10 dieron como resultado la identificación e investigación de la Escalinata Jeroglífica 2 de La Corona en la Fachada Sur, la cual tenía doce bloques esculpidos reposicionados y provenientes de por lo menos cuatro diferentes fuentes originales (Conjuntos A, B, C y D) (Stuart y Baron 2013). Durante la limpieza y remoción del escombros de saqueo se encontraron nueve bloques con glifos descartados por los saqueadores (Bloques 11 a 19 de la E.J.A; Monumentos Saqueados 63-71), los cuales pertenecieron a los escalones originales de acceso y a la cual se le denominó Escalinata Jeroglífica A. También se siguió con la identificación de rasgos arquitectónicos en la parte superior de la estructura, donde se excavó la continuación de los cuartos 1 y 3. Por último, se encontraron los restos de dos estructuras de ocupación terminal, una sobre la Plaza Sur a pocos metros al este de la Escalinata Jeroglífica 2 y la otra adosada al muro este del basamento de la Estructura 13R-10 (Ponce 2013).

Excavaciones de la Temporada 2013

Durante la Temporada 2013 se realizó una excavación estratigráfica en el eje central de la Estructura 13R-10 con el objetivo de conocer las etapas constructivas, específicamente la ocupación temprana de la estructura (Figuras 5.2, 5.3 y 5.4). Para ello se realizaron un total de siete unidades de excavación, tomando como referencia la Unidad CR16A-45 excavada en 2012, ubicada donde se encontraron los Bloques 7 y 8 de la E.J.2 (Monumentos 76 y 77), los cuales marcaban el eje central de la estructura. Inicialmente se trazó la Unidad CR16C-23 en el Cuarto 1 y la Unidad CR16C-24b en el Cuarto 3. Ambos pozos fueron unidos posteriormente con la Unidad CR16C-25, que se ubicó en el Muro Central. Esta temporada, la Unidad CR16A-45 se amplió 3 m hacia el norte, creando una trinchera de 6m de largo en el área donde se encontraba la Escalinata Jeroglífica 2 y Escalinata Jeroglífica A. Esta trinchera se unió con las excavaciones en la parte superior de la estructura por medio de la Unidad CR16C-24a. Inicialmente las unidades CR16C-24a y CR16C-24b eran una sola, pero al identificar diferencias prominentes entre los rasgos en las partes norte y sur del pozo, se decidió separarla en dos partes.

Las excavaciones resultaron en un área de excavación de aproximadamente 14 m en el eje central de la estructura (N-S) y en el hallazgo de siete pisos de estuco que representan tres diferentes etapas ocupacionales desde la primera parte del período Clásico Temprano hasta la segunda parte del Clásico Tardío (Figura 5.5). Del más moderno al más antiguo, a estos pisos se les asignó, con ayuda de los trabajadores, nombres de árboles frutales locales: Guaya, Chico-Zapote, Ramón, Aceituno, Mancuernillo, Sacpá, y Poité. De igual manera, se encontraron tres entierros (Entierros 9, 10 y 11) y cinco ofrendas, haciendo un total de siete ofrendas recuperadas hasta el momento en el eje central de la Estructura 13R-10 (ver Informes 2011 y 2012) (Figura 5.6). Por su parte, las unidades CR16C-26 y CR16A-46 fueron sondeos realizados con el objetivo de obtener más información de la Escalinata Jeroglífica A. Los lotes utilizados en las excavaciones fueron culturales. Se continuó con la nomenclatura utilizada en las temporadas pasadas, por lo que la Suboperación CR16A se ubicó en la Plaza y Fachada Sur y la Suboperación CR16C en la parte superior de la estructura. El datum utilizado fue el Piso Aceituno con una elevación de 102.89 m. De sur a norte, primero se describen los resultados de la Unidad CR16A-45. Luego se reporta la excavación de las unidades CR16C-24a y CR16C-24b, cada una por separado. Posteriormente se presentan los resultados de los pozos CR16C-23 y

CR16C-25 en conjunto y por último la excavación de las unidades CR16C-26 y CR16A-46 por tratarse de pozos de sondeo.

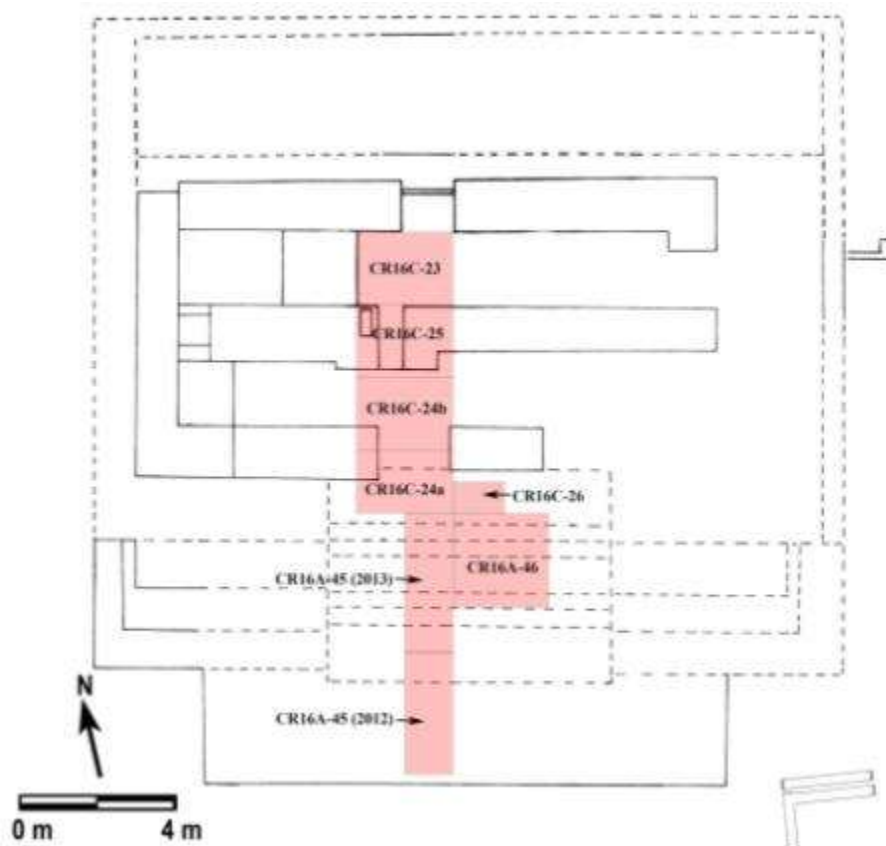


Figura 5.2 Ubicación de unidades de excavación con rasgos arquitectónicos de la última ocupación como referencia (Dibujo por J. Ponce)

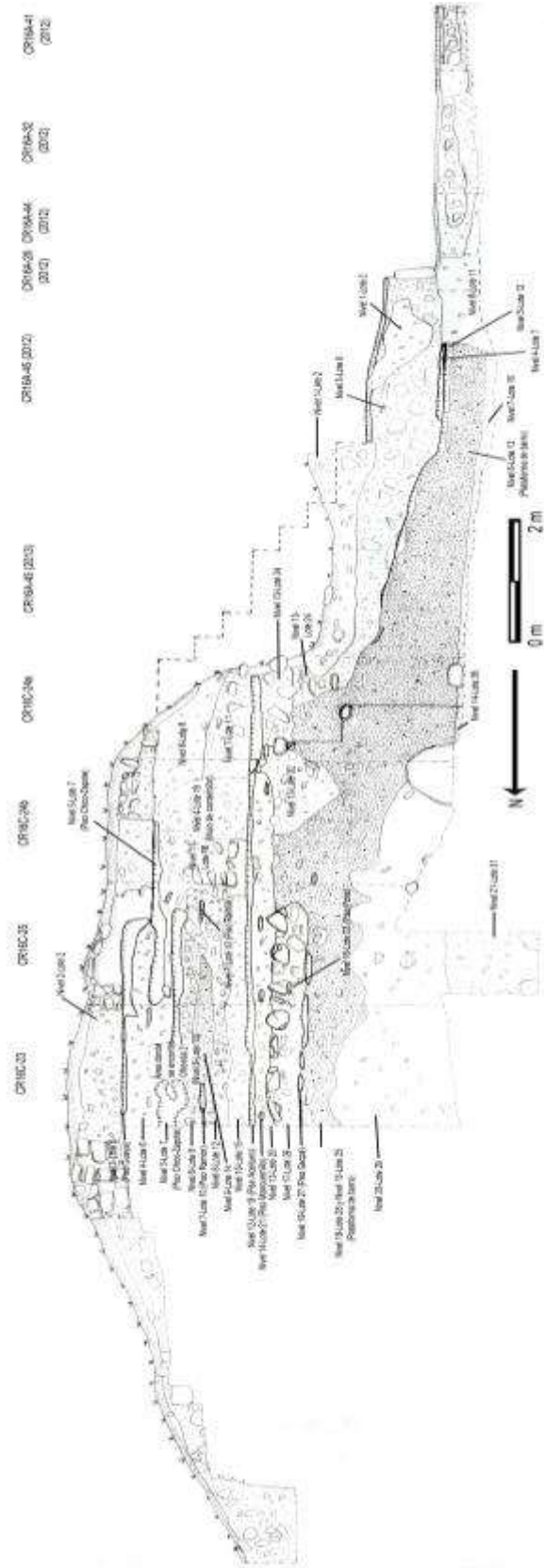


Figura 5.3 Perfil Este mostrando niveles y lotes identificados esta temporada (Dibujo por J. Ponce)

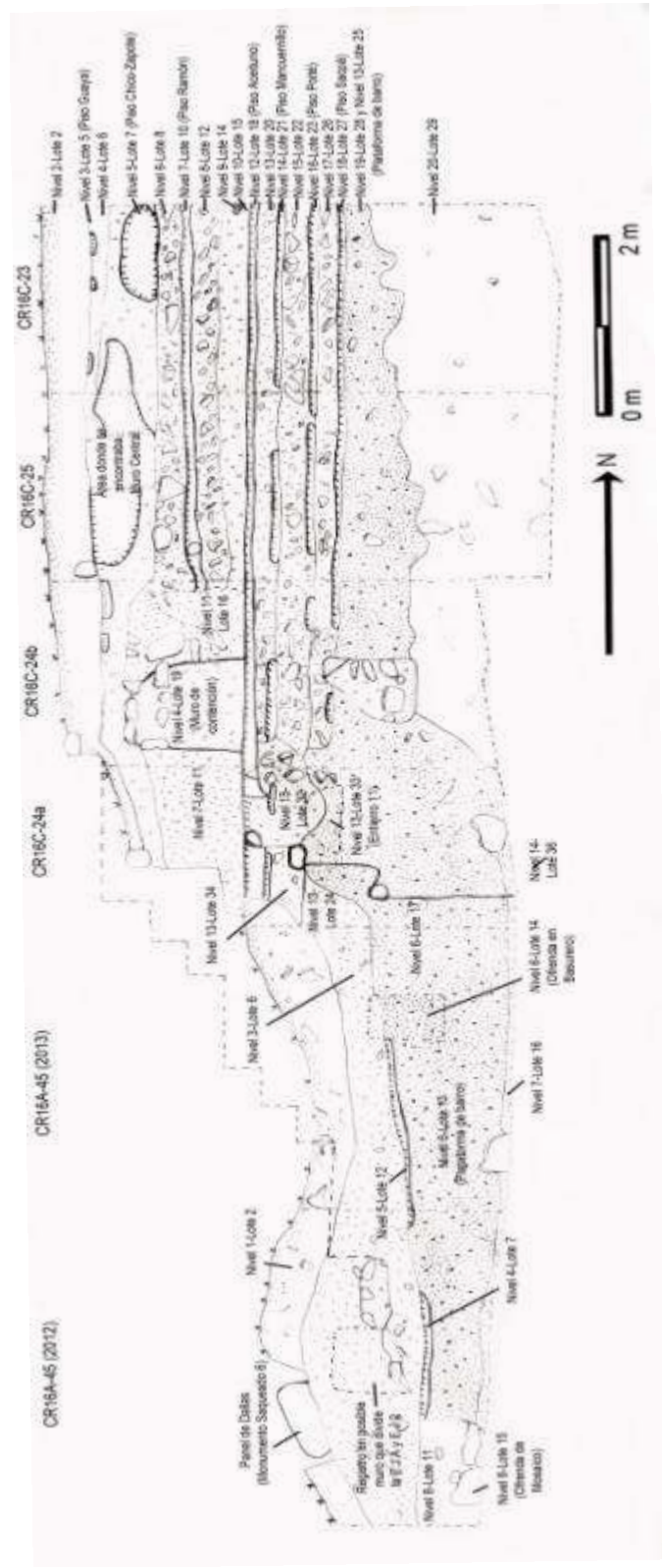


Figura 5.4 Perfil Oeste mostrando niveles y lotes identificados esta temporada
(Dibujo por J. Ponce)

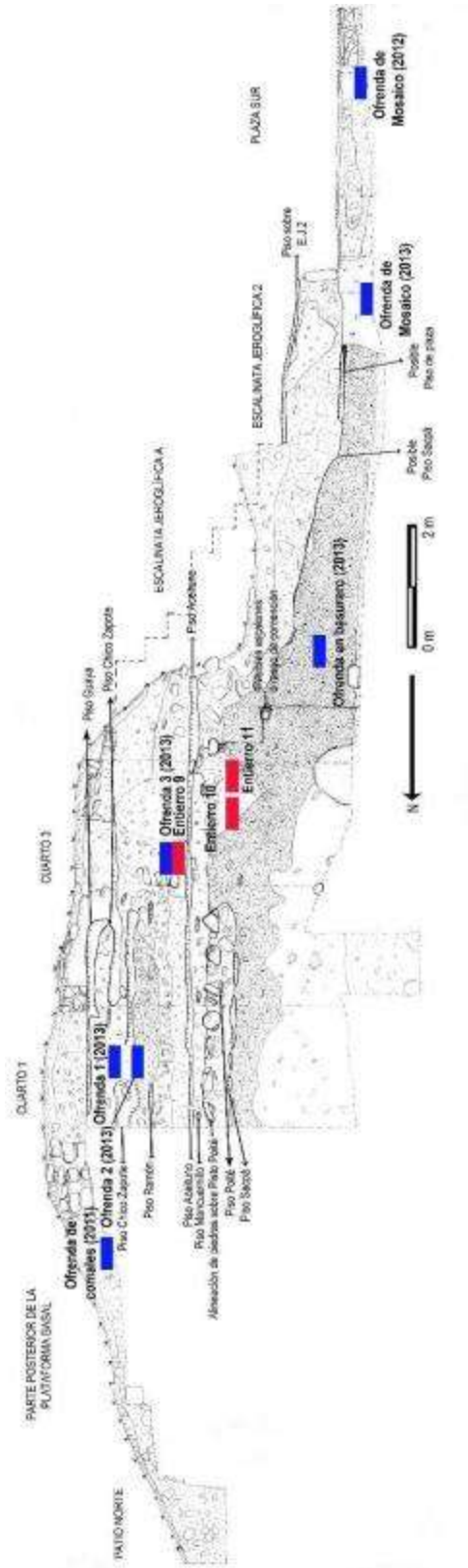


Figura 5.4 Perfil Oeste mostrando niveles y lotes identificados esta temporada
(Dibujo por J. Ponce)

Figura 5.5 Perfil Este mostrando los principales rasgos identificados
(Dibujo por J. Ponce)

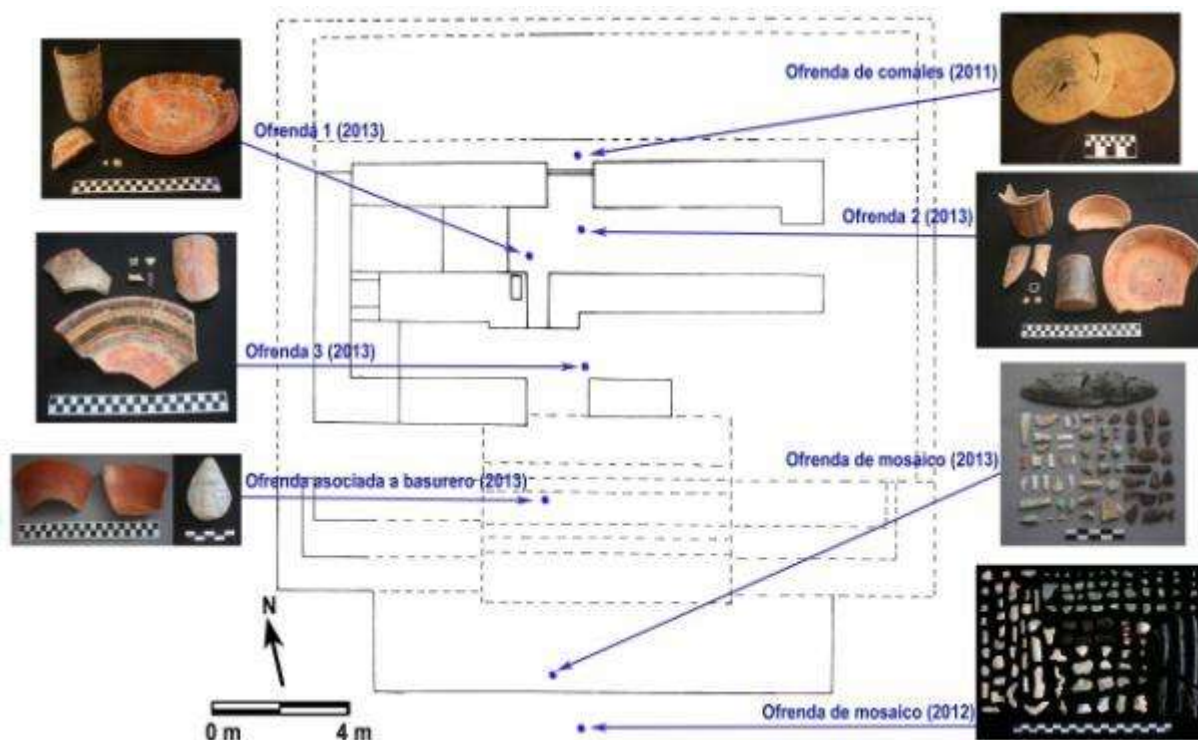


Figura 5.6 Ubicación de ofrendas encontradas en el eje central de la Estructura 13R-10 (Dibujo por J. Ponce)

Suboperación A: Excavaciones en la Fachada Sur

Las excavaciones en la Fachada Sur de la Estructura 13R-10 constaron de solamente dos unidades: CR16A-45 y CR16A-46. Como se mencionó, la primera fue la continuación de la trinchera excavada en 2012 en el eje central de la estructura, que tenía 3 m de largo x 1 m de ancho. Este año este pozo se extendió 3 m hacia el norte, abarcando un total de 6 m hasta unirse con la Unidad CR16C-24a. La segunda unidad, CR16A-46, constó de un pozo de 2.5 m de largo x 2 m de ancho al este de la Unidad CR16A-45, que será descrito posteriormente junto con la Unidad CR16C-26 como parte de las excavaciones de sondeo de la Escalinata Jeroglífica A. En las investigaciones en la Suboperación A se identificaron siete niveles y diez lotes de excavación, tres de los cuales ya habían sido identificados el año pasado, por lo que se continuó con la misma nomenclatura de la Temporada 2012 (ver Informe 2012 para la descripción de lotes identificados anteriormente). La Unidad CR16A-45 alcanzó una profundidad máxima de 2.10 m desde la superficie.

CR16A-45

Nivel 1-Lote 2. El primer lote, también identificado en 2012, fue la tierra de saqueo encontrada en el Saqueo 2, en el área donde se encontraba originalmente la Escalinata Jeroglífica A y Escalinata Jeroglífica 2. Se encontró a una profundidad máxima de 70 cm desde la superficie y se obtuvieron 16 tiestos cerámicos y un fragmento de pedernal.

Nivel 3-Lote 6. Este segundo lote también fue identificado en 2012 y constó de tierra café suelta, mezclada con piedras medianas y grandes, que conformaba el relleno original de ambas escalinatas. Este relleno se encontró debajo de lo que correspondería a la Escalinata Jeroglífica 2 y Escalinata Jeroglífica A, indicando que ambas fueron contemporáneas. El análisis preliminar de la cerámica indica que fueron construidas durante el Clásico Tardío. Este relleno se encontró a una profundidad de 70 a 140 cm desde la superficie y se obtuvieron 42 tiestos cerámicos y dos fragmentos de pedernal. Cabe mencionar que se realizó un registro de 60 x 60 cm en el Perfil Oeste, ya que se pensó que una aglomeración de piedras encontradas formaba parte del muro que divide la Escalinata Jeroglífica 2 de la Escalinata Jeroglífica A (Figura 5.7). Sin embargo, esto no se halló en el Perfil Este y el registro realizado no aclaró el contexto.

Nivel 4-Lote 7: Piso de plaza. Este lote corresponde al piso de estuco de la Plaza Sur, el cual también fue encontrado en 2012 bajo la Escalinata Jeroglífica 2. Se encontró a una profundidad de 140 a 146 cm desde la superficie y no se recuperó material cultural. La temporada pasada se había descubierto que el piso de estuco estaba cortado, ya que se encontró 1 m al norte de los bloques de la Escalinata Jeroglífica 2 y abarcó solamente 1.10 m de norte a sur y todo el ancho del pozo, por lo que se esperaba encontrar una ofrenda debajo. Sin embargo, al romperlo se encontró un segundo piso de estuco.

Nivel 5-Lote 12. Este lote corresponde al segundo piso de estuco encontrado bajo el piso de plaza descrito anteriormente. Se encontró a una profundidad de 146 a 150 cm desde la superficie y no se recuperó material cultural. Este piso cubría una plataforma de barro que será descrita a continuación. Como se verá más adelante, se cree que éste corresponde al Piso Sacpá identificado en las excavaciones de la Suboperación C.

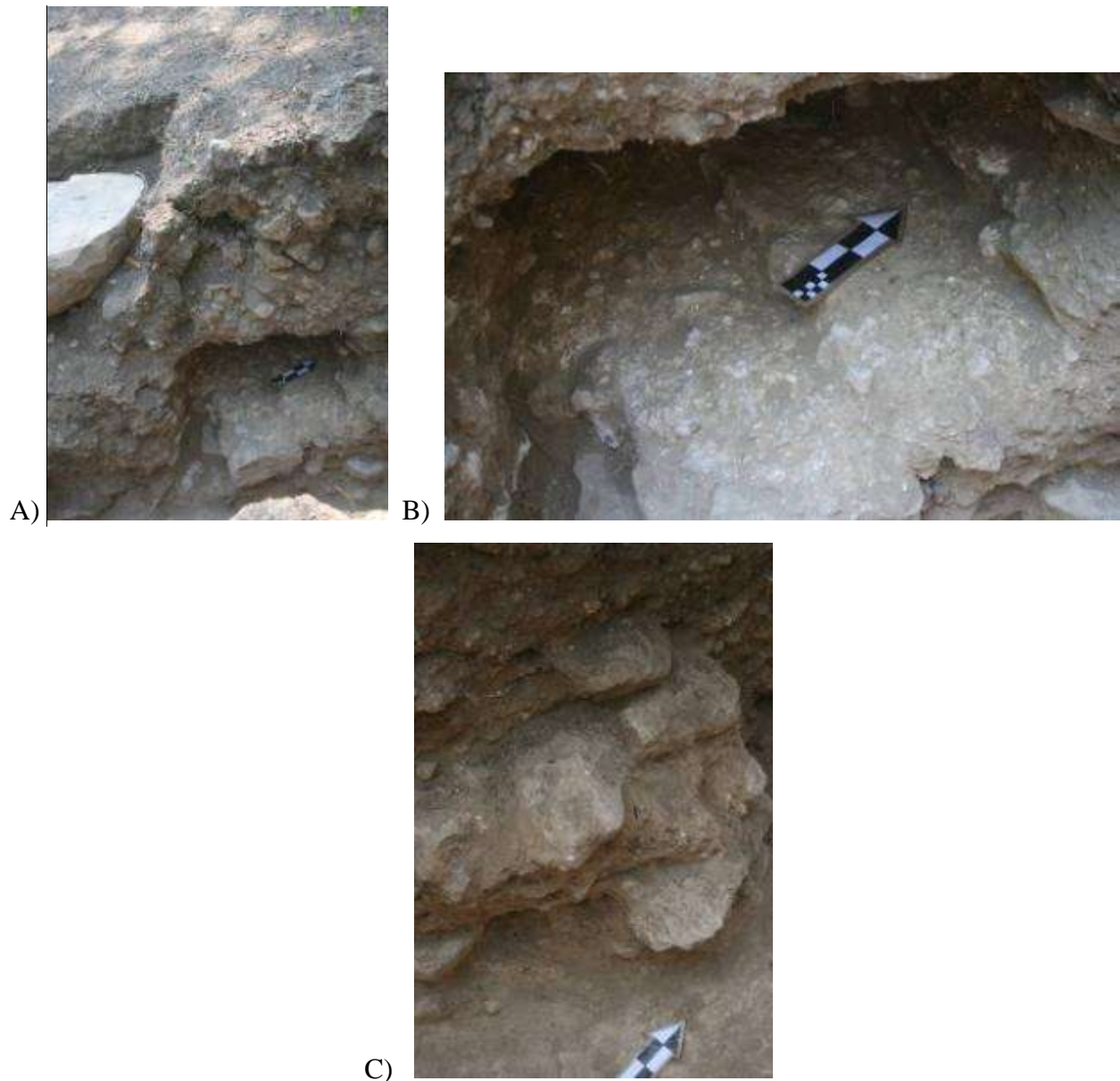


Figura 5.7 A) y B) Registro en el Perfil Oeste de la Unidad CR16A-45. C) Posibles piedras de muro que dividen la Escalinata Jeroglífica A y la Escalinata Jeroglífica 2 (Fotos por J. Ponce)

Nivel 6-Lote 13: Plataforma de barro y basurero. Este relleno constó de barro café oscuro, compacto, mezclado con piedras pequeñas. Se encontró a una profundidad variable de 60 a 200 cm desde la superficie, en ascenso desde la Plaza Sur hasta la parte superior de la estructura. En este relleno se encontró gran cantidad de cerámica y caracoles correspondientes a los restos de un basurero. Caracoles similares fueron recuperados como parte del Entierro 6 en la Estructura

13R-2 en 2011, los cuales fueron identificados por Diana Fridberg como una variedad de agua dulce que pudo haber provenido de inmediaciones del área de La Corona (Baron 2012: 245). Se observó que algunos caracoles poseen un pequeño agujero de 5 mm x 3 mm en promedio, probablemente para colocar un hilo o cuerda, lo que sugiere que algunos pudieron haber sido utilizados como ornamentos o joyería. Se recuperó un total de 1,929 tiestos cerámicos, más de 100 caracoles, un fragmento grande de concha nácar (8.5 x 8.5 cm), dos conchas bivalvas, cuatro fragmentos de figurillas, tres piedras no identificadas, un caracol tallado de piedra, tres fragmentos de pedernal y una muestra de carbón (Figuras 5.8, 5.9 y 5.10). Se cree que dos de los fragmentos de figurillas podrían ser sellos, y una de las piedras no identificadas, redondeada y lisa de ambas caras, podría representar un machacador utilizado para romper los caracoles para comerlos.

Aunque el basurero se encontró hasta el límite de la Unidad CR16C-24a, posteriormente fue posible identificar que este relleno forma parte de una plataforma temprana de barro cubierta por el Piso Sacpá y representa la primera ocupación de la Estructura 13R-10. Como se verá más adelante, se cree que el Piso Poité también podría estar asociado a esta misma ocupación. El análisis preliminar de la cerámica del basurero realizado por Caroline Parris, indica que ésta es correspondiente al período Preclásico Tardío y es la cerámica más antigua recuperada en el sitio hasta el momento. Se sugiere que para la construcción de la plataforma, este relleno fue traído de otra área del sitio o algún lugar cercano a La Corona con ocupación Preclásica que aún no ha sido identificado. También se cree que el material del depósito posiblemente fue producto de algún evento ritual. Asimismo, la gran cantidad de caracoles asociados al basurero, las conchas marinas encontradas, junto con el caracol de piedra y el hecho que la ofrenda hallada en 2009 en la Estructura 13R-9 haya contenido material marino, podría sugerir algún simbolismo ritual asociado.



Figura 5.8 A) Fragmentos de posibles sellos. B) Caracol de piedra recuperado en el basurero (CR16A-45-6-13)
(Fotos por J. Ponce)

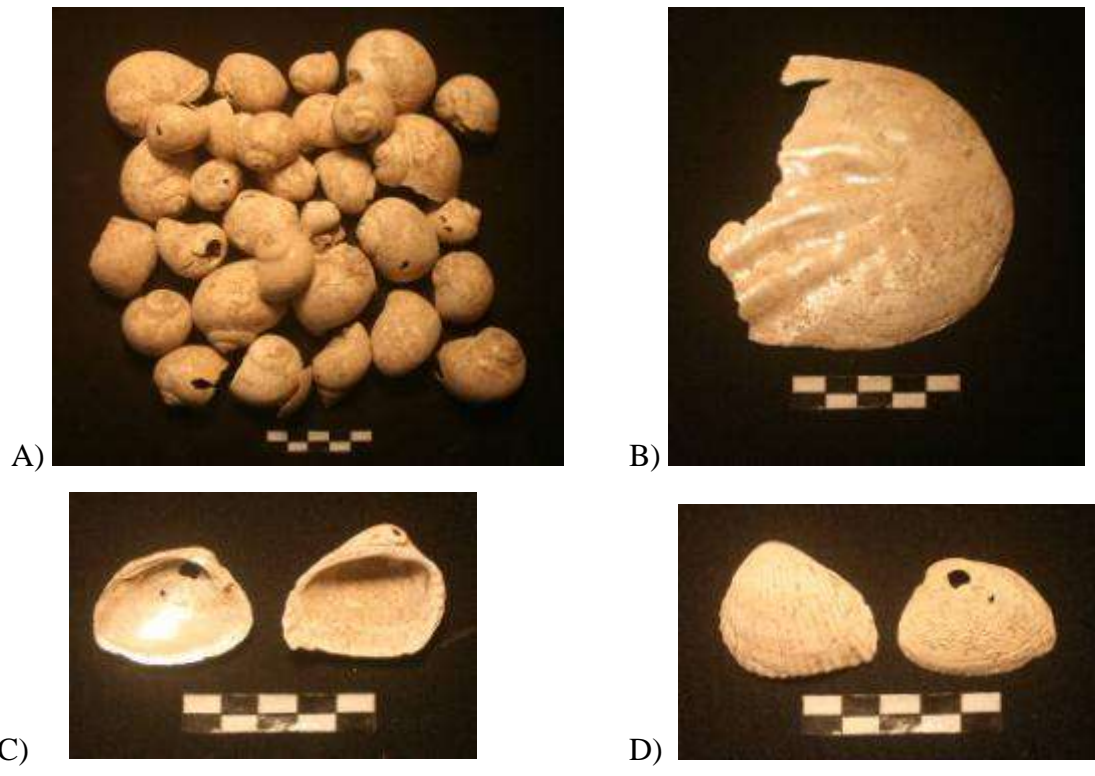


Figura 5.9 Material malacológico recuperado en el basurero (CR16A-45-6-13). A) Ejemplares de caracoles. B) Concha nácar. C) y D) Conchas bivalvas (Fotos por J. Ponce)



Figura 5.10 Posible machacador de piedra encontrado en el basurero (CR16A-45-6-13) (Foto por J. Ponce)

Nivel 6-Lote 14: Ofrenda asociada a basurero. Dentro del basurero del Nivel 6-Lote 13, se encontró una ofrenda de dos cuencos labio a labio del tipo Águila Naranja (Vasijas CR-V33 y CR-V34 del catálogo de vasijas del Proyecto Regional Arqueológico La Corona) (Figuras 5.11 y 5.12). La consistencia ligeramente cerosa de ambos cuencos indica que podrían estar fechados para la primera parte del Clásico Temprano, correspondientes a las Fases Tzakol 1-2 de Uaxactún (C. Parris com. pers. 2013). Asociado a los cuencos se recuperaron 32 caracoles similares a los que fueron recuperados en el basurero, pero de un color más rosado/naranja/café que los diferencia de los demás. Dentro de los cuencos se encontró un pendiente de jade o piedra verde de 6.5 cm de largo x 4 cm de ancho x 2 cm de grosor que parece ser el rostro de un personaje masculino con ojos alargados, nariz ancha, labios prominentes y tocado o diadema. La parte frontal se encuentra pulida, la parte posterior está desgastada y posee cuatro agujeros (dos en cada extremo), posiblemente para colocar una cuerda y utilizarlo como pendiente. La ofrenda se encontró aproximadamente 50 cm bajo la superficie de la plataforma de barro y a 140 cm desde la superficie.

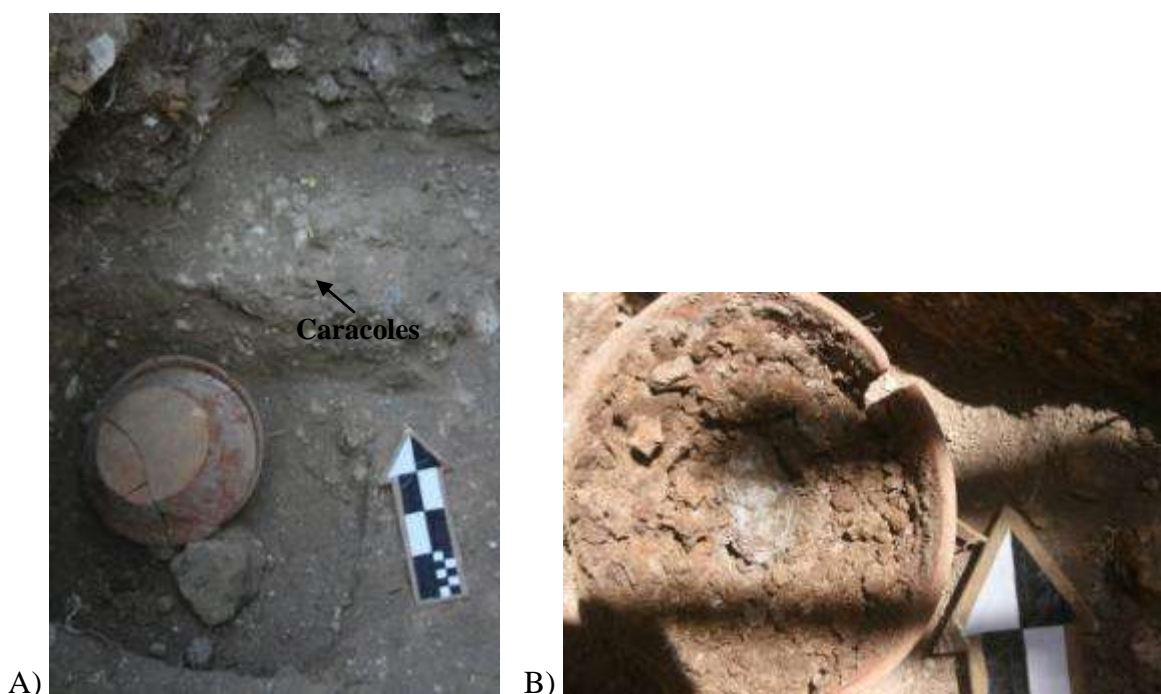


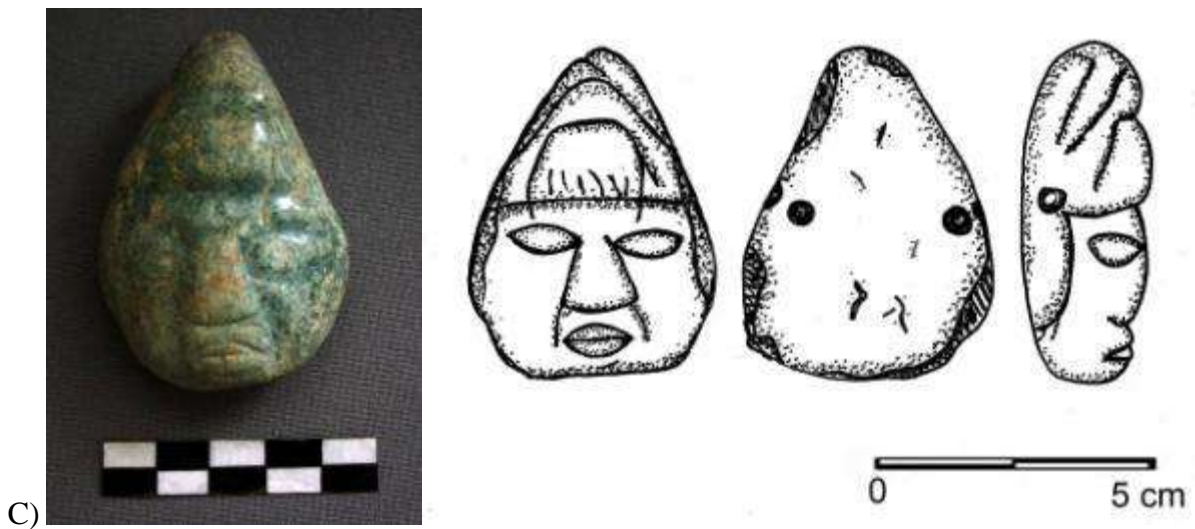
Figura 5.11 Ofrenda *in situ* (CR16A-45-6-14). A) Ubicación de los caracoles en relación a los cuencos. B) Efigie de jade o piedra verde dentro del cuenco inferior (Fotos por J. Ponce)



A)



B)



C)

Figura 5.12 Material recuperado como parte de la ofrenda (CR16A-45-6-14). A) Ejemplares de caracoles. B) Fragmentos de vasija CR-V34. C) Pendiente de jade o piedra verde (Fotos y dibujo por J. Ponce)

Nivel 6-Lote 17. Este lote constó de un depósito de ceniza gris, de consistencia suelta, encontrado en el Perfil Oeste dentro del basurero del Nivel 6-Lote 13, aproximadamente 26 cm bajo la superficie de la plataforma de barro y de 126 a 140 cm desde la superficie. Abarcó un área de solamente 90 cm de largo (N-S) y 14 cm de ancho. Se hizo un registro, ya que se pensó que dentro de este depósito se encontraría otra ofrenda, pero no se halló nada. Sin embargo, se espera que futuras excavaciones puedan ampliarse hacia el oeste para descartar la posibilidad que el depósito contenga algo. Se recuperaron 24 tiestos cerámicos y dos caracoles.

Nivel 8-Lote 11. Este relleno, también identificado en 2012, constó de arena amarilla compacta mezclada con caliza. Se identificó solamente bajo la Escalinata Jeroglífica 2 y bajo parte del piso de la Plaza Sur. Se notó que este relleno marca el límite sur de la plataforma de barro, por lo que se cree que posiblemente se colocó para la nivelación y construcción de la Escalinata Jeroglífica 2. Es interesante notar que bajo la Escalinata Jeroglífica 2, el piso de plaza no se encontró sobre este relleno. Este lote se encontró a una profundidad variable de 60 a 120 cm desde la superficie y se recuperó solamente un fragmento de cuarzo.

Nivel 8-Lote 15: Ofrenda de mosaico. Este lote constó de una ofrenda de materiales misceláneos, similar a la que fue encontrada en la Temporada 2012 bajo el piso de plaza (ver Informe 2012). La ofrenda se encontró a una profundidad de 100 a 120 cm desde la superficie en el Perfil Oeste del pozo en el relleno del Nivel 8-Lote 11. Como parte de la ofrenda se recuperó un bifacial de pedernal (el cual fue fragmentado durante la excavación), 14 lascas de pedernal, 25 fragmentos tallados de concha nácar, un fragmento de espina de raya, dos fragmentos de hematita, 13 fragmentos de azurita, 23 fragmentos de pirita, seis fragmentos de jade y un fragmento de lítica no identificada (Figura 5.13).

Al igual que la ofrenda recuperada la temporada pasada, se cree que originalmente el material formaba un mosaico. Sin embargo, se encontró mezclado en el relleno, por lo que fue necesario cernirlo para obtener el material. El hecho que no se encontró el piso de plaza sobre el relleno del Nivel 8-Lote 11, indica que posiblemente la ofrenda fue depositada posteriormente, junto con la recolocación de los bloques de la Escalinata Jeroglífica 2. En ese caso, se considera que el mosaico encontrado en 2012 corresponde a una ofrenda de diferente temporalidad,

correspondiente a la construcción o remodelación del piso de plaza. Una segunda posibilidad es que ambas ofrendas hayan sido colocadas simultáneamente y que la construcción de la Escalinata Jeroglífica 2 y de la Plaza Sur hayan sido contemporáneas. Una tercera opción, pero menos probable, es que la ofrenda encontrada esta temporada haya sido colocada al construir la Escalinata Jeroglífica 2, pero el mosaico recuperado en 2012 fue colocado posteriormente.



Figura 5.13 Materiales de ofrenda de posible mosaico hallado bajo la Escalinata Jeroglífica 2 (CR16A-45-8-15)
(Foto por J. Ponce)

Nivel 7-Lote 16. Este relleno constó de una nivelación de tierra café claro, amarillenta, de consistencia arenosa, bajo la plataforma de barro, previo a la caliza natural. Se encontró solamente hasta la Unidad CR16C-24a, donde se desvaneció. Se encontró a una profundidad de 190 a 210 cm desde la superficie y no se recuperó material cultural.

Suboperación C: Excavaciones en la parte superior de la estructura

Las excavaciones en la parte superior de la Estructura 13R-10 agruparon un total de cinco unidades: CR16C-23, CR16C-24a, CR16C-24b, CR16C-25 y CR16C-26. Las unidades CR16C-23, CR16C-24b y CR16C-25 fueron de 2 m x 2m; la Unidad CR16C-24a fue de 2m de largo x 1.70 m de ancho y CR16C-26 de 1.5 m de largo x 1 m de ancho. La Unidad CR16C-26 constó de un pozo de 1.5 m de largo x 2 m de ancho al este de la Unidad CR16C-24a que será descrito posteriormente junto con la Unidad CR16A-46 como parte de las excavaciones de sondeo de la Escalinata Jeroglífica A. Se identificó un total de 20 niveles y 33 lotes y se continuó con la misma nomenclatura que en las temporadas 2011 y 2012 (ver Informe 2012 para la descripción de lotes identificados anteriormente). Las excavaciones de la Temporada 2013 se realizaron a partir del Nivel 2-Lote 2. Las unidades CR16C-24a y CR16C-24b corresponden al área en el que se unió la trinchera CR16A-45 con las excavaciones de la Suboperación C. Por tratarse del área de unión, los lotes y rasgos identificados variaron en relación a los de ambas partes, por lo que se presentan los resultados de ambas unidades por separado. La Unidad CR16C-23 alcanzó una profundidad máxima de 4.16 m desde la superficie; la Unidad CR16C-25 de 4.80 m y CR16C-24a y CR16C-24b de 3.70 m desde la superficie. A continuación se describe cada uno de los rellenos y rasgos identificados en cada unidad. Los lotes no necesariamente se describen estratigráficamente según el orden en que fueron encontrados, sino según la relevancia de cada rasgo.

Unidad CR16C-24a

Nivel 5-Lote 7: Piso Chico-Zapote. Éste fue el primero de tres pisos de estuco identificados en esta unidad. Fue visible solamente en lo que corresponde al Cuarto 3 bajo el Muro Sur. Su grosor en este pozo fue de sólo 4 cm. Se encontró a una profundidad de 40 cm desde la superficie y no se recuperó material cultural.

Nivel 6-Lote 8. Este lote constó de un relleno de tierra café compacta con piedrín y piedras medianas bajo el Piso Chico-Zapote. Se encontró a una profundidad de 44 a 90 cm desde la superficie. El material recuperado en este lote incluyó solamente 10 tiestos cerámicos.

Nivel 7-Lote 11. Este relleno constó de piedra caliza compacta mezclada con tierra café, en lo que correspondería a la parte exterior (sur) del muro de contención que será descrito posteriormente como parte de los resultados de la Unidad CR16C-24b. Tuvo una profundidad variable de 90 a 140 cm desde la superficie y se recuperaron 13 fragmentos de cerámica y un fragmento de concha.

Nivel 12-Lote 18: Piso Aceituno. Este piso de estuco tuvo un grosor promedio de 12 cm y se encontró a una profundidad de 140 a 154 cm desde la superficie. Cabe mencionar que de todos los pisos hallados en la estructura, éste fue el que se encontró en mejor estado de conservación y como se verá más adelante, se cree que marca una etapa importante en la secuencia ocupacional. En este pozo y en la Unidad CR16C-23 se encontraron dos huellas de poste (una en cada pozo), de 40 cm de diámetro cada una, en la misma alineación. Durante la excavación se notó que la fachada correspondiente a la ocupación del Piso Aceituno estaba cortada y se cree que esto fue hecho al realizar la ampliación correspondiente al Piso Chico-Zapote y la colocación de la Escalinata Jeroglífica A, por lo que no se tiene información de cómo era la fachada de esta ocupación. No se recuperó material cultural.

Nivel 13-Lote 34. Este relleno constó de tierra color café claro, mezclada con piedras medianas y arena bajo el Piso Aceituno. El relleno era muy similar al del Nivel 13-Lote 24 de las escalinatas jeroglíficas, por lo que fue difícil distinguirlos. Se encontró a una profundidad de 154 a 190 cm desde la superficie y se recuperaron 26 fragmentos de cerámica.

Nivel 14-Lote 21: Piso Mancuernillo. Éste fue el segundo piso de estuco identificado en esta unidad y se encontró en muy mal estado de conservación, siendo visibles sólo algunos fragmentos. Por su mal estado y por encontrarse tan cerca del Piso Aceituno, se considera la posibilidad que haya sido solamente una nivelación. En promedio solamente tuvo 4 cm de grosor y se encontró a una profundidad de 156 a 160 cm. No se recuperó material cultural.

Nivel 13-Lote 24. Este relleno corresponde al Nivel 3-Lote 6 de la Suboperación A, pero se le cambió la identificación por tratarse de una suboperación diferente. Constó de tierra café de

consistencia poco compacta mezclada con piedras medianas y grandes que conformaba el relleno original de la Escalinata Jeroglífica 2 y Escalinata Jeroglífica A. Se encontró a una profundidad de 190 a 250 cm de profundidad desde la superficie. Se recuperaron 48 fragmentos de cerámica.

El hecho que este relleno se extienda desde las escalinatas jeroglíficas hasta debajo del Piso Aceituno podría indicar que posiblemente las escalinatas fueron construidas antes de la ocupación de Aceituno. Sin embargo, se sugiere ampliar la excavación la siguiente temporada para esclarecer este contexto, ya que se considera que podría haber una diferencia en la estratigrafía que no fue detectada. Cabe mencionar que el hallazgo de cuatro piedras alineadas de arriba a abajo en el Perfil Este fue lo que llevó a la excavación de la Unidad CR16A-46. Como se verá más adelante, esas piedras resultaron ser parte del basamento del muro de contención expuesto en el Saqueo 2.

Nivel 13-Lote 25: Plataforma de barro. Este relleno constó de barro café oscuro, compacto, mezclado con piedras pequeñas. Corresponde al Nivel 6-Lote 13 de la Suboperación A, pero al igual que el relleno anterior, se le cambió la identificación por tratarse de una suboperación diferente. Inicialmente se pensó que era un relleno diferente al del Nivel 19-Lote 28 de las unidades CR16C-24b, CR16C-23 y CR16C-25, pero posteriormente fue posible darse cuenta que se trataba de un solo relleno que formaba una plataforma de barro. Cabe mencionar que se recuperó el final del basurero de la Unidad CR16A-45, con 102 tiestos cerámicos, 30 caracoles y fragmentos de conchas y un fragmento de pedernal. Se encontró a una profundidad de 190 a 370 cm desde la superficie.

Al retirar el Piso Aceituno para hacer la unión de ambas suboperaciones, se encontraron lo que parecen ser tres escalones asociados a este relleno y al Nivel 13-Lote 32 (descrito posteriormente) (Figura 5.14). El primer escalón, directamente bajo el Piso Aceituno, constó de siete piedras alineadas en un eje E-O, de alrededor de 20 cm de largo x 10 cm de ancho cada una y otras más pequeñas de aproximadamente 10 x 10 cm. Pocos centímetros al norte se encontraron otras cuatro piedras que parecen formar parte de este mismo escalón, pero no están en la misma alineación. Aproximadamente 20 cm más abajo se encontró un posible segundo escalón compuesto de cinco piedras alineadas en eje E-O. Luego, 60 cm más abajo se encontró un tercer escalón compuesto de sólo tres piedras. Es interesante notar que el primer y segundo

escalón estaban orientados aproximadamente 10° al noreste y el tercer escalón estaba orientado conforme a la estructura. La falta de alineación de las piedras del primer escalón, las diferencias prominentes entre las alturas de cada uno de los escalones y el hecho que el tercer escalón posee una orientación distinta, sugiere que quizás éstos no fueron escalones funcionales y tal vez fueron un rasgo de contención. De cualquier manera, la excavación se tendría que ampliar hacia el este y oeste respectivamente para conocer más de la naturaleza de este rasgo.

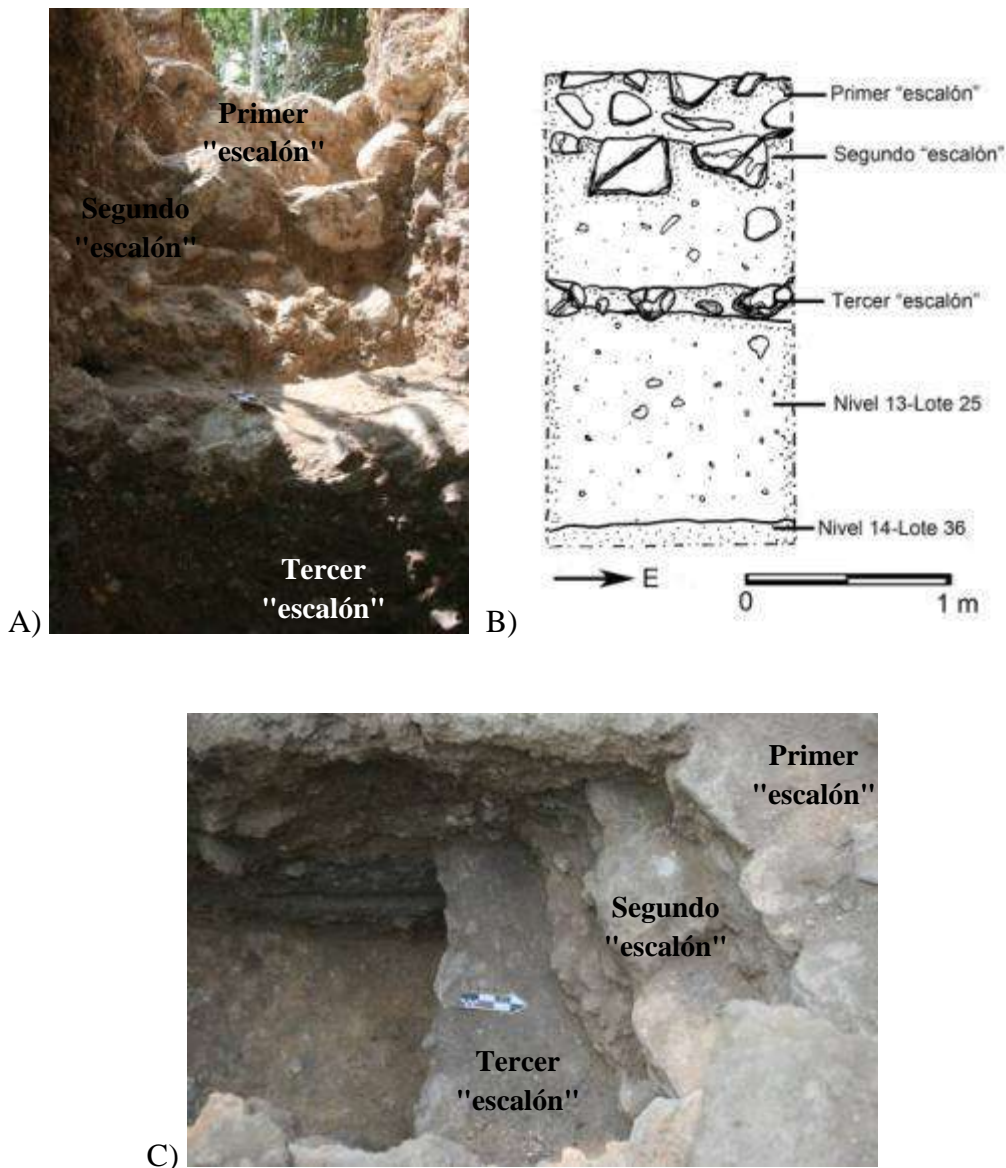


Figura 5.14 Posibles escalones o rasgos de contención bajo el Piso Aceituno. A) y B) Vista desde el sur. C) Vista desde la parte superior (Fotos y dibujo por J. Ponce)

Nivel 13-Lote 32. Este lote constó de tierra café rojiza suelta mezclada con piedras de diferentes tamaños. Se encontró a una profundidad de 154 a 236 cm. Aunque se cree que pudo haber sido un relleno intrusivo, el hecho que se hayan encontrado fragmentos del Piso Mancuernillo dentro del mismo posiblemente descarta esa posibilidad. Se recuperó un total de 78 tiestos cerámicos, un fragmento de obsidiana, cuatro de pedernal y un caracol.

Nivel 13-Lote 33: Entierro 10. Este entierro se encontró dentro del relleno del Nivel 13-Lote 32 a una profundidad de 184 cm desde la superficie (Figura 5.15). Los restos estaban fragmentados y mal conservados. El individuo fue identificado por Erin Patterson como un adulto joven de sexo indeterminado encontrado en posición decúbito dorsal, con la cabeza orientada al sur, los pies al norte y la cabeza viendo hacia el este. Asociado al entierro se recuperaron ocho tiestos cerámicos, un fragmento de obsidiana, ocho caracoles y fragmentos de conchas, seis fragmentos de pedernal y cinco piedras negras pequeñas indeterminadas (1 x 1 cm cada una en promedio) (Figura 5.16). No obstante, se considera que los materiales encontrados no fueron ofrendas funerarias. Esto, junto con la falta de una estructura funeraria sugiere que el cadáver solamente fue colocado en relleno, quizás como parte de una ofrenda.



Figura 5.15 Entierro 10 (CR16C-24a-13-33) (Foto por J. Ponce)



Figura 5.16 Materiales asociados al Entierro 10 (Foto por J. Ponce)

Nivel 13-Lote 35: Entierro 11. Este entierro se encontró aproximadamente 1 m al oeste del Entierro 10, a 190 cm desde la superficie (Figura 5.17). Los restos se recuperaron fragmentados y mal conservados. El individuo fue identificado por E. Patterson como un adulto joven o de edad media, posiblemente femenino. Se desconoce la posición del cuerpo, pero la cabeza se encontró orientada hacia el sur y los pies hacia el norte. El cráneo estaba cubierto por un plato tetrápode con soportes vacíos, boca abajo, identificado por C. Parris como del tipo Ixcanrio Naranja Polícromo Indeterminado, fechado para la primera parte del Clásico Temprano (CR-V35) (Figura 5.18). También se recuperaron cuatro fragmentos de cerámica y un fragmento de pedernal. Es importante mencionar que el entierro se encontró en un área de solamente 80 x 30 cm, delimitado por una alineación de piedras pequeñas en el lado este y una posible piedra de cista al norte, por lo que inicialmente se pensaba que podía ser el entierro de un niño o un entierro secundario, pero ahora se considera que probablemente el resto permanece enterrado hacia el norte.

Cabe mencionar que en comparación con el Entierro 11, el cuerpo del Entierro 10 se encontró orientado aproximadamente 30° al sureste (Figura 5.19). Como ya se mencionó, por la falta de bienes funerarios, se cree que posiblemente el individuo del Entierro 10 haya sido una ofrenda constructiva o parte de la ofrenda funeraria del Entierro 11. También es importante señalar que ambos entierros se encontraron en diferentes rellenos a pesar de encontrarse tan cerca el uno del otro. Mientras que el Entierro 10 se halló en un relleno de tierra rojiza mezclado con

pedras, el Entierro 11 se encontró en el relleno de barro que conforma la plataforma, pero mezclado con mucha ceniza. Existe la posibilidad que los antiguos mayas hayan cortado los pisos Sacpá y/o Poité para colocar ambos entierros en la estructura de barro y que el relleno del Nivel 13-Lote 32 sea intrusivo. Sin embargo, es difícil saber debido a que es posible que los pisos no estén presentes debido a que se erosionaron.



Figura 5.17 Entierro 11 (CR16C-24a-13-35) (Foto por J. Ponce)



Figura 5.18 Fragmentos del plato Ixcario Naranja Polícromo Indeterminado asociado al Entierro 11 (CR-V35) (Foto por J. Ponce)

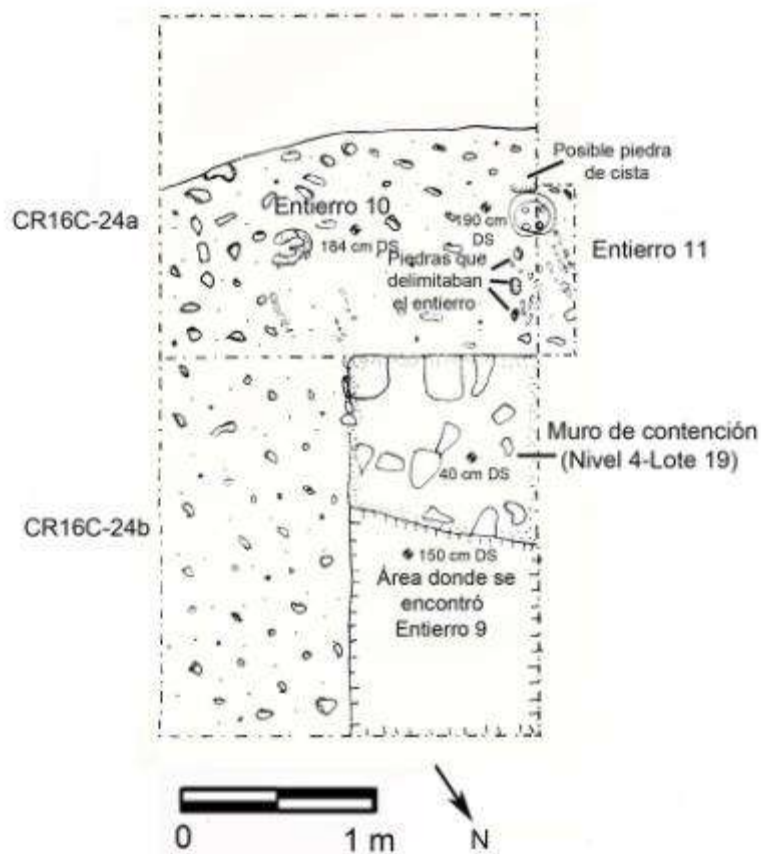


Figura 5.19 Planta de los Entierros 10 y 11 (Dibujo por J. Ponce)

Nivel 14-Lote 36. Este relleno constó de la nivelación de tierra café claro, amarillenta, de consistencia arenosa, bajo la plataforma de barro, previo a la caliza natural y corresponde al Nivel 7-Lote 16 de la Suboperación A. Se encontró a una profundidad de 360 a 370 cm desde la superficie y no se recuperó material cultural. Se notó que este relleno desapareció al topar con una piedra caliza de 1 m de largo (N-S) x 50 cm de altura en el Perfil Este. No se recuperó material cultural.

Unidad CR16C-24b

Nivel 5-Lote 7: Piso Chico-Zapote. Al igual que en la Unidad CR16C-24a, este piso fue visible solamente en lo que corresponde al Cuarto 3. Su grosor en esta unidad osciló entre los 4 y 10 cm. Se encontró a una profundidad de 50 a 60 cm desde la superficie y no se recuperó material cultural.

Nivel 4-Lote 19: Muro de contención. Este muro abarcó el total del eje E-O del pozo (Figura 5.20). Fue construido sobre el Piso Aceituno y posee una altura de 1.10 m. La parte superior del muro está compuesta de dos hileras de piedras de 10 a 20 cm cada una en promedio y la parte inferior (60 cm desde el piso de estuco) de arena compacta mezclada con piedrín y piedras pequeñas. Se desconoce si tuvo alguna función arquitectónica durante la ocupación del Piso Aceituno o Ramón, o si fue un muro de contención construido posteriormente para la ampliación del edificio después de la cancelación de Aceituno. La mitad del muro en la sección este del pozo fue retirada para unir las excavaciones de ambas suboperaciones. Al retirarlo se recuperaron 25 fragmentos de cerámica.

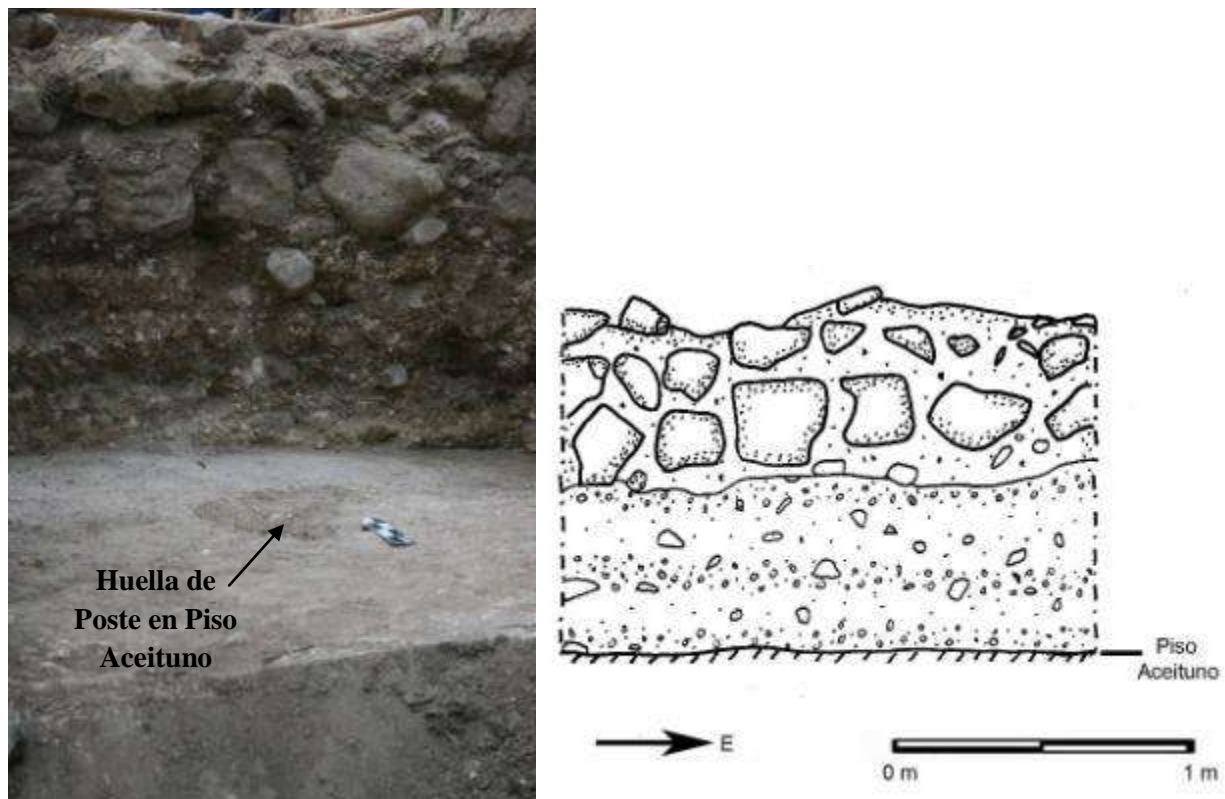


Figura 5.20 Perfil Sur del muro de contención (CR16C-24b-4-19) (Foto y dibujo por J. Ponce)

Nivel 6-Lote 8. Este lote constó del relleno de tierra café compacta con piedrín y piedras medianas bajo el Piso Chico-Zapote. Se encontró a una profundidad de 60 a 100 cm. El material recuperado en este lote incluyó 86 tiestos cerámicos, ocho fragmentos de pedernal y seis de

estuco. Cabe mencionar el hallazgo de 32 fragmentos de bajareque, algunos quemados y otros con marcas de varillas, los cuales se creen que formaron la parte superior del muro de contención, por lo que posiblemente era más alto originalmente.

Nivel 7-Lote 11. Al igual que en la Unidad CR16C-24a, este relleno constó de piedra caliza compacta mezclada con tierra café, en lo que correspondería a la parte exterior (sur) del muro de contención, con una profundidad de 100 a 150 cm desde la superficie. No se recuperó material cultural.

Nivel 7-Lote 10: Piso Ramón. En esta unidad solamente se encontró un pequeño fragmento de este piso de estuco con un grosor de 4 cm. Se encontró a una profundidad de 100 a 104 cm desde la superficie. Cabe mencionar que este piso no se encontró en la Unidad CR16C-24a, indicando que posiblemente fue cortado al colocar el muro de contención sobre el Piso Aceituno u originalmente el muro se encontraba en la fachada de la ocupación del Piso Ramón. No se recuperó material cultural.

Nivel 8-Lote 12. Este relleno constó de piedras grandes mezcladas con arena, de consistencia compacta, bajo el Piso Ramón. Se encontró a una profundidad desde la superficie de 104 a 120 cm. En este lote se recuperaron cuatro fragmentos de cerámica y seis de estuco.

Nivel 11-Lote 16. Este lote fue similar al del Nivel 8-Lote 12 y constó de un relleno de piedras grandes mezclado con arena, pero de consistencia muy suelta. Se encontró a una profundidad de 60 a 150 cm desde la superficie. Es importante que este relleno se identificó solamente en esta unidad y el Piso Ramón se encontró cortado por el mismo. Se recuperó un total de 26 tiestos cerámicos.

Nivel 11-Lote 17: Entierro 9. En el relleno del Nivel 11-Lote 16 se encontró un entierro denominado Entierro 9, al cual se le asignó Lote 17 para mejor manejo del material (Figuras 5.21, 5.22 y 5.23). El cuerpo se encontró colocado sobre el Piso Ramón, 23 cm al norte del muro de contención, en posición decúbito dorsal, con la cabeza orientada hacia el este y los pies hacia

el oeste. Es importante notar que el Entierro 6, encontrado en la Estructura 13R-2 del Grupo Coronitas, también tenía esta misma orientación (Baron 2012). Al lado norte del cuerpo se encontraron algunas piedras alineadas que delimitaban el entierro, pero no formaban una cista formal. Sin embargo, en la cabecera del entierro, se halló un pequeño muro de 20 cm de altura sobre el Piso Aceituno, formado solamente por dos piedras rectangulares de muro. Asociada a este muro, al este, se encontró la Ofrenda 3 que será descrita posteriormente.

Aunque los huesos se encontraron fragmentados y en mal estado de conservación, Patterson pudo identificarlos como pertenecientes a un individuo adulto de sexo femenino. Sobre el cráneo se encontró un cuenco polícromo, boca abajo, de tipo indeterminado (CR-V36). En el área pélvica, se recuperaron 117 cuentas pequeñas de jade (0.5 x 0.5 cm cada una en promedio), 236 cuentas de concha *Spondylus* y 16 cuentas de concha marina, lo que sugiere que formaban la parte inferior de la indumentaria del individuo. Las conchas marinas son similares a las que fueron encontradas en el Entierro 3 en la Estructura 13Q-3 (Desailly-Chanson 2012), identificadas como *Jenneria pustulata* por la malacóloga Lucía Prado (Fridberg y Cagnato 2012). También se recuperó un collar con nueve cuentas de jade o piedra verde y una cuenta de caliza. Las cuentas del collar fueron más grandes en comparación a las que fueron recuperadas en el área pélvica (1.5 x 1.5 cm cada una promedio). La indumentaria también incluyó dos aretes de jade que parecen tener la parte posterior hecha de concha (Figuras 5.24 y 5.25). Asimismo, Patterson identificó tres dientes con incrustaciones, cada uno de diferente piedra: jade, piedra verde y pirita. También se obtuvieron dos fragmentos de concha y una muestra de carbón. La suntuosidad de los bienes funerarios y las incrustaciones dentales sugieren que el individuo era de alto status y se considera que fue una mujer de la corte real. El hecho que el Piso Ramón se encontrara cortado por el relleno del Nivel 11-Lote 16, sugiere que el entierro fue colocado posteriormente, mientras se realizaba la remodelación asociada al Piso Chico-Zapote.

Por último, se debe mencionar que en el área donde se encontraban los pies se recuperaron varios huesos que no estaban en posición anatómica y no pertenecían al ocupante primario del entierro (Figura 5.26). Estos huesos fueron identificados por E. Patterson como provenientes de varias partes del cuerpo y no se sabe si pertenecen a uno o varios individuos, aunque no se identificaron elementos duplicados. La naturaleza de este contexto no está claro, aunque también existe la posibilidad que haya sido un depósito intrusivo posterior que podría o

no estar relacionado al entierro. Se espera que futuras investigaciones puedan aclarar ese contexto.



Figura 5.21 Entierro 9 (CR16C-24b-11-17) (Foto por J. Ponce)



Figura 5.22 Cráneo con collar de jade, incrustación dental y arete derecho *in situ* (Foto por E. Patterson)

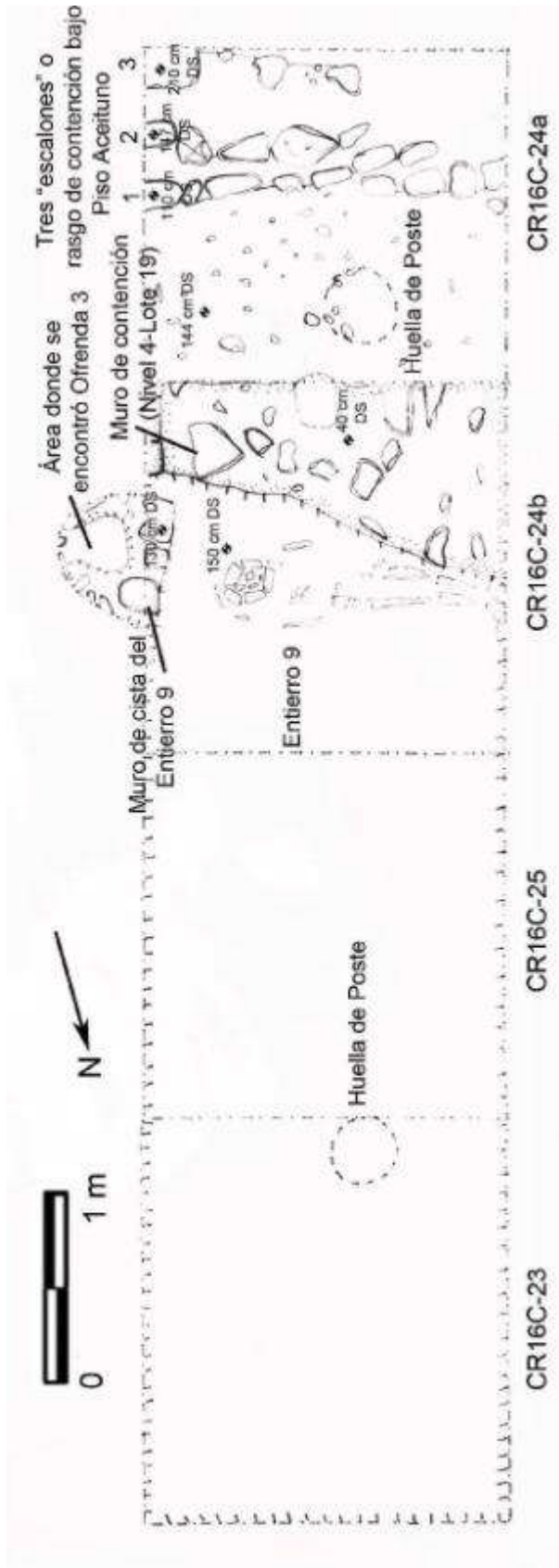


Figura 5.23 Planta de rasgos del Piso Aceituno mostrando ubicación del Entierro 9, área donde se encontró la Ofrenda 3, muro de contención, huellas de poste y posibles escalones bajo el Piso Aceituno (Dibujo por J. Ponce)



A)



B)



C)



D)



E)

Figura 5.24 Materiales asociados al Entierro 9. A) Collar de jade o piedra verde. B) Aretes de jade y concha. C) Cuentas de jade. D) Cuentas de *Spondylus*. E) Cuentas de concha marina. (Fotos por J. Ponce)



Figura 5.25 Fragmentos de cuenco de tipo indeterminado encontrado sobre el cráneo del individuo del Entierro 9 (CR-V36) (Foto por J. Ponce)

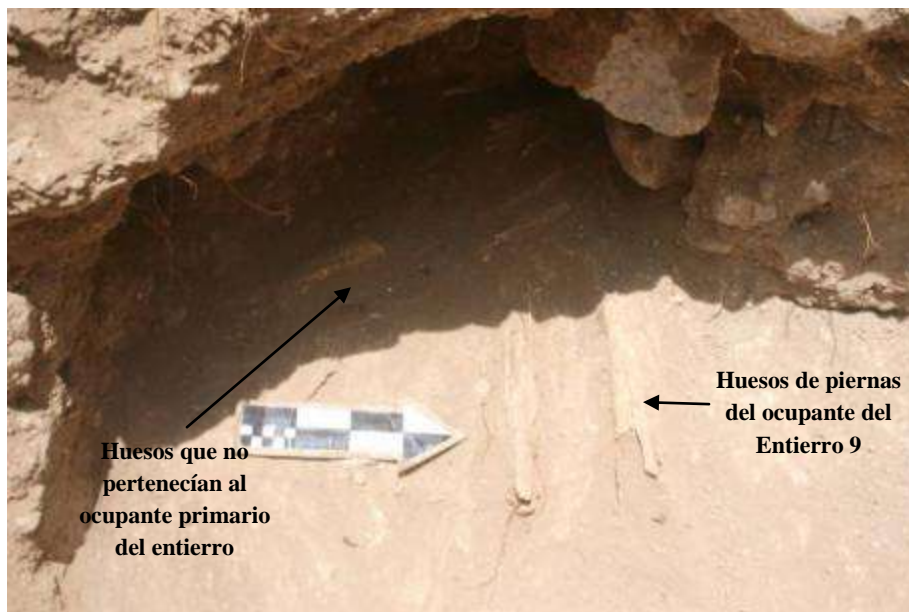


Figura 5.26 Huesos que no pertenecían al ocupante primario del Entierro 9, encontrados en el área de los pies (Foto por J. Ponce)

Nivel 11-Lote 30: Ofrenda 3. Esta ofrenda se encontró en la cabecera del Entierro 9, al este del muro de cista descrito anteriormente, en el relleno del Nivel 11-Lote 16, y constó de un plato (CR-V37), un cuenco (CR-V38) y un vaso (CR-V39). La ofrenda estaba protegida por piedras calizas porosas y livianas en comparación a las piedras del relleno constructivo, de

aproximadamente 40 cm de largo x 30 cm de ancho cada una (Figura 5.27). Lamentablemente las piedras colapsaron, por lo que las vasijas fueron recuperadas incompletas y muy fragmentadas y se desconoce la manera en que fueron colocadas originalmente (Figura 5.28). Cabe mencionar que el plato se encontró en dos partes: una parte boca abajo y la otra boca arriba, ambas partes por separado. Además, parte del cuenco se recuperó en el relleno del Nivel 11-Lote 16, lo que podría indicar que quizás hubo disturbio después de la deposición de la ofrenda. Sin embargo, esto no se puede confirmar debido a que la ofrenda no fue excavada desde arriba, sino desde su lado oeste.

Asimismo, se pudo notar la manera en que pusieron las piedras para proteger la ofrenda: tres piedras calizas a cada lado y una o dos encima, de manera que formara una especie de caja que protegiera los materiales. Los fragmentos del plato y el cuenco fueron identificados por Caroline Parris como Palmar Naranja Polícromo y el vaso como Desquite Rojo sobre Naranja, asociados a las fases Tepeu 1 y 2 del Clásico Tardío (para información más detallada de las vasijas recuperadas esta temporada ver el Capítulo VII de este informe) (Figuras 5.29, 5.30, 5.31 y 5.32). La ofrenda se encontró a una profundidad de 60 a 130 cm desde la superficie, por lo que su profundidad variable y el hecho que colapsó hace difícil interpretar si fue parte de la ofrenda funeraria del Entierro 9 o si fue colocada posteriormente.



Figura 5.27 Piedras calizas que protegían la Ofrenda 3 antes de su excavación (Foto por J. Ponce)



Figura 5.28 Fragmentos de plato de la Ofrenda 3 *in situ* (Foto por J. Ponce)



Figura 5.29 Fragmento de plato Palmar Naranja Polícromo (CR-V37) encontrado como parte de la Ofrenda 3 (Foto por J. Ponce)

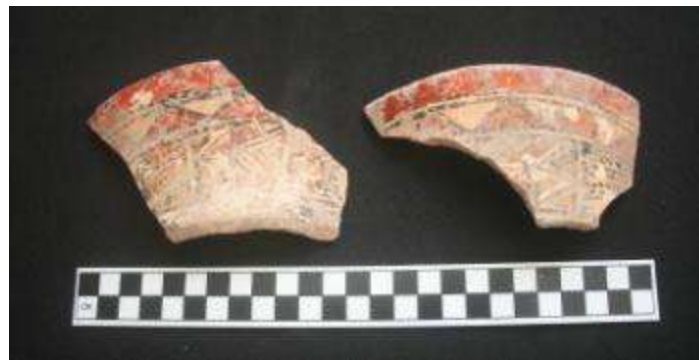


Figura 5.30 Fragmentos de cuenco Palmar Naranja Polícromo (CR-V38) encontrado como parte de la Ofrenda 3 (Foto por J. Ponce)



Figura 5.31 Fragmentos de vaso Desquite Rojo sobre Naranja (CR-V39) encontrado como parte de la Ofrenda 3 (Foto por J. Ponce)



Figura 5.32 Fragmentos de obsidiana y pedernal recuperados en la Ofrenda 3 (Foto por J. Ponce)

Nivel 12-Lote 18: Piso Aceituno. En esta unidad, este piso de estuco tuvo un grosor de 6 cm y se encontró a una profundidad de 150 a 156 cm desde la superficie. Se recuperó un fragmento de pedernal.

Nivel 13-Lote 20. Este relleno constó de tierra café oscura compacta, mezclada con piedras de diferentes tamaños bajo el Piso Aceituno y se encontró a una profundidad de 156 a 180 cm desde la superficie. No se recuperó material cultural.

Nivel 14-Lote 21: Piso Mancuernillo. Este piso de estuco se encontró en muy mal estado de conservación, siendo visibles sólo algunos fragmentos. En promedio solamente tuvo 2 cm de grosor y se encontró a una profundidad de 168 a 170 cm. No se recuperó material cultural.

Nivel 13-Lote 32. Este lote constó de tierra café rojiza suelta mezclada con piedras de diferentes tamaños. Se encontró a una profundidad de 160 a 246 cm y se recuperaron dos fragmentos de caracoles.

Nivel 15-Lote 22. Este relleno constó de tierra café y arena mezclado con piedras medianas y grandes bajo el Piso Mancuernillo. Se encontró a una profundidad de 170 a 190 cm. No se recuperó material cultural.

Nivel 16-Lote 23: Piso Poité. Al igual que Mancuernillo, este piso se encontró en mal estado de conservación, siendo visible solamente un pequeño fragmento en esta unidad. Se encontró a una profundidad de 190 a 196 cm desde la superficie. No se recuperó material cultural.

Nivel 17-Lote 26. Este relleno constó de tierra café y arena mezclada con piedras bajo el Piso Poité. Se encontró a una profundidad de 196 a 210 cm y no se recuperó material cultural.

Nivel 18-Lote 27: Piso Sacpá. Este piso representa la ocupación más antigua de la Estructura 13R-10 y cubría la plataforma de barro. Se encontró fragmentado y en mal estado de conservación a una profundidad de 210 a 214 cm desde la superficie. No se recuperó material cultural

Nivel 19-Lote 28: Plataforma de barro. Este relleno constó de barro café oscuro, compacto, mezclado con piedras pequeñas bajo el Piso Sacpá. En esta unidad ya no se encontraron más restos pertenecientes al basurero. Corresponde al mismo relleno del Nivel 6-Lote 13 de la Suboperación A y del Nivel 13-Lote 25 de la Unidad CR16C-24a, ya que inicialmente se pensó que eran rellenos diferentes, pero luego fue posible corroborar que se trataba de un solo relleno que abarca desde debajo de la Escalinata Jeroglífica 2 hasta la parte superior de la estructura,

formando una plataforma de barro cubierta por el Piso Sacpá. Se cree que el Piso Poité también podría estar asociado a esta misma ocupación, ya que se encontró asociado a este relleno. Este lote se encontró a una profundidad variable de 180 a 320 cm y no se recuperó material cultural.

Nivel 20-Lote 29. Este lote constó de un relleno de arena blanca, piedrín y piedra caliza, muy compacto. Se encontró a una profundidad que oscilaba entre los 260 y 370 cm desde la superficie. En este lote no se recuperó material cultural, por lo que se cree que fue un relleno natural.

Unidades CR16C-23 y CR16C-25

Nivel 2-Lote 2. Este estrato constó de escombros de construcción mezclado con tierra café suelta. La excavación de este lote solamente se realizó en la Unidad CR16C-25 al remover el Muro Central, donde se obtuvieron nueve tiestos cerámicos, un fragmento de obsidiana, uno de pedernal, un hueso, una concha y un fragmento de estuco.

Nivel 3-Lote 5: Piso Guaya. El Piso Guaya se encontró solamente en estas dos unidades, confirmando su presencia en lo que corresponde a los cuartos 1 y 2 y bajo el Muro Central como se había identificado en las temporadas 2011 y 2012. Posee un grosor promedio de 10 cm y se encontró a una profundidad variable de 40 a 50 cm. No se recuperó material cultural.

Nivel 4-Lote 6. Este lote se identificó bajo el Piso Guaya y constó de un relleno de tierra compacta con piedrín y piedras pequeñas. Se encontró a una profundidad de 50 a 60 cm y se recuperaron 12 tiestos cerámicos y una concha.

Nivel 5-Lote 7: Piso Chico-Zapote. Este piso tuvo un grosor variable de 10 a 40 cm y su forma irregular hizo que fuera difícil diferenciarlo del Piso Guaya, por lo que se cree que fueron parte de la misma remodelación arquitectónica. Se encontró a una profundidad variable de 60 a 100 cm desde la superficie. En la Unidad CR16C-25 se encontraron algunos fragmentos quemados bajo el Muro Central. No se recuperó material cultural.

Nivel 6-Lote 8. Este lote constó de un relleno de tierra café compacta con piedrín y piedras medianas bajo el Piso Chico-Zapote. Se encontró a una profundidad de 100 a 120 cm. El material recuperado incluyó 155 tiestos cerámicos y siete fragmentos de estuco.

Nivel 6-Lote 9: Ofrenda 1. Asociada al Piso Chico-Zapote de la Unidad CR16C-23, entre 90 y 105 cm desde la superficie, se encontró una ofrenda colocada dentro de un relleno de tierra suelta con arena, ceniza y piedras, a la cual se le denominó Ofrenda 1 y constó de un cuenco (CR-V40), un vaso (CR-V41) y un plato (CR-V42) (Figura 5.33, 5.34, 5.35, 5.36 y 5.37). El plato se encontró boca abajo, inclinado sobre un costado del vaso, mientras que el cuenco estaba a pocos centímetros al este del vaso. Al igual que en la Ofrenda 3, ésta se encontró protegida por piedras calizas porosas y livianas. El cuenco posee una banda de un solo pseudoglifo o una sílaba que se repite en el contorno exterior, y fue identificado por Caroline Parris como Saxché Palmar Naranja Polícromo. El vaso fue identificado como Zacatal Crema Polícromo y posee una banda de glifos en el borde exterior, los cuales son poco legibles y están muy erosionados. Ambas vasijas fueron fechadas para las fases Tepeu 1 y 2 de Uaxactún.

Por su parte, el plato posee una banda de glifos en el contorno del borde interior, rodeando a un personaje, posiblemente masculino, que se encuentra de perfil sentado con las piernas y brazos cruzados. No posee vestimenta ni tocado elaborado que sugieran que fue un personaje importante. El plato fue identificado como Saxché Naranja Polícromo variedad Huisquil, fechado para fase Tepeu 1 (600-650 d.C.). Según varios epigrafistas, el plato posee información epigráfica del sitio La Florida, indicando relaciones entre las élites de ambos sitios. Como parte de esta ofrenda también se identificaron algunos huesos de adultos, niños y fauna, al igual que cuatro fragmentos de concha y uno de pedernal. E. Patterson observó marcas de mordisqueo de roedores en dos huesos, lo que indica que al menos algunos de los huesos fueron dejados sin enterrar por algún período de tiempo.



Figura 5.33 Ofrenda 1 *in situ* (Fotos por J. Ponce)

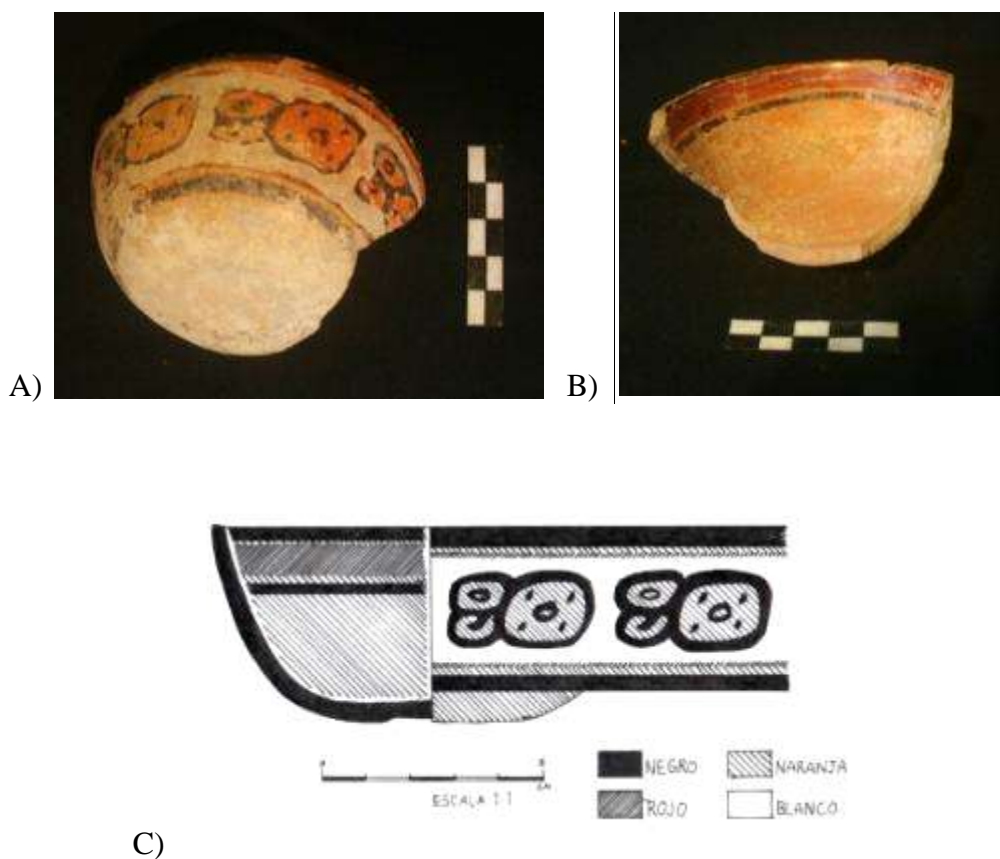


Figura 5.34 Fragmento de cuenco Saxché Palmar Naranja Polícromo recuperado en la Ofrenda 1 (CR-V40).
A) Interior. B) Exterior. C) Dibujo (Fotos por J. Ponce y dibujo por C. Sansregret)



Figura 5.35 Plato Saxché Naranja Polícromo variedad Huisquil (CR-V42) encontrado en la Ofrenda 1
(Foto por J. Ponce. Dibujo por C. Sansregret)

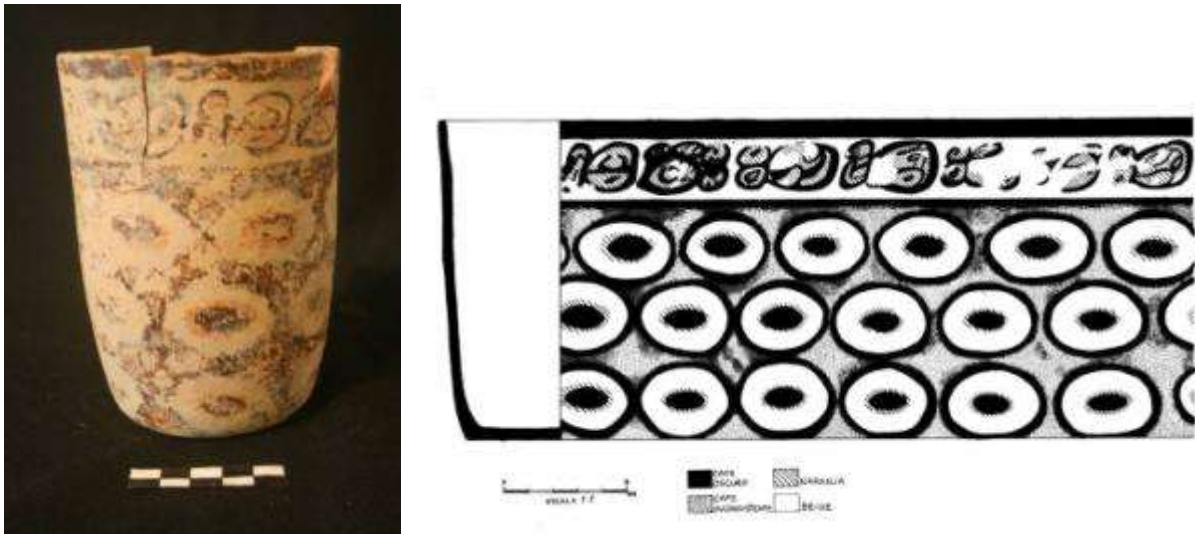


Figura 5.36 Vaso Zacatal Crema Polícromo de la Ofrenda 1 (CR-V41)
(Foto por J. Ponce y Dibujo por C. Sansregret)



Figura 5.37 Fragmento de concha y pedernal recuperados en la Ofrenda 1 (Foto por J. Ponce)

Nivel 7-Lote 10: Piso Ramón. Este piso de estuco se encontró bien conservado y se halló a una profundidad de 120 a 130 cm desde la superficie. No se recuperó material cultural.

Nivel 8-Lote 12. Este relleno constó de piedras grandes mezcladas con arena bajo el Piso Ramón. Su profundidad desde la superficie fue de 130 a 150 cm y no se recuperó material cultural.

Nivel 8-Lote 13: Ofrenda 2. Entre los pisos Chico-Zapote y Ramón de la Unidad CR16C-23, de 110 a 140 cm desde la superficie, se encontró una segunda ofrenda colocada dentro de un relleno de tierra suelta con arena, ceniza y piedras, a la cual se le denominó Ofrenda 2 (Figuras 5.38, 5.39, 5.40, 5.41, 5.42, 5.43, 5.44, 5.45, 5.46, 5.47 y 5.48) Constó de un cuenco (CR-V43), tres vasos (CR-V44, CR-V45 y CR-V46), un plato (CR-V47) y 12 fragmentos del cuerpo de un

cántaro Tinaja Rojo. Todos han sido fechados por Caroline Parris para la Fase Tepeu 2. Los tres vasos, los fragmentos de la vasija Tinaja y el cuenco se encontraron agrupados. El Vaso 2 se encontró dentro del cuenco, al oeste se encontró el Vaso 1, completamente fragmentado, y el Vaso 3 se encontró al norte del cuenco, junto con los tientos de la vasija Tinaja. El Vaso 1 fue identificado como Zacatal Crema. No se determinó el tipo del Vaso 2, el cual tenía engobe negro. Tampoco fue posible identificar el tipo del Vaso 3, que tenía bandas verticales cafés sobre engobe naranja. El cuenco fue identificado como Saxché Palmar. Asociado a esta primera parte de la ofrenda se encontró una gran diversidad de huesos humanos que E. Patterson ha identificado como pertenecientes a huesos de manos, costillas, huesos largo, vértebras y huesos de cráneo. Debido a que éstos no se encontraron en posición anatómica, se descartó la posibilidad que fuera un entierro primario y uno o más individuos podrían estar presentes.

Por su parte, el plato, identificado como Saxché Palmar, se encontró aproximadamente 90 cm al este, en la misma línea, boca abajo, asociado a dos cuentas de piedra verde, un aro de concha, un fragmento de concha y fragmentos de cráneo, dientes, mandíbula, costillas y vértebras pertenecientes a por lo menos un individuo. Uno de dos incisivos identificados presentó una incrustación de jade.

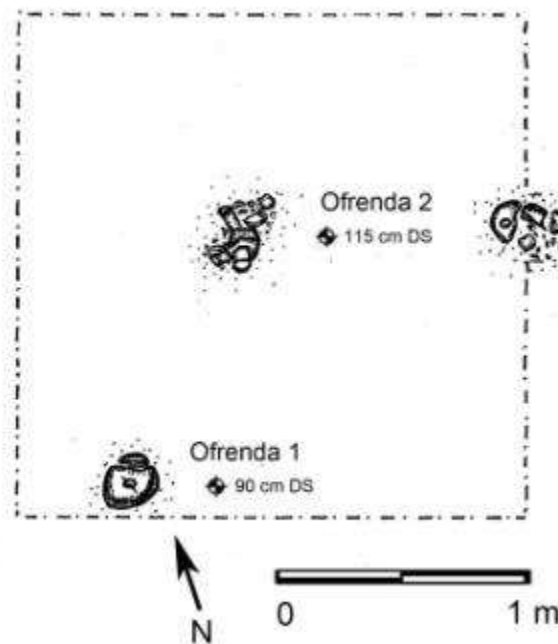


Figura 5.38 Ubicación de las Ofrendas 1 y 2 en la Unidad CR16C-23 (Dibujo por J. Ponce)



Figura 5.39 Ofrenda 2 *in situ* (Foto por J. Ponce)

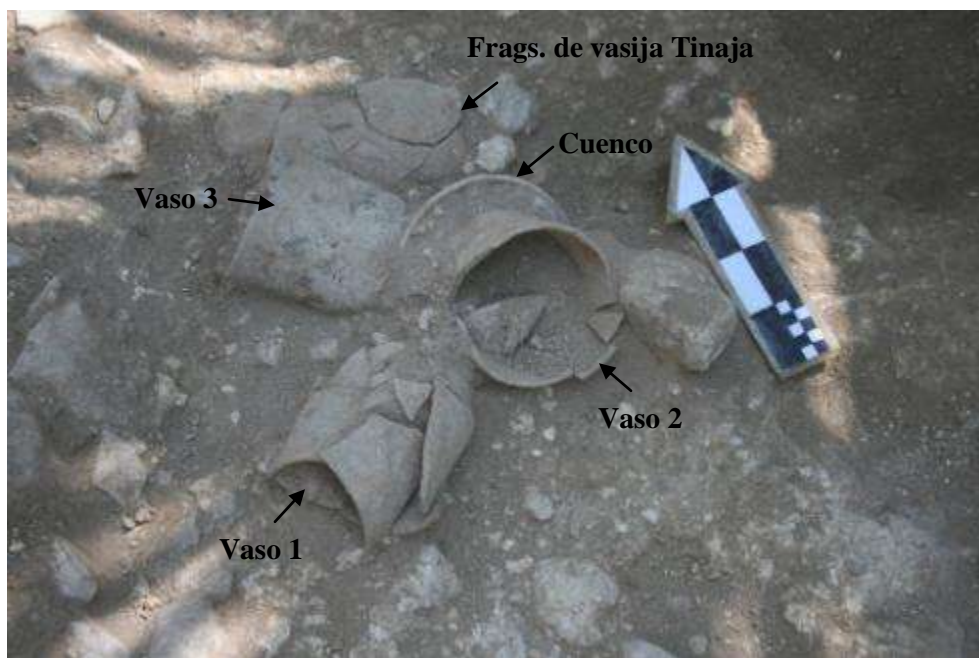


Figura 5.40 Agrupación de vasijas *in situ* de la Ofrenda 2 (Foto por J. Ponce)



Figura 5.41 Plato y fragmentos de huesos *in situ* de la Ofrenda 2 (Foto por J. Ponce)



Figura 5.42 Fragmentos de vaso Zacatal Crema encontrado en la Ofrenda 2 (Vaso 1, CR-V44) (Foto por J. Ponce)



Figura 5.43 Fragmentos de vasija Tinaja recuperados en la Ofrenda 2 (Foto por J. Ponce)

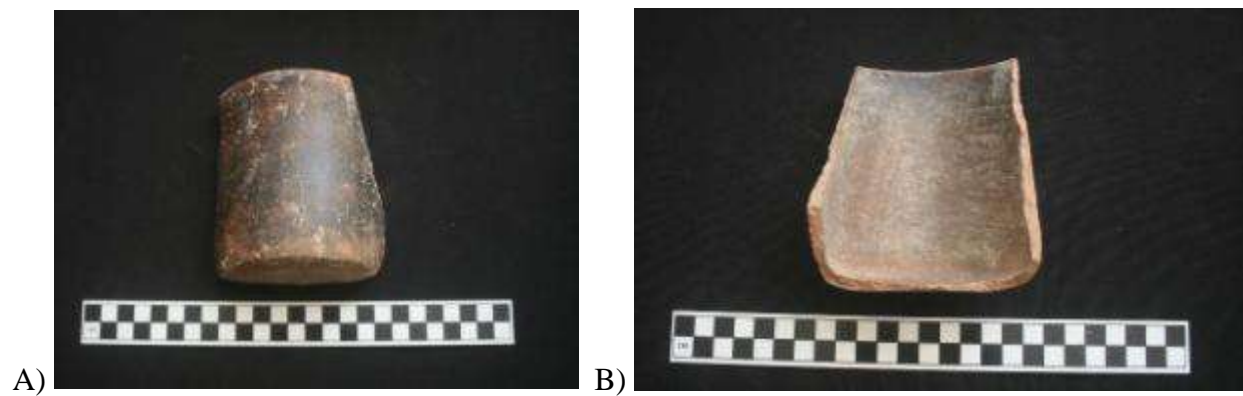


Figura 5.44 Fragmento del Vaso 2 de la Ofrenda 2 (CR-V45). A) Exterior. B) Interior (Fotos por J. Ponce)



Figura 5.45 Vaso 3 de la Ofrenda 2 (CR-V46) (Foto por J. Ponce)



Figura 5.46 Fragmento de cuenco Saxché Palmar recuperado en la Ofrenda 2 (CR-V43) (Foto por J. Ponce)

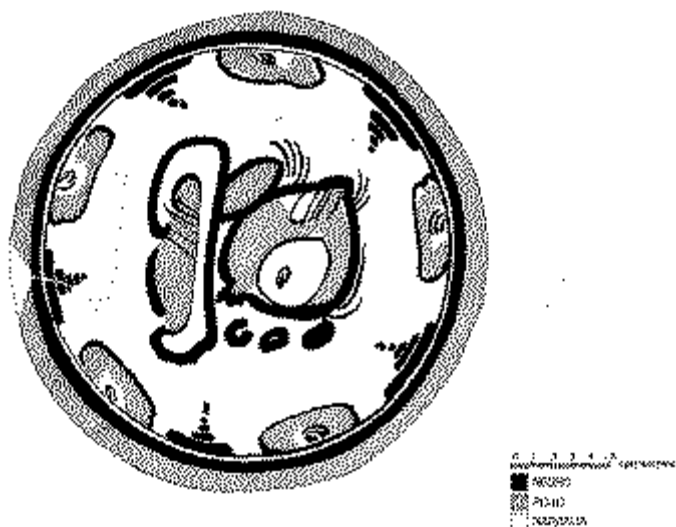


Figura 5.47 Plato recuperado en la Ofrenda 2 (CR-V47) (Foto por J. Ponce y dibujo por C. Sansregret)



Figura 5.48 Cuentas de piedra verde y aro de concha asociados al plato de la Ofrenda 2 (Foto por J. Ponce)

Nivel 9-Lote 14. Este lote constó de un relleno compacto con consistencia similar al barro, color café, mezclado con piedras medianas y pequeñas, rodeado por el relleno del Nivel 10-Lote 15, por lo que fueron visibles solamente algunos fragmentos. Se encontró de 150 a 155 cm de profundidad desde la superficie. En este lote se recuperó un total de 23 fragmentos de cerámica y una muestra de carbón.

Nivel 10-Lote 15. Este relleno constó de una nivelación de piedrín con arena suelta sobre el Piso Aceituno. Se encontró de 150 a 170 cm de profundidad. Se recuperó un total de 68 fragmentos de cerámica y uno de pedernal.

Nivel 12-Lote 18: Piso Aceituno. Este piso de estuco tuvo un grosor de 6 cm y se encontró a una profundidad de 170 a 176 cm desde la superficie. Como ya se mencionó anteriormente, en la Unidad CR16C-23 se encontró una huella de poste. En este lote se recuperó un total de 66 fragmentos de cerámica, un fragmento de pedernal y un fragmento de hueso.

Nivel 13-Lote 20. Este relleno constó de tierra café oscura compacta mezclada con piedras de diferentes tamaños bajo el Piso Aceituno y se encontró a una profundidad de 176 a 190 cm. Se recuperó un total de 85 tiestos cerámicos, cuatro fragmentos de concha y una muestra de carbón. El análisis preliminar de la cerámica indica que está fechada para el Clásico Temprano y Protoclásico, demostrando que el Piso Aceituno probablemente fue construido durante el Clásico Temprano.

Nivel 14-Lote 21: Piso Mancuernillo. Al igual que en las otras unidades, este piso de estuco se encontró en muy mal estado de conservación. Se encontró a una profundidad de 190 a 200 cm. No se recuperó material cultural.

Nivel 15-Lote 22. Este relleno constó de tierra café y arena mezclado con piedras medianas y grandes bajo el Piso Mancuernillo. Se encontró a una profundidad de 200 a 220 cm y se recuperaron 36 tiestos cerámicos, un fragmento de pedernal y tres de concha. El análisis

preliminar de la cerámica indica que está fechada para el Clásico Temprano y Preclásico, indicando que el Piso Mancuernillo posiblemente fue construido durante el Clásico Temprano.

Nivel 16-Lote 23: Piso Poité. Al igual que Mancuernillo, este piso se encontró en mal estado de conservación a una profundidad de 220 a 224 cm desde la superficie. Se recuperaron nueve fragmentos de cerámica y una muestra de carbón. El análisis preliminar de la cerámica indica que está fechada para el período Preclásico Tardío. Sin embargo, la ofrenda asociada al basurero, encontrada en la Unidad CR16A-45, fecha esta ocupación para la primera parte del Clásico Temprano. No hay evidencia que la ofrenda haya sido intrusiva.

En el Perfil Este, se encontró una alineación de seis piedras grandes asentadas sobre el piso, con orientación norte-sur, de 30 a 40 cm de largo (N-S) x 30 cm de ancho (E-O) y 20 a 30 cm de alto (Figura 5.49). También se encontraron otras dos piedras similares en el límite sur de la Unidad CR16C-25, levemente orientadas hacia el suroeste. Se desconoce la naturaleza de este rasgo y debido a que las piedras no poseían fachada, inicialmente se pensó que delimitaban algo y que la excavación se encontraba en la parte interior de lo que demarcaban. También se creía que pudieron haber formado parte del muro que delimitaba la plataforma. Sin embargo, es más posible que hayan sido colocadas al momento de ampliar la edificación y cancelar la ocupación del Piso Poité, quizás como un rasgo de contención.



Figura 5.49 Alineación de piedras sobre el Piso Poité en las unidades CR16C-23 y CR16C-25 (Fotos por J. Ponce)

Nivel 17-Lote 26. Este relleno constó de tierra café y arena mezclada con piedras bajo el Piso Poité. Se encontró a una profundidad de 224 a 240 cm y no se recuperó material cultural.

Nivel 18-Lote 27: Piso Sacpá. Este piso se encontró en mal estado de conservación y algunos fragmentos se encontraron quemados en la Unidad CR16C-23, pero fue en estas dos unidades donde se encontró mejor conservado. Se encontró a una profundidad de 240 a 250 cm y se recuperó un total de 23 fragmentos de cerámica. El análisis preliminar de la cerámica indica que está fechada para el Preclásico Tardío. Sin embargo, al igual que con el Piso Poité, la ofrenda asociada al basurero encontrada en la Unidad CR16A-45 fecha esta ocupación para la primera parte del Clásico Temprano.

En la Unidad CR16C-23 se encontró una huella de poste, a 4 cm del Perfil Oeste, de aproximadamente 40 cm de diámetro, delimitada por piedras pequeñas de aproximadamente 5 cm cada una (Figuras 5.50 y 5.51). Se cree que esta huella corresponde al basamento donde se colocó el poste, pero pudo haber sido funcional durante la ocupación del Piso Poité.



Figura 5.50 Huella de poste asociada al Piso Sacpá en la Unidad CR16C-23 (Foto por J. Ponce)

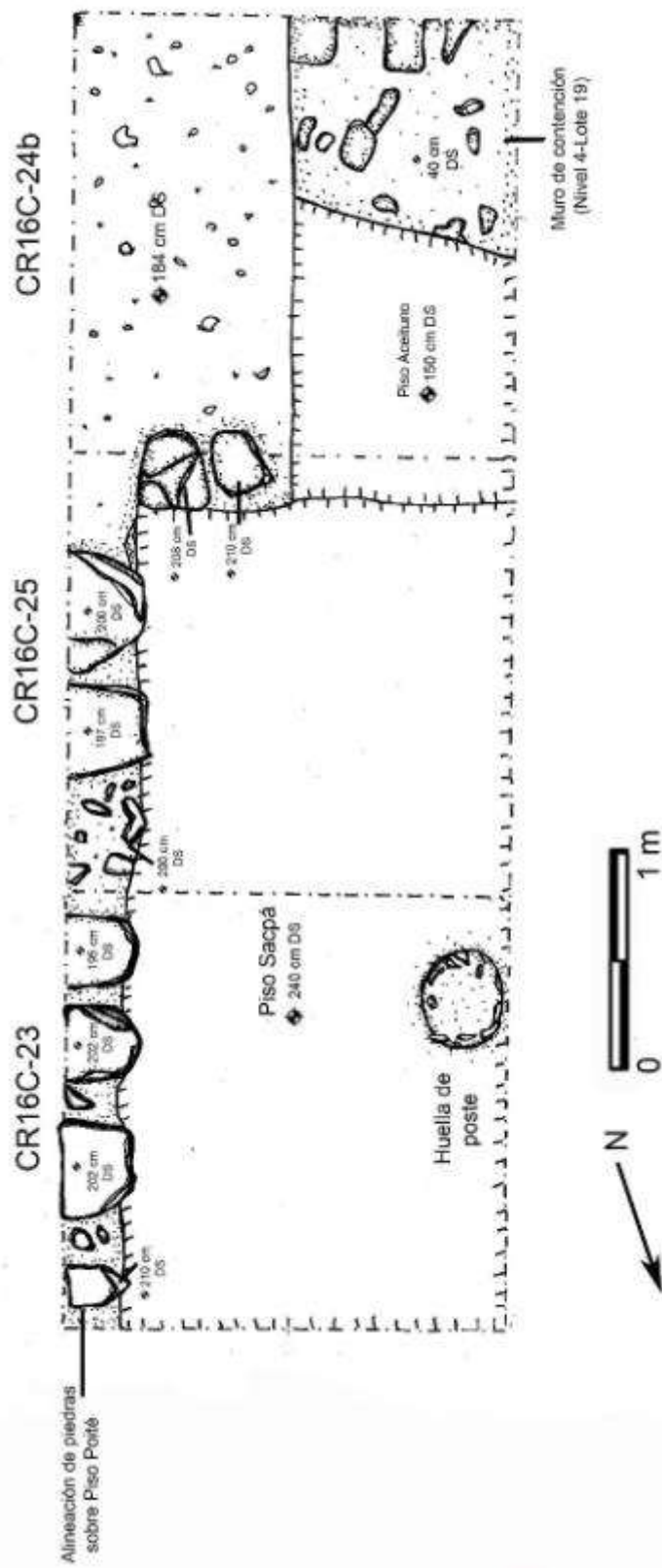


Figura 5.51 Planta de la alineación de piedras sobre el Piso Poité y huella de poste asociada al Piso Sacpá (Dibujo por J. Ponce)

Nivel 19-Lote 28: Plataforma temprana de barro. En estas dos unidades parece haberse hallado la parte superior de la plataforma de barro, cubierta por los pisos Sacpá y Poité, ya que el relleno fue en ascenso desde la Unidad CR16A-45. Este lote se encontró a una profundidad variable de 250 a 310 cm y se recuperaron 128 tiestos cerámicos, tres fragmentos de concha y un artefacto desconocido de piedra.

Nivel 20-Lote 29. Este lote constó de un relleno de arena blanca, piedrín y piedra caliza, muy compacto, bajo la plataforma de barro. Se encontró a una profundidad de 270 a 418 cm desde la superficie. En este lote no se recuperó material cultural, por lo que existe la posibilidad que éste haya sido un relleno natural.

Nivel 21-Lote 31. Debido al hallazgo de la ofrenda encontrada en 2012 en la Plaza Sur asociada a la roca madre (ver Informe 2012), se decidió continuar la excavación hasta la roca madre en un área de solamente 1 m x 1 m en la Unidad CR16C-25 bajo el Nivel 20-Lote 29. Se encontró un relleno de barro amarillo, piedrín, piedra caliza y arena blanca, muy compacto. No se encontró la roca madre ni material cultural, lo que indica que posiblemente este relleno es natural. De ser así, es posible que antes de la construcción del edificio haya habido una elevación natural de caliza, por lo que los antiguos pobladores escogieron esta área para la construcción de la edificación. Se considera poco probable que este relleno haya sido traído de otro lado para la nivelación del área, ya que de ser así es posible que originalmente hubiese habido una gran depresión en el terreno. Se encontró a una profundidad de 400 a 480 cm desde la superficie.

Unidades CR16A-46 y CR16C-26: Excavaciones de sondeo de la Escalinata Jeroglífica A

A pesar de ser de diferentes suboperaciones, ambos pozos se hicieron con el objetivo de obtener más información de la Escalinata Jeroglífica A, específicamente buscar los restos de algún escalón que no hubiese sido destruido por los saqueadores. Se tomó como referencia el muro que se observaba en la superficie del Saqueo 2, el cual parece ser el muro de contención de la Escalinata Jeroglífica A, asociado a la expansión del edificio correspondiente a la remodelación del Piso Chico-Zapote durante el Clásico Tardío. La Unidad CR16C-26 fue un sondeo donde se registraron solamente dos lotes de excavación y se alcanzó una profundidad

máxima de 30 cm desde la superficie. Luego se prosiguió con la excavación de la Unidad CR16A-46, donde también se identificaron sólo dos lotes que también fueron identificados en la Unidad CR16A-45, y se alcanzó una profundidad máxima de 230 cm desde la superficie.

CR16C-26

Nivel 1-Lote 1. El primer lote corresponde al humus, el cual fue suelto y con mucho material orgánico. Se encontró a una profundidad máxima de 10 cm desde la superficie. No se recuperó material cultural.

Nivel 2-Lote 2: Indicios del muro de contención de la Escalinata Jeroglífica A. Este lote constó de tierra café suelta mezclada con escombros. Se encontró a una profundidad de 10 a 30 cm desde la superficie y se recuperaron solamente dos fragmentos de cerámica. Se encontraron indicios del muro de contención expuesto en el Saqueo 2, ya que inicialmente se encontró una alineación de piedras en un eje E-O, que abarcaba todo el ancho del pozo hasta el límite este del mismo, y luego esta alineación cruzó hacia el sur hasta unirse con el muro de contención expuesto en el Saqueo 2 (Figura 5.52).

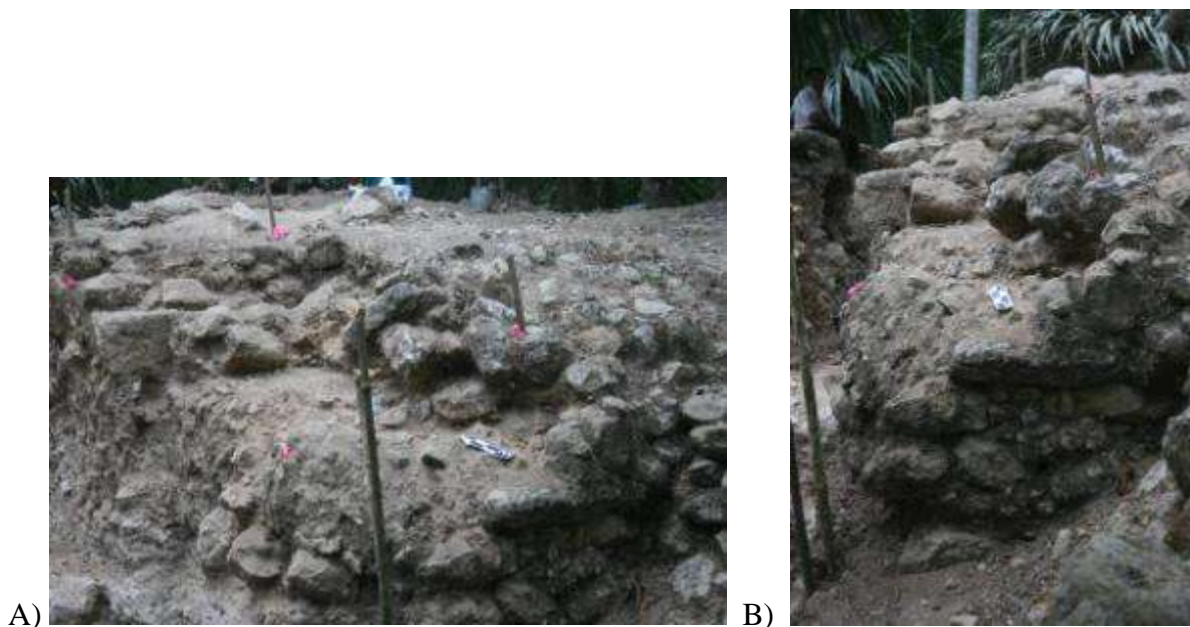


Figura 5.52 Alineación de piedras en la Unidad CR16C-26 que se une con el muro de contención expuesto en el Saqueo 2. A) Vista desde el oeste. B) Vista desde el sur (Fotos por J. Ponce)

Unidad CR16A-46

Nivel 1-Lote 2. El primer lote fue la tierra de saqueo encontrada en el área donde se encontraba originalmente la Escalinata Jeroglífica A. Se encontró a una profundidad máxima de 80 cm desde la superficie y se obtuvieron 33 tiestos cerámicos, un fragmento de pedernal y uno de obsidiana. En este lote se encontró parte del muro de contención expuesto en el Saqueo 2.

Nivel 3-Lote 6: Muro de contención y posibles escalones. El segundo lote constó de tierra café suelta, mezclada con piedras medianas y grandes, que conformaba el relleno original de la Escalinata Jeroglífica A. Se encontró a una profundidad de 80 a 230 cm desde la superficie y se obtuvieron 116 tiestos cerámicos, un fragmento de pedernal y uno de obsidiana. Se descubrió que el muro de contención mide 1.60 m de altura y está asentado sobre la plataforma de barro descrita anteriormente (Figuras 5.53 y 5.54). Posee 8 hileras y es posible que originalmente haya sido más alto, pero fue destruido el Saqueo 2. Se considera que es probable que haya cortado la fachada correspondiente a la ocupación del Piso Aceituno y posiblemente fue construido como un muro de contención para la Escalinata Jeroglífica A, correspondiente a la ampliación asociada al Piso Chico-Zapote.

Se notó que el muro cruza 10 cm al sur y se extiende hacia el este, donde se encontraron cuatro posibles escalones en un eje E-O. Aunque sin duda son alineaciones de piedras, se considera que son muy pequeños para haber sido funcionales (10 a 15 cm de huella y 10 cm de contrahuella). Sin embargo, el hecho que dos de las piedras del primer escalón (el más bajo) haya tenido estuco, indica que probablemente en algún momento estuvieron expuestas. En la parte sur del pozo se encontró otra alineación de siete piedras con eje E-O (60 cm al sur de los posibles escalones), con dos fragmentos pequeños de piso de estuco 4 cm más abajo, lo que indica que podría ser otro escalón. Sin embargo, se considera que la evidencia es escasa para afirmar que corresponden a restos de escalones de la Escalinata Jeroglífica A, ya que también podrían ser parte de los cuerpos de la Fachada Sur identificados en 2011 (ver Informe 2011).

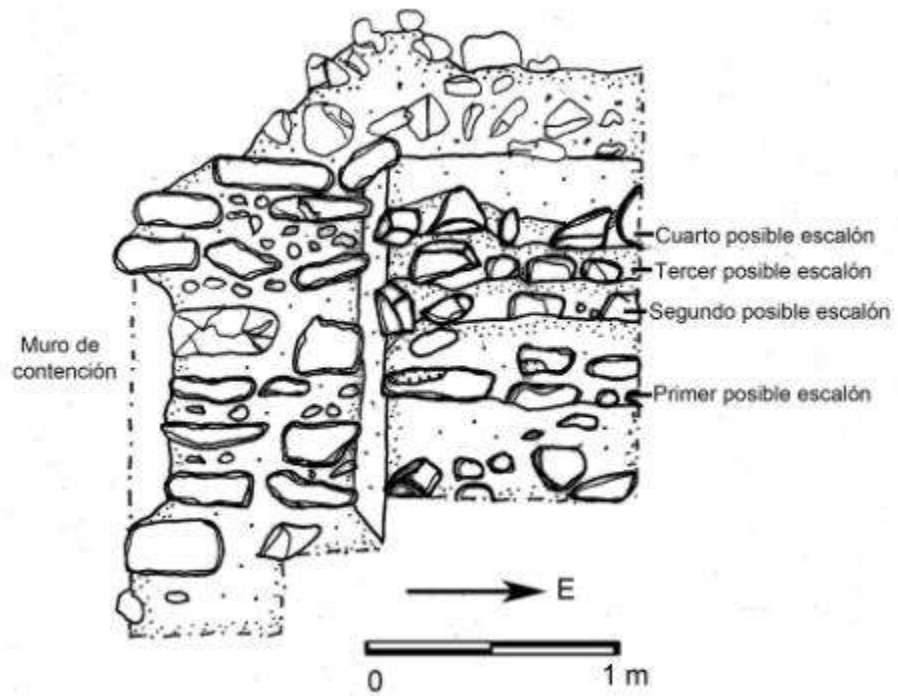


Figura 5.53 Muro de contención y posibles escalones en la Unidad CR16A-46 (Foto y dibujo por J. Ponce)

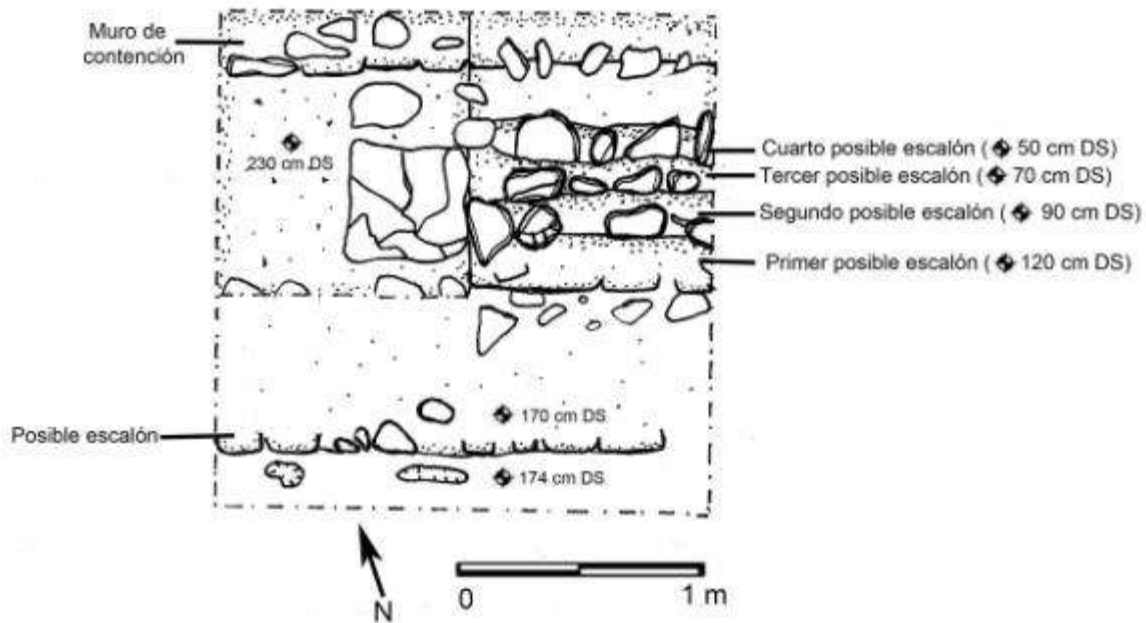


Figura 5.54 Planta de muro de contención y posibles escalones en la Unidad CR16A-46 (Dibujo por J. Ponce)

Secuencia Ocupacional

Las excavaciones realizadas en las estructuras 13R-9 y 13R-10 desde 2006 han permitido realizar una secuencia ocupacional por medio de la correlación de datos arquitectónicos, epigráficos y materiales, que abarca seis fases desde principios del Clásico Temprano hasta el Clásico Terminal (Figura 5.55). La etapa más antigua corresponde a la primera parte del Clásico Temprano y está representada por una plataforma de barro cubierta por el **Piso Sacpá**. Asociada a esta ocupación se encontró una huella de poste en lo que hubiese sido la parte superior de la plataforma. En el relleno de esta estructura colocaron un basurero con gran cantidad de caracoles y cerámica del Preclásico Tardío, al igual que una ofrenda en la parte interior del mismo, lo que sugiere que los restos quizás corresponden a algún evento ritual. En base al análisis preliminar de la cerámica se cree que el **Piso Poité** fue una remodelación de esta misma ocupación. De igual manera, asociado a esta estructura de barro se encontraron dos entierros con orientación nortesur. Se cree que el individuo del Entierro 10 fue de bajo status y pudo haber sido parte de una ofrenda. En contraste, el plato asociado al individuo del Entierro 11 sugiere que fue de status más alto y posiblemente perteneció a la élite. Debido a la presencia de un relleno que parece ser

intrusivo, se cree que posiblemente los antiguos mayas cortaron los pisos Sacpá y Poité para colocar ambos entierros en la estructura de barro, aunque la evidencia es escasa para afirmar esto. Al cancelar la primera ocupación colocaron una alineación de seis piedras grandes con orientación norte-sur, cuya función permanece desconocida.

La segunda etapa ocupacional, correspondiente a la segunda parte del Clásico Temprano, está representada por los pisos Mancuernillo, Aceituno y Ramón. Debido a la alta calidad del **Piso Aceituno** en relación a los demás, se cree que esta ocupación marcó un cambio importante y posiblemente estuvo relacionada con el período inicial de la influencia del Reino *Kaan* en La Corona, correspondiente a la Fase *Naah Ek'* y el gobierno de “Buitre” (520-625 d.C.). Según el Panel 6 de La Corona (Panel de Dallas; Monumento Saqueado 6), en el año 520 d.C. la señora *Naah Ek'* llegó a La Corona como la esposa del gobernante “Buitre”, el único de La Corona en ostentar el título de “sagrado” (*k'uhul*) (Canuto *et. al* 2012: 418-421).

Por el mal estado de conservación de **Mancuernillo** y por su baja calidad en relación a Aceituno, se cree que posiblemente sólo fue una nivelación para la construcción de Aceituno. Sin embargo, también existe la posibilidad que Mancuernillo haya sido construido antes de la llegada de la mujer *Naah Ek'*, lo que explicaría su baja calidad y la cancelación prominente con Aceituno al fortalecerse los vínculos con el Reino *Kaan*. Asociado al Piso Aceituno se encontraron dos huellas de poste en lo que hubiese sido la parte superior de la plataforma. De igual manera, cabe recordar que no hay información acerca de la fachada de esta ocupación debido a que parece que fue cortada al construir la siguiente etapa.

El **Piso Ramón** también fue construido durante la segunda parte del Clásico Temprano. El análisis preliminar de la cerámica indica que fue cortado para colocar el Entierro 9 sobre el Piso Aceituno durante el Clásico Tardío. Se cree que esta mujer perteneció a la corte real y posiblemente vivió durante la época de *Sak Maas*, que gobernó de 625 a 656 d.C. Fue colocada sobre el Piso Aceituno por alguna razón importante y probablemente la Ofrenda 3 también está asociada a esta etapa. Cabe mencionar que sobre el Piso Aceituno construyeron un muro de contención que posiblemente tuvo alguna función arquitectónica durante esa ocupación o la del Piso Ramón.

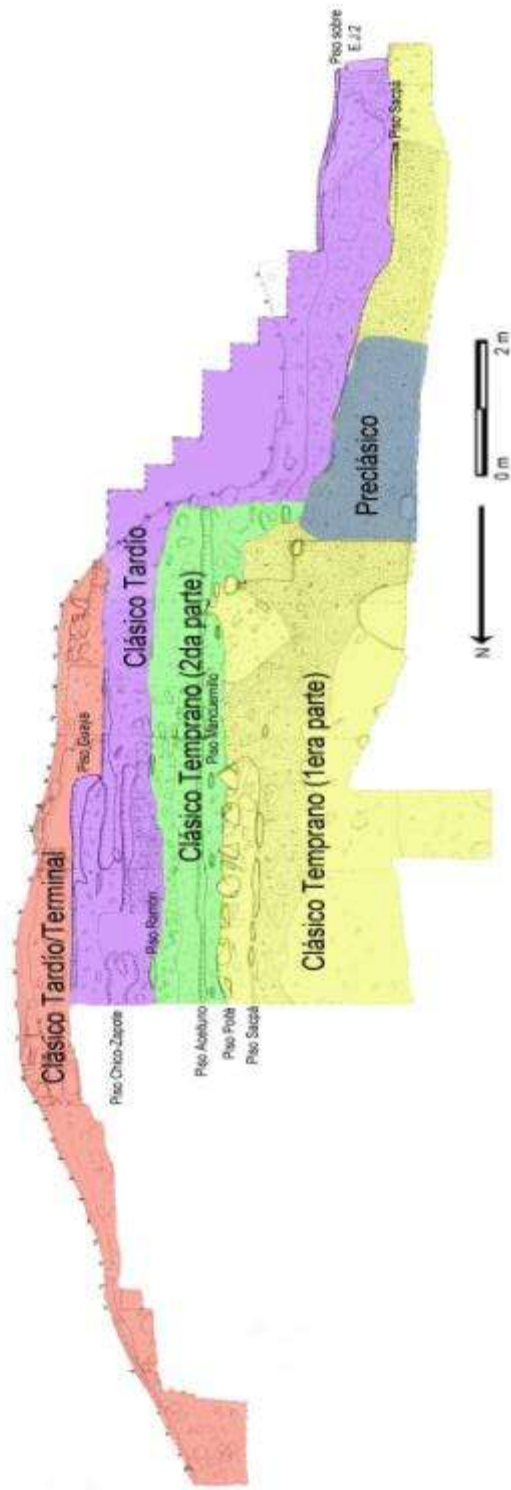


Figura 5.55 Perfil Este mostrando temporalidades y pisos identificados
(Dibujo por J. Ponce)

La tercera etapa ya había sido identificada en excavaciones de años anteriores y se cree que pertenece a la primera parte del Clásico Tardío. Está representada por los pisos **Chico-Zapote** y **Guaya**, y corresponde a la ampliación de la Estructura 13R-10 como una plataforma escalonada con un cuarto en la parte superior. Se colocó la Escalinata Jeroglífica A en la fachada principal y durante esta época la Escalinata Jeroglífica 2 posiblemente tenía bloques lisos. Asociada a esta etapa se encontraron las Ofrendas 1 y 2, y probablemente también el mosaico bajo la Escalinata Jeroglífica 2. La fecha temprana del plato de la Ofrenda 1 (600-650 d.C.) en relación a las otras vasijas de esta misma ofrenda, sugiere que esta ampliación se realizó durante el gobierno de *Chakaw Nahb Chan* (658-667 d.C) y posiblemente la Escalinata Jeroglífica A fue agregada posteriormente por *K'inich ¿? Yook* (667-689 d.C). La presencia del plato con información epigráfica del sitio La Florida y la Escalinata Jeroglífica A confirman el uso de la estructura por la corte real durante esta etapa.

De igual manera, fue en esta fase que se construyó la Estructura 13R-9 al oeste y se realizó un festín, cuyos restos fueron depositados en el relleno constructivo. Ambas estructuras estaban conectadas por un acceso en el Muro Oeste de la Estructura 13R-10. Asimismo, la evidencia arquitectónica que sugiere que la Estructura 13R-10 estuvo abierta en su fachada principal, junto con la ofrenda encontrada en la Estructura 13R-9, apoya la idea que durante esta época se realizaban actividades rituales de carácter público auspiciadas por la corte real.

La cuarta etapa, también identificada anteriormente, consistió en modificaciones a la superestructura de la Estructura 13R-10 para hacerla más privada. Se cree que esto se hizo en la segunda parte del Clásico Tardío. Se colocó el Muro Sur en la fachada principal, se bloqueó el acceso hacia la Estructura 13R-9 y se agregó la Banqueta 1, posiblemente para separar el espacio y delimitar las tres habitaciones. Estas modificaciones probablemente fueron hechas entre 700 y 750 d.C. durante el gobierno de *Yajawte' Kinich*, hijo de *K'inich ¿? Yook*. *Yajawte' Kinich* posiblemente fue el responsable de la colocación de la ofrenda encontrada en 2011 de los dos comales labio a labio del tipo Cambio Sin Engobe, en la parte posterior de la plataforma basal. Otra modificación importante fue la colocación del Panel de Dallas (Monumento Saqueado 6) en la fachada principal de la estructura, posiblemente sobre el primer escalón de la escalinata. Estas modificaciones pudieron haber sido realizadas por un cambio de función, ya que posiblemente se convirtió en una estructura donde se realizaban rituales de carácter más privado, o una residencia

para algún miembro importante de la corte real. La ofrenda de los dos comales puede ser interpretada como un indicio de este cambio de función, de uno ritual a uno más habitacional o doméstico.

Sin embargo, tomando en cuenta los hallazgos de esta temporada, surge la posibilidad que las modificaciones de la cuarta etapa hayan sido realizadas por *K'inich ¿? Yook*, o por su hermano *Chak Ak'aach Yuk*, que gobernó de 689 a 700 d.C., lo que implicaría que la colocación de la Escalinata Jeroglífica A pudo haber sido durante esta fase y surge la posibilidad que el Panel de Dallas (Monumento Saqueado 6) también haya sido reposicionado junto con los bloques de la Escalinata Jeroglífica 2. No obstante, hasta no tener más evidencia o fechas de radiocarbono que apoyen esta idea, se le atribuyen las modificaciones de esta etapa a *Yajawte' Kinich*.

La ocupación de la quinta fase no está muy clara, pero está representada por la presencia del *chultun* en la parte posterior de la Estructura 13R-10, fechado para después de 760 d.C. Es posible que el reposicionamiento de los bloques de la Escalinata Jeroglífica 2 se haya realizado durante esta etapa, ya que la fecha más tardía identificada en los bloques del primer escalón es 716 d.C. En La Corona, el período de la cuarta fase representa el final de la historia dinástica conocida, pero el *chultun* indica que las prácticas rituales asociadas a festines continuaron a pesar de los cambios políticos (Canuto *et al.* 2012: 431).

Se cree que el festín ritual asociado al *chultun* y el reposicionamiento de la escalinata a finales del Clásico Tardío pudieron haber sido parte de un ritual de terminación por parte de los miembros de la corte real de La Corona, donde simbólicamente se dio fin a los vínculos estrechos que se tuvo durante varias generaciones con la dinastía Kaan. Aunque los dos bloques de los extremos se encontraron colocados de cabeza, se cree que el reposicionamiento de la escalinata se hizo como una manera en que los habitantes preservaron su historia y legitimaron descendencia del linaje real de La Corona y de Calakmul, recolocando algunos monumentos con temas asociados a la dinastía Kaan en un solo sector del sitio. Los dos bloques de cabeza son interpretados como una posible manera de manifestar desacuerdo con alguna situación sociopolítica que se vivió como producto de la relación con este reino.

Por último, la ocupación de la sexta fase está representada por dos residencias sobre la plaza y adosadas al basamento de 13R-10, las cuales fueron halladas en la Temporada 2012. La

presencia de cerámica Altar Naranja Fino fecha la última ocupación para después de 830 d.C., correspondiente al Clásico Terminal. Las viviendas sobre la plaza probablemente se construyeron durante esa época y la evidencia indica que durante esta última etapa la función de la Estructura 13R-10 fue menos ritual y más doméstica que en las etapas previas.

El análisis de los artefactos y materiales encontrados indica que la Estructura 13R-10 fue utilizada para diversas actividades domésticas relacionadas a la preparación y almacenaje de alimentos y actividades económicas de elaboración de artefactos a pequeña escala por los últimos habitantes. La distribución uniforme de los artefactos y materiales, sugiere que posiblemente cada una de las tres habitaciones y las dos estructuras sobre la plaza fueron habitadas por familias o grupos pequeños que constituían unidades productivas domésticas. Las actividades probablemente fueron realizadas a pequeña escala en función de sus necesidades de consumo como un medio de adaptación a los procesos sociopolíticos que se dieron durante el siglo IX.

Asimismo, es importante mencionar que el hecho que se haya reocupado un área ritual importante y haya sido usada para actividades domésticas y económicas, significa que para 830 d.C. el Grupo Coronitas ya no estaba siendo utilizado para actividades rituales y probablemente la influencia de la dinastía Kaan había desaparecido por completo. Sin embargo, se cree que el área fue habitada por descendientes de la familia real o élite de alto rango, ya que en vez de dismantelar las estructuras, respetaron los monumentos en la fachada principal de la Estructura 13R-10, indicando respeto hacia la corte real de La Corona y la dinastía Kaan. De ser así, éste representa un caso atípico en relación a otros de las Tierras Bajas Mayas para el Clásico Terminal.

La Tabla 5.1 muestra esquemáticamente las fases identificadas en la historia cultural de La Corona (ver Capítulo I de este Informe), correlacionadas con las fases del Grupo Coronitas (Baron 2013a: 121-123; Baron 2013b) y las etapas ocupacionales identificadas hasta el momento en las estructuras 13R-9 y 13R-10.

Tabla 5.1 Correlación de fases de la historia cultural de La Corona con las fases identificadas en el Grupo Coronitas y en las estructuras 13R-9 y 13R-10 (Tabla por J. Ponce)

Período histórico	Preclásico Tardío (300 a.C.-250 d.C.)	Primera parte del Clásico Temprano (250-350d.C.)	Segunda parte del Clásico Temprano (350-600 d.C.)	Primera parte del Clásico Tardío (600-650 d.C.)	Segunda parte del Clásico Tardío (650-830 d.C.)		Clásico Terminal (830 d.C.-¿?)
Fases de la historia cultural de La Corona		Fase <i>Aneel</i> (314-500 d.C.)	Fase <i>Naah Ek'</i> (520-625 d.C.)	Fase <i>Yuknoom</i> (625-700 d.C.)	Fase <i>Ti' Kann</i> (700-750 d.C.)	Fase <i>Ix Mutal</i> (750 a 820 d.C.)	
Fases del Grupo Coronitas	Fase <i>K'inich</i> (300 a.C.-250 d.C.)	Fases <i>Mam</i> y <i>Muk</i> (300-600 d.C.)			Fase <i>K'uh'</i> (658 d.C.), Fase <i>Ub</i> (677 d.C.) y Fase <i>Unen</i> (después de 760 d.C.)		
Fases de las Estructuras 13R-9 y 13R-10		Primera Etapa: Pisos Sacpá y Poité	Segunda Etapa: Pisos Mancuernillo, Aceituno y Ramón	Tercera Etapa: Chico-Zapote y Guaya	Cuarta Etapa (700-750 d.C.) y Quinta Etapa (después de 760 d.C.)		Sexta etapa

Conclusiones

Las excavaciones de la Temporada 2013 dieron como resultado una compleja serie de rellenos y siete pisos de estuco que representan tres etapas ocupacionales durante el Clásico Temprano y Clásico Tardío. Sin embargo, las excavaciones realizadas desde 2006 junto con la correlación de datos arquitectónicos, epigráficos y materiales, han permitido realizar una secuencia que abarca seis etapas ocupacionales desde el Clásico Temprano hasta el Clásico Terminal. Su larga ocupación, junto con la presencia de la Escalinata Jeroglífica A, los tres entierros y las siete ofrendas en el eje central, son indicadores de la importancia ritual que tuvo esta estructura para la corte real de La Corona. El hecho que los tres entierros posiblemente fueron depositados después de la cancelación de las etapas constructivas, al igual que la presencia de huesos humanos exhumados en las Ofrendas 1 y 2, indica que probablemente había una razón ideológica o simbólica importante por la cual fueron enterrados o trasladados a la Estructura 13R-10, posiblemente aparte de las estructuras funerarias principales.

La falta de rasgos arquitectónicos encontrados sobre los pisos, las huellas de poste y el hecho que en las excavaciones de 2011 en la parte posterior plataforma basal no se encontró la secuencia de pisos y rellenos de esta temporada, sugiere que antes de convertirse en una edificación escalonada, la Estructura 13R-10 probablemente fue una plataforma para la realización de rituales hasta principios del Clásico Tardío. Marcello Canuto sugiere que posiblemente fue utilizada para la ejecución de bailes u otros eventos rituales por parte de la corte real. Para el Clásico Tardío, esta hipótesis está sustentada por el contenido epigráfico de la Escalinata Jeroglífica A.

Aunque se cree que la corte real utilizó la estructura desde su primera ocupación, los datos disponibles confirman esto sólo a partir de la primera parte del Clásico Tardío. Sin embargo, la evidencia sugiere una disminución de las actividades rituales a partir de la segunda parte del Clásico Tardío, quizás debido a la construcción de otros espacios para la realización de este tipo de actividades en otras áreas del sitio. Debido a que esta temporada las excavaciones se centraron en el eje central, futuras investigaciones deberán extenderse hacia el este y oeste para obtener más información de los rasgos arquitectónicos y de las distintas fases de la Estructura 13R-10. Por último, se sugiere obtener fechas absolutas con radiocarbono que permitan refinar la cronología realizada hasta el momento.

CAPÍTULO VI

OPERACIÓN CR117: EXCAVACIONES EN LA ESTRUCTURA 13R-7, TEMPORADA 2013

Jocelyne Ponce Stokvis

Introducción

La Estructura 13R-7 se encuentra ubicada en el Grupo 13R-II y es una plataforma basal de un cuerpo, alargada en un eje norte-sur, de aproximadamente 33 m de largo, 6 m de ancho y 2 m de alto (Figura 6.1). La estructura tiene dos saqueos en su Fachada Este y hasta el momento se desconoce cuál era su fachada principal. De igual manera, posee una ubicación importante dentro del Grupo Coronitas, ya que separa los grupos 13R-I y 13R-II.

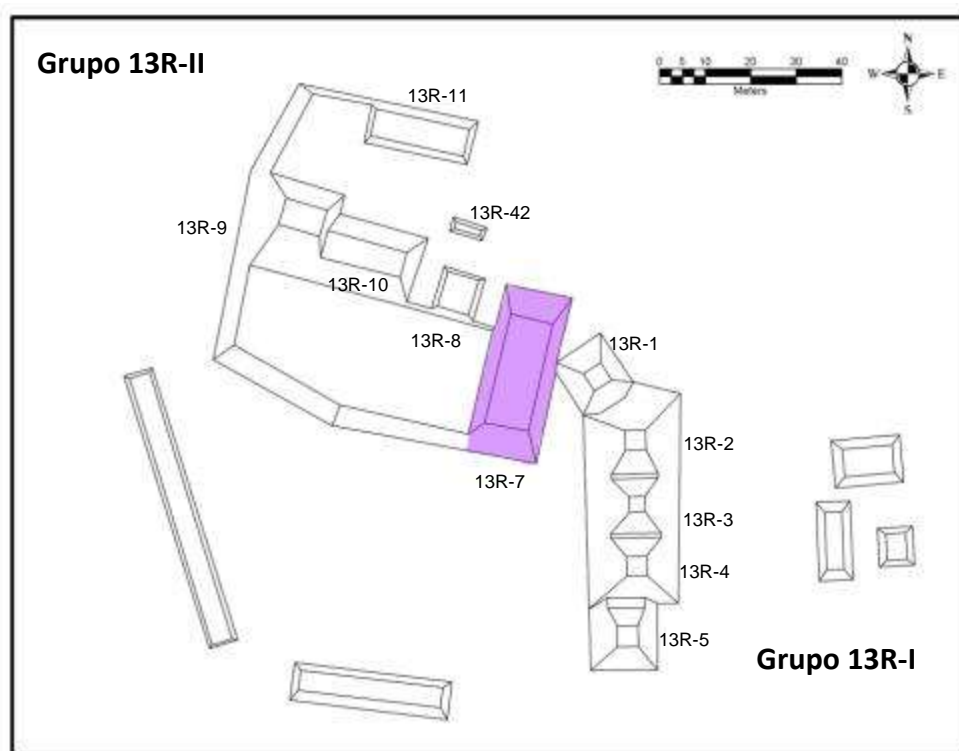


Figura 6.1. Mapa de los grupos 13R-I y 13R-II mostrando ubicación de la Estructura 13R-7
(Mapa por M. Canuto)

Antecedentes

En 2006, el equipo de mapeo encontró un panel erosionado, denominado Panel 7 (Monumento 11), en la superficie de la Estructura 13R-7, el cual posee una escena central que retrata a dos personajes con grandes tocados viéndose uno al otro. La escena también posee otro personaje de perfil del lado izquierdo y posiblemente a otros miembros de la corte real en la parte inferior atestiguando la reunión entre los dos señores principales en la parte superior de la escena. La identificación de una fecha de Cuenta Larga sugiere que el monumento fue dedicado durante el reinado de *K'inich ʼ? Yook* (Marken y Guenter 2007: 485-486).

En 2012, Divina Perla realizó las primeras excavaciones en esta estructura, que se concentraron en la esquina suroeste de la estructura, parte de la Fachada Este y la parte superior de la estructura. Éstas resultaron en la identificación de rasgos arquitectónicos correspondientes a por lo menos dos etapas constructivas bien definidas. La primera etapa corresponde a una plataforma basal alargada, con paredes inclinadas y esquinas redondeadas, formadas por bloques de caliza de alta calidad, recubiertos por estuco. En la parte superior de la plataforma basal posiblemente hubo dos cuartos que fueron destruidos por el saqueo. Debido a la calidad constructiva de la primera etapa, probablemente corresponda a la época de florecimiento del sitio, durante la Fase Yuknoom del sitio (625-700 d.C.) (Perla 2013: 221-249).

La segunda etapa constructiva se trata de una plataforma empedrada, adosada al Muro Oeste de la estructura. La calidad constructiva de esta remodelación es mucho menor al de la estructura original, ya que no cuenta con bloques trabajados. Al sur de la plataforma empedrada fue construida una saliente baja. A sus lados se encontraron dos depósitos de materiales que han sido interpretados como basureros, donde se encontró material correspondiente a las fases Tepeu 1 y 2 del Clásico Tardío, incluyendo cerámica Gris Fino Chicxulub Inciso (C. Parris, com. pers. 2012), por lo que las remodelaciones realizadas en esta etapa constructiva son fechadas probablemente para la Fase Ti' Kaan (700-750 d.C.) (Perla 2013: 221-249).

Excavaciones de la Temporada 2013

Durante la Temporada 2013 se realizó una trinchera de 8 m de largo (E-O) en el eje central de la Fachada Oeste de la Estructura 13R-7, que abarcó desde el piso de plaza hasta la parte superior de la estructura. Esto se hizo con el objetivo de conocer más de los rasgos arquitectónicos de la Fachada Oeste de la estructura y descartar la posibilidad que tuviera una escalinata jeroglífica similar a la de la Estructura 13R-10, por tratarse de la fachada que da hacia la plaza del Grupo 13R-II. Para ello se realizaron dos unidades de excavación, denominadas CR117B-5 y CR117B-6, de 4 m de largo (E-O) y 1 m de ancho (N-S) cada una, orientadas 15 grados este del norte, tomando como referencia el muro encontrado en el Saqueo 1. Esto dio como resultado el hallazgo de cinco posibles escalones largos o descansos, desde la plaza hasta la parte superior de la estructura. Se continuó con la misma nomenclatura utilizada la temporada pasada, por lo que las unidades fueron parte de la Suboperación B. Los lotes utilizados fueron culturales y en ambas unidades solamente se identificaron dos niveles y lotes. El Nivel 1-Lote 1 constó de humus suelto, con material orgánico y el Nivel 2-Lote 2 constó de tierra café suelta mezclada con escombro de construcción. El datum fue el segundo escalón identificado, con una elevación de 101.691 m.

CR117B-5

En esta unidad se identificaron ambos niveles y lotes. Se cree que debió encontrarse el piso de plaza, pero este no fue visible, probablemente porque se erosionó. La roca madre se alcanzó a 50 cm desde la superficie en el área de la plaza. Asimismo, se identificó un pequeño muro formado por dos piedras alineadas con un eje N-S y con fachada hacia la plaza, que se cree que formaban un primer escalón. Sobre el escalón se encontró una superficie empedrada que se extiende hacia el interior de la estructura. En esta superficie empedrada se encontraron fragmentos pequeños de piso de estuco, indicando que la superficie estuvo estucada (Figura 6.2).

En el Nivel 1-Lote 1 no se recuperó material cultural y en el Nivel 2-Lote 2 se recuperaron 265 tiestos cerámicos, un fragmento de obsidiana, siete fragmentos de pedernal, tres fragmentos de concha y dos fragmentos de figurillas.



Figura 6.2. Fragmentos de piso de estuco sobre primer escalón (Foto por J. Ponce)

CR117B-6

En esta unidad también se identificaron ambos niveles y lotes. Se descubrió que el primer escalón tiene una longitud de 4.20 m (E-O) hasta llegar a un segundo escalón, 20 cm más alto, formado por tres piedras alineadas en un eje N-S. Este segundo escalón tiene una longitud de 50 cm (E-O) hasta alcanzar una alineación de cuatro piedras que posiblemente formaban un tercer escalón, solamente 1 a 4 cm más alto que la segunda grada. Luego, 70 cm al este se encontró un cuarto escalón, formado por cuatro piedras alineadas en un eje N-S y 5 cm más alto que la tercera grada. El cuarto escalón tuvo una longitud de 70 cm (E-O) hasta alcanzar una alineación de cuatro piedras, 4 cm más alta, que posiblemente formaban un quinto escalón, o parte del muro de la parte superior de la estructura. Por último, 20 cm al este y 8 cm más alto, se encontró una alineación de piedras que conformaba el muro que limita la parte superior de la estructura, posiblemente perteneciente a uno de las habitaciones. La superficie de todos los escalones fue empedrada y solamente se

encontraron fragmentos pequeños de estuco en el primer escalón (Figuras 6.3, 6.4, 6.5 y 6.6).

En cuanto al material recuperado, en el Nivel 1-Lote 1 se recuperaron 22 tiestos, un fragmento de pedernal y dos fragmentos de estuco. En el Nivel 2-Lote 2 se encontraron 112 tiestos, dos fragmentos de pedernal y un fragmento de figurilla.

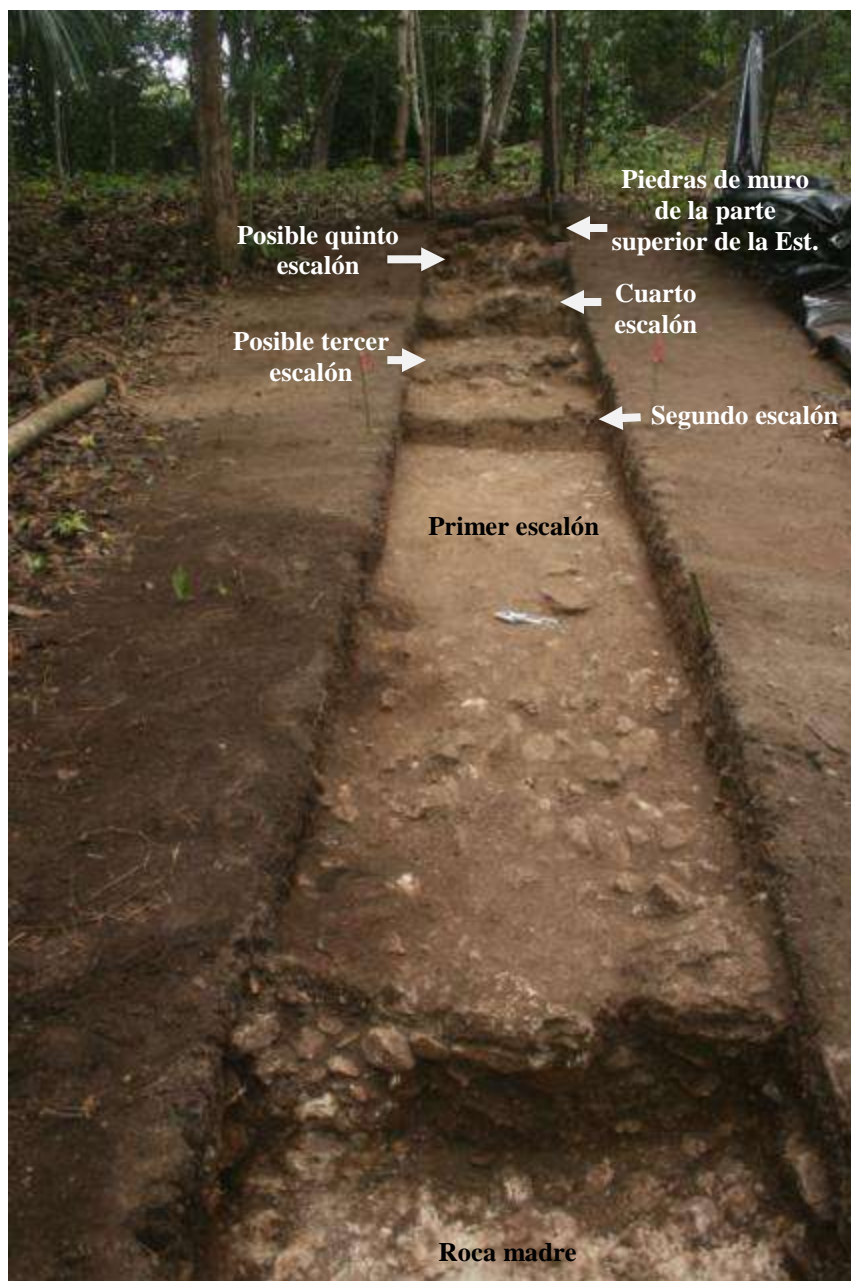


Figura 6.3. Vista desde el oeste de la excavación de las unidades CR117B-5 y CR117B-6 (Foto por J. Ponce)

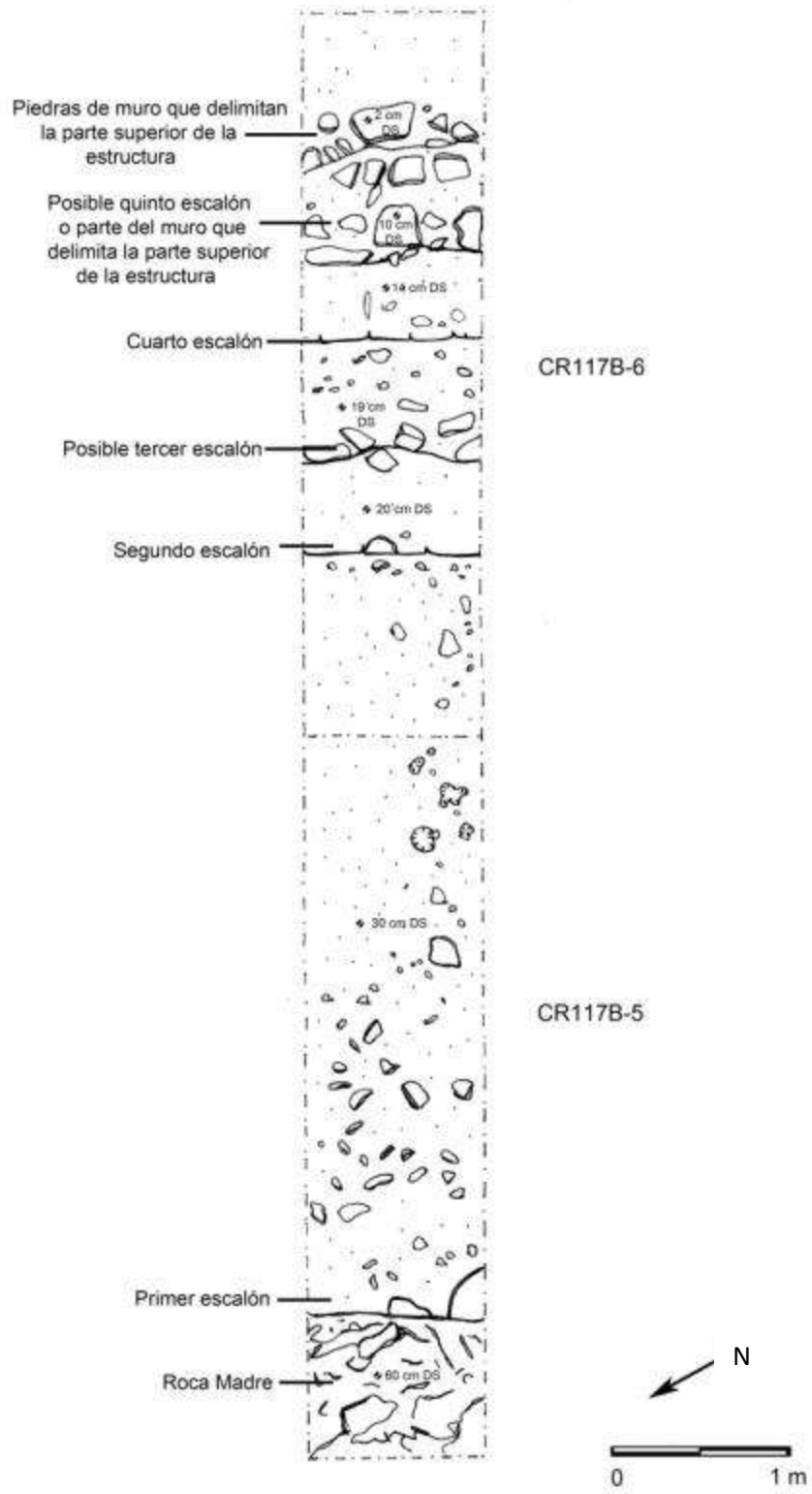


Figura 6.4. Planta de los rasgos de las unidades CR117B-5 y CR117B-6 (Dibujo por J. Ponce)

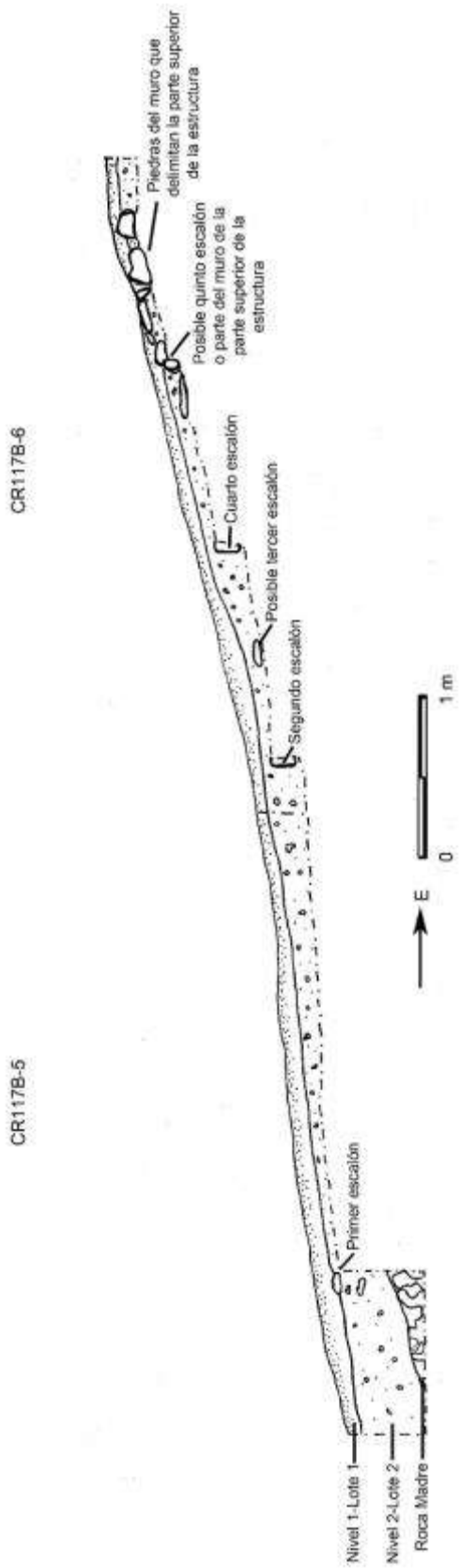


Figura 6.5. Perfil Norte de las unidades CR117B-5 y CR117B-6 (Dibujo por J. Ponce)

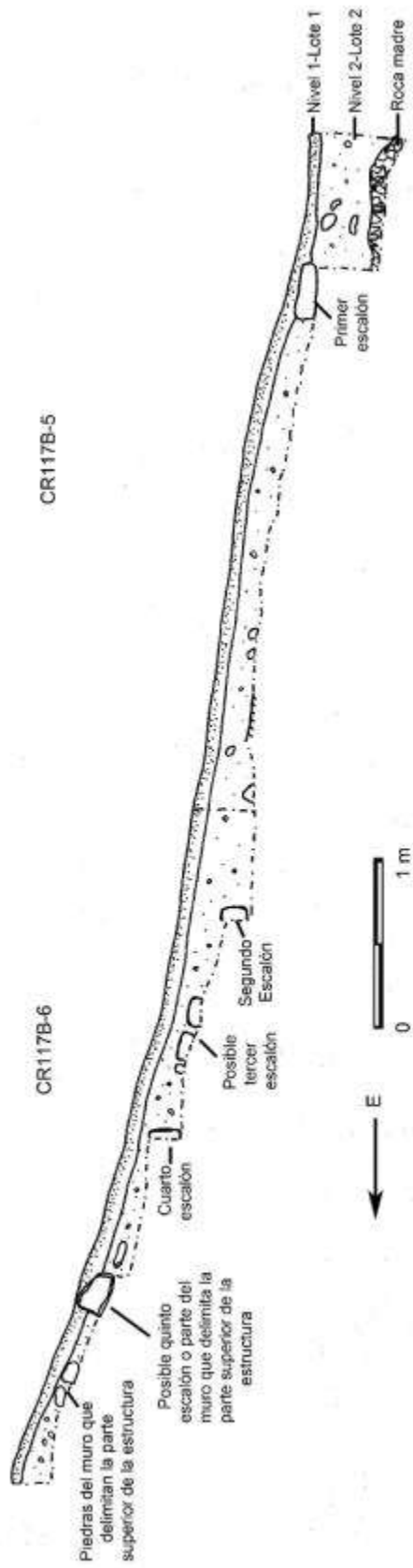


Figura 6.6. Perfil Sur de las unidades CR117B-5 y CR117B-6 (Dibujo por J. Ponce)

Conclusiones

Las excavaciones de la Temporada 2013 proveyeron datos de la arquitectura de la Fachada Oeste de la Estructura 13R-7, la cual estuvo conformada por cinco posibles escalones largos o descansos, desde la plaza del Grupo 13R-II hasta alcanzar la parte superior de la estructura. Al igual que la cerámica encontrada en otros sectores del Grupo 13R-II, la mayor parte de la que fue recuperada en la Estructura 13R-7 esta temporada fue utilitaria. Se desconoce la época a la que pertenece el material, pero se cree que podría pertenecer a la última ocupación del sitio fechada para el Clásico Terminal. Sin embargo, el análisis detallado de los materiales deberá aclarar este contexto.

Aunque aún no se sabe la función que tuvo esta estructura, su ubicación clave dentro del Grupo 13R-II, la presencia del Panel 7 (Monumento 11), junto con la arquitectura fina y depósitos descubiertos la temporada pasada, sugieren que fue utilizada por la corte real de La Corona. Su función y cronología deberá aclararse en futuras excavaciones.

CAPÍTULO VII

ANÁLISIS PRELIMINAR DE LAS VASIJAS PROVENIENTES DE LA ESTRUCTURA 13R-10, TEMPORADA 2013

Caroline A. Parris y Tomás Barrientos

Introducción

La Estructura 13R-10 ha sido objeto de investigaciones por cuatro temporadas de campo, las cuales han proporcionado distintos tipos de evidencia de actividad ritual, incluyendo la colocación de varios bloques tallados con imágenes y textos en la denominada Escalinata Jeroglífica 2, ubicada al pie de la escalinata de acceso. Otras excavaciones han recuperado numeroso material cerámico en basureros en sus alrededores, pero principalmente en su parte posterior, donde se encontró un chultún lleno con miles de tiestos cerámicos, artefactos líticos, restos óseos de animales y restos de semillas de plantas (Fridberg y Cagnato 2012). Excavaciones en la superestructura también han recuperado importante evidencia de actividades de tipo doméstico que incluyen material cerámico, lítico, malacológico y palinológico (Ponce 2013, Ponce y Nájera 2012).

En la Temporada de Campo 2013, las excavaciones de Jocelyne Ponce (Ver Capítulo V en este informe) recobraron más evidencia de actividades de tipo ritual, ahora en la forma de escondites, ofrendas y entierros, todos ubicados a lo largo del eje central de la estructura (Norte-Sur) y pertenecientes a distintas fases constructivas. De un total de dos entierros y tres ofrendas, se recuperaron 16 vasijas parciales y completas.

En este capítulo se presenta entonces un análisis preliminar de las vasijas provenientes de las ofrendas y entierros excavados en la Estructura 13R-10 durante 2013, el cual fue realizado por Caroline Parris, ceramista del proyecto. Nótese que muchos datos de las piezas todavía están incompletos ya que ninguna vasija ha sido restaurada hasta el momento, por lo que se espera contar con un análisis final en el futuro.

CR-V33

Lote	CR16A-45-6-14
Contexto	Ofrenda asociada a basurero bajo Escalinata Jeroglífica A
Tipo/Variiedad	Águila Naranja, Variedad Indeterminada.
Fecha aproximada	Fase Tzakol/Manik (Tzakol 1-2).
Forma:	Plato con paredes ligeramente cóncavas y divergentes; borde directo; labio cuadrado, base plana.

Dimensiones

<i>Diámetro del borde fuera:</i>	19 cm
<i>% de Circunferencia:</i>	100
<i>Diámetro de la base:</i>	11 cm
<i>Grosor del borde:</i>	5.7 mm
<i>Grosor de la pared:</i>	4.3 mm
<i>Grosor de la base</i>	4.3 mm
<i>Altura de la vasija:</i>	6.2 cm

Acabado de Superficie: Engobe exterior e interior y baño negro exterior e interior, conservado en forma de manchas sobre el engobe naranja (no está en la base exterior) (Figura 7.1).

Nivel de Erosión (1-5)¹: 2

Acabado de Superficie interno

<i>Color de engobe:</i>	Naranja (Munsell: Rojo 2.5YR 5/8).
<i>Tratamiento de superficie:</i>	Alisado.
<i>Comentarios:</i>	La articulación de la pared y la base en el interior está marcada por una banda circunferencial casi incisa.

Acabado de Superficie exterior

<i>Color de engobe:</i>	Naranja (Munsell: Rojo 2.5YR 5/8).
<i>Color de la pasta sin engobe:</i>	Naranja (Munsell: Amarillo Rojizo 7.5YR 6/6).
<i>Tratamiento de superficie:</i>	Alisado.
<i>Comentarios:</i>	Base exterior sin engobe.

¹ La erosión de la superficie, o deterioro, es medida en una escala de 1 a 5 (de la menor a la mayor cantidad de erosión). 1 = <5% de la superficie está erosionada, 2 = 5-20%, 3 = 20-40%, 4 = 40-80%, 5 = >80%.



Figura 7.1 Fragmento de vasija CR-V33 (Foto por J. Ponce)



Figura 7.2 Fragmentos de vasija CR-V34 (Foto por J. Ponce)

CR-V34

Lote	CR16A-45-6
Contexto	Ofrenda asociada a basurero bajo Escalinata Jeroglífica A
Tipo/Variiedad	Águila Naranja, Variedad Indeterminada.
Fecha aproximada	Fase Tzakol/Manik (Tzakol 1-2).
Forma:	Plato con paredes ligeramente cóncavas y divergentes; borde directo; labio cuadrado, base plana.

Dimensiones

<i>Diámetro del borde fuera:</i>	18.5 cm
<i>% de Circunferencia:</i>	100
<i>Diámetro de la base:</i>	10 cm
<i>Grosor del borde:</i>	5.2 mm
<i>Grosor de la pared:</i>	3.4 mm
<i>Grosor de la base</i>	4.7 mm
<i>Altura de la vasija:</i>	5.50 cm

Acabado de Superficie: Engobe exterior e interior. Posiblemente un área de baño negro sobre el engobe, pero no se conservó lo suficiente (Figura 7.2).

Nivel de Erosión (1-5): 2

Acabado de Superficie interno

<i>Color de engobe:</i>	Naranja (Munsell: Rojo 2.5YR 5/8).
<i>Tratamiento de Superficie:</i>	Alisado.
<i>Comentarios:</i>	La articulación de la pared y la base en el interior está marcada por una banda circunferencial casi incisa.

Acabado de Superficie exterior

<i>Color de engobe:</i>	Naranja (Munsell: Rojo 2.5YR 5/8).
<i>Color de la pasta sin engobe:</i>	Naranja (Munsell: Amarillo Rojizo 7.5YR 6/6).
<i>Tratamiento de superficie:</i>	Alisado.
<i>Comentarios:</i>	Base exterior sin engobe.

CR-V35

Lote	CR16C-24A-13-35
Contexto	Entierro 11.
Tipo/Variiedad	Ixcario Naranja Polícromo, Variedad Indeterminada.
Fecha aproximada	Protoclásico/Tzakol 1.
Forma:	Plato con paredes divergentes; borde directo; labio redondeado, base ligeramente redondeada; cuatro soportes vacíos con corte transversal redondeado. Los soportes fueron cortados aprox. a 15 mm de la base, dificultando la identificación de su forma (mamiforme, cónico, esférico u ovoide).

Dimensiones

<i>Diámetro del borde fuera:</i>	29 cm
----------------------------------	-------

<i>% de Circunferencia:</i>	83
<i>Diámetro de la base:</i>	19 cm
<i>Grosor del borde:</i>	6.5 mm
<i>Grosor de la pared:</i>	6.9 mm
<i>Grosor de la base:</i>	6.9 mm
<i>Soportes:</i>	5.6 cm de ancho, 2.2 cm de alto, 6.3 cm de grosor y 8.1 mm de grosor de pared.
<i>Altura de la vasija:</i>	desconocida, ya que los soportes fueron cortados en tiempos prehispánicos (Figura 7.3).
Acabado de Superficie:	Engobe exterior e interior; pintura en el interior y porción superior del exterior; base exterior sin engobe.
<i>Nivel de Erosión (1-5):</i>	2
Acabado de Superficie interno	
<i>Color de engobe:</i>	Naranja (Munsell: Rojo 2.5YR 5/8).
<i>Color de la pasta sin engobe:</i>	Naranja (Munsell: Amarillo Rojizo 5YR 6/6).
<i>Tratamiento de superficie:</i>	Alisado.
<i>Decoración de superficie:</i>	Pintado: Rojo con hematita (Munsell: Rojo 5R 4/6) y Negro.
<i>Pintura interior:</i>	Banda roja en el labio con banda negra inmediatamente debajo; área de engobe naranja; banda negra en el borde con motivos de “U” colgantes, aproximadamente de un décimo de diámetro; banda negra en coyuntura de pared y base; base con banda de 37.5 mm de ancho atravesando el diámetro de la base del plato (Figura 7.4).
Acabado de Superficie exterior	
<i>Color de engobe:</i>	Naranja (Munsell: Rojo 2.5YR 5/9).
<i>Color de la pasta sin engobe:</i>	Naranja (Munsell: Amarillo Rojizo 5YR 6/6).
<i>Tratamiento de superficie:</i>	Alisado.
<i>Decoración de superficie:</i>	Pintado: negro.
<i>Pintura exterior:</i>	Banda negra en el labio.



Figura 7.3 Vasija CR-V35 *in situ*, Entierro 11 (CR16C-24a-13-35) (Foto por J. Ponce)



Figura 7.4 Fragmentos de la vasija CR-V35 asociada al Entierro 11 (Foto por J. Ponce)

CR-V36

Lote	CR16C-24B-11-17
Contexto	Entierro 9
Tipo/Variiedad	Indeterminado.
Forma:	Plato de paredes divergentes; borde directo; labio redondeado; base ligeramente redondeada (Figura 7.5). Agujero de "matado" en la base probablemente fue perforado del interior hacia el exterior o al contrario. Varios tiestos de la base muestran orillas redondeadas/casi desgastadas alrededor del agujero.

Dimensiones

<i>Diámetro del borde fuera:</i>	22 cm
<i>% de Circunferencia:</i>	100
<i>Diámetro de la base:</i>	14 cm
<i>Grosor del borde:</i>	9.1 mm
<i>Grosor de la pared:</i>	9.1 mm
<i>Grosor de la base</i>	5 mm
<i>Altura de la vasija:</i>	4.6 cm

Acabado de Superficie: Con engobe y pintura interior, engobe base interior.

Nivel de Erosión (1-5): 3

Acabado de Superficie interno

<i>Color de engobe:</i>	Naranja (Munsell: Amarillo Rojizo 5YR 6/8).
<i>Color de la pasta sin engobe:</i>	Naranja (Munsell: Amarillo Rojizo 5YR 6/6).
<i>Color de engobe base:</i>	Crema.
<i>Tratamiento de superficie:</i>	Alisado.
<i>Decoración de superficie:</i>	Pintado: Rojo (Munsell Rojo 10R 4/8).
<i>Comentarios:</i>	Banda roja en el labio (18 mm de grosor).

Acabado de Superficie exterior

<i>Color de la pasta sin engobe:</i>	Naranja (Munsell: Amarillo Rojizo 5YR 6/8).
<i>Tratamiento de superficie:</i>	Alisado.



Figura 7.5 Fragmentos de vasija CR-V36 del Entierro 9 (Foto por J. Ponce)

CR-V37

Lote	CR16C-24B-11-30
Contexto	Ofrenda 3
Tipo/Variiedad	Saxché-Palmar Naranja Polícromo, Variedad indeterminada.
Fecha aproximada:	Tepeu 1/2.
Forma:	Plato de paredes divergentes; borde engrosado hacia el exterior; labio afinado hacia el interior; ángulo basal; base plana. Ángulo basal muy gentil- no tan exagerado; bajo la pared del ángulo basal parece haber una base ligeramente redondeada, en la cual en el centro hay una sección aplanada. La vasija se encuentra casi completa con excepción de una sección de una pared y sección asociada a la base (Figura 7.6).

Dimensiones

<i>Diámetro del borde fuera:</i>	27 cm
<i>% de Circunferencia:</i>	89.5
<i>Diámetro de la base:</i>	8 cm
<i>Grosor del borde:</i>	7.5 mm
<i>Grosor de la pared:</i>	5.6 mm
<i>Grosor de la base</i>	3.2 mm
<i>Comentarios:</i>	Pared debajo de ángulo basal: 5.4 mm, el diámetro en el ángulo basal es de aproximadamente 19 cm, el diámetro de la base aplanada es de 8 cm.

Acabado de Superficie: Engobe naranja con engobe base crema, engobe y pintura interior.

Nivel de Erosión (1-5): 2

Acabado de Superficie interno

<i>Color de engobe:</i>	Naranja (Munsell: Amarillo Rojizo 7.5YR 6/8).
<i>Color de la pasta sin engobe:</i>	Naranja (Munsell: Amarillo Rojizo 5 YR 6/6).
<i>Tratamiento de superficie:</i>	Alisado.
<i>Decoración de superficie:</i>	Pintado: Rojo (Munsell: Rojo 10 R 4/8) y Negro.
<i>Comentarios:</i>	Bandas pintadas en orden del borde a la base:

1. banda roja en el labio
2. banda negra gruesa
3. banda mediana de engobe naranja
4. banda delgada negra
5. banda mediana de engobe naranja
6. banda negra gruesa
7. banda mediana de engobe naranja
8. banda delgada negra
9. banda mediana de engobe naranja
10. banda delgada negra alrededor de la circunferencia de la base
11. banda delgada de engobe naranja
12. banda delgada negra.

La base tiene engobe naranja con una imagen pintada en rojo en el centro.

Acabado de Superficie exterior

Color de la pasta sin engobe: Naranja (Munsell: Rojo Claro 2.5YR 6/8).

Tratamiento de superficie: Alisado.



Figura 7.6 Fragmento de Vasija CR-V37, Ofrenda 3 (Foto por J. Ponce)



Figura 7.7 Fragmentos de Vasija CR-V38, Ofrenda 3 (Foto por J. Ponce)

CR-V38

Lote	CR16C-24B-11-30
Contexto	Ofrenda 3
Tipo/Variiedad	Saxché-Palmar Naranja Polícromo, Variedad indeterminada.
Fecha aproximada:	Tepeu 1/2.
Forma:	Cuenco con paredes divergentes y cóncavas; borde directo; labio redondeado. Solamente hay cuatro tiestos: 3 bordes y 1 pared.
Dimensiones	
<i>Diámetro del borde fuera:</i>	19cm
<i>% de Circunferencia:</i>	31.5
<i>Grosor del borde:</i>	5.3 mm
<i>Grosor de la pared:</i>	4.1 mm
Acabado de Superficie:	Con engobe en el interior y exterior; pintura en el exterior y engobe base crema.
<i>Nivel de Erosión (1-5):</i>	3
Acabado de Superficie interno	
<i>Color de engobe:</i>	Negro.
<i>Tratamiento de Superficie:</i>	Alisado.
Acabado de Superficie exterior	
<i>Color de engobe:</i>	Naranja (Munsell: Amarillo Rojizo 7.5YR 7/6).
<i>Color de pintura:</i>	Rojo (Munsell: Rojo 10 R 5/8), Negro y Naranja (Munsell: Amarillo Rojizo 5YR 5/8).
<i>Tratamiento de superficie:</i>	Alisado.
<i>Decoración de superficie:</i>	Pintado.
<i>Comentarios:</i>	Bandas pintadas en orden del borde a la base (Figura 7.7):
	<ol style="list-style-type: none">1. Labio con banda roja2. Banda negra delgada3. Banda delgada de engobe naranja4. Banda delgada negra5. Banda gruesa con línea zigzag negra, creando diseño de triángulos. Los triángulos inferiores están pintados de rojo y los superiores son de engobe naranja6. Banda más grande con zonas delineadas en cuadrados/rectángulos que asemejan diseño de banda celestial. Las zonas y diseños están delineados por líneas negras y los espacios están coloreados con engobe naranja y pintura roja.

CR-V39

Lote	CR16C-24B-11-30
Contexto	Ofrenda 3
Tipo/Variiedad	Desquite Rojo sobre Naranja, Variedad indeterminada.
Fecha aproximada:	Tepeu 1/2.
Forma:	Cilindro con paredes ligeramente divergentes; borde directo; labio redondeado y base plana. Base completa pero casi sólo un 45% de las paredes está presente.

Dimensiones

<i>Diámetro del borde fuera:</i>	10 cm
<i>% de Circunferencia:</i>	64
<i>Diámetro de la base:</i>	8.5 cm
<i>Grosor del borde:</i>	4.4 mm
<i>Grosor de la pared:</i>	4.2 mm
<i>Grosor de la base</i>	4.5 mm
<i>Altura de la vasija:</i>	11.1 cm

Acabado de Superficie: Engobe interno y externo, pintura en el exterior.

Nivel de erosión (1-5): 3

Acabado de Superficie interno

Color de engobe: Negro.

Tratamiento de superficie: Alisado.

Acabado de Superficie exterior

Color de engobe: Naranja (Munsell: Amarillo 5YR 5/9).

Decoración de superficie: Pintura Roja (Munsell: Rojo 10 R 5/8).

Tratamiento de superficie: Alisado.

Comentarios: Engobe exterior naranja sólido con 5 pares de franjas rojas verticales (bandas de 10.5 mm de ancho separadas por 3.3 mm de engobe naranja) separadas por aprox. un 12% de la circunferencia (Figura 7.8).



Figura 7.8 Fragmentos de Vasija CR-V39, Ofrenda 3 (Foto por J. Ponce)

CR-V40

Lote	CR16C-23-6-9
Contexto	Ofrenda 1, Cuarto 1
Tipo/Variiedad	Saxché-Palmar Naranja Polícromo, Variedad Resistente.
Fecha aproximada:	Tepeu 1/2.
Forma:	Cuenco con lados redondeados; borde directo; labio redondeado; base de disco impreso.

Dimensiones

<i>Diámetro del borde fuera:</i>	10 cm
<i>% de Circunferencia:</i>	100
<i>Diámetro de la base:</i>	2.4 cm
<i>Grosor del borde:</i>	2.8 mm
<i>Grosor de la pared:</i>	4.6 mm
<i>Grosor de la base</i>	6.7 mm (justo fuera de la base impresa es 4.3 mm)
<i>Altura de la vasija:</i>	4.35 cm

Acabado de Superficie:	Engobe interno y externo; engobe base crema en interior y exterior; pintura en el interior y exterior.
<i>Nivel de erosión (1-5):</i>	3

Acabado de Superficie interno

<i>Color de engobe:</i>	Naranja (Munsell: Amarillo Rojizo 5YR 6/8).
<i>Color de la pasta sin engobe:</i>	Naranja (Munsell: Amarillo Rojizo 5YR 6/6).
<i>Tratamiento de superficie:</i>	Alisado.
<i>Decoración de superficie:</i>	Pintado: Rojo (Munsell: Rojo 10 R 4/6) y Negro.
<i>Comentarios:</i>	Engobe sólido naranja en el interior con bandas en el borde; labio delgado negro; engobe naranja delgado; banda gruesa roja; engobe naranja delgado; banda mediana negra.

Acabado de Superficie exterior

<i>Color de engobe:</i>	Naranja (Munsell: Amarillo Rojizo 7.5YR 7/8).
<i>Color de la pasta sin engobe:</i>	Café claro (Munsell: Café muy claro 10YR 7/4).
<i>Color de engobe base:</i>	Crema (Munsell: Café muy claro 10YR 8/3).
<i>Decoración de superficie:</i>	Pintura Roja (Munsell: Rojo 10 R 4/8) y negro Técnica Reserva-resiste.
<i>Tratamiento de superficie:</i>	Alisado.
<i>Comentarios:</i>	Banda negra en el labio, banda de engobe naranja, banda roja delgada parcial, porción principal de la pared es engobe de base crema reserva-resistente con pseudoglifos delineados en negro y rellenados con engobe naranja (Figura 7.9).

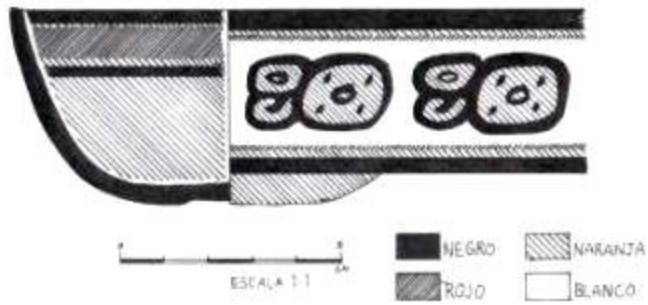


Figura 7.9 Fragmentos de Vasija CR-V40, Ofrenda 1 (Fotos por J. Ponce y dibujo por C. Sansregret)

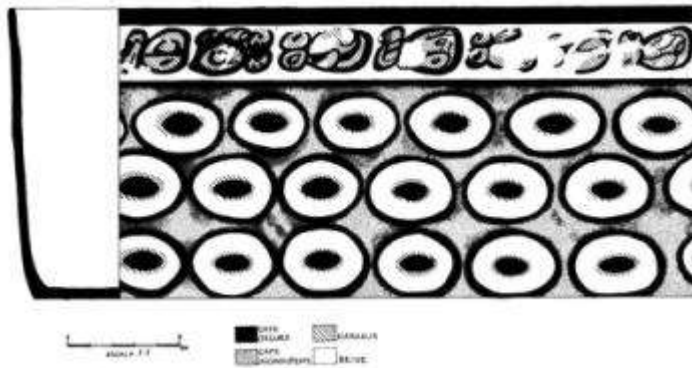


Figura 7.10 Vasija CR-V41, Ofrenda 1 (Foto por J. Ponce y dibujo por C. Sansregret)

CR-V41

Lote	CR16C-23-6-9
Contexto	Ofrenda 1, Cuarto 1
Tipo/Variiedad	Zacatal Crema Polícromo, Variedad no especificada.
Fecha aproximada:	Tepeu 1/2.
Forma:	Cilindro con paredes ligeramente divergentes; borde directo; labio redondeado; base plana.

Dimensiones

<i>Diámetro del borde fuera:</i>	10 cm
<i>% de Circunferencia:</i>	100
<i>Diámetro de la base:</i>	8 cm
<i>Grosor del borde:</i>	3.3 mm
<i>Grosor de la pared:</i>	3.1 mm

Acabado de Superficie: Engobe interno y externo; pintura en el exterior; engobe base color crema en el exterior. La base exterior parece haber tenido engobe naranja y luego se erosionó, probablemente por uso. El exterior de la vasija está erosionado y parece deberse a la baja calidad del engobe base crema que no parece que se adhirió bien a engobes o pinturas aplicadas sobre el mismo.

Nivel de Erosión (1-5): 3

Acabado de Superficie interno

Color de engobe: Café (Munsell: Gris Oscuro 7.5 YR 4/1).

Tratamiento de Superficie: Alisado.

Acabado de Superficie exterior

Color de engobe 1: Café (Munsell: Café Fuerte 7.5YR 4/6).

Color de engobe 2: Naranja (Munsell: Amarillo Rojizo 5YR 6/8).

Color de la pasta sin engobe: Café claro (Munsell: Amarillo Rojizo 5 YR 6/6).

Color de engobe base: Crema.

Decoración de superficie: Pintura Café (Munsell: Café Oscuro 7.5 YR 3/4)
Técnica Reserva-resiste.

Tratamiento de superficie: Alisado.

Comentarios: El engobe 1 del exterior está localizado en el cuerpo principal de la vasija y probablemente consiste del engobe naranja oscurecido con una capa delgada de pintura café. La mayoría de la vasija tiene el engobe café de las paredes interrumpido por círculos delineados con pintura negra y rellenos con engobe de base crema reserva-resistente (Figura 7.10).

CR-V42

Lote	CR16C-23-6-9
Contexto	Ofrenda 1, Cuarto 1
Tipo/Variiedad	Saxché-Palmar Naranja Polícromo, Variedad Huisquil.
Comparaciones	Dos vasijas comparativas de El Perú, Palmar Naranja Policromo: Variedad Huisquil del Entierro 39 AR#115 y AR#053, fechadas para finales del siglo VI, principios a mediados del siglo VII Tepeu 1 (Rich 2011: 284).
Fecha aproximada:	600-650 d.C. Tepeu 1.
Forma:	Plato de paredes divergentes; borde horizontal evertido; labio afinado hacia el exterior; ángulo basal; base anular. El ángulo basal es ligero pero notable, la pared diverge hacia la parte superior y la base desciende hacia la base en la parte inferior.
Dimensiones	
<i>Diámetro del borde fuera:</i>	28 cm
<i>% de Circunferencia:</i>	100
<i>Diámetro de la base:</i>	10.7 cm
<i>Grosor del borde:</i>	6.3 mm
<i>Grosor de la pared:</i>	5.6 mm (arriba del ángulo basal)
<i>Grosor de la pared:</i>	6.4 mm (entre el ángulo basal y la base anular)
<i>Grosor de la base</i>	6.3 mm (la parte dentro de la base anular)
<i>Base anular:</i>	15.1 mm de ancho y 4.4 mm de alto.
Acabado de Superficie:	Engobe interno y externo; engobe base crema en el interior y exterior; pintura en el interior.
<i>Nivel de Erosión (1-5):</i>	3 (La superficie de la vasija está diferencialmente erosionada; las áreas de engobe de base, color crema, con reserva-resistente son las más erosionadas o "afectadas"; cierta erosión en el centro del plato posiblemente por uso; agujero de "matado" barrenado bicónicamente está presente en el centro de la base).
Acabado de Superficie interno	
<i>Color de engobe:</i>	Naranja (Munsell: Amarillo Rojizo 5YR 6/8).
<i>Color de engobe base:</i>	Crema (Munsell: Rosado 7.5 YR 8/4).
<i>Tratamiento de superficie:</i>	Alisado.
<i>Decoración de superficie:</i>	Pintado: Rojo (Munsell Rojo 10 R 4/6) y Negro Técnica Reserva-resiste.
<i>Comentarios:</i>	Banda roja en el labio, banda delgada de engobe naranja y banda negra delgada pintada. La pared posee banda amplia de glifos delineados en negro sobre engobe naranja brillante y el área alrededor de los glifos tiene engobe base crema en reserva. Debajo de los glifos hay una banda rellena de engobe naranja y pintura roja en forma de "V" de lado. La base del plato tiene engobe naranja con una figura en el centro

delineada por pintura negra con áreas de pintura roja (Figura 7.11).

Acabado de Superficie exterior

Color de engobe:

Naranja (Munsell: Amarillo Rojizo 5YR 6/8).

Color de la pasta sin engobe: Café claro (Munsell: Café claro 7.5 YR 6/4).

Tratamiento de superficie: Alisado.

Comentarios:

Con engobe hasta la base anular, más grueso en paredes superiores y más delgado al aproximarse a la base.



Figura 7.11 Foto y dibujo de Vasija CR-V42, Ofrenda 1 (Foto por J. Ponce. Dibujo por C. Sansregret)

Lote	CR16C-23-8-13
Contexto	Ofrenda 2
Tipo/Variiedad	Tinaja Rojo, Variedad Tinaja.
Comentarios	Consistente con cántaros Tinaja Rojo de otros contextos de La Corona (Clásico Tardío).
Fecha aproximada:	Clásico Tardío (Tepeu 1-3).
Forma:	Cántaro (vasija parcial, 12 tiestos que forman parte del cuerpo).
Dimensiones	
<i>Grosor de la pared:</i>	5 mm
Acabado de Superficie:	Engobe exterior. Al tratar de unir los tiestos, están diferencialmente erosionados; todos los tiestos juntos hacen una forma rectangular irregular con aproximadamente 1/3 del área de la superficie erosionada y unos 2/3 con engobe rojo; el interior está quemado diferencialmente o con nubes de quema (Figura 7.12).
<i>Nivel de Erosión (1-5):</i>	3
Acabado de Superficie interno	
<i>Color de la pasta sin engobe:</i>	Naranja (Munsell: Amarillo Rojizo 5YR 6/8).
<i>Tratamiento de Superficie:</i>	Alisado.
Acabado de Superficie exterior	
<i>Color de engobe:</i>	Rojo (Munsell: Rojo 2.5YR 4/6).
<i>Color de la pasta sin engobe:</i>	Naranja (Munsell: Amarillo Rojizo 5 YR 6/6).
<i>Tratamiento de superficie:</i>	Alisado.

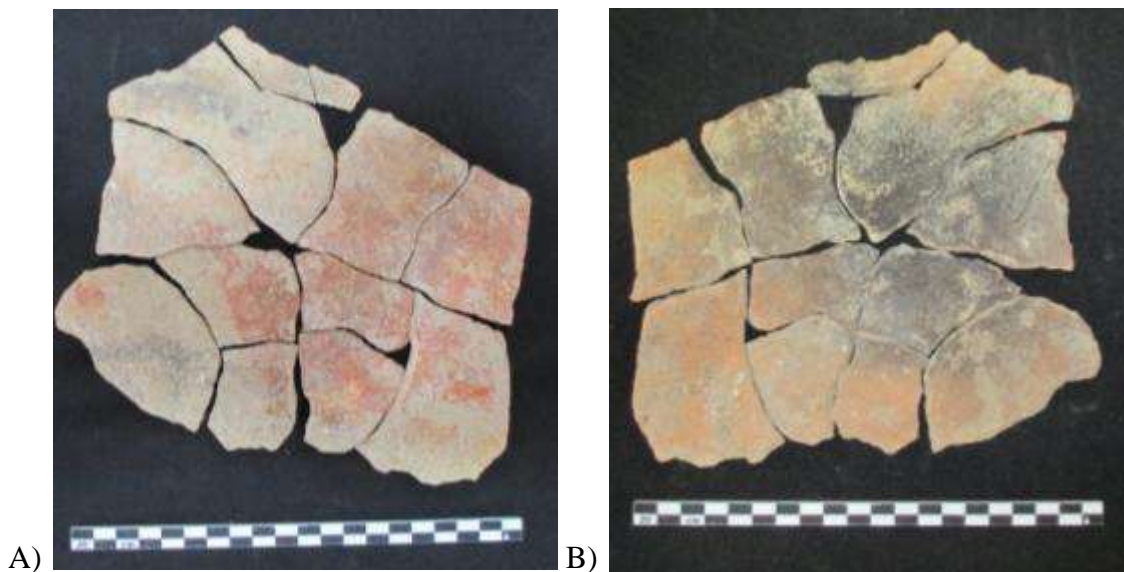


Figura 7.12 Fragmentos de vasija Tinaja recuperados en la Ofrenda 2. A) Exterior y B) Interior (Fotos por C. Parris)

CR-V43

Lote	CR16C-23-8-13
Contexto	Ofrenda 2
Tipo/Variiedad	Saxché-Palmar, tipo y variedad indeterminados.
Fecha aproximada:	Tepeu 2.
Forma:	Cuenco con paredes divergentes; borde directo; labio redondeado; ángulo basal; base plana. El ángulo basal no es tan dramático como la imagen en Smith Fig. 42a 14, 15 (1955); la pared bajo el ángulo desciende hacia la base aplanada. Cinco tios del cuerpo y falta solo un fragmento de la base.

Dimensiones

<i>Diámetro del borde fuera:</i>	15 cm
<i>% de Circunferencia:</i>	100
<i>Diámetro de la base:</i>	11 cm
<i>Grosor del borde:</i>	5.1 mm
<i>Grosor de la pared:</i>	4.6 mm
<i>Grosor de la base</i>	4.2 mm
<i>Altura de la vasija:</i>	5.20 cm

Acabado de Superficie: Engobe y pintura en el interior.

Nivel de Erosión (1-5): 4

Acabado de Superficie interno

<i>Color de engobe:</i>	Naranja (Munsell: Amarillo Rojizo 5 YR 6/8).
<i>Color de la pasta sin engobe:</i>	Naranja (Munsell: Amarillo Rojizo 5 YR 6/6).
<i>Tratamiento de superficie:</i>	Alisado.
<i>Decoración de superficie:</i>	Pintado: Rojo (Munsell: Rojo Oscuro 10 R 3/6).
<i>Comentarios:</i>	Banda roja en el borde, de 9.8 mm de grosor (Figura 7.13).

Acabado de Superficie exterior

<i>Color de engobe:</i>	Erosionado.
<i>Color de la pasta sin engobe:</i>	Rojo/Naranja (Munsell: Amarillo Rojizo 5 YR 6/6).
<i>Decoración de superficie:</i>	Erosionado.
<i>Tratamiento de superficie:</i>	Alisado.
<i>Comentarios:</i>	El tratamiento de superficie exterior está completamente erosionado, pero la superficie altamente alisada, lo que sugiere que pudo haber tenido engobe y posiblemente pintura, lo que sería consistente con esta forma.



Figura 7.13 Fragmento de Vasija CR-V43, Ofrenda 2 (Foto por J. Ponce)



Figura 7.14 Fragmentos de Vasija CR-V44, Ofrenda 2 (Foto por J. Ponce)

CR-V44

Lote	CR16C-23-8-13
Contexto	Ofrenda 2
Tipo/Variedad	Zacatal Crema, Variedad indeterminada.
Fecha aproximada:	“Clásico muy Tardío”, probablemente Tepeu 2.

Forma: Cilindro con paredes verticales; borde directo; labio cuadrado; base plana (14 tiestos).

Dimensiones

Diámetro del borde fuera: 10 cm
% de Circunferencia: 100
Diámetro de la base: 9.5 cm
Grosor del borde: 4.6 mm
Grosor de la pared: 4.4 mm
Grosor de la base: 3.7 mm
Altura de la vasija: 11.8 cm

Acabado de Superficie: Engobe externo, pintura en el interior y exterior. Sólo pocos restos de engobe naranja en el interior.

Nivel de Erosión (1-5): 2

Acabado de Superficie interno

Color de engobe: Naranja (Munsell: Rojo Claro 2.5 YR 6/8).
Color de la pasta sin engobe: Naranja (Munsell: Amarillo Rojizo 5 YR 6/6).
Tratamiento de superficie: Alisado.
Decoración de superficie: Pintado: Naranja/Rojo (Munsell: Rojo Claro 2.5 YR 6/8) y Negro.

Comentarios: Banda naranja/roja justo en el interior del labio pero no se extiende hacia el exterior y parece finalizar justo sobre el lado interior del labio superior. Ocho diseños de “U” negros cuelgan del labio; no hay banda que las conecte, además de la banda naranja del labio. Líneas negras gruesas pero la pintura no fue aplicada densamente (Figura 7.14).

Acabado de Superficie exterior

Color de engobe: Crema (Munsell: Amarillo Rojizo 7.5YR 7/6).
Decoración de superficie: Pintura Negra y Azul.
Tratamiento de superficie: Alisado.
Comentarios: Banda azul en el labio/borde de 10.7 mm de grosor, con línea negra delineando la parte inferior de la banda; tres líneas delgadas están distribuidas equitativamente alrededor de la vasija y se extienden desde la banda del borde negro diagonalmente a la izquierda de la base; dentro de cada zona trapezoidal hay 4 triángulos equiláteros (Figura 7.14).

CR-V45

Lote CR16C-23-8-13
Contexto Ofrenda 2
Tipo/Variiedad Indeterminado.

**Comparaciones y
Comentarios**

Esta vasija no es consistente con descripciones de Balanza Negro o Infierno Negro, la forma es común en Tepeu. Sabloff (1975) indica que el engobe de Infierno Negro en Seibal a veces se degrada a café rojizo que es consistente con este ejemplo.

Fecha aproximada:

Tepeu.

Forma:

Cilindro con paredes ligeramente divergentes; borde directo; labio redondeado; base plana.

Dimensiones

<i>Diámetro del borde fuera:</i>	11 cm
<i>% de Circunferencia:</i>	100
<i>Diámetro de la base:</i>	10 cm
<i>Grosor del borde:</i>	3.7 mm
<i>Grosor de la pared:</i>	5.1 mm
<i>Grosor de la base</i>	2.1 mm
<i>Altura de la vasija:</i>	11.1 cm

Acabado de Superficie:

Engobe externo e interno. El engobe interior está mejor conservado sólo dentro del borde y un poco en la base.

Nivel de Erosión (1-5): 2

Acabado de Superficie interno

Color de engobe: Café Negro (Munsell: Gris Muy Oscuro 10 YR 3/1).

Color de engobe base: Café (Munsell: Café 7.5 YR 4/2).

Tratamiento de superficie: Alisado.

Acabado de Superficie exterior

Color de engobe: Café Negro (Munsell: Negro 5YR 2.5/1).

Tratamiento de superficie: Alisado.

Comentarios: Áreas con engobe cerca del labio tienen un tinte rojizo más claro (Munsell: Rojo 2.5YR 4/6) (Figura 7.15).



Figura 7.15 Fragmentos de Vasija CR-V45, Ofrenda 2 (Fotos por J. Ponce)

CR-V46

Lote	CR16C-23-8-13
Contexto	Ofrenda 2
Tipo/Variiedad	Indeterminado.
Fecha aproximada:	Tepeu (probablemente Tepeu 2).
Forma:	Cilindro con paredes ligeramente divergentes; borde directo; labio redondeado; base plana.

Dimensiones

<i>Diámetro del borde fuera:</i>	13 cm
<i>% de Circunferencia:</i>	100
<i>Diámetro de la base:</i>	10 cm
<i>Grosor del borde:</i>	4.8 mm
<i>Grosor de la pared:</i>	4.9 mm
<i>Grosor de la base</i>	4.0 mm
<i>Altura de la vasija:</i>	12.5 cm

Acabado de Superficie: Engobe, engobe base crema y pintura en el exterior.

Nivel de Erosión (1-5): 2

Acabado de Superficie interno

Color de la pasta sin engobe: Beige (Munsell: Amarillo Rojizo 5 YR 7/6).

Tratamiento de superficie: Alisado.

Acabado de Superficie exterior

Color de engobe: Naranja (Munsell: Amarillo Rojizo 5YR 6/8).

Decoración de superficie: Pintura Café (Munsell: Café Rojizo 5 YR 4/4).

Tratamiento de superficie: Alisado.

Comentarios: Banda café en el labio y en el borde (5.2 mm); vetas cafés verticales (Figura 7.16).



Figura 7.16 Vasija CR-V46, Ofrenda 2 (Foto por J. Ponce)

CR-V47

Lote	CR16C-23-8-13
Contexto	Ofrenda 2
Tipo/Variiedad	Saxché-Palmar Naranja Polícromo, Variedad indeterminada.
Fecha aproximada:	Tepeu (probablemente Tepeu 2).
Forma:	Plato con paredes divergentes; borde horizontal evertido; labio redondeado; base plana. El ángulo basal no es muy dramático, la pared bajo el ángulo descende hacia la base aplanada.

Dimensiones

<i>Diámetro del borde fuera:</i>	25 cm
<i>% de Circunferencia:</i>	100
<i>Diámetro de la base:</i>	18 cm
<i>Grosor del borde:</i>	7.3 mm
<i>Grosor de la pared:</i>	7.1 mm
<i>Grosor de la base</i>	6.4 mm
<i>Altura de la vasija:</i>	4.5 cm

Acabado de Superficie:	Engobe y pintura en el interior. Con agujero de “matado” al centro de la base; ambos lados de la base mostraron áreas de la superficie que fueron removidas durante el proceso de perforación, por lo que el agujero no fue barrenado cuidadosamente.
-------------------------------	---

Nivel de Erosión (1-5): 2

Acabado de Superficie interno

<i>Color de engobe:</i>	Naranja (Munsell: Amarillo Rojizo 5 YR 6/8).
<i>Tratamiento de superficie:</i>	Alisado.
<i>Decoración de superficie:</i>	Pintado: Rojo (Munsell: Rojo Claro 10 R 4/6) y Negro.

Comentarios: Engobe naranja en el interior, pintura roja en el labio evertido; debajo hay una banda negra de grosor medio en el borde, banda delgada de engobe naranja y banda delgada negra en el borde, de donde cuelgan signos en forma de “U” delineados en negro y rellenos de rojo, así como 5 símbolos de agua de color negro, hechos con tres barras cada uno (Figura 7.17).

Acabado de Superficie exterior

<i>Color de la pasta sin engobe:</i>	Café claro (Munsell Café amarillento claro 10 YR 6/4).
<i>Tratamiento de superficie:</i>	Alisado.

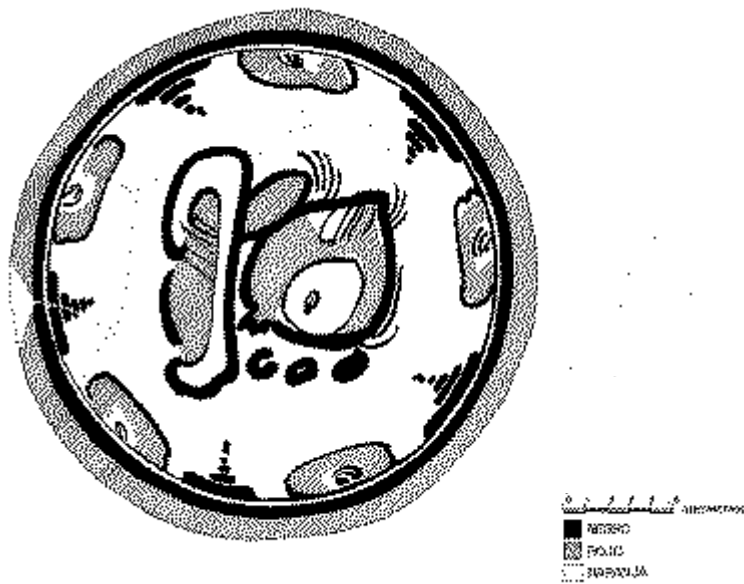


Figura 7.17 Vasija CR-V47, Ofrenda 2 (Foto por J. Ponce y dibujo por C. Sansregret)

CAPÍTULO VIII

RESULTADOS DE ANÁLISIS PALEOBOTÁNICO DE MUESTRAS MACROBOTÁNICAS

Clarissa Cagnato

Introducción

En 2012 se exportaron 18 muestras de flotación y 10 muestras de granos de almidón de 14 contextos distintos provenientes de operaciones de excavación del Proyecto Regional Arqueológico La Corona. Además, una muestra se envió para análisis de radiocarbono. Este capítulo presenta los métodos utilizados para recuperar los restos de plantas, así como los resultados preliminares obtenidos de los análisis realizados en la Universidad Washington de St. Louis. Con excepción de las muestras macrobotánicas exportadas, todas las muestras de flotación se encuentran en el laboratorio del proyecto en la ciudad de Guatemala.

Los resultados y conclusiones todavía son preliminares ya que se necesita recolectar y analizar más datos, por lo que pueden cambiar en el futuro. Sin embargo, los resultados obtenidos hasta la fecha proveen una base para entender el posible uso de las plantas y la dieta de los antiguos habitantes de La Corona durante el período Clásico. Para ello se han seleccionado los restos de plantas más relevantes, y el resto de datos se presentará a manera de tablas en el informe final.

Recuperación de Restos Macrobotánicos

El método de flotación consiste en separar el suelo de los restos botánicos, y se llevó a cabo en el sitio arqueológico y en el laboratorio. Se usaron dos métodos, el de cubeta y el de máquina de flotación. El método de cubeta fue preferido para flotar las muestras más pequeñas, ya que usa menos agua, y también se usó cuando las muestras se consideraron frágiles. Se usó en el sitio arqueológico porque la disponibilidad de agua fue limitada. En el laboratorio solamente se usó el método con máquina (para descripción más detallada, ver Cagnato 2011 y 2012). Las 18 muestras exportadas se enumeran en la Tabla 8.1:

Tabla 8.1 Muestras macrobotánicas exportadas y analizadas

Lote	Contexto	# de bolsas
JOB02-A-1-1-1	<i>Chultun</i>	1
JOB02-A-1-3-3	<i>Chultun</i>	3
JOB02-A-1-4-4	<i>Chultun</i>	1
JOB02-A-1-5-5	<i>Chultun</i>	2
JOB02-A-1-6-6	<i>Chultun</i>	1
JOB02-A-1-7-7	<i>Chultun</i>	2
CR11-C-4-4-10	Basurero	1
CR40-C-1-3-3	Basurero	1
CR40-C-1-5-5	Basurero	1
CR48-D-1-3-3	<i>Chultun</i>	1
CR117-A-3-2-3	Basurero	1
CR117-A-2-2	Basurero	1
CR117-A-2-3	Basurero	1
CR16-A-35-2-3	Plaza/Escalinata	1

Resultados del Análisis de Restos Macrobotánicos

Por razones prácticas, los resultados se presentan de forma separada para cada contexto:

Operación CR117

Las excavaciones llevadas a cabo por Divina Perla en la parte sur de la Estructura 13R-7 en el Grupo Coronitas, permitió la recolección de muestras de tres diferentes lotes. Las muestras de la Suboperación CR117A provinieron de las unidades CR117A-3 y CR117A-2.

La muestra de la Unidad 3, Lote 3 (CR117A-3-3) se tomó de un posible basurero. Los restos encontrados incluyeron maíz, en la forma de mazorca y cúpula, así como fragmentos de

endocarpio de palma y una posible semilla de Fabaceae (familia de las fabáceas) (Figura 8.1). También se recuperaron otras semillas no identificadas.



Figura 8.1 Posible semilla de Fabaceae (Foto por C. Cagnato)

La muestra de la Unidad 3, Lote 2 (CR 117A-2-2) corresponde a un depósito de ceniza de color gris claro que estuvo rodeada por pequeñas piedras. El lote incluyó bastante madera carbonizada, junto con fragmentos de nueces y restos de almidón. El Lote CR 117A-2-3, que fue definido como basurero, también contuvo restos de almidón y algunos restos de nueces.

Operación CR11

Las excavaciones en la Estructura 13R-9 por Antonieta Cajas produjeron una muestra rica en madera carbonizada. Además de las altas cantidades de madera carbonizada, también hubo evidencia de maíz (mazorca y cúpulas), fragmentos de nueces y semillas no identificadas. Estos restos se recuperaron de un lote que contuvo grandes cantidades de ceniza, cerámica, huesos y carbón. Según la excavadora, estos restos orgánicos se usaron como relleno para las distintas fases de la estructura.

Operación CR16

Jocelyne Ponce excavó la parte sur de la Estructura 13R-10, donde se encontró la Escalinata Jeroglífica 2. En una de las unidades asociadas con la escalinata, se encontró cerámica, pedernal, figurillas y restos de plantas, que incluyeron fragmentos de mazorcas de maíz, nueces y fragmentos de semillas que todavía hay que identificar. En general, la cantidad de madera carbonizada fue relativamente baja.

Operaciones JOB02 y JOB48

Estas dos operaciones consistieron de excavaciones en los *chultunes* del sitio El Jobillo. En 2011, un *chultun* fue excavado en el grupo residencial de La Corona 14S-1, conocido como “El Caballito” (Cagnato 2012), por lo que una muestra de este *chultun* fue analizado en esta ocasión. Los restos de plantas incluyeron madera carbonizada, fragmentos de mazorca de maíz, un pedúnculo y restos de almidón. Se encontraron semillas de la especie *Oenothera* (onagra) (Figura 8.2), así como fragmentos de semillas no identificadas.



Figura 8.2 Semilla de *Oenothera* (Foto por C. Cagnato)

El *chultun* excavado en 2012 en el sitio El Jobillo (ver Cagnato 2013b), contenía cerámica y fragmentos de metate. Las muestras de suelo recolectadas en el interior del *chultun* incluyeron los siguientes restos botánicos:

El Lote JOB 2-1-1 se esperaba que tuviera bastantes restos de plantas, que seguramente fueron intrusivas al llegar desde la superficie hasta la abertura del *chultun*. Dentro de este lote hubo evidencia de grandes cantidades de madera carbonizada así como semillas de escobo (*Cryosophila* sp.).

En el Lote 3 se encontró evidencia de madera semi-carbonizada, junto a madera totalmente carbonizada. Además, se encontraron restos de almidón, un fragmento de mazorca de maíz, semillas de escobo (Figura 8.3), semillas de *Zanthoxylum* sp. (Figura 8.4) y otras especies no identificadas. Una especie distinguida de *Zanthoxylum* es *Zanthoxylum caribaeum*, conocida comúnmente como "naranjillo".



Figura 8.3 Semilla de escobo (Foto por C. Cagnato)



Figura 8.4 Semilla de *Zanthoxylum* (Foto por C. Cagnato)

Del Lote 4 se identificaron fragmentos de mazorcas de maíz y más restos de almidón, así como grandes cantidades de madera carbonizada.

En el Lote 5 también hubo grandes cantidades de madera carbonizada, restos de almidón y una semilla no identificada.

El Lote 6 casi no presentó restos de madera carbonizada, aunque sí se identificaron fragmentos de endocarpio de palma, semillas no identificadas y un posible pedúnculo, que se refiere a la ramita o rabillo que sostiene una flor.

En el lote final (7), poca madera carbonizada estaba presente, y se encontró un fragmento de mazorca de maíz, restos de almidón, así como una semilla de la especie *Psychotria* (Figura 8.5). Aunque existen muchas especies de *Psychotria* en Centro América, la especie *Psychotria pubescens*, es conocida comúnmente como guayabeño en algunas partes.



Figura 8.5 Semilla de *Psychotria* (Foto por C. Cagnato)

Operación CR40

Las excavaciones llevadas a cabo por Clarissa Cagnato en 2012 en el grupo residencial 13S-1 también permitió la recuperación de muestras de suelo (Cagnato 2013a). La Suboperación

CR40C fue la única en la que las muestras de suelo revelaron restos de plantas. Estas muestras fueron ricas en madera carbonizada, y se encontró evidencia de maíz (fragmento de mazorca), restos de almidón, fragmentos de nueces, fragmentos de endocarpio de palma y una semilla no identificada.

Discusión

Las muestras presentadas en este informe representan solamente una pequeña porción del total de muestras recolectadas en cada contexto. Aunque la cantidad de restos botánicos no es alta, sí sugiere que una variedad de plantas se consumieron y utilizaron en eventos rituales.

El maíz fue claramente visible en todos los contextos investigados, así como fragmentos con almidón. Lamentablemente no se puede decir nada más de estos restos de almidón, pero sí sugieren que otras plantas aparte del maíz se utilizaron en estos contextos rituales.

Otros contextos interesantes son los muestreados en la Estructura 13R-9, ya que fue notable la presencia de varios restos orgánicos en el relleno constructivo. Esta distribución de restos botánicos no parece ser accidental, sino pudo ser el resultado de un acto deliberado.

Las muestras provenientes de los *chultunes* excavados en 2011 y 2012 han sido relativamente pobres en restos botánicos, si se comparan con las muestras recolectadas en 2010 (Cagnato 2013c). Esto posiblemente se deba al hecho que el primer *chultun* fue sellado, por lo que la preservación de restos fue excelente. Sin embargo, estos *chultunes* no estuvieron carentes de restos de plantas. La presencia de diferentes tipos, con especies como *Psychotria* y *Oenothera* (onagra), no son comunes en reportes macrobotánicos. *Oenothera* se ha reportado en algunas investigaciones en Belice, pero su uso y significado todavía no es claro (Goldstein y Hageman 2010).

Finalmente, los restos encontrados en las excavaciones de la Estructura 13R-7 apoyan la idea que esta área se usó para depositar basura. Aunque los datos todavía no pueden definir si se trata de basura ritual o doméstica, el trabajo en las semillas no identificadas podría proveer más información al respecto.

Fechaamiento por radiocarbono

En 2013, una muestra de madera recuperada del *chultun* de El Jobillo (JOB 02) se envió al Woods Hole Oceanographic Institute para su fechaamiento. Para ello se contó con el permiso

de la Dirección General del Patrimonio Cultural y Natural para llevar a cabo el análisis destructivo. Los resultados del fechamiento todavía están pendientes.

Análisis de granos de almidón

Este tipo de análisis consiste en recuperar más evidencia del uso antiguo de las plantas. El almidón puede sobrevivir en condiciones donde los restos macrobotánicos generalmente no se conservan, especialmente en los trópicos. Varios artefactos encontrados en 10 contextos diferentes de la Temporada de Campo 2012 se lavaron para recuperar 18 muestras que se exportaron para su proceso y análisis (Tabla 8.2).

Tabla 8.2 Muestras de almidón exportadas para análisis

Lote	Contexto	# de recipientes
CR16-B-1a-2	Fragmentos de cerámica	3
CR16-C-22-2-2	Mano-fragmento	1
CR40-C-2-2-2	Cerámica-fragmento	2
CR48-C-1-6-6	Comal-fragmento	2
CR50-A-21-7	Entierro 7	2
CR117-A-2-1-1	Metate-fragmento	2
CR117-A-3-3-4	Metate-fragmento	2
JOB02-A-1-3-3	Metate-fragmento	1
JOB02-A-1-4-4	Metate-fragmento	1
JOB02-A-1-6-6	Metate-fragmento	2

Las muestras se recolectaron de piedras de moler (manos y metates) y vasijas cerámicas (tiestos) provenientes de entierros, basureros y *chultunes*. Esta parte del informe describe la metodología utilizada, con énfasis en el trabajo de laboratorio.

Metodología de laboratorio

El procedimiento de laboratorio siguió los lineamientos definidos (Pearsall *et al.* (2004) y consiste en separar los microfósiles (almidón) del líquido y sedimento contenido en el recipiente ionizado que fue recolectado del artefacto de interés. El procedimiento básico es el siguiente:

- Verter la mezcla de sedimento y agua en un beaker esterilizado
- Cubrir con una película de barrera (Parafilm) y dejar reposar por al menos 12 horas
- Cuidadosamente separar el agua, vertiéndola despacio tratando de no perturbar el sedimento del fondo del beaker. Se puede usar una pequeña bomba, si se tiene disponible.
- Colocar el sedimento en un tubo de ensayo de 50 ml.
- Añadir 10 ml de EDTA (Ácido Etilendiaminotetraacético) a cada tubo de ensayo, tapar y agitar bien.
- Colocar el tubo de ensayo en un agitador orbital por un máximo de dos horas. Centrifugar 2 minutos a una velocidad de 2500 RPM. Verter y descartar el sobrenadante. Repetir dos veces hasta que esté libre de sobrenadante para remover el EDTA.
- Agregar 10 ml de Peróxido de Hidrógeno a la muestra y dejarla reposar por 10 minutos.
- Agregar agua fría a las muestras, mezclar, tapar y centrifugar por 2 minutos a velocidad 2000 RPM. Verter y descartar el sobrenadante, y repetir el procedimiento tres veces para remover todos los restos de Peróxido de Hidrógeno.
- Ahora, que todo el resto de material orgánico superfluo ha sido destruido, se separarán los microfósiles del resto de la muestra, mediante un líquido pesado de alta densidad, llamado Sodio Politungstato (SPT)
- Agregar 5 ml de Sodio Politungstato $\text{Na}_6[\text{H}_2\text{W}_{12}\text{O}_{40}]$ a una gravedad específica de 1.7 g/ml al sedimento en un tubo de prueba de 50 ml. Centrifugar a 2000 RPM por 10 minutos. (El resultado es que el almidón es más pesado y flota en el tubo de ensayo). Verter el sobrenadante en otro tubo de ensayo (etiquetar como extracto de almidón) y repetir el Paso 1 dos veces más. Cada vez el sobrenadante se combina con el que ya está en el tubo de ensayo etiquetado.
- Llenar el tubo de ensayo de 50 ml (etiquetado como extracto de almidón) con agua destilada y centrifugar por 5 minutos a 2000 RPM. En este punto se está bajando la

gravedad específica de la solución, por lo que el almidón se hundirá al fondo del tubo de ensayo.

- Verter el sobrenadante, dejando 0.5 cm desde el fondo del tubo.
- Agregar agua destilada llenando el tubo, y centrifugar por 5 minutos a 2000RPM. Repetir una vez más.
- Transferir directamente el almidón a una placa portaobjeto de microscopio. Cubrirla con un cubre-objeto con mezcla de glicerol (50:50 agua:glicerina). Sellarla posteriormente con esmalte de uña.
- Después que las láminas han sido preparadas, éstas se observan con un microscopio de luz polarizada. Las láminas se observan de arriba hacia abajo y de izquierda a derecha. Cada grano de almidón es fotografiado, medido y descrito de acuerdo a sus características morfológicas, y si es posible, se identifica el género. Los granos se observan y fotografían a una magnificación mínima de x400, para lograr observar todos los rasgos. Cada grano es fotografiado usando luz traslúcida (luz normal), así como luz polarizada.

Resultados

La mayoría de las muestras que fueron exportadas en 2012 ya han sido procesadas, sin embargo, éstas todavía tienen que ser analizadas. Por lo tanto todavía está pendiente su fotografía e identificación taxonómica, por lo que los resultados serán más detallados en el siguiente informe.

Conclusiones

Los resultados obtenidos de las muestras exportadas indican que los restos de plantas pueden ser recuperados de varios contextos, siempre y cuando se recolecten, floten y analicen de forma apropiada. Como se ha mencionado en trabajos anteriores, a pesar que el número de restos botánicos es menor en la región Maya que en otras partes del mundo, debido a los ciclos húmedos y secos que no favorecen la conservación de restos orgánicos, la variedad de restos de plantas es útil para interpretar el pasado. Es entonces claro que aparte del maíz, los antiguos mayas consumieron un rango amplio de plantas, tanto en contextos domésticos como rituales.

Aunque se necesita más investigación, los datos preliminares apoyan la noción que la paleo-etnobotánica puede proveer datos adicionales con respecto al pasado. Aunque no se han

completado los análisis de granos de almidón, las muestras recolectadas ya indicaron la presencia de almidón, demostrando que este método es útil cuando se combina con otro tipo de datos. En general, la mejor herramienta para desarrollar nuestro entendimiento de qué plantas se consumieron y usaron en el pasado es la aplicación de análisis más sistemáticos y rigurosos que incluyen la recolección de restos de plantas, tanto en forma macro como microbotánica. Esto permitirá contar con una base más sólida en cuando al conocimiento del uso de plantas, que servirá para comparar y contrastar análisis futuros.

**RESULTADOS DE ANÁLISIS DE RESTOS MICROBOTÁNICOS
DE LA CORONA: 2009-2013**

Cristina Guirola de Newell

Introducción

La arqueobotánica es una subdisciplina de la arqueología que se dedica a investigar restos botánicos que se encuentran en contextos arqueológicos, los cuales se pueden dividir en macrobotánicos y microbotánicos. Esta investigación se centró en restos microbotánicos, específicamente muestras de polen y esporas, debido a que es un tema que no se ha abordado en la arqueología guatemalteca y vale la pena que se realicen más investigaciones de esta índole. Dado que dichos estudios son realizados en el extranjero, específicamente los procedimientos químicos y análisis de laboratorio, se evaluó la posibilidad de llevar a cabo este tipo de investigaciones en Guatemala, concentrándose en restos microbotánicos, como lo es el polen y las esporas de contextos arqueológicos.

La investigación se realizó en el sitio arqueológico La Corona, durante dos temporadas de campo, por lo que se tomaron varias muestras de tierra de varias excavaciones, ubicadas en áreas del sitio. Las muestras fueron tratadas mediante un proceso químico llamado acetólisis. En base a ello se procedió al reconocimiento de restos que se pudieron encontrar de polen y esporas. Con ello se elaboró un inventario, que sirve como punto de partida para una investigación a futuro más exhaustiva. También se realizó un análisis contextual y cronológico de donde fueron tomadas las muestras.

Los especímenes que se identificaron se agruparon por morfotipos, dependiendo de sus características morfológicas. A partir de allí, se pudieron identificar algunas plantas superiores, y algunas esporas tanto de helechos como de hongos. Al mismo tiempo, se realizó un listado de algunas plantas que se encuentran en el área. Todo esto resulta de gran importancia, ya que dicha información nos da una buena idea de las plantas que se encontraban o utilizaban en La Corona, durante su ocupación.

Es importante mencionar que la recuperación de las muestras de polen y/o esporas depende mucho del ambiente donde se encuentran. Esto fue muy importante

en la investigación, ya que se debe entender el proceso de deterioro de estos elementos microbotánicos, y cómo en ciertas ocasiones se podrán encontrar en mayor o menor cantidad, dependiendo del contexto de donde se obtengan. Si bien existen varias investigaciones arqueobotánicas, son muy pocas las que se han realizado enfocándose en restos microbotánicos, como polen y esporas.

Dentro de los objetivos de esta investigación, se puede mencionar los siguientes:

- Evaluar la factibilidad de realizar estudios arqueobotánicos, específicamente de restos microbotánicos, en investigaciones arqueológicas en Guatemala, teniendo en cuenta las limitantes que esto representa.
- Definir los factores que afectan la evidencia microbotánica en Petén, Guatemala (natural vs. cultural).
- Ubicar esta investigación como punto inicial para desarrollo de estudios arqueobotánicos dentro de Guatemala.
- Realizar un inventario de las muestras de polen y/o esporas que se encuentran en las muestras tomadas del sitio arqueológico La Corona, Petén.
- Identificar, en lo posible, las especies, géneros o familias de plantas y/o hongos que se encuentran en las muestras tomadas del sitio arqueológico La Corona.
- Establecer el uso etnobotánico que tuvieron dichas plantas para los habitantes de La Corona, dependiendo de su contexto.

Antecedentes

En el área Maya se han realizado diversos estudios de ecología cultural, desde la segunda mitad del siglo XX (Willey 1953; Willey *et al.* 1965). Esto se ha hecho con el fin de poder conocer más acerca del papel que juega el medio ambiente en las áreas que habitaron las distintas poblaciones. Desde los años 1970's se han realizado investigaciones arqueobotánicas, especialmente en Norte América, por distintos investigadores como Braidwood, Yarnell, Flannery, Watson, entre otros. Todos con el afán de reconstruir el uso que se le daba a las plantas en la antigüedad (Nicholas 1999).

En 2009 se realizaron investigaciones ambientales en el sitio de La Corona. Las investigaciones estuvieron a cargo de Peter Douglas, quien analizó lípidos (*fatty acids*) de las plantas encontradas en los sedimentos que se obtuvieron de los cibles

alrededor del sitio. Los lípidos son indicadores directos del aumento o disminución de lluvia en el área. Douglas toma en cuenta el aumento de vegetación en los alrededores de los cuerpos de agua puede absorber más cantidad de agua y esto causa un descenso en el nivel del lago (Canuto y Barrientos 2011: 29). Aplicando el análisis de lípidos en muestras de sedimentos tomadas en Yucatán, los resultados preliminares de Douglas no parecen coincidir con los obtenidos a través de la densidad de sedimentos y gasterópodos. Ambos métodos definen épocas con poco agua, pero las fechas difieren en unos dos siglos, dando a entender que la época con menor precipitación se define entre los años 1200 y 1400 d.C., y no entre 800 y 1000 d.C. (Canuto y Barrientos 2011: 29).

Desde la Temporada 2010, la candidata para doctorado, Clarissa Cagnato, ha estado realizando investigaciones paleobotánicas, enfocándose en restos macrobotánicos, entendiéndose semillas, restos de madera, almidón, etc. Las investigaciones realizadas durante 2010 se concentraron en diversas áreas del sitio, incluyendo un basurero en un *chultun*, un depósito primario asociado a la Estructura 13R-10, tres entierros, superficies del piso del Palacio 13Q-4 y el contenido de una vasija (incensario). Se tomaron cuatro muestras del Cibal “El Jabirú” y una del Cibal El Pato (Operación CR45). También se tomaron dos muestras de la Aguada Real del Palacio (Operación CR46), por medio de dos pozos de sondeo, uno ubicado en el centro y el otro en la esquina noroeste de la aguada (Cagnato 2011: 386). Según los resultados, la evidencia más frecuente fue el de piezas de madera carbonizada, proveniente en su mayoría del *chultun*, aunque también se encontraron fragmentos de plantas en contextos funerarios y en el interior del incensario. También se encontró maíz en forma de cúpulas completas, encontradas en el piso del Palacio, y el resto eran fragmentos, encontrados en el *chultun* y en el relleno bajo del depósito primario de la Estructura 13R-10. Se encontraron también restos de mazorcas, que se encontraban en el interior del *chultun* (Cagnato 2011: 386). Se encontraron semillas carbonizadas y no carbonizadas, así como fragmentos de vainas de flores, estas últimas se encontraron en los Entierros 3 y 4 de las Estructuras 13Q-3 y 13Q-5. Teniendo todo esto en cuenta, Cagnato (2011: 386) propone como resultado que el área del *chultun* fue utilizada para colocar comida, en la forma de plantas y animales, ya que también se encontró una gran cantidad de huesos de animales. También propone que el *chultun* quizá se utilizó en determinado momento para la fermentación de frutas. En el caso de los entierros, como se mencionó anteriormente, se

encontraron fragmentos de flores, lo que sugiere que flores fueron depositadas en estas tumbas, quizá como decoración o para alimentar al difunto en la forma de incienso, o comida preparada (Cagnato 2011: 386).

Durante la Temporada 2011, Cagnato decidió concentrarse en la investigación de *chultunes*, ya que según los resultados de la temporada anterior, fue en el *chultun* de la Estructura 13R-10 que se encontró mayor evidencia de restos macrobotánicos (Cagnato 2012: 357). Se realizaron excavaciones en el Grupo 14S-1. Los resultados de las excavaciones indican que quizá algunas áreas fueron utilizadas para depositar basura (la Suboperación CR48B y la Suboperación CR48C), debido al número de artefactos que se encontraron. Pero quizá este *chultun* fue utilizado con otras finalidades, distintas al *chultun* de la Estructura 13R-10. Este *chultun* no estaba sellado, había pocos fragmentos de cerámica y de pedernal, y los de restos de animales quizá eran intrusiones modernas (Cagnato 2012: 357). Se pudieron encontrar fragmentos de palma coyol (*Acrocomia sp.*), la cual era utilizada para extraer su aceite. También se encontraron restos de semillas de *Fabaceae*, *Solanaceae*, además de restos de frutos que no pudieron ser identificados (Fridberg y Cagnato 2012). También se obtuvieron resultados de las muestras de tierra tomadas del Cuarto 2 de la Estructura 13R-10, donde se encontró una gran cantidad de núcleos de maíz, además de restos de palmas y otras frutas como el zapote. Esto encaja con los resultados de las excavaciones, donde sugieren que este edificio quizá se pudo utilizar para preparar alimentos, entre otras funciones (Fridberg y Cagnato 2012). En el Cuarto 3, localizado al sur, se encontraron fragmentos de palma además de fragmentos de maíz. También se hicieron estudios en manos de moler para encontrar restos de almidón, y efectivamente en una de las manos de moler se encontró almidón de maíz, así como restos de granos pertenecientes a la familia *Euphorbiaceae*, de donde pertenece la mandioca (Fridberg y Cagnato 2012).

Metodología de investigación

La parte metodológica de esta investigación se puede dividir en 5 partes:

1. Revisión bibliográfica.

La primera parte es la revisión bibliográfica, la cual se concentró en referencias arqueológicas, biológicas, botánicas y etnobotánicas. Se contó también

con la ayuda de profesionales en las distintas áreas de esta investigación para recopilar más referencias.

2. Toma de muestras de tierra

Se tomaron muestras de suelo durante las temporadas de campo de 2010 y 2011, de acuerdo al procedimiento utilizado por Deborah M. Pearsall (2004) en las excavaciones arqueológicas realizadas en el Valle del río Jama, Ecuador. Se utilizaron tubos de PVC para tomar las muestras de tierra, de manera que éstas no se contaminaran (Figura 9.1). Se guardaron en bolsas ziploc, las cuales se rotularon, indicando de dónde se había obtenido la muestra, la profundidad en la cual se tomó la muestra, y la fecha. Por cada muestra se utilizó un tubo de PVC, y dichas muestras de tomaron de los perfiles de los pozos de excavación (dependiendo del contexto, se escogió en qué perfil se tomaría la muestra), de tierra dentro de vasijas, y de tierra dentro de depósitos específicos.



Figura 9.1 Toma de muestras del depósito primario en Estructura 13R-10 (CR16B-2)
(Foto por C. Guirola)

En total se tomaron 28 muestras de tierra, representativas de distintas áreas del sitio arqueológico La Corona (Tabla 9.1). Cada muestra consistió en 1 o 2 libras de tierra aproximadamente.

3. *Proceso de acetólisis: separación de restos palinomorfos y no palinomorfos en muestras de tierra.*

El proceso de acetólisis consiste en un tratamiento estándar de ácido utilizado para disolver todo menos la exina de los granos de polen con el fin de poder observar mejor la estructura de la pared de polen a la luz de un microscopio (Simpson 2010: 691). Teniendo en cuenta esto, y pensando en un principio que sólo se analizarían granos de polen, se decidió utilizar este método. Se tomó en cuenta el método de Erdtman (1960), con modificaciones por la Licenciada en Biología, Ana Silvia Morales (Universidad de San Carlos de Guatemala), y el Dr. Juan Carlos Berrio (Universidad de Leicester). De acuerdo a estas modificaciones, se contó con la ayuda del Licenciado José Carlos Chiquín (Universidad Del Valle de Guatemala) y la estudiante de la Licenciatura en Química, Andrea Sandoval, para efectuar dicho procedimiento. El procedimiento se realizó en uno de los laboratorios de bioquímica de la Universidad Del Valle de Guatemala (Figuras 9.2 y 9.3), bajo la supervisión de la Licenciada Nohemy Zelada, y con la aprobación de la directora del Departamento de Bioquímica y Microbiología, Doctora Pamela Pennington. Para los reactivos se contó con la colaboración del departamento de Química, y la aprobación del director del departamento, Licenciado Ángel César Ramírez Sandoval.

El proceso de acetólisis se fue realizando en grupos de 4 y 5 muestras. Se tomaron 2 submuestras de tierra de aproximadamente 5 gramos, por cada muestra que se tomó en las excavaciones, en total se obtuvieron 56 muestras. Todas las muestras se marcaron para que estén más homogéneas. En total se hicieron 6 grupos.



Figura 9.2 Preparación de muestras y reactivos para realizar el proceso de acetólisis (Fotos por C. Guirola)



Figura 9.3 Utilización de centrifugadora, calentamiento de muestras en baño María, y muestras listas después de proceso de acetólisis en viales tipo eppendorff (Fotos por C. Guirola).

Primer grupo:

CR16B-3a – A (A1 y A2)

CR16C-6-2-2 – B (B1 y B2)

CR48D-1-6-6 – C (C1 y C2)

CR48D-1-2-2 – D (D1 y D2)

Segundo grupo:

CR16C-8-2-2 – F (F1 y F2)

CR16C-8-2-2 – G (G1 y G2)

CR20A-13-10-4 – H (H1 y H2)

CR16B-1A-5-9 (A) – I (I1 y I2)

CR16B-1A-5-9 (B) – J (J1 y J2)

Tercer grupo:

CR46-3 (A) – K (K1 y K2)

CR46-3 (B) – L (L1 y L2)

CR16B-1A-5 (A) – M (M1 y M2)

CR16B-1A-5 (B) – N (N1 y N2)

CR16B-1A-5 (C) – O (O1 y O2)

Cuarto grupo:

CR48C-1-7 – P (P1 y P2)

CR48C-1-6 – Q (Q1 y Q2)

CR32D-26-3 – R (R1 y R2)

CR16B-2 – S (S1 y S2)

CR16B-2 – T (T1 y T2)

Quinto grupo:

CR16C-4-2-3 – E (E1 y E2)

CR32D-17 – U (U1 y U2)

CR32D-23 – V (V1 y V2)

CR45-2 – W (W1 y W2)

CR45-1 – X (X1 y X2)

Sexto grupo:

CR41-2-2-1 / CR41-2-2-2 – Y (Y1 y Y2)

CR42B-2 – Z (Z1 y Z2)

CR46-1 (A) – AA (AA1 y AA2)

CR46-1 (B) – BB (BB1 y BB2)

Tabla 9.1 Muestras del sitio arqueológico La Corona

Código de Muestra	Operación donde fue tomada	Contexto arqueológico
A	CR16B-3a	Tierra de platos (Est. 13R-10)
B	CR16C-6-2-2	Tierra donde se encontraron varios metates (Est. 13R-10)
C	CR48C-1-6-6	Tierra de <i>chultun</i>
D	CR48D-1-2-2	Tierra de <i>chultun</i>
E	CR16C-4-2-3	Tierra dentro de vasija (Est. 13R-10)
F	CR16C-8-2-2	Tierra de cámara de almacenaje (Est. 13R-10)
G	CR16C-8-2-2	Tierra de cámara de almacenaje
H	CR20A-13-10-4	Depósito de carbón (Est. 13Q-4)
I	CR16B-1A-5-9 (A)	Basurero (Est. 13R-10)
J	CR16B-1A-5-9 (B)	Basurero (Est. 13R-10)
K	CR46-3 (A)	Cibal Pato
L	CR46-3 (B)	Cibal Pato
M	CR16B-1A-5 (A)	Basurero (Est. 13R-10)
N	CR16B-1A-5 (B)	Basurero (Est. 13R-10)
O	CR16B-1A-5 (C)	Basurero (Est. 13R-10)
P	CR48C-1-7-7	Probable basurero
Q	CR48C-1-6-6	Probable basurero
R	CR32D-26-3	Tierra dentro de incensario (Est. 13Q-2)
S	CR16B-2	Depósito primario, Fachada Norte (Est. 13R-10)
T	CR16B-2	Depósito primario, Fachada Norte (Est. 13R-10)
V	CR32D-23	Relleno entre dos muros (Est. 13Q-2)
W	CR45-2	Cibal “El Jabirú”
X	CR45-1	Cibal “El Jabirú”
Y	CR41-2-2-1 CR41-2-2-2	Estructura 13S-II, Fachada Norte
Z	CR42B-4	Depósito Este
AA	CR46-1 (A)	Aguada Real
BB	CR46-1 (B)	Aguada Real

4. Análisis de restos palinomorfos y no palinomorfos.

Para analizar las muestras de restos palinomorfos y no palinomorfos se siguió una serie de pasos para poder obtener la mayor información posible de dichas muestras. A continuación se detalla cada paso.

Observación en microscopio

Para el análisis microscópico se contó con la ayuda del Dr. Manuel Porres y el Licenciado Luis Andrés Arévalo, del laboratorio de Entomología de la Universidad Del Valle de Guatemala, quienes proporcionaron un microscopio, marca Leitz Laborlux S, y una cámara para microscopio para poder identificar restos palinomorfos y no palinomorfos (Figura 9.4). Se utilizaron objetivos seco fuerte (x40) y de inmersión (x100).



Figura 9.4 Microscopio Leitz Laborlux S, objetivos del microscopio y vista de la cámara fotográfica utilizada para tomar fotografías de las muestras (Fotos por C. Guirola)

Las submuestras se colocaron en portaobjetos y cubreobjetos, debidamente rotuladas, llamándolas láminas (Figura 9.5). En total se observaron 42 láminas, de las 56 submuestras que se obtuvieron. Algunas de las láminas que se observaron se les agregó Azul de Metileno, ya que este colorante ayuda alguna vez a ver mejor restos de polen y/o esporas (Raynor *et al.* 1966: 729).

Una de las razones de escoger sólo algunas de las submuestras para observar en el microscopio fue el tiempo, ya que no se contaba con mucho tiempo para observarlas todas. Otra razón fue que las muestras se tomaron de manera aleatoria, ya que no se sabía cuáles tendrían mayor número de restos que otras. Por último, se trató de enfocar en submuestras donde estaban saliendo mayor número de restos palinomorfos y no palinomorfos, y analizar más láminas de dichas submuestras.

A continuación se detalla cuántas láminas se observaron por cada muestra:

- 6 láminas de la muestra A: A1, A2, A1 (2), A2 (2), A1(3) y A2(3). La lámina A2(2) se analizó con Azul de Metileno.
- 5 láminas de la muestra B: B1, B2, B1(2), B2(2) y B1(3). La lámina B2(2) se analizó con Azul de Metileno.
- 1 lámina de la muestra BB: BB2
- 1 lámina de muestra C: C2
- 1 lámina de muestra E: E2
- 6 láminas de la muestra F: F1, F2, F1(2), F2(4), F2(2) y F2(3). La lámina F2(4) se analizó con Azul de Metileno.
- 1 lámina de la muestra H: H1
- 6 láminas de la muestra J: J1, J2, J1(2), J2(2), J2(3) y J2(4). La lámina J2(2) se analizó con Azul de Metileno
- 1 lámina muestra K: K1
- 2 láminas muestra O: O1 y O2
- 1 lámina muestra P: P1
- 1 lámina de muestra R: R1
- 1 lámina de muestra S: S2
- 1 lámina de la muestra U: U2
- 1 lámina de la muestra V: V1
- 5 láminas de la muestra W: W1, W1(3), W2(3), W1(2) y W2(2). La lámina W1(2) se analizó con Azul de Metileno. En las láminas W1(3), W2(3), W1(2) y W2(2) no se observó ningún espécimen.
- 1 lámina de la muestra Y: Y2
- 1 lámina de la muestra Z: Z2



Figura 9.5 Láminas con Azul de Metileno. Todas las láminas se montaron de la misma manera (portaobjeto con cubreobjeto, y rotuladas con el nombre de la muestra) (Foto por C. Guirola)

Inventario de las muestras

Se realizó un inventario de todos los especímenes que se identificaron en el paso anterior. Cada espécimen está identificado por el código de la submuestra, el número de la submuestras y el número de foto. También se colocó su ubicación (esto es el pozo de excavación o área de donde se obtuvo la muestra de tierra en el sitio arqueológico La Corona); el contexto de donde proviene la muestra; la profundidad en la cual se tomó; y el tamaño de las muestras, lo cual es de suma importancia, ya que con esta información se puede saber más sobre los restos palinomorfos o no palinomorfos y agruparlos de acuerdo a su morfología¹.

Para las medidas de cada espécimen se utilizó el software para Apple OS X, llamado Macnification, versión 2.0.1, por Orbicule (Figura 9.6) (Orbicule 2011). Este programa permite ingresar una medida ya calibrada, y con esta medir el resto de los especímenes. Por cada espécimen se tomaron medidas de su ancho y largo, además del grosor de su pared si se pudiera apreciar en la fotografía.

¹ El inventario puede consultarse en: Guirola Carias, Ana Cristina 2013. *Análisis de restos microbotánicos de La Corona: Una propuesta metodológica para la arqueobotánica en Guatemala*. Trabajo de investigación presentado para optar al grado académico de Licenciatura en Arqueología. Universidad Del Valle de Guatemala. Guatemala.



Figura 9.6 Software Macnification, version 2.0.1, para Apple OS X (Foto por C. Guirola)

Por último se colocaron dos fotografías, una con aumento x40 y la otra con aumento x100 (Figura 9.7). Esto es para tener una mejor apreciación de las muestras con ambos objetivos.

Ejemplo:

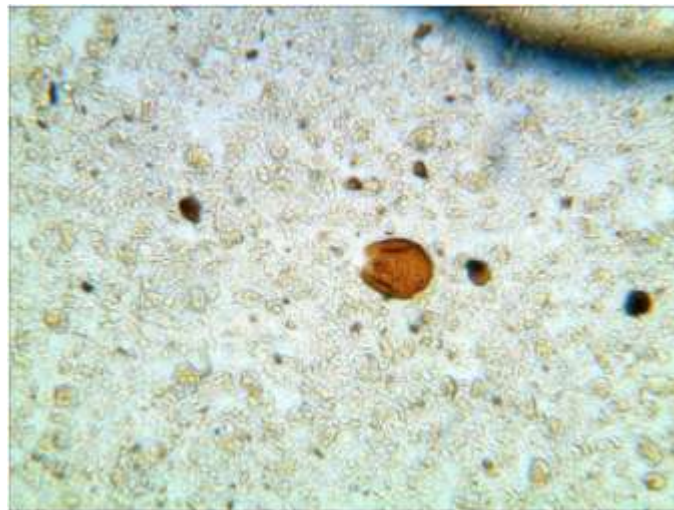


Figura 9.7 Muestra A1-5-1. Fotografía tomada con aumento x40 (Foto por C. Guirola)

Contexto de las muestras

Los contextos de las muestras se pueden dividir según las áreas donde se tomaron. En general se pueden agrupar en 11 contextos. El criterio que se utilizó para

escoger los contextos fue tomando en cuenta la importancia que tiene el contexto en el sitio; contextos específicos, como el incensario o ciertas vasijas cerámicas; y contextos donde según las condiciones del mismo, se esperaría encontrar más muestras de polen y/o esporas, como lo son los cibles y la aguada real.

Identificación morfológica

La identificación morfológica se realizó según las características específicas de cada espécimen, llamando a cada grupo “Morfotipo”. Cada Morfotipo representa un grado de polen y/o espora distinto a los otros. Esta identificación se hizo para poder tener una mejor apreciación de las distintas clases de restos palinomorfos y no palinomorfos que se encontraron en las muestras recolectadas durante las temporadas de campo 2010 y 2011. En un principio se querían identificar familias o especies, lo cual representa un problema ya que no se tiene un total conocimiento del polen y esporas de la región. Es por ello que solamente algunos especímenes de polen y esporas se pudieron identificar a nivel de género, pero más que todo de familia.

Ya teniendo todos estos grupos de morfotipos, se decidió realizar una serie de gráficas estadísticas, representando cómo se distribuyen dichos morfotipos, según el contexto donde se encontraron, que son 11 tipos. Las gráficas se realizaron utilizando dos tipos de software. Uno de ellos es “C2”, versión 1.7.2, para Microsoft. Este programa sirve para analizar y visualizar información y datos paleoambientales (Jeggins 2010). Y también se utilizó Excel para crear una tabla estadística, la cual se importó en C2 para generar las gráficas.

Fechaamiento de las muestras

La última etapa de la metodología fue el fechaamiento de las muestras. Para el fechaamiento de las mismas se usó la evidencia cerámica que se encontró en los mismos lotes de donde se tomaron las muestras de tierra. Para esta parte se contó con la ayuda de la candidata a doctorado, Caroline A. Parris, de la Universidad de Tulane. Parris está a cargo del análisis cerámico del sitio arqueológico La Corona, por lo que todos los resultados de fechaamiento y tipos cerámicos fueron proporcionados por ella.

6. Recolección de plantas contemporáneas.

Por último, se realizó una recolección de plantas contemporáneas que se pueden encontrar en el sitio arqueológico La Corona. Para esto se contó con la

colaboración de trabajadores del proyecto arqueológico, quienes son de las comunidades de Dolores y San Andrés, Petén. Esto fue de gran ayuda, ya que ellos identificaron algunas plantas, ya sea con su nombre científico o con su nombre popular y explicar los usos de dichas plantas. En total se identificaron 38 plantas que se pueden encontrar dentro del sitio arqueológico.

Resultados

1. Contextos arqueológicos.

Las muestras que se tomaron se pueden dividir en 11 contextos, definidos en varias áreas del sitio arqueológico La Corona.

Cerámica:

CR16B-3a: Esa unidad se realizó durante la Temporada 2011, a cargo de Jocelyne Ponce. La muestra se tomó donde se encontraron dos comales de cerámica (Figura 9.8). La unidad se encuentra en la parte posterior de la Plataforma Basal de la Estructura 13R-10 (Figura 9.9), del Grupo Coronitas (Ponce y Nájera 2012: 303).

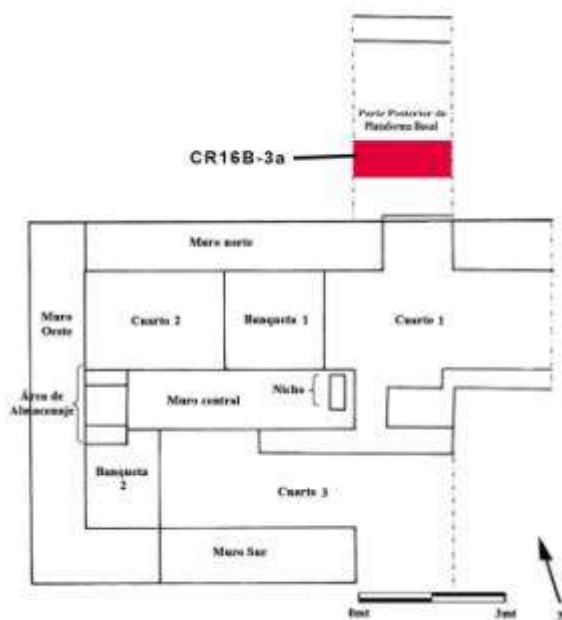


Figura 9.8 Ubicación de unidad CR16B-3a, en Estructura 13R-10 (Ponce y Nájera 2012: 286)

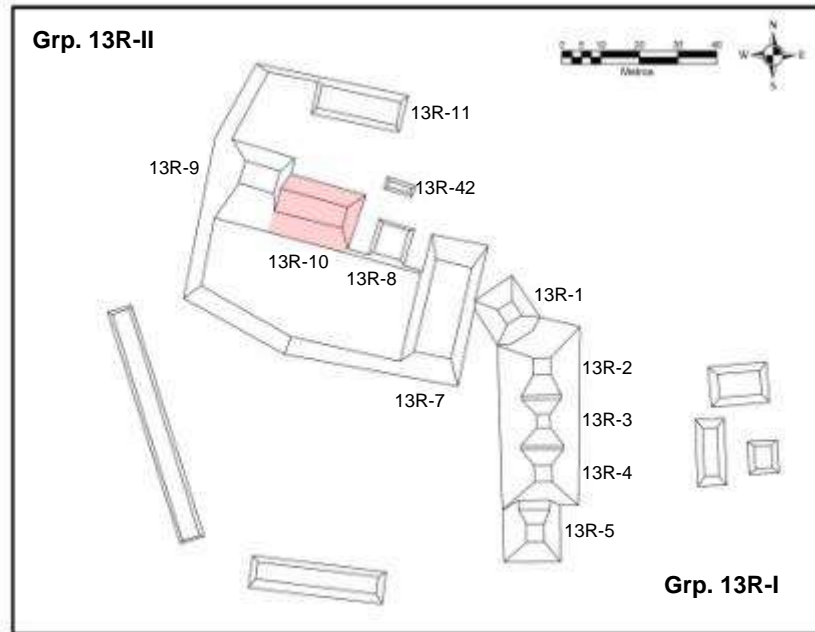


Figura 9.9 Ubicación de Estructura 13R-10 (Mapa por M. Canuto)

CR16C-4-2-3: Esta unidad se realizó durante la Temporada 2011, a cargo de Jocelyne Ponce. Esta muestra se tomó de la tierra dentro de una vasija cerámica encontrada en esta unidad. La unidad se realizó en la parte norte del Cuarto 1 de la Estructura 13R-10 (Figura 9.10).

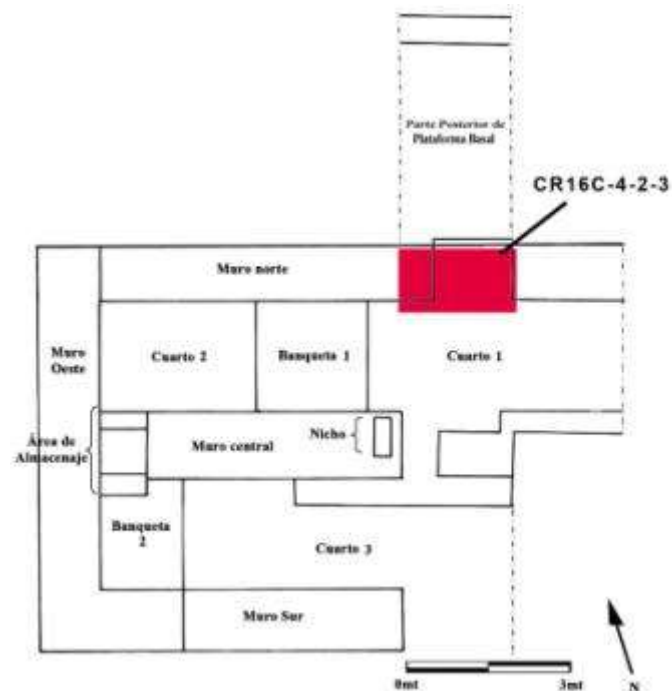


Figura 9.10 Ubicación de Unidad CR16C-4, en Estructura 13R-10 (Ponce y Nájera 2012: 286)

Metates:

CR16C-6-2-2: Esta unidad se realizó durante la Temporada 2011, a cargo de Jocelyne Ponce. Esta muestra de tierra se tomó del área donde se encontraron varios metates. La unidad comprende parte de la Banqueta 1 del edificio, la cual divide el Cuarto 1 y el Cuarto 2, y colinda al norte con el Muro Norte y al sur con el Muro Central; y una parte del Cuarto 2 (Ponce y Nájera 2012: 297) (Figura 9.11).

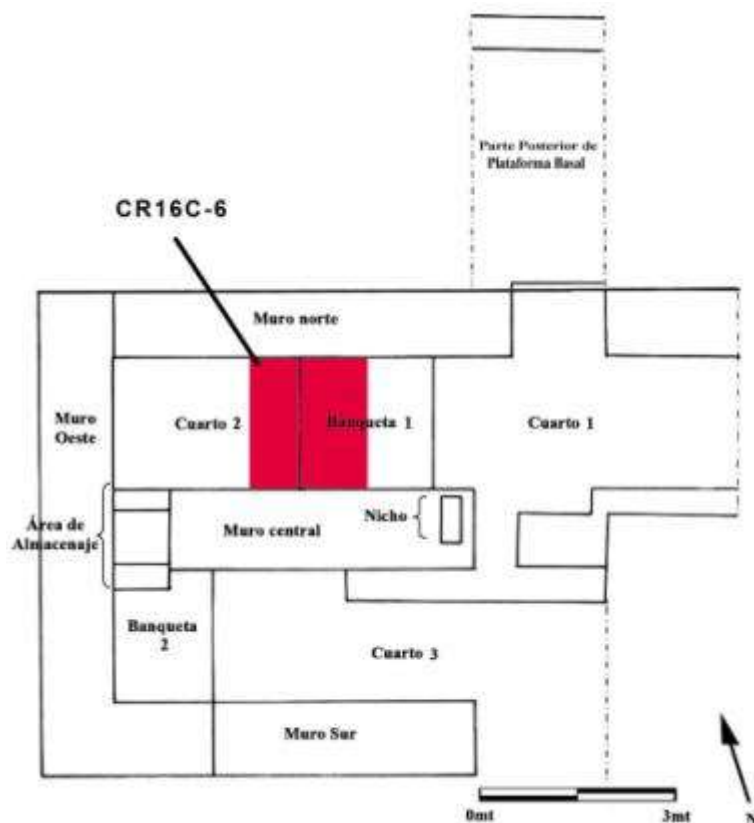


Figura 9.11 Ubicación de Unidad CR16C-6, en la Estructura 13R-10 (Ponce y Nájera 2012: 286)

Chultun:

CR48D-1-6-6 y CR48D-1-2-2: Estas muestras de tierra se tomaron de la Unidad CR48D-1, que se realizó en el Grupo 14S-1, ubicado al sureste de La Corona, durante la Temporada 2011, a cargo de Clarissa Cagnato. En esta operación se excavó un *chultun* de una cámara (Figura 9.12), el cual es el segundo identificado y excavado en La Corona (el primero fue el que se encontró durante la Temporada 2010, ubicado en la Estructura 13R-10, el cual está denominado en esta investigación como Basurero élite) (Cagnato 2012: 371).

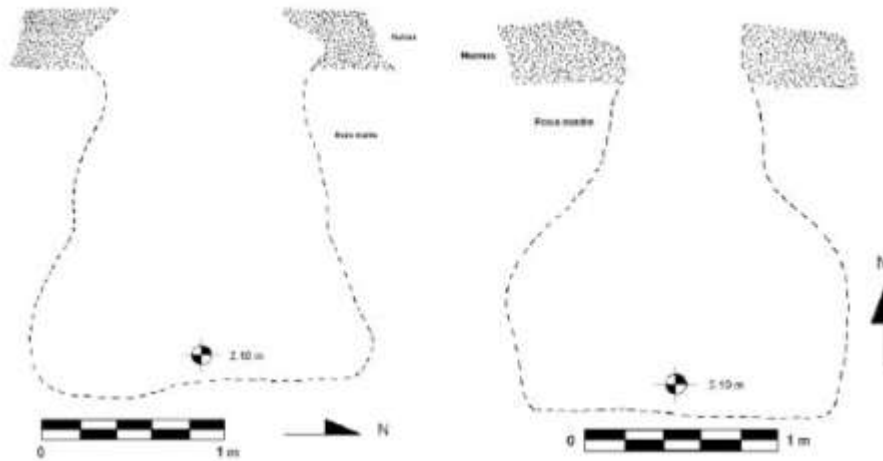


Figura 9.12 Perfiles oeste y norte del *chultun* (Cagnato 2012: 370) (Dibujo por C. Cagnato).

Residencia élite:

La residencia élite consiste en la Estructura 13R-10, que forma parte del Grupo Coronitas. Se tomaron dos muestras de tierra de dos unidades de excavación; la Unidad CR16C-8-2-2, que es una cámara de almacenaje (Figura 9.13 y 9.14); y CR16B-2, donde se excavó un depósito primario, en la Fachada Norte de la Estructura 13R-10 (Figura 9.15). La primera fue excavada durante la Temporada 2011, y la segunda en la Temporada 2010 (Ponce y Nájera 2012; Fernández 2011).

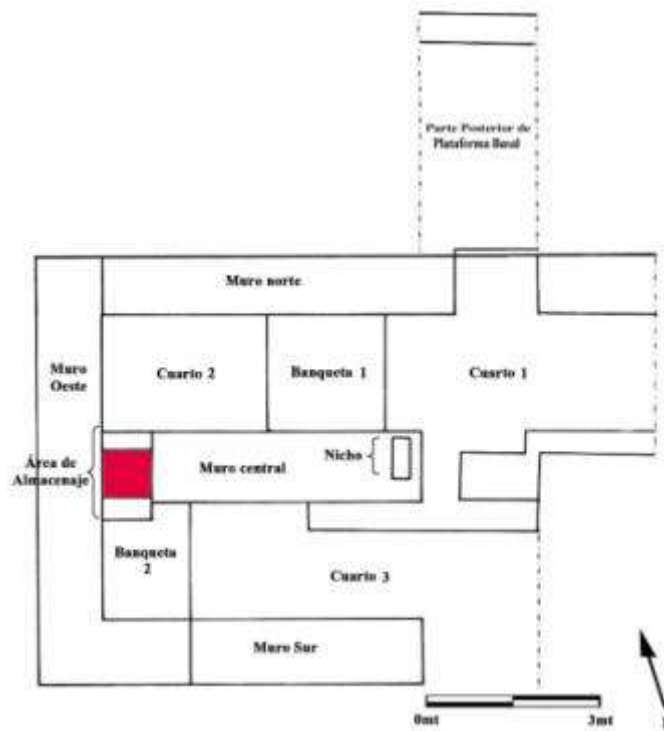


Figura 9.13 Ubicación de Área de almacenaje, en la Estructura 13R-10 (Ponce y Nájera 2012: 286)



Figura 9.14 Cámara de almacenaje (Ponce y Nájera 2012: 293)

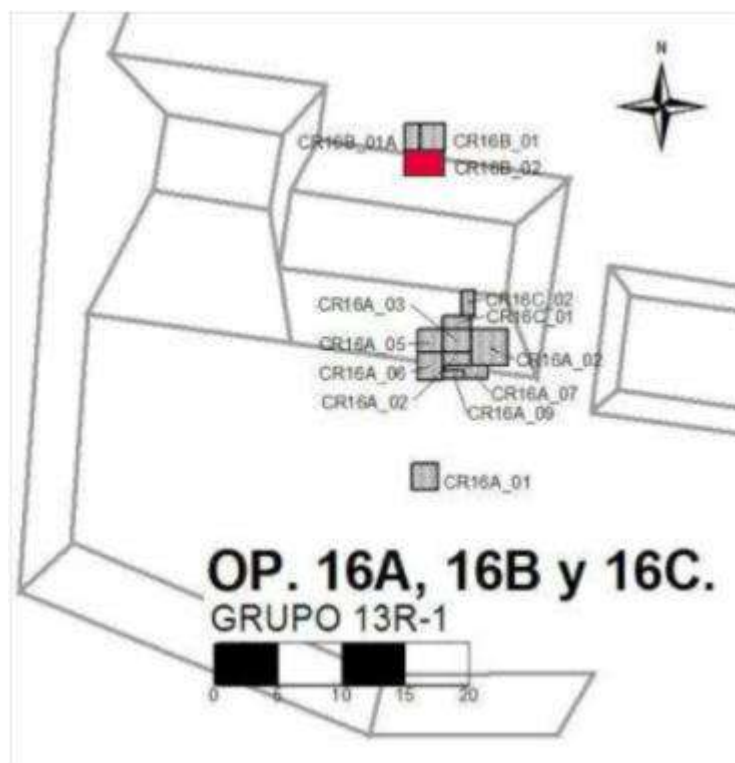


Figura 9.15 Ubicación de la Unidad CR16B-2, en la Estructura 13R-10 (Fernández 2011)

Se puede decir que este edificio tuvo varias actividades domésticas, artesanales y rituales, por lo que cabe la posibilidad de que fuera utilizado como un área de preparación de alimentos y otros artefactos para la elite en el Patio Norte del conjunto arquitectónico o en otras partes del sitio (Ponce y Nájera 2012).

Basurero elite:

-CR16B-1A-5: Esta unidad se realizó durante la Temporada 2010, a cargo de Carlos Enrique Fernández. Esta operación es una extensión de la Unidad CR16B-1 (Figura 9.16). Al excavarlo se pudo apreciar que se trataba de un basurero de forma circular en la superficie de la roca madre (Fernández 2011: 295-296).

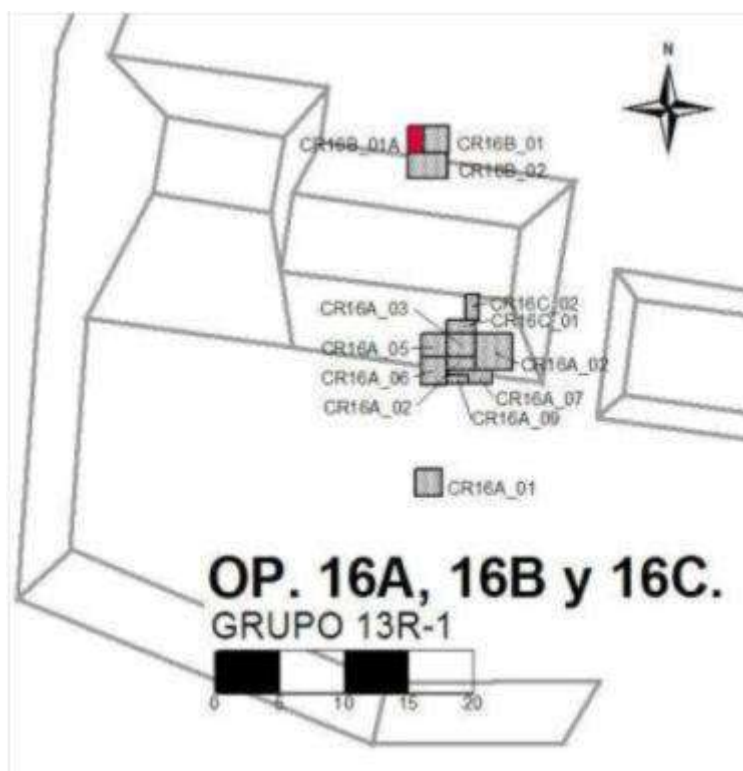


Figura 9.16 Ubicación de la Operación CR16B-1A (Fernández 2011)

Aguada Real:

-CR46-1(A) y CR46-1(B): Estas operaciones se realizaron en la Aguada Real (Figura 9.17), ubicada al sur del Palacio Real o Estructura 13Q-4, en la Plaza Principal (Figura 9.18). Se cree que esta aguada es de cierta manera artificial, debido a su forma cuadrada. Quizá se pudieron realizar algunos rituales en ésta debido a los materiales cerámicos que se han encontrado (Guirola 2013: 111).



Figura 9.17 Operación CR46-1, realizada en la Aguada Real (Foto por C. Guirola)

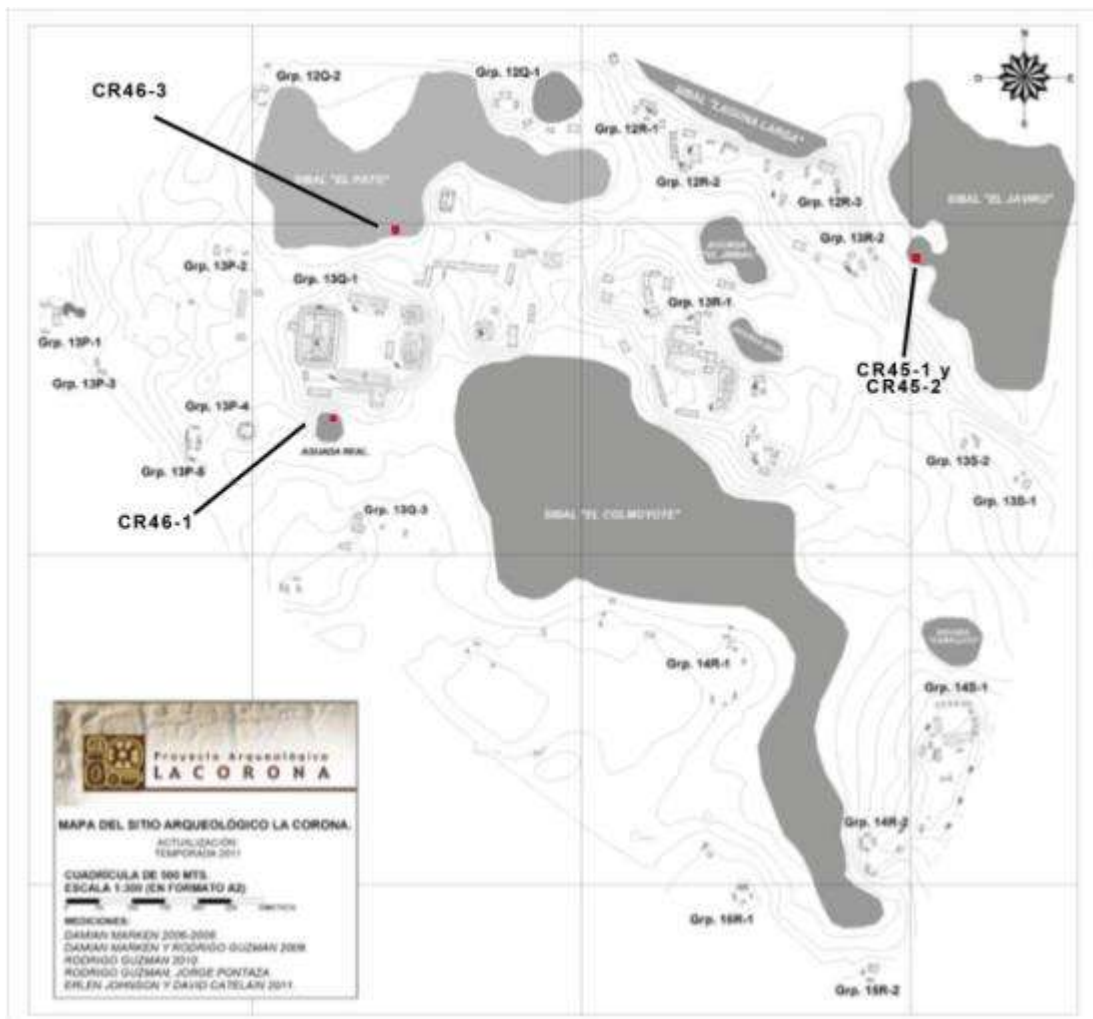


Figura 9.18 Mapa del sitio arqueológico La Corona con las ubicaciones de donde se tomaron muestras de tierra en los cibaes (Mapa por R. Guzmán)

Cibales:

CR46-3(A) y CR46-3(B): Cibal Pato. Este cibal se encuentra en la parte norte del epicentro de La Corona (Figuras 9.18 y 9.19).

CR45-1 y CR45-2: Cibal “El Jabirú”. Este cibal se encuentra al este del epicentro de La Corona (Figura 9.19 y 9.20).



Figura 9.19 Operación CR46-3, realizada en Cibal Pato. Se puede apreciar la toma de muestras de tierra de uno de los perfiles del pozo, con un tubo de PVC para no contaminar la muestra (Foto por C. Guirola)

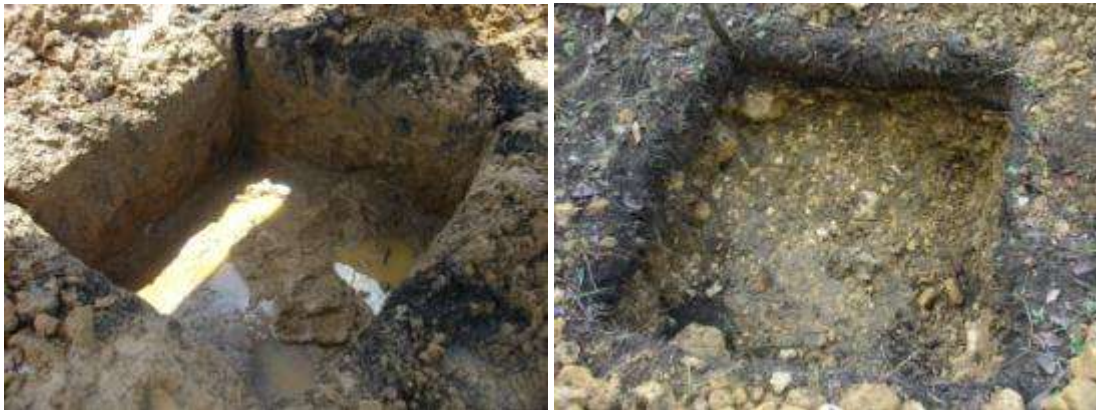


Figura 9.20 Operación CR45-1 (izquierda) y Operación CR45-2 (derecha), realizadas en Cibal “El Jabirú” (Fotos por C. Guirola)

Residencias periféricas

CR41-2-2-1 y CR41-2-2-2: Esta unidad pertenece al Grupo Habitacional 13S-2 (Figura 9.21), excavado durante la Temporada 2010, por Eduardo Bustamante. La excavación se realizó en el Muro Norte de la Estructura 13S-1 (Figura 9.22) (Bustamante 2011: 350).

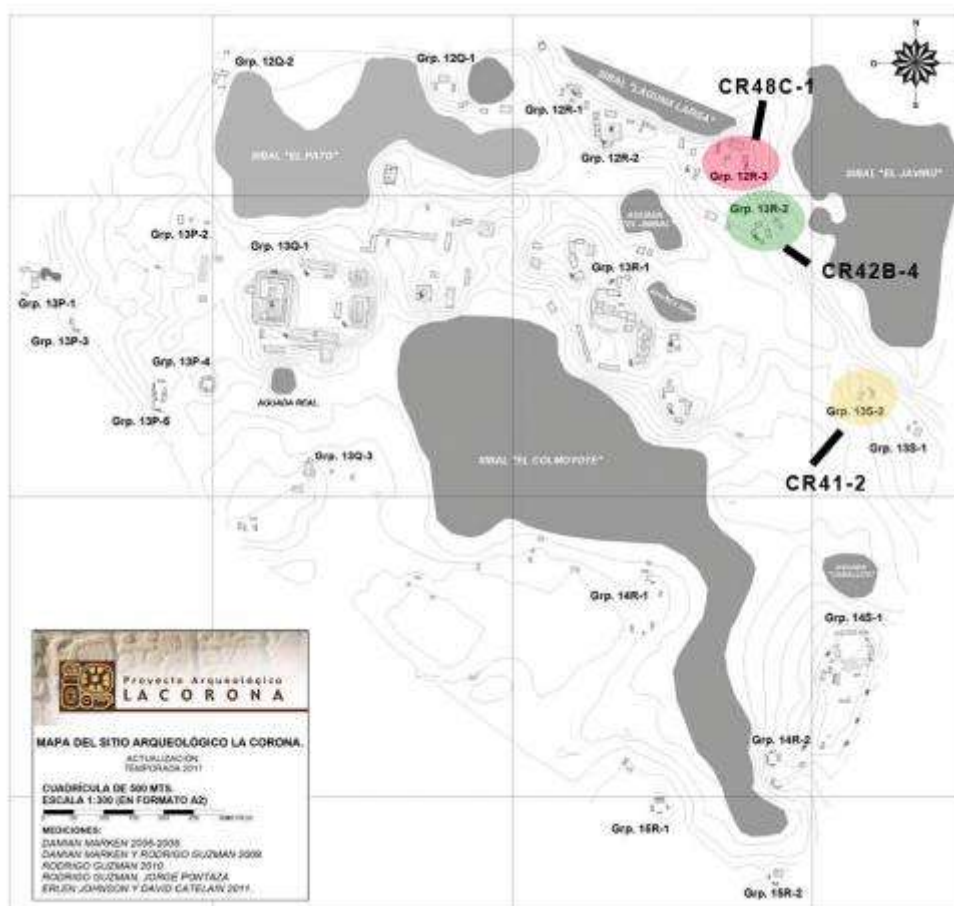


Figura 9.21 Ubicación de operaciones CR41, CR48C y CR42B (Mapa por R. Guzmán y C. Guirola)



Figura 9.22 Unidad CR41-2 (Foto por C. Guirola)

CR48C-1-6 y CR48C-1-7: Esta operación se realizó en el Grupo 12R-3 (Figura 9.21), durante la Temporada 2011, a cargo de Clarissa Cagnato. Las excavaciones revelaron que posiblemente era un área de deposición de basura (Cagnato 2012: 371).

CR42B-4: Esta operación se realizó en el Grupo Habitacional 13R-2 (Figura 9.21), excavada durante la Temporada 2010, por Jocelyne Ponce (Figura 9.23). La unidad de excavación se encuentra en la Estructura 13R-40 (Ponce 2011: 311).



Figura 9.23 Depósito de cerámica y piso de estuco de la Estructura 13R-40 (Ponce 2011: 312)
(Foto por J. Ponce)

Depósito de carbón

-CR20A-13-10-4: Esta unidad se realizó en el Palacio Real, ubicado en la Plaza Principal (Figura 9.24), durante la Temporada 2011, a cargo de Liliana Padilla. Esta unidad se localizó en el lado oeste de la Superestructura 13Q-4A, en el área del patio interno entre ésta y la Superestructura 13Q-4E. Las muestras que se tomaron pertenecen al Lote 4, que se encuentra en la parte interna del cuarto, cerca del Muro Norte, donde se registró un pequeño depósito de ceniza (Figura 9.25), mezclado con otros materiales (Padilla y Roche 2012: 154-155).

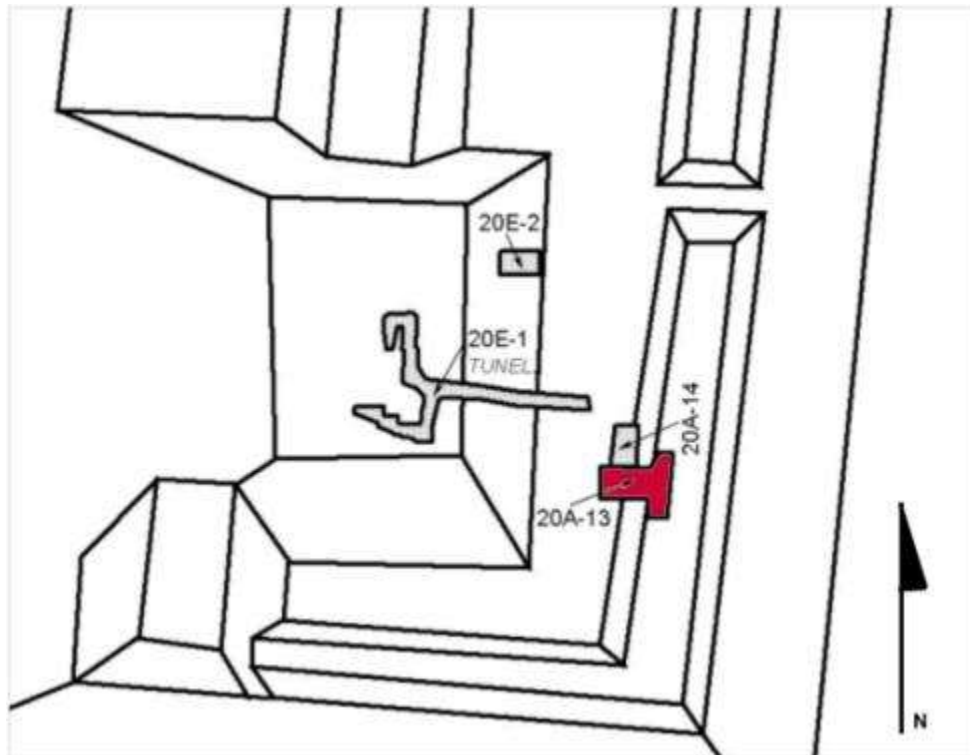


Figura 9.24 Operación CR20A-13, realizada en el Palacio Real de la Plaza Principal de La Corona (Padilla y Roche 2012)

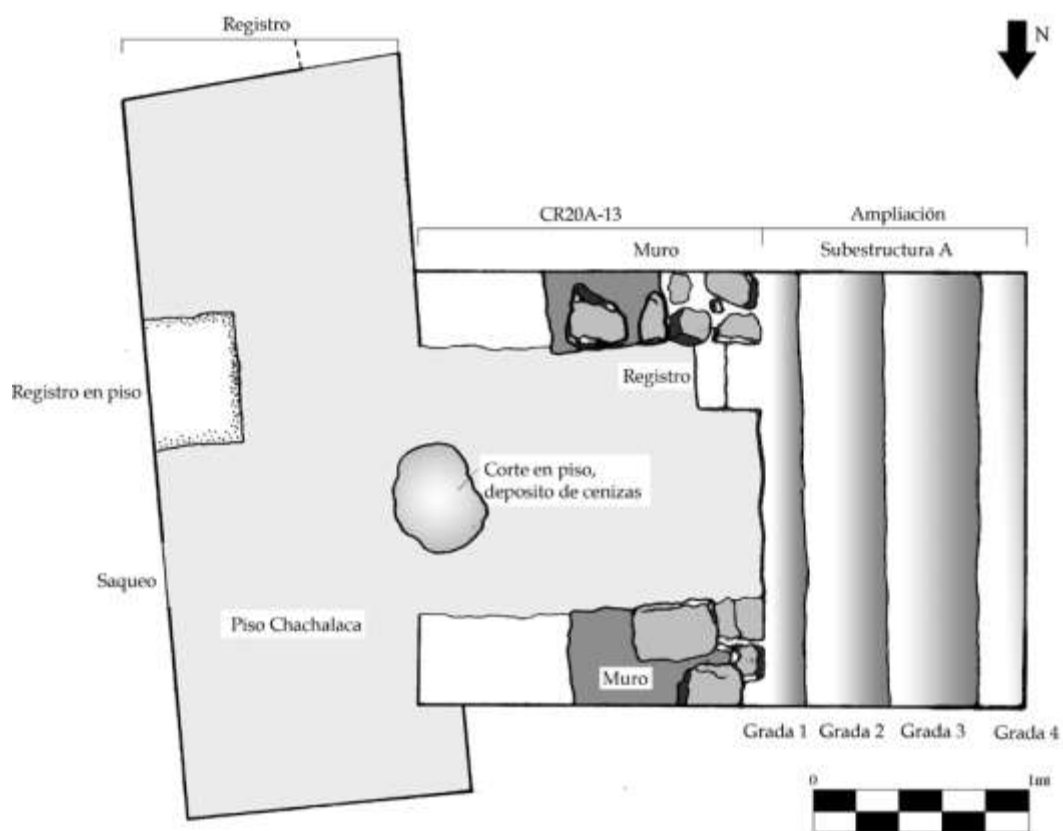


Figura 9.25 Dibujo de planta de excavaciones de la Unidad CR20A-13 (Padilla y Roche 2012: 157) (Dibujo por L. Padilla)

Edificio ritual:

Se tomaron muestras de tierra de dos unidades realizadas en la Fachada Oeste de la Estructura 13Q-2, durante la Temporada 2010, a cargo de Cristina Guirola (Figura 9.26). Este edificio se encuentra en la Plaza Principal y se cree que pudo haber tenido una función ritual, o como palacio de presentación (Guirola 2013). En la primera unidad, CR32D-17, se encontró un piso que es parte del edificio, el cual estaba estucado. Y la segunda unidad, CR32D-23, se encontró parte de un muro deteriorado perteneciente a la Estructura 13Q-2 (Guirola 2011: 207).

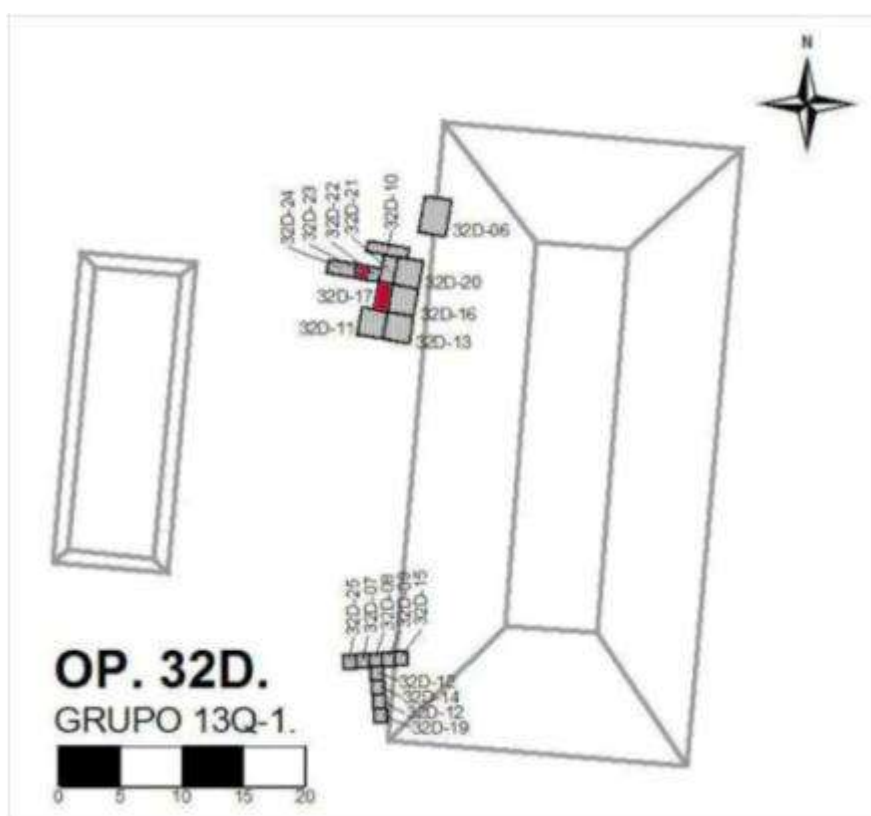


Figura 9.26 Estructura 13Q-2, donde se puede apreciar en color rojo la Unidad CR32D-17 y CR32D-23 (Mapa por R. Guzmán)

Incensario

CR32D-26-3: Esta unidad se realizó en la Temporada 2011, a cargo de Cristina Guirola. La unidad se encuentra frente a la Fachada Noroeste de la Estructura 13Q-2 (Figura 9.27). En esta unidad se encontró un incensario (Figura 9.28), el cual pertenece probablemente al Postclásico Tardío, y es similar a otros ejemplares que se encontraron también en esta estructura (Guirola y Martínez 2012: 177).

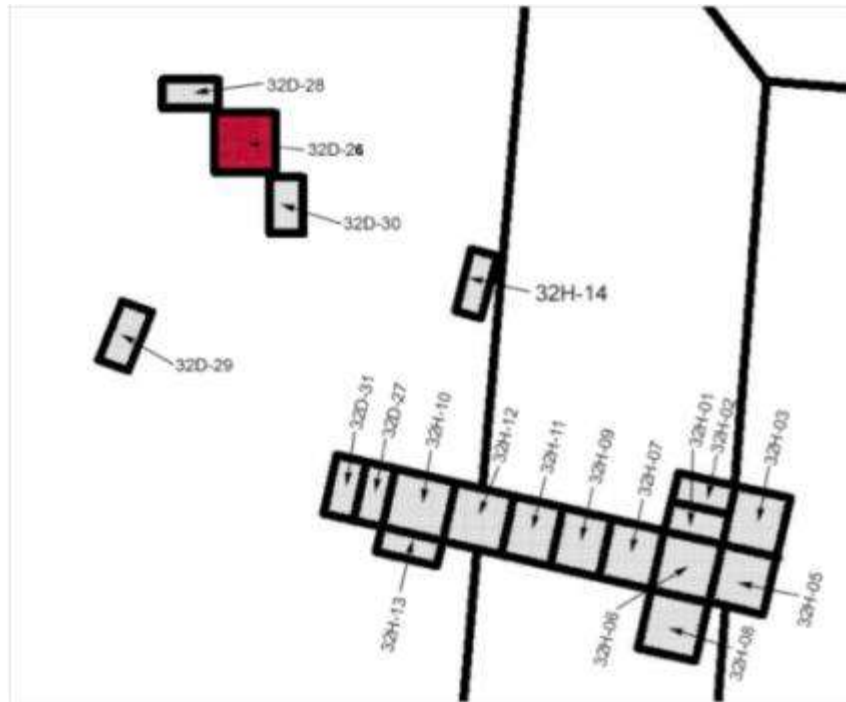


Figura 9.27 Ubicación de Unidad CR32D-26, frente a Estructura 13Q-2 (Mapa por R. Guzmán)



Figura 9.28 Incensario encontrado en el Lote 3 de la Unidad CR32D-26 (Foto por C. Guirola)

Temporalidad de las unidades

En la mayoría de unidades de excavación de donde se tomaron muestras de tierra se pudieron encontrar fragmentos cerámicos que fueron esenciales para fechar los contextos. Con ello se puede tener una mejor idea de la temporalidad de las muestras recobradas de esporas y de polen de cada contexto (Tabla 9.2).

Tabla 9.2 Fechamiento de unidades y niveles, basándose en la evidencia cerámica (Guirola 2013: 121)

Código de muestra	Unidad	Fecha
A	CR16B-3a	Clásico Tardío
I, J, M, N, y O	CR16B-1A-5	Clásico Tardío (después de 750 d.C.)
S y T	CR16B-2	Clásico Terminal (después de 830 d.C.)
E	CR16C-4-2-3	Probablemente Clásico Tardío (Tepeu)
B	CR16C-6-2-2	Clásico Tardío (Tepeu 1-2)
F y G	CR16C-8-2-2	Clásico Tardío (Tepeu)
H	CR20A-13-10-4	Clásico Tardío (probablemente Tepeu 2)
U	CR32-17-2	Clásico Tardío
V	CR32D-23-5	Clásico Tardío
R	CR32D-26-3	Postclásico Tardío
Y	CR41-2-2-1 y CR41-2-2-2	Clásico Tardío
Z	CR42B-4-2-2	Clásico Tardío
AA	CR46-1(A)	Clásico Tardío
BB	CR46-1(B)	Clásico Tardío
Q	CR48C-1-6-6	La unidad tiene material mezclado, desde Preclásico Tardío hasta Clásico Tardío. El nivel también tiene mezcla de Clásico Temprano, Clásico Tardío y Clásico Terminal.
P	CR48C-1-7-7	La unidad tiene material mezclado, desde Preclásico Tardío hasta Clásico Tardío. Este nivel tiene Clásico Tardío y Clásico Terminal (después de 830 d.C.)
C y D	CR48D-1	Clásico Terminal

Identificación de muestras

Los especímenes que se obtuvieron en esta investigación se agruparon según sus características morfológicas, y en algunos casos se pudieron identificar algunos de estos especímenes. Dentro de estos se pueden identificar algunos granos de polen, esporas de helechos y esporas de hongos. En total se identificaron 117 especímenes, de estos 4 fueron identificados como hongos, 3 helechos y 4 plantas superiores (Guirola 2013). A continuación se detalla que Morfotipos se pudieron identificar a nivel de familia o quizá en algunos casos de género.

Hongos (Fungi)

-Tetraseptites. *Pluricellaesporites* spp. El Morfotipo 42 (Figura 9.29) tiene características similares a *Pluricellaesporites* van der Hammen 1954².



Figura 9.29 *Pluricellaesporites* van der Hammen 1954 (Macphail y Stevenson 2004: 434) (izquierda). Muestra B1-1, perteneciente al Morfotipo 42 (derecha) (Foto por C. Guirola)

-*Anatolinites* spp. El Morfotipo 44 (Figura 9.30) tiene características similares a *Anatolinites* Elsik, Ediger de Bati 1990.

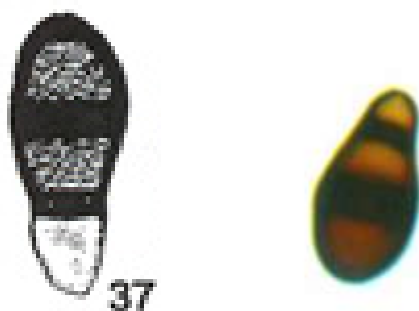


Figura 9.30 *Anatolinites alaskensis* Elsik, Ediger de Bati 1990 (Macphail y Stevenson 2004: 434) (izquierda). Muestra B1-7, perteneciente al Morfotipo 44 (derecha) (Foto por C. Guirola)

² El nombre del autor y año forman parte del nombre científico de la especie, por lo que no posee una referencia bibliográfica.

-*Triporicellaesporites* spp. El Morfotipo 60 (Figura 9.31) tiene características similares a *Triporicellaesporites* Ke & Shi 1978.

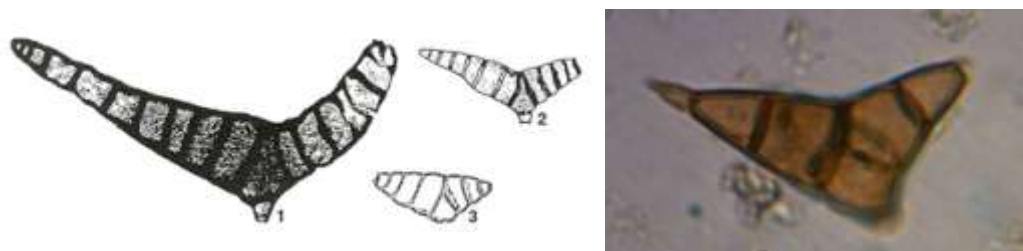


Figura 9.31 Algunas especies de *Triporicellaesporites* Ke & Shi 1978 (Macphail y Stevenson 2004: 434) (izquierda). Muestra B1(2)-27, perteneciente al Morfotipo 60 (Foto por C. Guirola).

-*Diporisporites* spp. El Morfotipo 157 (Figura 9.32) tiene características similares a *Disporisporites communis* van der Hammen 1954.

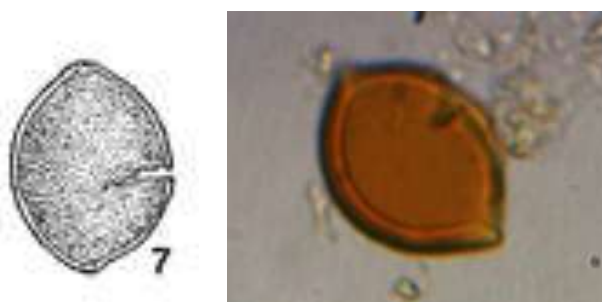


Figura 9.32 *D. communis* Ke & Shi 1978 (Macphail y Stevenson 2004: 434) (izquierda). Muestra A2(3)-2, perteneciente a Morfotipo 157 (Foto por C. Guirola)

Helechos (Pteridophyta)

-Cyatheaceae (familia). El Morfotipo 32 (Figura 9.33) tiene características similares a *Metaxya rostrata* (HBK).



Figura 9.33 Imagen de *Metaxya rostrata* (HBK.) (izquierda) (Roubik y Moreno 2003). Imagen de Muestra A1(3)-9, perteneciente a Morfotipo 32 (derecha) (Foto por C. Guirola)

-Polypodiaceae (familia). El Morfotipo 52 (Figura 9.34) tiene características similares a *Asplenium flacinellum* Maxon (Figura 9.35).



Figura 9.34 Imagen de la muestra B1(2)-18, perteneciente al Morfotipo 52 (Foto por C. Guirola)



Figura 9.35 Imágenes de *Asplenium flacinellum* Maxon (Roubik y Moreno 2003)

-Polypodiaceae (familia). El Morfotipo 26 (Figura 9.36) tiene características similares a *Blenchum serrulatum* L.

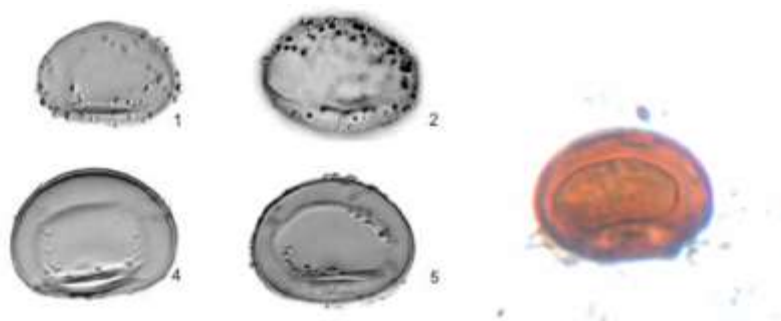


Figura 9.36 Imágenes de la especie *Blenchum serrulatum* L. (izquierda). Imagen de la muestra A1(2)-8, perteneciente al Morfotipo 26 (derecha) (Foto por C. Guirola).

Plantas superiores

Se cree que el Morfotipo 17, de donde pertenece el espécimen A1-20 (Figura 9.37), puede ser Araceae, aunque según Avendaño (2013, comunicación personal) también podría ser de la familia Arecaceae -como el género *Anthurium sp* (Figura 9.38), o Palmae -como el género *Desmoncus sp.* (Figura 9.39). Varios géneros de ambas familias se pueden encontrar en Petén, por lo que queda abierto a la posibilidad de que pueda ser alguna de las dos.



Figura 9.37 Imagen de muestra A1-20 (Foto por C. Guirola)

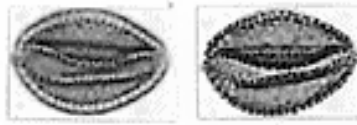


Figura 9.38 Imágenes de *Anthurium gracile* (Bourik y Moreno 2003)

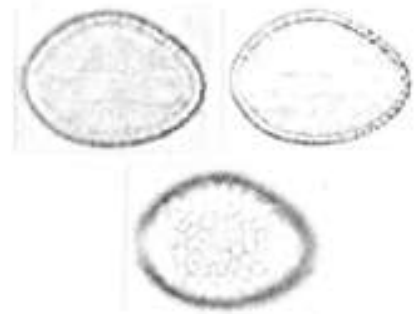


Figura 9.39 Imágenes de *Desmoncus panamensis* (Bourik y Moreno 2003)

-Mimoseae (familia). El Morfotipo 61 (Figura 9.40) puede pertenecer al género *Acacia sp.*, y presenta características similares a *Acacia riparioides* (Britt. & Rose), que se utiliza su corteza para la piel contra quemaduras.

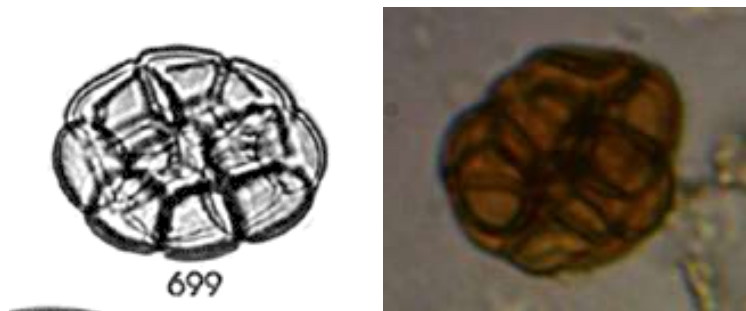


Figura 9.40 Imagen de *Acacia riparia* (Bourik y Moreno 2003) (izquierda) y muestra B1(2)-28 (derecha) (Foto por C. Guirola)

Myrtaceae (familia). El Morfotipo 138 (Figura 9.41) puede pertenecer al género *Eugenia sp.*, y presenta características similares a *Eugenia uniflora* L., conocida comúnmente como pitanga, se utiliza como planta ornamental pero también se come su fruto.

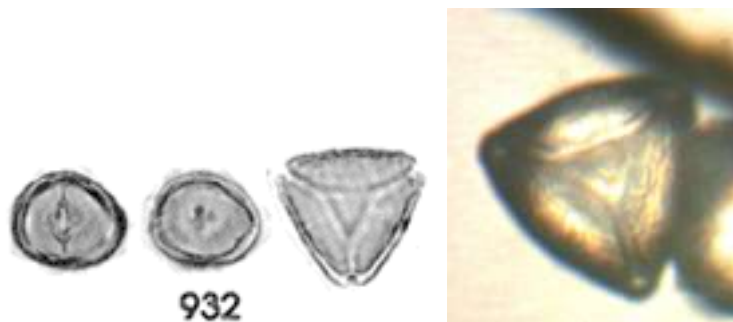


Figura 9.41 Imágenes de *Eugenia uniflora* (Bourik y Moreno 2003) (izquierda) y muestra W1-3 (derecha) (Foto por C. Guirola)

Pinaceae (familia). Los pinos se dividen en 6 grupos, dependiendo de su tamaño y forma. Por lo tanto se etiquetaron como Pinus 1 (Figura 9.42), Pinus 2 (Figura 9.42), Pinus 3 (Figura 9.43), Pinus 4 (Figura 9.43), Pinus 5 (Figura 9.44), y Pinus 6 (Figura 9.44). En el área de Petén se pueden encontrar dos clases de pino, *Pinus caribae* Morelet, Rev., y *Pinus tecunumanii* Eguluz & J.P. Perry (Guirola 2013: 138).



Figura 9.42 Muestra de Pinus 1 (arriba) y Pinus 2 (abajo) (Foto por C. Guirola)



Figura 9.43 Muestra de Pinus 3 (arriba) y Pinus 4 (abajo) (Foto por C. Guirola)

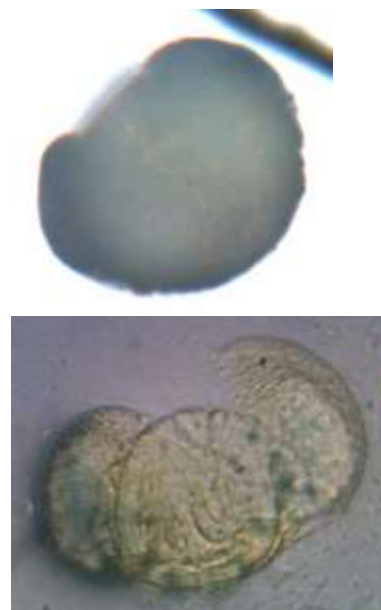


Figura 9.44 Muestra de Pinus 5 (arriba) y Pinus 6 (abajo) (Foto por C. Guirola)

Interpretaciones

En base a la identificación de Morfotipos y de ciertos granos de polen y esporas de hongos y helechos, se hicieron varias gráficas para representar la distribución de los morfotipos en las distintas muestras y tipos de contextos que se mencionaron anteriormente. Para realizar dichas gráficas, se hizo una tabla en Excel, donde se colocó cada tipo de contexto y en cuántas de las 56 muestras aparece cada morfotipo. La primera gráfica (Figura 9.45) muestra la distribución de morfotipos con valores absolutos (representatividad de las muestras en todos los contextos).

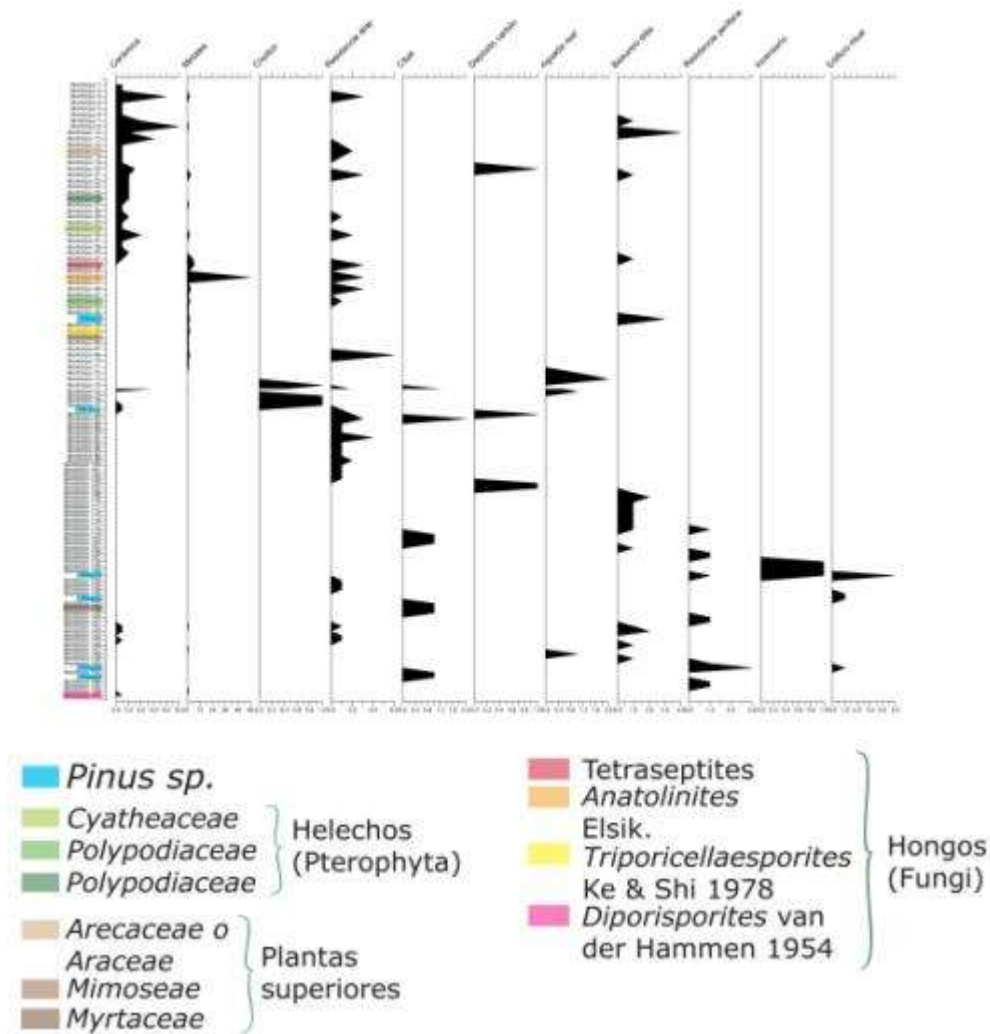


Figura 9.45 Gráfica de muestras de polen y esporas obtenidas en el sitio arqueológico La Corona. Valores Absolutos³. (Gráfica por C. Guirola)

La gráfica se puede explicar según cada contexto:

1. Cerámica y metates: Es el primer contexto (representado por la primera y segunda columna de lado izquierdo). En este contexto se encontró una amplia diversidad posiblemente porque la mayoría de muestras provienen de la Estructura 13R-10, edificio donde se preparaban alimentos o quizá otras cosas para festividades o eventos especiales.

En la cerámica se encontraron algunos especímenes que posiblemente pertenecen a la familia Araceae o Palmae. En el sitio La Corona se pueden encontrar varias especies que pertenecen a esta última familia, como el xate y el escobo. Estas palmas poseen varios usos, como fuente de alimento o forma de subsistencia. Los

³ Para ver gráfica con mayor resolución, consultar: Guirola (2013).

frutos de palmas son altos en calorías, particularmente del contenido de aceite en el endosperma y rodeando al carnoso mesocarpo de varias especies. Proveen también de vitaminas, carbohidratos, y proteínas. Y los troncos pueden ser quemados para producir sal (McKillop 1996: 278-281). Se encontraron fragmentos de esporas de helechos de las familias Polypodiaceae y Cyatheaceae. Y también se pudieron identificar algunas esporas de hongos del género *Disporisporites*.

En el caso de los metates se identificó uno de los morfotipos que tuvo mayor frecuencia. Es casi seguro que sea una espora de hongo, quizá del género *Anatolinites*, ya que tiene características morfológicas similares. Fue en este contexto donde apareció la mayoría de esporas de hongos que se pudieron identificar, ya que también aparecieron muestras de Tetrasepites y *Triporicellaesporites* Ke & Shi 1978.

También se encontraron esporas de helechos de la familia Polypodiaceae. Algunos helechos, especialmente del género *Asplenium sp.* se utilizan como plantas medicinales, para la gripe, preparando las hojas del helecho como té (Stolze 1981: 73). Y se identificaron granos de polen de la familia Mimoseae, donde se encuentra el género Acacia. En La Corona se pudieron identificar dos especies de Acacia, *Acacia collinsii* y *Acacia angustissima*. Además de la identificación de pino.

2. Chultun: La tercera columna de la gráfica, donde puede apreciar que las muestras fueron escasas.

3. Residencia Elite: La cuarta columna es el contexto que presenta mayor diversidad de especímenes, y de cierta manera tiene sentido ya que en el edificio quizá se prepararon alimentos y otros elementos para eventos especiales. En este contexto se encontró un tipo de helecho de la familia Polypodiaceae; esporas del hongo Tetrasepites; muestras de polen de la posible familia *Araceae* o *Palmae*; y un tipo de polen de pino.

4. Cibales: La quinta columna es el contexto de Cibales, los cuales no presentaron mucha evidencia, aunque sí se encontró especímenes de pino y una muestra de la familia *Myrtaceae*. Podría ser del género *Eugenia sp.*, aunque existieron otras plantas de esta familia que fueron de importancia para los Mayas, como la Pimienta gorda (*Pimenta dioica* [L.]), que produce frutos que sirven para condimentar

alimentos, y también tiene propiedades medicinales (McVaugh 1963: 382-385; Lundell 1938).

5. Depósito de carbón y Aguada Real: Representados en la sexta y séptima columna, donde en ambos casos la identificación de especímenes fue bastante escasa.

6. Basurero elite: Representado en la octava columna de la gráfica, presentó una variedad de morfotipos, lo cual no debe sorprender, ya que este basurero es parte de la residencia elite, la Estructura 13R-10.

7. Residencias periférica: Representadas en la novena columna, las cuales son interesantes si se comparan con la residencia elite, ya que se puede apreciar una marcada diferencia entre los especímenes que se encontraron entre una y otra. Esto podría reforzar la idea del poder político y económico que tenía la elite en La Corona. Es por ello que los especímenes palinológicos sugieren una mayor diversidad de plantas y hongos en la residencia elites. Con ello se puede argumentar también el rol que tenía La Corona como lugar estratégico para una ruta de intercambio entre las Tierras Altas y las Tierras Bajas (Canuto y Barrientos 2013a), por lo cual podrían tener una diversidad de plantas y hongos provenientes de otras regiones.

8. Edificio Ritual e Incensario: Por último están los contextos de edificio ritual (Estructura 13Q-2), y el incensario que se encontró en este mismo edificio. En ambos contextos no se encontraron muchos especímenes pero sí se encontró el mayor número de especímenes de polen de pino. El pino es un árbol que tiene varios usos, pero resulta interesante que se hayan encontrado en un contexto ritual. Se sabe que los Mayas utilizaban la resina de pino y su madera para realizar rituales (Lentz *et al.* 2005: 574; Morehart *et al.* 2005).

9. Pino: Este espécimen es el único que pudo ser identificado de manera contundente y el único que permite una interpretación detallada. El pino se encontró, como se mencionó anteriormente, en el edificio ritual, incensario, residencia elite, residencias periférica, metates, basurero elite y cibles. Se tiene varias ideas en cuanto a estos resultados; la primera es que quizá para la ocupación del sitio pudo haber pino en el área, y por ello se ha encontrado polen en diversos contextos. La segunda idea

es la posibilidad que en todas estas áreas pudo haber pino que provenía de otras regiones que se pueden emplear con distintos fines, ya sea rituales (Pudzisz *et al.* S.F.), o empleando la madera de éste en la construcción de residencia –como la residencia elite y las residencias periféricas, o también el uso de la madera como combustible (Lentz *et al.* 2005; Morehart *et al.* 2005).

Se hicieron dos gráficas más con el software de Excel, para tener otra representación de la distribución de morfotipos en cada contexto. En la primera gráfica se puede apreciar cuántos morfotipos hay en cada contexto, aunque estos se repitan (Figura 9.46), y en la segunda gráfica se puede observar cuántos morfotipos hay en cada contexto, que sólo en ese contexto se encontraron (Figura 9.47).

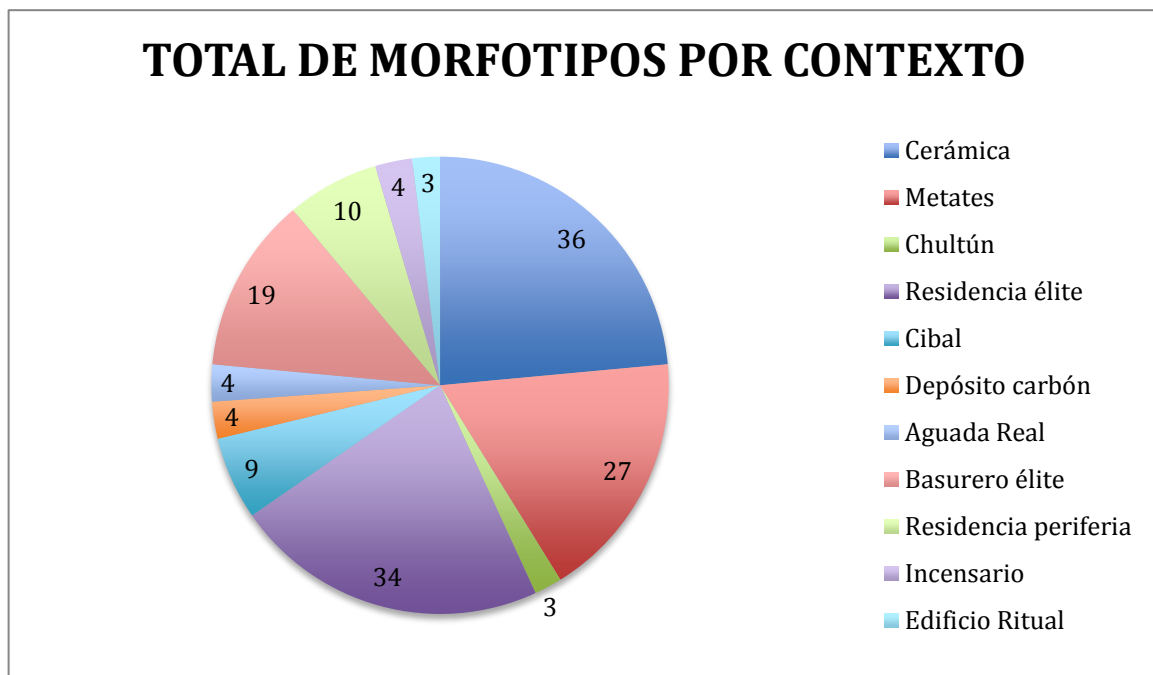


Figura 9.46 Total de Morfotipos por contexto (Gráfica por C. Guirola)

DISTINTOS MORFOTIPOS POR CONTEXTO (que no se repiten en el mismo contexto)

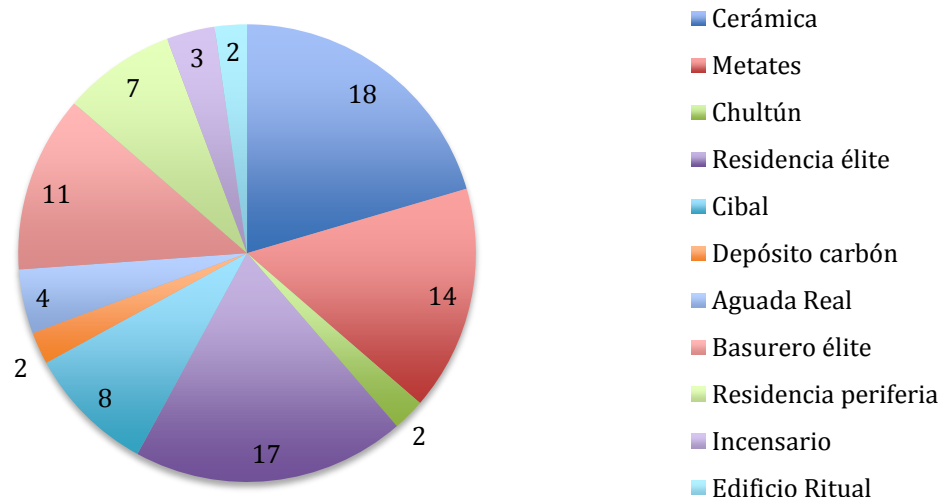


Figura 9.47 Distintos Morfotipos por contexto (que no se repiten en el mismo contexto)
(Gráfica por C. Guirola)

Es de esta manera, más simplificada, por decirlo así, que se puede apreciar que los contextos de cerámica, residencia élite y metates son los más representativos en este estudio, que constituye el 63% en cuanto a la diversidad de plantas usadas. Como se mencionó, todos estos contextos pertenecen a la Estructura 13R-10, que fue donde se enfocó más el estudio, debido a la importancia que tiene ésta para La Corona.

Por último, se hicieron varias gráficas para mostrar la temporalidad de los especímenes. La mayoría de morfotipos fueron fechados para el Clásico Tardío y algunos para el Clásico Terminal. En el caso del Pino (Figura 9.48), se puede apreciar que estos se encuentran representados en el Clásico Tardío, Clásico Terminal y Postclásico Tardío. Desafortunadamente no se encontraron restos cerámicos en los cibles, y por ello no se puede saber el fechamiento de las muestras que aparecen en dicho contexto.

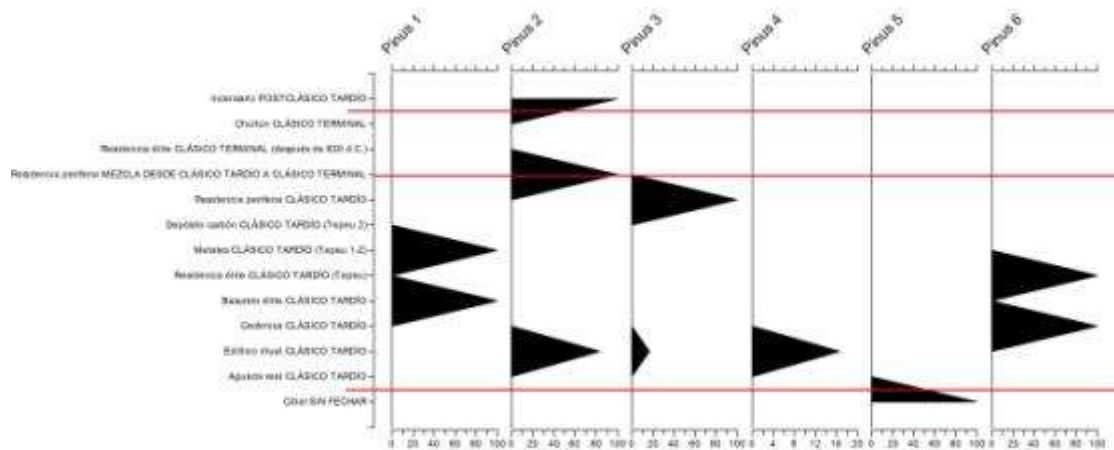


Figura 9.48 Distribución de muestras de pino a través del tiempo (Gráfica por C. Guirola)

Los helechos (Figura 9.49), así como los hongos (Figura 9.50), se encuentran solamente en el Clásico Tardío, representados en los contextos de cerámica, residencia elite y metates, todos de la Estructura 13R-10.

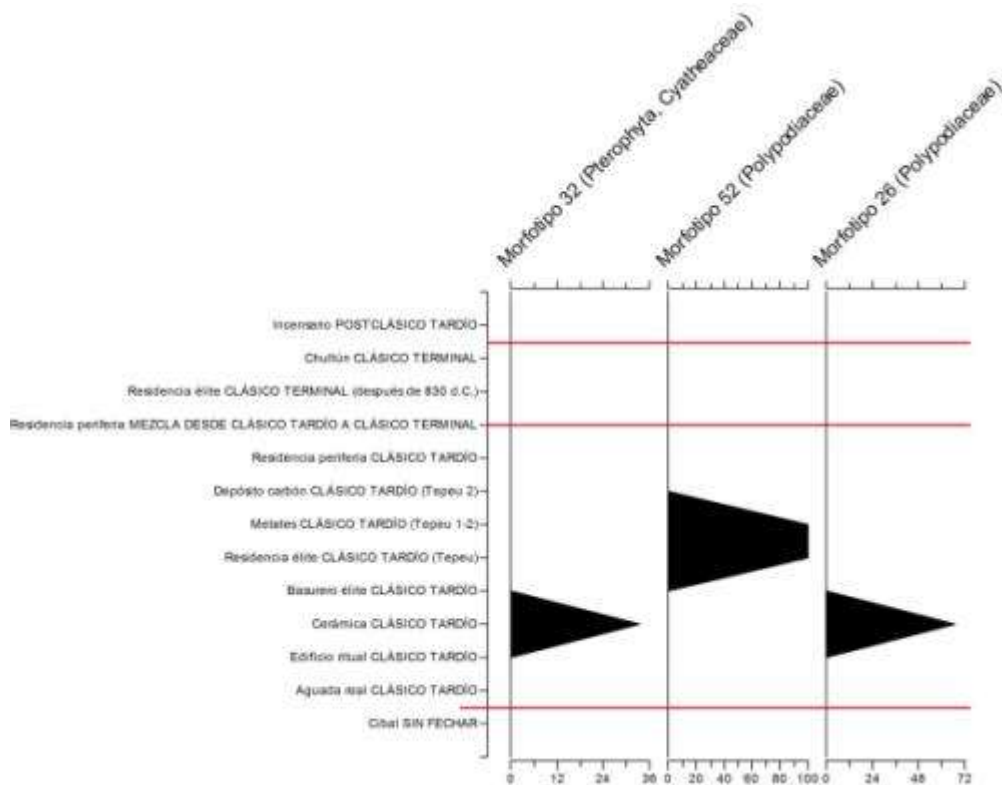


Figura 9.49 Distribución de helechos identificados a través del tiempo (Gráfica por c. Guirola)

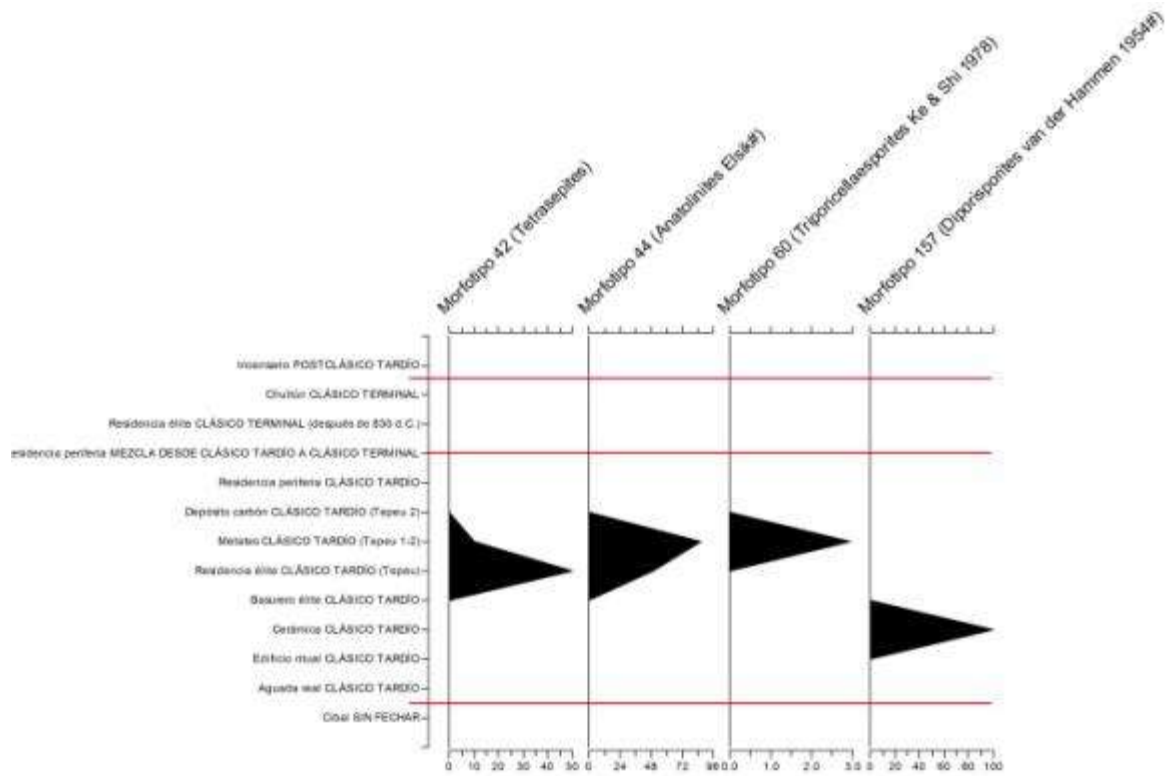


Figura 9.50 Distribución de hongos identificados a través del tiempo (Gráfica por C. Guirola)

Por último están los restos de plantas superiores (Figura 9.51), excluyendo el pino, que se pudieron identificar. Éstas se encuentran durante el Clásico Tardío, con la excepción de la muestra perteneciente a la familia Myrtaceae, que no se pudo fechar.

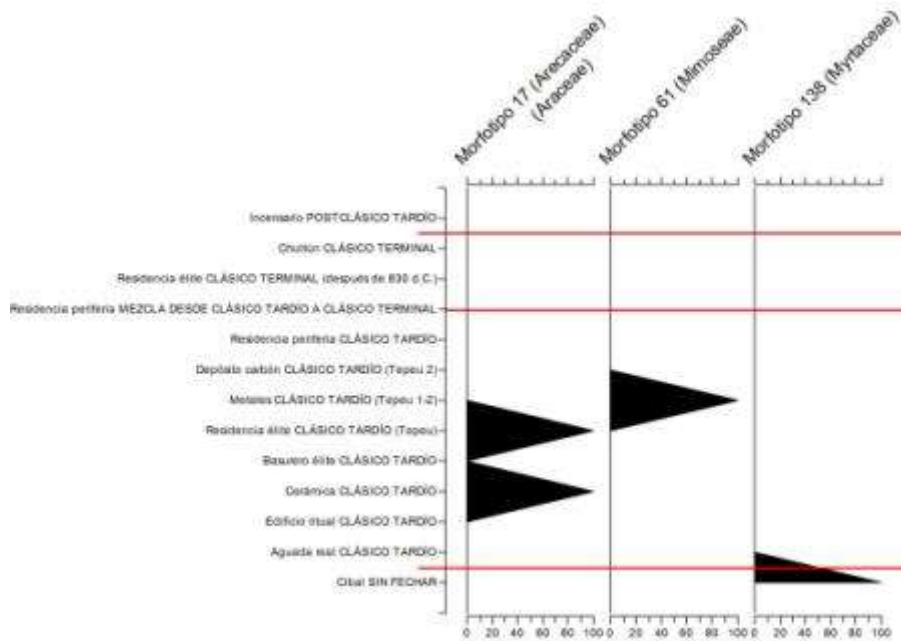


Figura 9.51 Distribución de plantas superiores que se pudieron identificar a través del tiempo (Gráfica por C. Guirola)

Conclusiones y recomendaciones

La principal conclusión es la afirmación de la hipótesis de investigación, la cual sugiere que sí es posible realizar investigaciones arqueobotánicas de restos microfósiles en Guatemala. Aunque es cierto que los restos microbotánicos se ven afectados por las condiciones ambientales y arqueológicas, sí fue posible recuperar y aislar granos de polen y esporas mediante acetólisis y otras técnicas químicas que son accesibles en cuanto a su costo. Esto se debe también a que fue una investigación multidisciplinaria, ya que sin la ayuda de otras ramas de la ciencia no hubiera sido posible realizarla, especialmente en los campos de Biología y Química.

Hay que recordar que ésta fue una investigación donde se propone una metodología para el área, y al ser la primera en la región se pudo llegar a otras conclusiones que se mencionan a continuación:

- La deterioración de las muestras es un factor esencial, el cual depende de muchos factores, como el caso de los ciberales, donde se creía que se encontrarían mayor diversidad de especímenes por ser cuerpos de agua, y ocurrió lo contrario. Pearsall (2004) menciona que cuerpos de agua que no mantienen un nivel constante, y pueden estar secos por temporadas, no serán los ambientes adecuados para la preservación de algunos microfósiles.

- Según Fuller y Weber (2005), esta investigación posee especímenes de grado 2, ya que son especímenes presenciales, porque su contexto si es bien definido, y en la mayoría si se puede dar un fechamiento aproximado. Sin embargo, no se tiene un número representativo de las mismas como para proporcionar análisis estadísticos de morfotipos. Y no se cuenta con un análisis de vegetación contemporánea de La Corona, para poder hacer un análisis comparativo.

- En cuanto a la identificación de especímenes, sólo una pequeña fracción de estos se pudieron identificar a nivel de familia y quizá género: 3 esporas de hongos, 3 esporas de helechos y 4 tipos de granos de polen de plantas superiores. Dentro de las limitantes para la identificación es que no se cuenta con una base de datos de granos de polen y esporas propios de la región de Petén, tanto actuales como Prehispánicos.

- No se conoce mucho sobre la identificación de esporas de hongos, sólo se pueden tener algunas ideas de qué tipo de hongos eran debido al contexto que se encontraron. Las esporas que se encontraron pudieron haber sido de hongos comestibles, hongos que se encuentran en ciertas plantas, o que pudieron haber

brotado en los restos de las vasijas cerámicas y metates, después de ser utilizados. También existe la posibilidad que los hongos pudieran ser alucinógenos, y ser empleados dentro de las festividades (Guzmán 2003).

- La Estructura 13R-10 fue la que presentó mayor número de especímenes; se pudo identificar un tipo de helecho de la familia Polypodiaceae; esporas del hongo *Tetrasetites*; especímenes de polen de la posible familia Araceae o Palmae; y un tipo de polen de pino. La preservación de estos morfotipos quizá se deba al grado de conservación del mismo, o quizá al uso que se le dio al área. Con esta investigación se puede reforzar la idea que este edificio se empleaba para la preparación de alimentos u otros elementos que eran utilizados para festines u otras actividades.

- El pino ejemplifica el potencial de este tipo de análisis hasta cierto punto, ya que si bien pudo ser identificado, hace falta saber si era pino de procedencia local o de otras partes de la región. También hace falta saber con certeza si el polen llegó por medio de dispersión del viento, o por dispersión humana, lo cual apoyaría la idea que el pino se comerciaba entre los sitios, o si se llevaba para otros fines, como rituales; como es el caso del incensario Postclásico encontrado en la Estructura 13Q-2, lo que apoya la idea de peregrinajes a La Corona, tiempo después de su abandono.

- Por último, existe la idea de que las plantas identificadas pudieron haber sido cultivadas en el sitio, a través de la implementación de jardines forestales que tenían los mayas durante el período Clásico (Ford y Nigh 2009; Turner y Miksicek 1984). Con ello, no hay que descartar la idea que ciertos productos pudieron provenir de otras regiones, especialmente porque La Corona se encontraba en un punto estratégico de las Tierras Bajas, ya que se encontraba en la ruta de intercambio entre las Tierras Altas y Tierras Bajas (Canuto y Barrientos 2013).

En cuanto a las recomendaciones, la primera sería tomar muestras de polen y esporas modernas o contemporáneas del lugar de estudio. Esto debe incluir una calibración de los ambientes que se investigarán, al igual que de los contextos materiales. Para la toma de muestras modernas se recomienda usar los métodos de Avendaño (2012), ya que explica paso a paso cuál es la mejor manera de tomar muestras modernas de polen y esporas. Es recomendable también tomar muestras de las plantas que se encuentran en el área, lo cual ya se dio inicio, aunque no fuera tan útil para este trabajo, sirve como punto de partida para la base de datos.

Por último, en conjunto con la toma de muestras de plantas, hacer un mapa de la vegetación para tener una mejor idea de cómo es la distribución de las plantas en el área.

Si se toman en cuenta las recomendaciones anteriores, se puede tomar la presente investigación como un punto de partida y poder aplicar este tipo de investigación a futuros proyectos en el sitio arqueológico La Corona, así como otros sitios de la región.

CAPÍTULO X

ANÁLISIS DE RESTOS DE FAUNA DEL ENTIERRO 6 DE LA CORONA

Diana Fridberg

Introducción

La mayor parte de entierros excavados en La Corona hasta el momento no han tenido restos de fauna abundantes. El Entierro 6 de La Corona es notable por su relativa abundancia de restos de vertebrados (número de especímenes identificables, NEPI=891). El análisis zooarqueológico de la fauna recuperada fue realizado para entender mejor el contexto del entierro y elucidar los apuntalamientos ideológicos de dicho evento. En 2012, se exportó un lote de muestras de huesos de fauna para análisis en el laboratorio zooarqueológico de la Universidad Washington en St. Louis, Missouri (Estados Unidos). Debido a la importancia de esta tumba en la historia de La Corona, los restos fueron sometidos a inspección detallada para maximizar la cantidad de información conocida de estos animales.

El Entierro 6 fue localizado en la Estructura 13R-2 en el Grupo Coronitas, y fue excavado en 2011 por Joanne Baron. El entierro fue colocado en una cámara en forma de bota, de 2.75 x 1.5 m, cortada en la roca madre y revestida con estuco y piedras (Baron 2013: 274). En la antigüedad, la tumba fue tapada con un techo de madera con un petate tejido encima, y rellena con una alta densidad de lascas de obsidiana y lítica (Baron 2013: 274-5).

La entrada de agua perturbó el contexto de la tumba y afectó negativamente la conservación de los restos de animales y humanos. Por esta razón, fue necesario estabilizar los restos de fauna para análisis. Al llegar al laboratorio de la Universidad Washington en St. Louis, cada espécimen fue limpiado cuidadosamente utilizando cepillos secos. Debido a su extrema fragilidad y friabilidad, los huesos fueron consolidados utilizando una solución diluida de acetato polivinílico (PVA) libre de ácido. Los fragmentos de huesos de cada lote fueron evaluados para reconstrucción, y al ser encontrados fueron pegados utilizando *acryloid B-72*. Tanto el PVA como el *acryloid B-72* son agentes estables, reversibles, libres de ácido utilizados ampliamente para la conservación de huesos en contextos arqueológicos y paleontológicos (Johnson 1994;

Sullivan y Cumberland 1993). Después del análisis, todos los especímenes fueron empacados para almacenaje a largo plazo utilizando bolsas de plástico de calidad de archivo y papel para envolver libre de ácido. Estos materiales ayudarán a proteger los especímenes delicados de cualquier degradación.

Los restos limpios y estabilizados fueron identificados utilizando referencias publicadas y no publicadas (Chiasson 1962; Hoffstetter y Gasc 1969; Olser 1968; Reynolds 1913; Russel y Bauer 2008), consultas con zooarqueólogos en la Universidad Washington en St. Louis y herpetólogos en el Field Museum de Historia Natural en Chicago, Illinois. Asimismo, se hicieron comparaciones con especímenes en ambas instituciones. A pesar de numerosas reconstrucciones, la naturaleza fragmentaria y poco conservada del material de fauna hizo difícil el análisis. La identificación de especies aún no ha sido realizada, aunque podría ser posible con especímenes comparativos adecuados de fauna de Petén. La consulta con herpetólogos está en proceso y fotografías de fragmentos de huesos potencialmente diagnósticos han sido tomadas para que los esfuerzos de identificación puedan continuar sin alterar más los restos.

El análisis preliminar reveló la presencia de tortuga y cocodrilo en adición a cantidades abundantes de moluscos de agua fresca y cantidades limitadas de moluscos marinos. La inclusión de estos taxones acuáticos evoca al inframundo (Baron *et al.* 2011). Un estudio zooarqueológico más exhaustivo de fauna vertebrada fue realizado para maximizar la información recuperada de los restos frágiles, en particular para evaluar si eran posibles identificaciones más específicas, determinar la integridad de cuerpos de animales incluidos en los bienes funerarios, y detectar la presencia de otros taxones.

La Muestra de Fauna

La mayoría de especímenes de huesos recuperados del Entierro 6 fueron identificables a nivel de clase (Tabla 10.1 y 10.2). Una porción grande de los huesos recuperados fue identificada firmemente como clase Reptilia (NEPI= 425, 47.7% del total de NEPI). Números pequeños de mamíferos (NEPI=3) y restos de peces (NEPI=4) fueron recuperados, con el resto (NEPI=459, 51.5% del total de NEPI) de la muestra consistiendo en huesos no identificables, muchos de los cuales fueron similares

morfológicamente a restos identificados de reptiles, pero estaban demasiados fragmentados para hacer una distinción firme.

Tabla 10.1 Cuantificación de restos por clase

Clase	Número de especímenes identificados
Peces	4
Reptiles	446
cf. Reptiles	126
Mamíferos	3
No identificables	312
<i>Total:</i>	<i>891</i>

Tabla 10.2 Cuantificación de restos por lote

Contexto (Lote)	Número de especímenes identificados
CR15A-1a-4	27
CR15A-1a-5	3
CR15A-1a-6	18
CR15A-1a-18	79
CR15A-1a-19	5
CR15A-1a-20	34
CR15A-1a-21	4
CR15A-1a-22	2
CR15A-1a-25	7
CR15A-1a-27	11
CR15A-1a-31	21
CR15A-1a-32	451
CR15A-1a-33	8
CR15A-1a-34	76
CR15A-1a-36	16
CR15A-1a-39	13
CR15A-1a-41	44
CR15A-1a-45	18
CR15A-1a-50	52
CR15A-1a-53	2
<i>Total:</i>	<i>891</i>

Una cantidad muy pequeña de peces con huesos (Osteichthyes: Actinopterygii) y mamíferos fueron recuperados. Los restos de peces solamente fueron identificados a nivel de clase debido a la falta de una muestra comparativa robusta de Petén. Sin embargo, la identificación taxonómica puede ser posible en el futuro. Los restos de mamíferos presentes fueron de individuos pequeños, incluyendo una mandíbula de musaraña (Scoriomorpha) (Número Mínimo de Individuos=1), y una tibia y mandíbula de roedor (Rodentia) (Número Mínimo de Individuos=1), que es probable que representen especímenes intrusivos (Figura 10.1). Por el momento no se puede determinar el momento de entrada de estos animales. A pesar de estar en malas condiciones en relación a los peces pequeños bien conservados y restos de roedores, los restos de reptil fueron más abundantes (Tabla 10.3).

Tabla 10.3 Taxones representados

Taxón	Número de especímenes identificados
Peces	
Osteichthyes	4
Reptiles	
Reptilia sp.	193
Crocodilia sp.	222
Testudines sp.	144
Mamíferos	
Rodentia	2
Scoriomorpha	1
NID	
No identificable	325
<i>Total:</i>	891

Restos de Tortuga del Entierro 6

La mayoría de los restos de tortuga recuperados corresponden a los aspectos dorsales y ventrales del escudo, caparazón y plastrón. Un húmero y un fragmento de pelvis también estuvieron presentes. Un mínimo de tres tortugas están presentes basado en la reconstrucción de los fragmentos de caparazón y plastrón. A pesar que fue posible hacer varias reconstrucciones, los escudos representados están en gran parte incompletos

y consisten en su mayoría de escudos periféricos y costales. El ejemplo más completo está ilustrado en la Figura 10.2. Todos los escudos representados son de tortugas pequeñas. A pesar que las identificaciones fueron hechas a nivel de orden, Testudines, es posible que se puedan realizar distinciones taxonómicas mayores en el futuro.



Figura 10.1 CAT. 01188. CR15A-1a-25. Ejemplo de fauna intrusivo (tibia izq. de roedor)
(Foto por D. Fridberg)



Figura 10.2 Caparazón de tortuga reconstruida del Entierro 6 (Foto por D. Fridberg)

Restos de Cocodrilo del Entierro 6

Los restos de cocodrilo recuperados pertenecen al cráneo y postcráneo de un individuo. Húmeros y fémures emparejados están presentes. Fragmentos de cráneo, combinados con la presencia de vértebras de las series cervicales, torácicas y caudales, sugieren que el cocodrilo fue enterrado completo. 75 osteodermos, o escamas, fueron recuperadas. Éstas fueron comparadas con descripciones publicadas de morfología de escamas (Brazaitis 1989), y piel conservada de cocodrilo Morelet en el Field Museum de Historia Natural, y parecen corresponder a las regiones laterales y dorsales (Figura 10.3).

Hay dos especies de cocodrilo consideradas nativas en los ríos de Petén: el Cocodrilo Americano (*Crocodylus acutus*) y el cocodrilo Morelet (*Crocodylus moreletti*). Este último es mucho más abundante en la región hoy en día, con áreas de crianza grandes localizadas en el Parque Nacional Laguna del Tigre (Castañeda *et al.* 2000). Desafortunadamente, los restos del Entierro 6 están muy fragmentados y faltan puntos de referencia anatómicos cruciales utilizados para distinguir a las dos especies. Los fragmentos más grandes de cráneo que perduran, como un fragmento de premaxilar (Figura 10.4), se parecen más a la morfología de *C. moreletti*.

En adición a la identificación taxonómica del cocodrilo, se hizo un intento para estimar su tamaño en vida. Los especímenes de cráneo y huesos de extremidades fueron comparados directamente con cocodrilos americanos de tamaño conocido en el Field Museum de Historia Natural en Chicago. Adicionalmente, se tomaron medidas del fragmento de premaxilar que fueron comparadas a imágenes publicadas a escala de cráneos de cocodrilo Morelet (Neill 1971:357). El largo total fue calculado utilizando el método de Platt *et al.* (2009) para estimar el largo total del largo del cráneo. Ambos métodos dieron un largo aproximado de 2 m para el cocodrilo del Entierro 6. Aunque los métodos no son ideales e incorporan datos de cocodrilos americanos, al igual que cocodrilos Morelet, este estimado modifica la interpretación previa que este era un individuo pequeño (Baron *et al.* 2011). En vida, el cocodrilo tenía mayor longitud que el humano con el que fue enterrado.



Figura 10.3 Osteoderms de cocodrilo del Entierro 6 (Foto por D. Fridberg)



Figura 10.4 Fragmento de premaxilar de *Crocodylus* sp.
(Foto por D. Fridberg)

Conclusión

El análisis de fauna del Entierro 6 reveló la presencia de un mínimo de tres tortugas, un cocodrilo y un número indeterminado de peces. La consolidación y reconstrucción de fragmentos de huesos fue necesaria para maximizar la cantidad de información que podía ser recuperada de los restos de fauna. A pesar de la mala conservación y la falta de material comparativo adecuado, la fauna provee conocimiento del mundo ideológico de la élite de La Corona.

La inclusión de huesos de fauna en entierros y otros espacios rituales representa una elección consciente. En el Entierro 6, la utilización de fauna acuática escenifica el entierro como un lugar acuático, y la falta de fauna terrestre enfatiza dicho ambiente. Este estudio revela que el humano del Entierro 6 fue acompañado de un mínimo de tres tortugas, un cocodrilo, moluscos y peces en su viaje al inframundo. El individuo fallecido entrando al agua fue representado simbólicamente por medio de la colocación del cuerpo en un ambiente acuático creado a través del uso de taxones dependientes del agua. Los datos de fauna ayudan a demostrar la representación de actividades rituales directamente en línea con evidencia iconográfica y textual de creencias mayas antiguas de la muerte y cosmología. De esta manera, el Entierro 6 representa una expresión física importante de un tema representado repetidamente en iconografía: la sumersión de los difuntos en el inframundo acuoso.

**PROYECTO REGIONAL ARQUEOLÓGICO LA CORONA:
RESULTADOS GENERALES Y CONCLUSIONES DE LA TEMPORADA 2013**

Marcello Canuto y Tomás Barrientos

Introducción

Las investigaciones en el sitio La Corona han logrado contribuir al entendimiento del ente político más grande y complejo del periodo Clásico en las Tierras Bajas—el reinado de *Kaanal*. Desde el punto de vista de La Corona, se ha podido sugerir de manera general que durante el siglo VII d.C., la dinastía en Calakmul dominó el territorio sur de las Tierras Bajas Mayas a través de líneas o rutas de comunicación y comercio ancladas por sitios aliados y subordinados (Canuto y Barrientos 2013b). Dentro de este contexto, las investigaciones de PRALC en 2013 han logrado ampliar el entendimiento del papel regional que jugó este sitio.

La creciente importancia de La Corona en la región se logra ver en cambios internos del sitio. Varios modelos de la organización socio-política del periodo Clásico Maya han sugerido que la interrelaciones de la clase élite—sea de índole comercial, bélico, o de parentesco—tuvieron un impacto mínimo en las vidas cotidianas de la población Maya (véase De Montmollin 1995; Fox y Justeson 1986; Sanders 1981, 1989; Sanders y Webster 1988). Sin embargo, los datos sugieren que la ruta a través de La Corona propició grandes transformaciones políticas, económicas, y religiosas en el sitio durante el Clásico Tardío (Canuto y Barrientos 2013a). Es importante mencionar que La Corona no es único en este cambio. Uxul, otro sitio parecido en sus conexiones con *Kaanal*, evidencia cambios radicales durante el mismo periodo; en este caso, hasta los espacios arquitectónicos del sitio fueron modificados para que el sitio apareciera como una copia en escala menor de Calakmul (Grube *et al.* 2012). Aunque este tipo de transformación no se dio en La Corona, las investigaciones han logrado importantes avances en la identificación de cambios arquitectónicos que reflejan las transformaciones socio-políticas generadas por esta ruta.

En esta Temporada 2013 se demostró con más precisión el rol regional que jugó La Corona en la red de *Kaanal*, además de mostrar como el sitio se modificó físicamente en reacción a su inclusión en esta red regional.

La Corona en la ruta *Kaanal*

En cuanto a su papel regional, es importante mencionar que la cadena de sitios a lo largo de la ruta todavía se está definiendo. Los hallazgos de este año sugieren como funcionó La Corona en esta ruta (Figura 11.1).

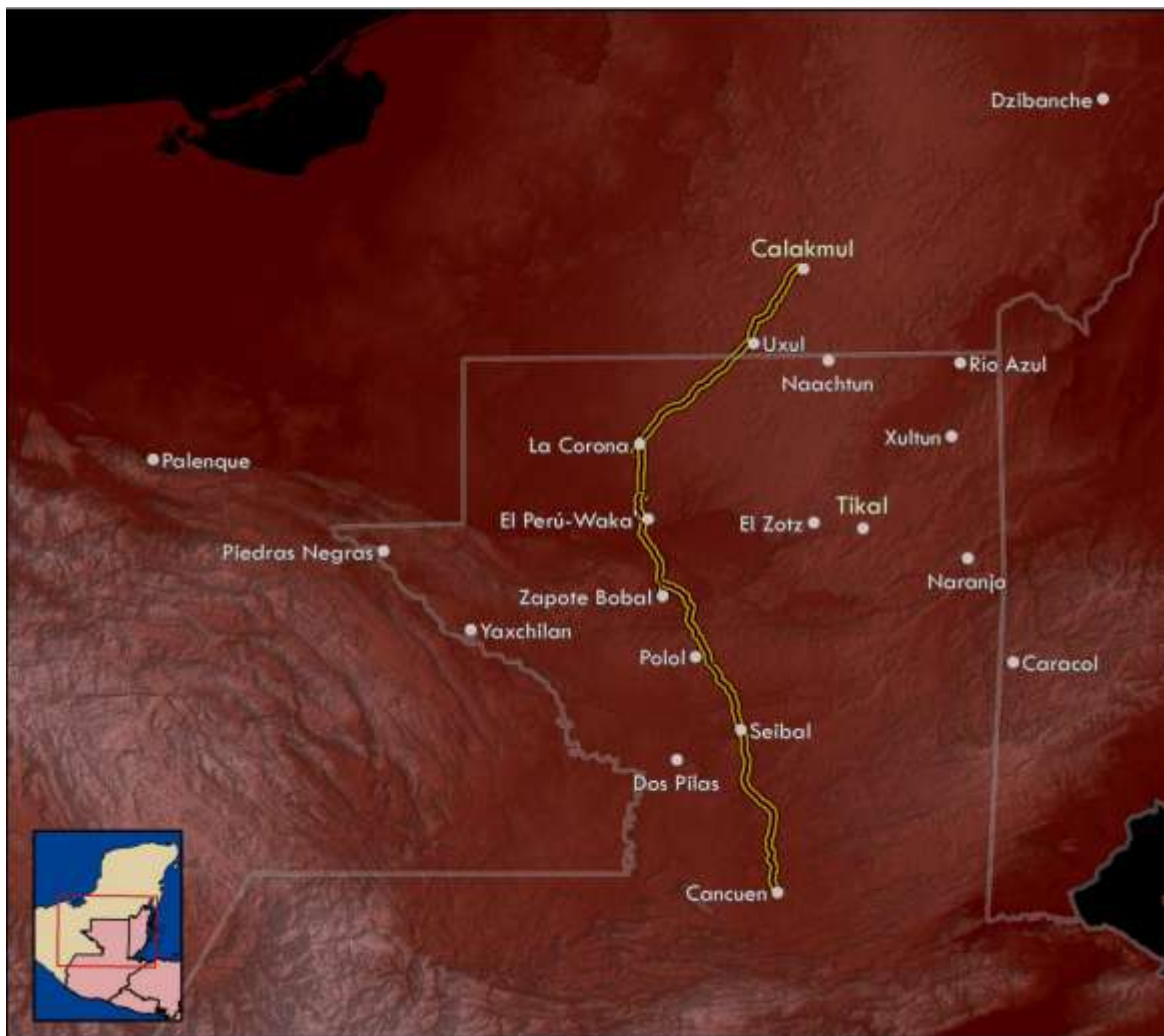


Figura 11.1 Mapa de la supuesta ruta entre Calakmul y Cancuen (Mapa por M. Canuto)

Las Guacamayas

Todavía existe un gran vacío de conocimiento científico al norte de La Corona, dentro del territorio de Guatemala. De hecho, la distancia entre La Corona y Uxul, otro conocido aliado de *Kaanal*, mide más de 55 km en línea recta, donde bien cabría otro sitio a lo largo de la ruta. Es posible que el punto clave faltante de la “ruta *Kaanal*” sea el sitio conocido como Las Guacamayas, ubicado a 25 km al norte de La Corona (Figura 11.2).

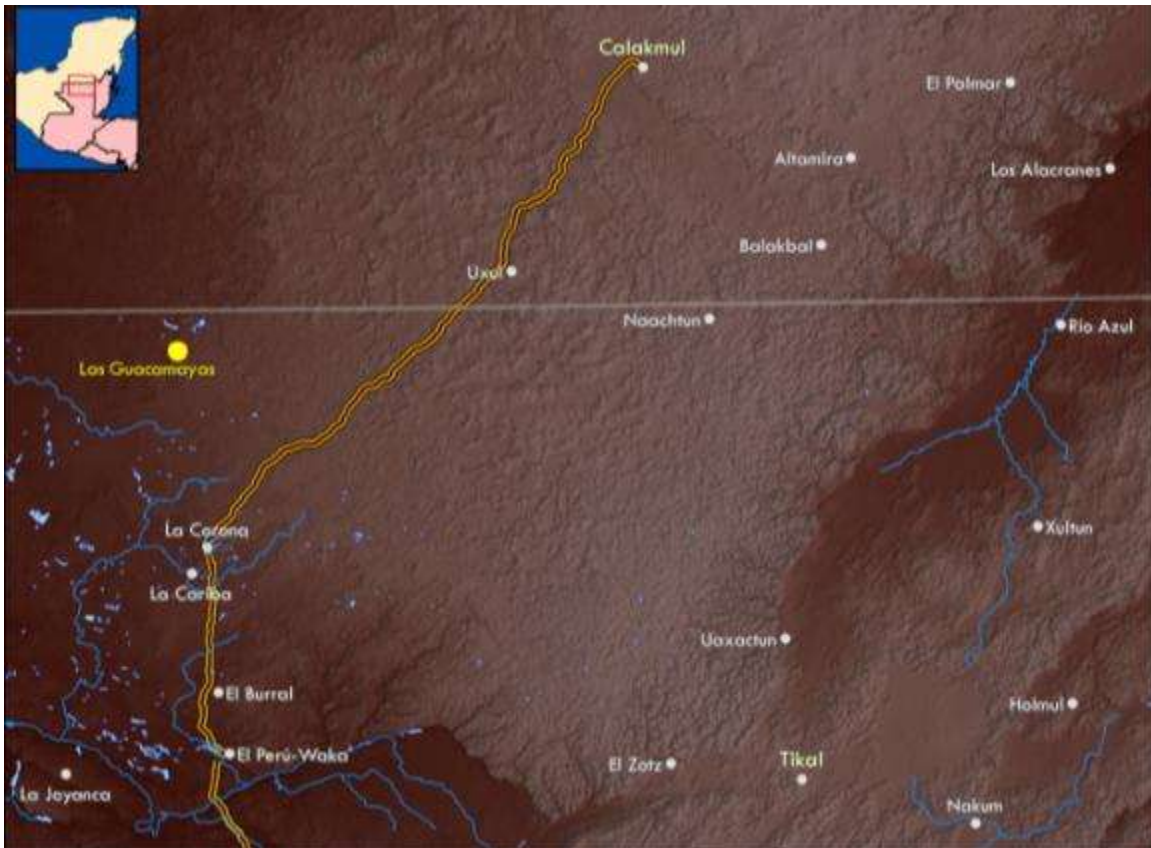


Figura 11.2 Mapa de la ruta *Kaanal* y la ubicación de Las Guacamayas (Mapa por M. Canuto)

Debido a las recientes depredaciones alrededor del sitio por asentamientos ilegales, todavía no se ha podido armar una expedición científica a la zona. Sin embargo, las fotos aéreas muestran un sitio grande con varios conjuntos arquitectónicos de escala monumental. Se estima que la estructura principal mide más de 20 m de altura, por lo que parece ser un sitio mayor que La Corona (Figura 11.3). Es obvio entonces que fue un

centro importante, pero vale la pena aclarar que aún no se sabe mucho de su extensión, cronología y cualquier otra información que defina su papel en la ruta.



Figura 11.3 Estructura principal de Las Guacamayas (Foto por R. Balas, cortesía de WCS)

No obstante esta carencia de datos, es importante notar que Las Guacamayas se localiza en el límite occidental de la altiplanicie cárstica central de Peten. Al igual que *Waka'* y La Corona, este sitio pudo controlar una zona de ríos, sibales y elevaciones cársticas de buen drenaje, que constituyen un corredor de tierra alta propicio para asentamiento y entrepôts comerciales. Además, esta zona queda a gran distancia de la región central controlada por Tikal y sus aliados.

Por su ubicación en un lugar clave, es muy probable que Las Guacamayas jugara un papel parecido a La Corona. Por lo tanto se espera llegar al sitio pronto para efectuar una investigación preliminar y ampliar la hipótesis de la “ruta de los reyes *Kaanal*.”

Conexiones con La Florida

En las investigaciones del 2013, en las excavaciones de dos contextos distintos, se halló evidencia de una relación política entre La Corona y el sitio La Florida (antiguamente nombrado *Namaan*), ubicado en la aldea moderna de El Naranjo-Frontera. La evidencia vino en la forma de dos distintas vasijas de cerámica con textos jeroglíficos (Figuras 11.4 y 11.5). Es probable que estos dos objetos eran regalos entre élites de los dos centros quienes probablemente mantuvieron relaciones de aliados.

En el primer caso (Figura 11.4), en un relleno del Palacio en La Corona que fecha a finales del séptimo siglo d.C., se hallaron los restos de una tapadera de una probable vasija trípode de estilo Teotihuacano. Esta tapadera tenía pintado 12 glifos en 4 columnas. El texto incompleto tiene una secuencia larga de nombres personales y títulos. El último glifo de la primera columna y el primer glifo de la segunda columna se leen na-MAAN-ni AJAW, *namaan ajaw*, ósea el glifo emblema del sitio La Florida. Los siguientes dos glifos representan el nombre *Siyaj Chan (K'awiil)*, quien es un gobernante conocido de La Florida, también nombrado en la vasija K1670. Curiosamente, en esta segunda vasija, este rey también está nombrado *k'uhul chatahn winik*, un título hallado en La Corona, Uxul y Calakmul (D. Stuart, comunicación personal).

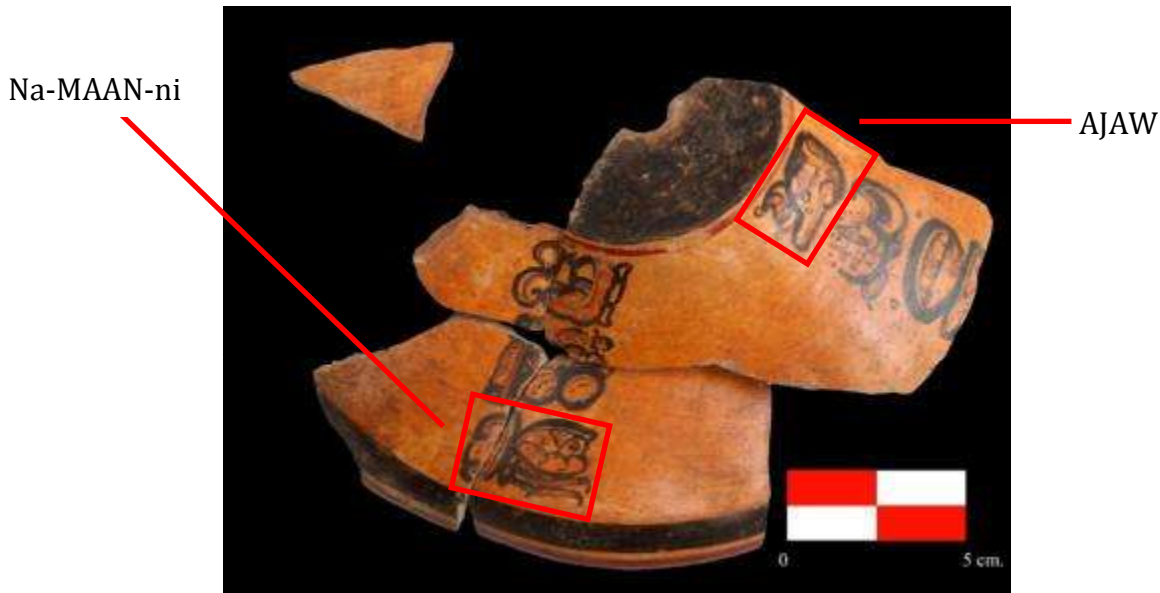


Figura 11.4. Tapadera de vaso proveniente del Palacio (Foto por E. Bustamante, lectura por D. Stuart)

En el segundo caso (Figura 11.5), en otra ofrenda de vasijas cerámicas ubicado en una plataforma de función ritual (Estra. 13R-10) en el conjunto Las Coronitas, se halló un plato—de Fase Tepeu 1 (Caroline Parris, comunicación personal)—con un texto jeroglífico. Aunque el texto contiene varios elementos típicos de una Secuencia Primaria Estándar, la palabra utilizada en la frase posesiva “su plato”, *yajaljib*, es muy rara, y solamente se ha documentado en ejemplos de platos provenientes de La Florida (D. Stuart, comunicación personal) (Figura 11.6).



Figura 11.5. Plato proveniente de la Ofrenda 1, Estructura 13R-10 (Foto por J. Ponce, lectura por D. Stuart)



Figura 11.6. Platos de “estilo La Florida” proveniente de una colección privada en Bruselas (izquierda) y de Pomoná (derecha) (Fotos cortesía de D. Stuart)

Ubicado a lo largo del San Pedro Mártir, La Florida era un puerto importante para el comercio fluvial (Morales 1998). El sitio, ubicado hoy en el pueblo de El Naranjo-Frontera, está compuesto por varios conjuntos arquitectónicos monumentales y varios monumentos esculpidos. De su historia, destaca la alianza con Piedras Negras a través del matrimonio del Gobernante 3 con la Señora *K'atun Ajaw*, así como un conflicto con Yaxchilán.

Por la ubicación de La Corona en relación con La Florida, es muy posible que la conexión documentada entre los dos sitios refleje la expansión de la influencia *Kaanal* no solamente hacía el sur y el Río Pasión, sino también hacía el oeste a lo largo del río San Pedro. Por lo tanto, esta conexión sugiere que La Corona era más que un punto a lo largo de una ruta; posiblemente era el punto donde convergía una red de rutas asociadas con el reino *Kaanal* (Figura 11.7).

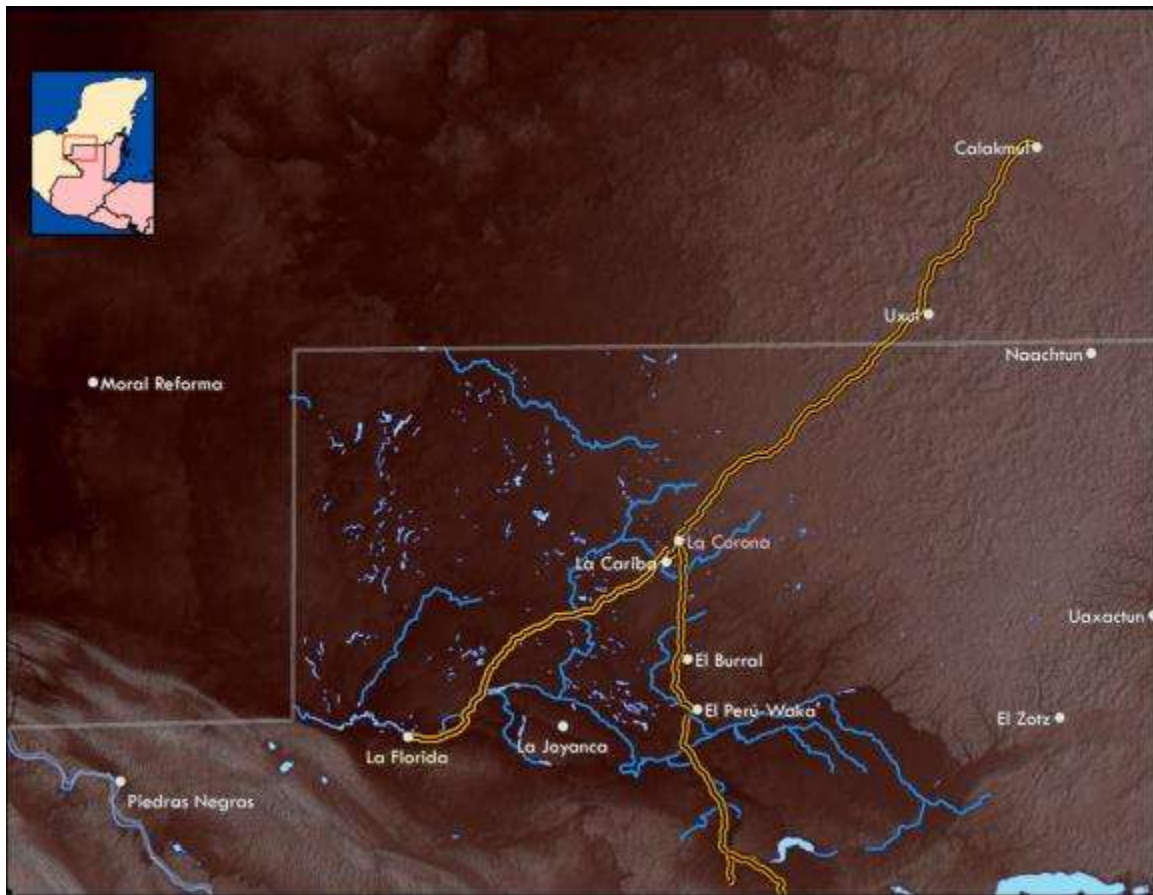


Figura 11.7 Mapa de la ruta *Kaanal* y su posible conexión con La Florida (Mapa por M. Canuto)

Cambios Arquitectónicos

Aparte estas conexiones regionales más amplias, nuevas investigaciones en La Corona se dirigieron a estudiar cambios arquitectónicos en puntos clave del centro monumental, para relacionarse con los grandes cambios políticos del sitio. Se trabajó en varios conjuntos arquitectónicos monumentales – el Palacio, la Plaza Central, y Las Coronitas (Figura 11.8).

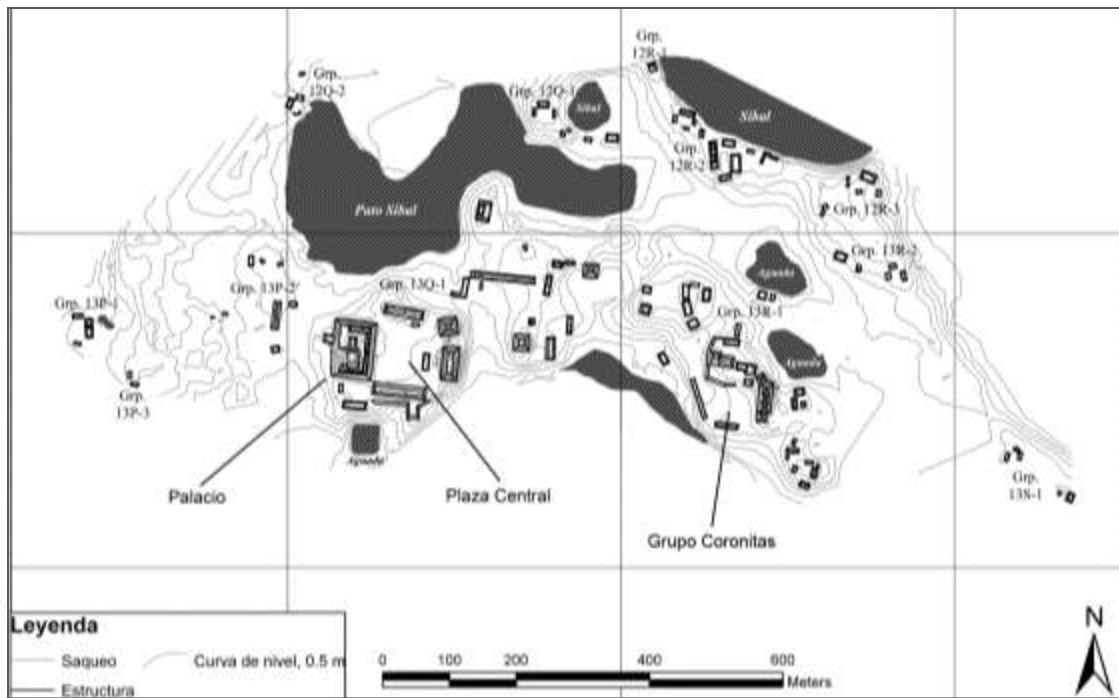


Figura 11.8 Mapa de La Corona indicando grupos trabajados en 2013 (Mapa por R. Guzmán)

Investigaciones en el Palacio

Desde la Temporada 2008 se ha llevado una excavación sistemática de la Estructura 13Q-4 y sus correspondientes superestructuras, que en conjunto es conocida como “El palacio de La Corona”. Como en otros casos en el Área Maya, este complejo arquitectónico tipo Acrópolis parece corresponder a un conjunto habitacional donde convergió la vida cotidiana con la vida religiosa de sus habitantes; pero, siendo residencia de un grupo de élite, encerró también en él varios de los aspectos socio-económicos y socio-políticos del sitio.

De esta manera se define que el reconocimiento de las distintas áreas dentro de un palacio es vital para el entendimiento de éste. Uno de los mayores retos en este sentido es la identificación de los cambios en el uso de espacios a través del tiempo. Puesto que los palacios fueron construcciones usadas para diversas actividades residenciales, políticas y religiosas, éstos se vieron constantemente modificados de acuerdo a las necesidades y gustos de cada gobernante y fueron susceptibles a influencias ideológicas y cambios sociopolíticos. Por lo tanto, se puede considerar que su arquitectura es una representación material de estos aspectos (Webster 2001), cuyos cambios se materializaron en la consecución de etapas constructivas y modificaciones dentro de las mismas.

De esta manera las excavaciones llevadas a cabo en la Estructura 13Q-4 (ver Coronado-Ruiz 2009; Padilla 2010, 2011; Padilla y Roche 2012; Bustamante 2013; Padilla y Bustamante 2013) han estado dirigidas al estudio y entendimiento de los espacios palaciegos y sus posibles funciones.

Excavaciones en la parte sur del Palacio

En el lado sur del palacio, investigaciones se enfocaron en el reconocimiento de la secuencia cronológica de las etapas constructivas. Como resultado se han definido al menos 4 etapas, nombradas Canario, CocoChan, Halcón y Colibrí/Halcón (para más información de esta secuencia ver Padilla y Bustamante 2013). En base a estas investigaciones se ha podido identificar para la transición de la Fase CocoChan a Halcón, un cambio radical en la utilización del espacio, y posiblemente también en la función del palacio. Por el material cultural relacionado a estas dos fases, se piensa que CocoChan corresponde a la primera mitad del séptimo siglo, quizás concluyendo durante el gobierno del importante rey *Chakaw Nahb' Chan*, quien efectuó otros grandes cambios en la arquitectura del sitio.

En Colibrí/Halcón, última fase constructiva del palacio, se puede observar como sobresale una plataforma piramidal conocida como Superestructura E, que resalta unos 5 metros sobre el resto de edificaciones. Frente a la Superestructura E se encuentra un pequeño patio alargado, de al menos 4 metros de ancho que separa la Superestructura E de la Superestructura A. Esta última cuenta con múltiples cuartos y entradas, por lo que seguramente sirvió para actividades de presentación (para una descripción más detallada

ver Padilla y Bustamante 2013). Por su parte, la Superestructura E también pudo haber estado asociada con actividades de carácter público, dada su prominencia visual.

La presencia de una plataforma piramidal frente a un patio pequeño y una estructura de presentación, crea un patrón espacial que contrasta fuertemente con la disposición de edificios de la fase anterior, Cocochoan, donde se han excavado tres edificaciones que conforman un patio cerrado de mayores dimensiones (Figura 11.9).

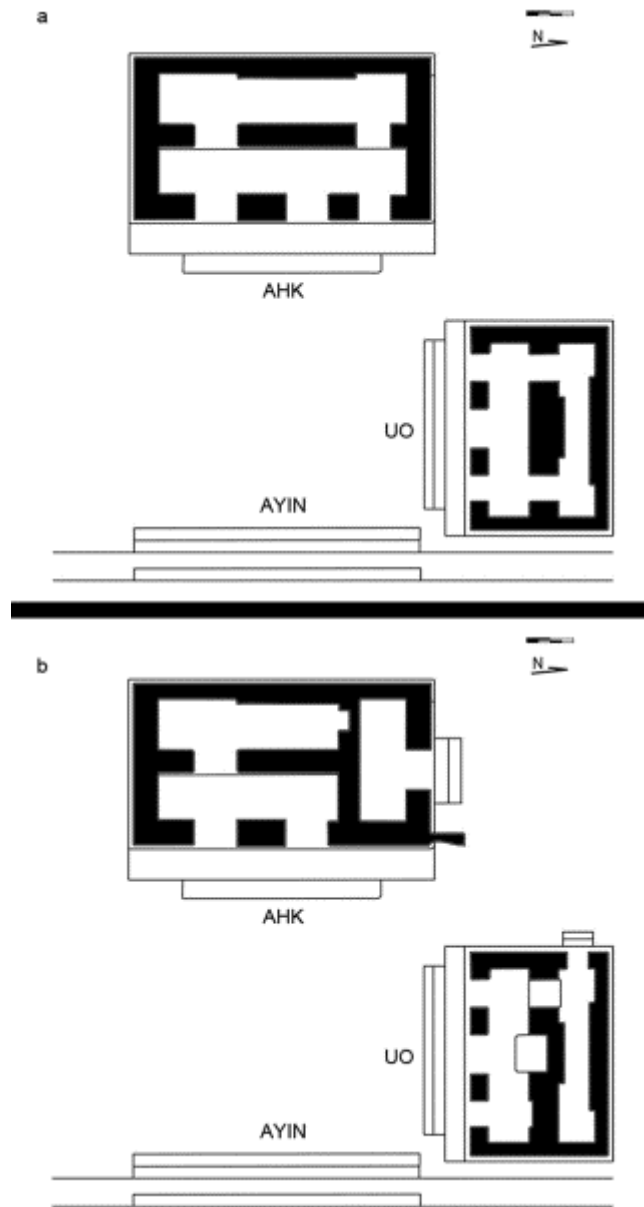


Figura 11.9 Reconstrucción de los edificios de la Fase Coccochan (Mapas por E. Bustamante)

Bajo la Superestructura A se definieron los restos del Basamento Ayin, que delimita el patio de la Fase Cocochan en su lado este, por lo que ambos edificios cumplieron funciones similares. Bajo la Superestructura E, en el límite oeste del patio, se encontró la Subestructura Ahk, la cual carece de banquetas, nichos u otros elementos arquitectónicos internos. Al norte, la Subestructura Uo cierra la plaza en ese lado, y no se sabe si existió una estructura en el lado sur. La disposición del patio cerrado de la Fase Cocochan, posiblemente se encuentre asociada con actividades de carácter privado, que por medio de una estructura de presentación, Ayin, emergían al carácter público de la antigua ciudad.

Hacia finales de la Fase Cocochan (Figura 11.9a) se evidencian una serie de trabajos para modificar la distribución de los espacios interiores de las estructuras y la comunicación entre éstos. En la Estructura Ahk se pudo observar que la entrada lateral norte fue sellada, junto con la construcción de una pared que corta ambos cuartos. Como resultado se creó un tercer cuarto con entrada desde la Fachada Norte de la estructura. Paralelamente a la construcción de este cuarto se agregó una pared a la Fachada Este para alargarla.

Mientras tanto en la Estructura Uo se sellaron los pasos internos entre ambos cuartos y se abrió una nueva entrada al cuarto posterior desde la Fachada Oeste de la estructura. Así mismo se construyó un pequeño trono/banqueta frente a la entrada central del cuarto frontal, pero puesto que el espacio en este cuarto es muy reducido, se rompió la pared central para adosar el trono/banqueta.

Como resultado de todas estas modificaciones a ambas estructuras, se creó un nuevo espacio, al noroeste del grupo, que no sólo restringió el paso sino también buscó romper con los ángulos de visión desde el patio central con la construcción de la pared adosada a la Estructura Ahk. Es decir, se creó una plaza de un carácter aún más privado, pero que aún conectaba con las actividades llevadas a cabo en la plaza central de la Fase Cocochan.

Parece ser que con la cancelación del patio de la Fase Cocochan hubo una migración del carácter privado del palacio desde el sur a sectores más al norte, la cual posiblemente refleja un cambio de socio-político en la elite de La Corona.

Excavaciones en el lado norte del Palacio

En el lado norte del Palacio, las investigaciones anteriores solamente se habían enfocado en la limpieza e investigación de algunas trincheras de saqueadores. Estas investigaciones determinaron que la última etapa de la arquitectura palaciega era de alta calidad con unos toques decorativos muy finos (Coronado-Ruiz 2009). Investigaciones del 2013 se enfocaron en la Estructura 13Q-4F, una estructura que forma el patio hundido del conjunto habitacional de la última fase del Palacio. Esta estructura es la más alta del conjunto y no ha sido saqueada. Por ser preliminares, estas investigaciones produjeron resultados sincrónicos, relacionados exclusivamente con la última fase constructiva.

La Estructura 13Q-4F fue construida en el Clásico Tardío, con remodelaciones y una ocupación que llegó hasta el Clásico Terminal. La Estructura 13Q-4F probablemente tuvo funciones domésticas y administrativas y su arquitectura es muy elaborada con evidencia de bóveda de arco falso. El edificio (Figura 11.10) tiene dos cuartos que se acceden por 3 puertas. Los cuartos miden 13 m de largo, y 2.6 m y 2 m de ancho. Su conservación fue excelente, con muros que se elevan por más de 2 m de altura. Al fondo del eje central del edificio se encontró una banqueta larga con respaldo, y su ubicación prominente en el palacio sugiere que podría ser un trono.

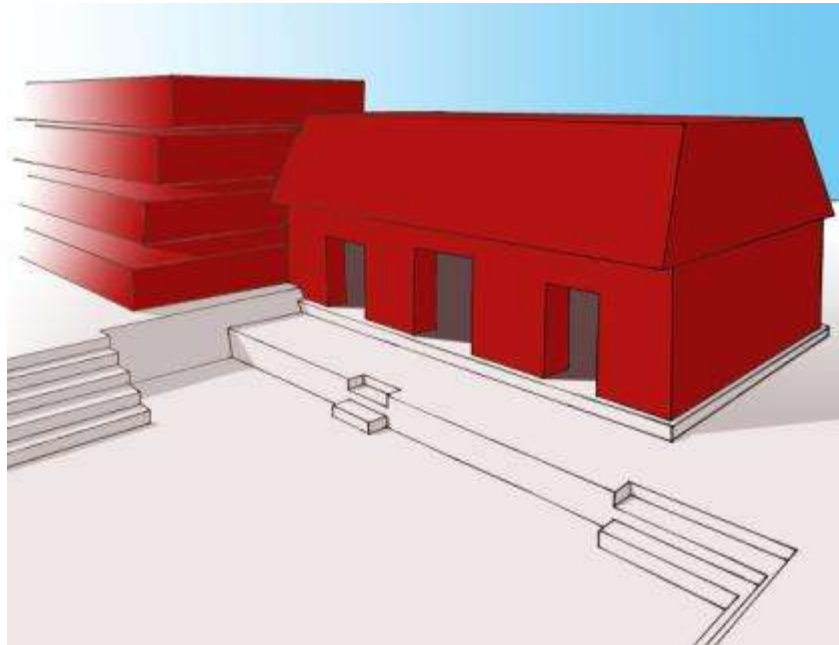


Figura 11.10 Reconstrucción artística de la Estructura 13Q-4F (Dibujo por M. Lamoureux St.-Hilaire)

También se encontraron 9 cortineros *in-situ*. Los cortineros, ubicados a cada lado de 4 de las 5 puertas excavadas, consistieron de cuellos de ollas reutilizados y colocados entre bloques de mampostería y pegados con estuco. Siete cortineros son del tipo Tinaja Rojo y dos del tipo Pantano Impreso, ambos típicos del Clásico Tardío. También se hallaron huesos de animal (probablemente venado) adentro de los cortineros que servían para amarrar las cortinas. Se han documentado cortineros parecidos en otros sitios, como Naranja y Calakmul, pero parece ser la primera vez que se encuentran con huesos. Además, se encontró un bloque esculpido (ca. 20 cm de largo) en la Jamba Norte de la puerta central del segundo cuarto, frente a la banquetta. El bloque representa un hueso con líneas diagonales arriba y abajo, lo que puede representar el glifo para la sílaba *sa* (David Stuart, comunicación personal), frecuentemente visto como parte del título *sajal*. Sin embargo, la orientación de esta pieza no es consistente con el glifo *sa* y no está claro si el bloque fue removido de otro edificio o si formó parte de un texto completo.

Este edificio mostró modificaciones en su arquitectura original. La puerta sur del segundo cuarto fue bloqueada, y se agregó un muro burdo al lado norte de la banquetta, transformando el segundo cuarto en un lugar mucho más privado.

Finalmente, cuando los ocupantes abandonaron el edificio, dejaron tres conjuntos de artefactos sobre el piso. El más interesante fue encontrado en el lado tapado del segundo cuarto, al lado del muro burdo. Este conjunto incluyó algunas vasijas parciales, que incluyen la porción inferior de un tambor doble portátil, así como un bifacial de pedernal y dos bloques de piedra caliza dura, roja y amarilla, que fueron pulidos en sólo un lado. Los artefactos encontrados sobre el piso parecen haber sido depositados como basura, o sino, pudieron caer de muebles o estantes durante el colapso del edificio.

En conclusión, se sugiere que este edificio tenía una función administrativa, probablemente un cuarto de trono parecido a la Estructura Uo. Además, se sugiere que cuando la Estructura 13Q-4E enterró completamente las estructuras de la Fase CocoChan, se requirió la construcción de nuevos edificios—Estructuras 13Q-4B, C, y F—hacia el norte para mantener las funciones administrativas de la dinastía local.

Investigaciones en la Plaza Central

La Estructura 13Q-2 es una de las más grandes de La Corona, y se encuentra ubicada en el límite este de la Plaza Principal. Se han identificado hasta el momento dos fases constructivas durante el Clásico Tardío y algunos cambios en su última etapa. Sin embargo, no se han podido determinar con certeza las posibles funciones del edificio. Sin embargo, dada su ubicación, y por ser el más grande de su tipo en la Plaza Principal y del sitio, podría argumentarse que quizá fue un templo o edificio de carácter ritual (Guenter 2010:97). Además, el hallazgo de tres incensarios fechados para el Postclásico evidencia que la estructura fue visitada mucho tiempo después que se abandonó el sitio (Guirola y Slowing 2013:103).

Durante varias temporadas, las excavaciones en la Estructura 13Q-2 se han enfocado en conocer la arquitectura del edificio, pero su comprensión se ha complicado debido a que sufrió cambios y desmantelamiento en su fase final. De la superestructura, se sabe que fue formada por una sola cámara de 2.4m de ancho, y aunque no se ha excavado en su totalidad, la simetría de lo que hasta hora se conoce indicaría que probablemente tuvo 20 m de largo. En el interior de la habitación no se encontraron evidencias de divisiones o bancas. Frente a la fachada (lado oeste) se identificaron tres puertas de aproximadamente 2 m de ancho, divididas por pilares de igual tamaño (Guenter 2010:83).

Descendiendo desde la superestructura, las excavaciones se concentraron en el eje central de la escalinata, permitiendo comprender parte de la arquitectura de las dos últimas etapas constructivas. La escalinata se encontró bastante deteriorada en su última fase constructiva, por lo que no fue posible registrar muchos datos de ésta en la parte superior. Sin embargo, al profundizar la excavación se llegó a la fase anterior y se encontró una escalinata previa (Fase B) que también mostró algunas alteraciones. Entre ellas se definió un corte que podría considerarse como un espacio que contuvo algún elemento decorativo que fue removido al momento de realizar la construcción de la última etapa del edificio (Guirola y Martínez 2012:198).

En general, los registros arqueológicos orientados a la última fase de la escalinata muestran que ésta fue desmantelada parcialmente, ya que fueron removidos varios de los bloques de contrahuella, y los pocos bloques que se encontraron *in-situ* mostraron un

buen grado de conservación. En los primeros tres escalones estuvieron ausentes la mayoría de bloques de contrahuella, con excepción de 27 bloques que corresponden a la primera grada y que aún pueden apreciarse en el lado sureste de la estructura

Se ha planteado la posibilidad que quizá algunos de los bloques esculpidos o paneles jeroglíficos encontrados en la Estructura 13R-10, formaron parte de la fachada de 13Q-2, pero por razones desconocidas fueron trasladados de su lugar original después de 760 d.C. (Guirola y Slowing 2013:103).

En su última fase constructiva (Figura 11.11) se realizaron algunos trabajos de remodelación que quedaron inconclusos. Esto puede argumentarse a partir de algunos hallazgos:

- Los bloques contrahuella de la escalinata fueron removidos aunque no en su totalidad.
- En las esquinas del primer y segundo escalón del lado norte, los bloques de contrahuella fueron removidos y después restituidos con mampostería, dándole nueva forma a las esquinas de los escalones.
- En los laterales de los límites norte y sur de la escalinata, se encontró mampostería y material de relleno que indican que en algún momento se pretendía ampliar la escalinata.

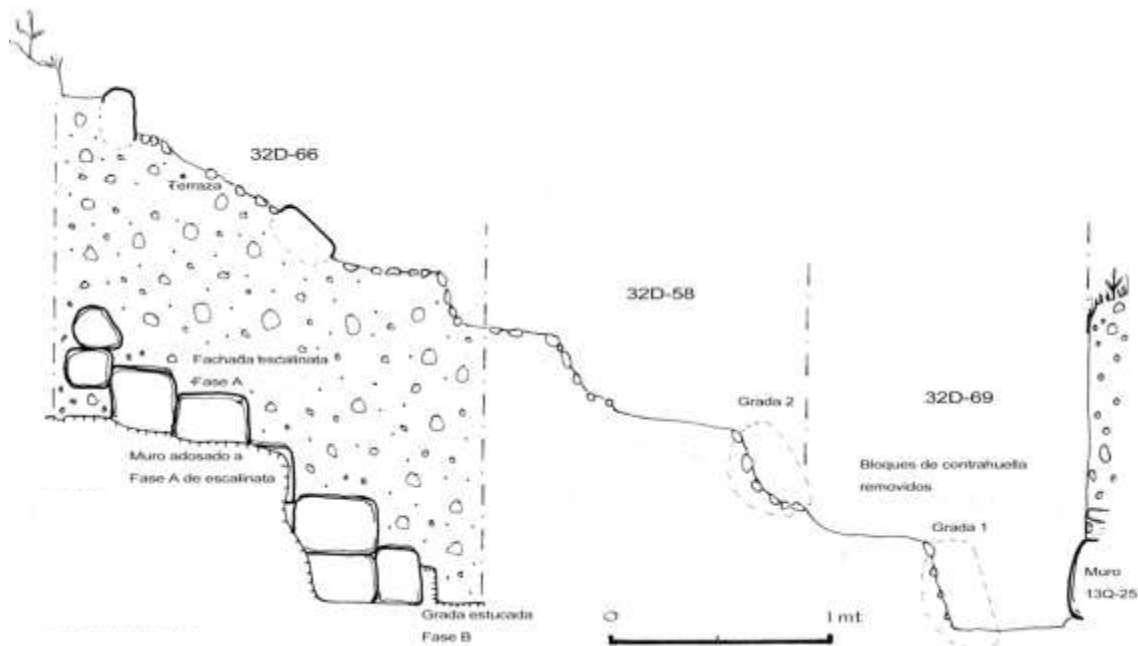


Figura 11.11 Perfil de la Fachada Norte, escalinata principal de la Estructura 13Q-2 (Dibujo por A Cajas)

A escasos 20 cm del primer escalón de 13Q-2, sobre el piso de plaza, se construyó una plataforma baja registrada como 13Q-25. Ésta fue construida con bloques reutilizados, entre ellos fragmentos de piedras de moler y varios bloques lisos tallados. Por las formas de los bloques, se puede argumentar que éstos formaron parte de la fachada de otras estructuras y posiblemente de 13Q-2.

Es evidente que esta plataforma también quedó en una etapa inconclusa, ya que los bloques tallados, y el resto de material del relleno solamente fueron apilados sobre pequeños muros de contención o cajones sin ningún material de mampostería, con excepción del Muro Oeste, que presentó algunas piedras compuestas en hileras, únicamente frente al eje central del edificio. En el relleno de la plataforma se encontró poco material cerámico, y escasos artefactos líticos.

La Plataforma 13Q-25 se ha asociado a la Plataforma 13Q-6, de similares dimensiones y que se encuentra a pocos metros paralela a ésta, en dirección oeste. A partir de estas similitudes, se ha argumentado “tentativamente” que ambas estructuras pudieron haber formado un patio para un juego de pelota que nunca se terminó de construir.

Otro indicio que ha apoyado este planteamiento fue el hallazgo de un monumento circular cortado con motosierra, encontrado en la orilla sur del posible campo de juego, por lo que podría considerarse como los restos de un marcador. Lamentablemente la Estructura 13Q-6 fue víctima de un saqueo extremadamente intensivo que la destruyó casi en su totalidad, lo cual sugiere que esta pequeña plataforma debió tener otros monumentos (Guenter 2010:91).

En conclusión, la Estructura 13Q-2 fue amplificada en el Clásico Tardío para acomodar nuevas gradas de piedra fina, posiblemente una de las escalinatas jeroglíficas que fueron desmanteladas en periodos terminales del sitio. Estas escalinatas hubieran sido lo registros más importantes de la conexión entre La Corona y *Kaanal*. Es muy probable, entonces que la Fase B de la Estructura 13Q-2 fue la conmemoración de la grande alianza que los gobernantes de Calakmul y La Corona sostuvieron por más de un siglo. El posible juego de pelota incompleto también sugiere que este espacio seguía importante hasta el final de la ocupación.

Excavaciones en el Grupo Coronitas

En el otro conjunto arquitectónico del sitio—Las Coronitas—está compuesto por un conjunto de templos y plataformas ceremoniales. Este ha sido el lugar de la mayoría de los hallazgos epigráficos recientes. De mayor notoriedad es la Estructura 13R-10, donde fueron colocadas dos escalinatas jeroglíficas que relataban importante información de la dinastía del sitio. Investigaciones recientes de la Estructura 13R-10 se concentraron en la historia arquitectónica de este edificio tan importante.

Se realizó una trinchera en el eje central que reveló la secuencia arquitectónica de la estructura. Se hallaron siete pisos de estuco que representan tres diferentes etapas ocupacionales que abarcan del Preclásico Tardío hasta finales del Clásico Tardío. Además de definir una larga historia ocupacional, las excavaciones recuperaron siete ofrendas y tres entierros humanos en el eje central de la estructura, señalando su importancia a lo largo de la historia de La Corona (Figuras 11.12 y 11.13).

La etapa más antigua probablemente inicia en la primera mitad del Clásico Temprano y está representada por una plataforma de barro cubierta por un piso de estuco denominado Sacpá. Asociado a este piso se encontró una huella de poste en lo que hubiese sido la parte superior de la plataforma. El análisis cerámico preliminar (Caroline Parris, comunicación personal) indica que el Piso Poité fue una remodelación posterior pero siempre asociada a esta misma ocupación. Dentro del relleno de esta estructura de barro se encontró un depósito con aproximadamente 2,000 tiestos fechados para el Preclásico Tardío y más de 300 caracoles terrestres.

Dentro de este depósito se recuperó una ofrenda de dos cuencos labio a labio del tipo Águila Naranja, fechados para la primera parte del Clásico Temprano correspondiente a las fases Tzakol 1-2, y asociada a 30 caracoles pulidos del mismo tipo mencionado anteriormente. En la parte interior de los cuencos se encontró un pendiente de jade, con el rostro de un personaje tallado, posiblemente masculino. Es muy posible que esta ofrenda indique que la primera fase de esta estructura fue construida durante este periodo.

Asociado a esta estructura de barro se encontraron los entierros 10 y 11 respectivamente. El Entierro 10 consta de un adulto joven de sexo indeterminado, que se encontró en posición dorsal extendida con la cabeza orientada al sur, y viendo hacia el

este. Asociado a éste no se encontró ninguna ofrenda ni estructura funeraria, sugiriendo que el cadáver solamente fue colocado en el relleno, quizás como ofrenda.

Aproximadamente 1 m al oeste, en el mismo nivel, se encontró el Entierro 11 que consta de un entierro secundario por haberse encontrado en un área restringida (Erin Patterson, comunicación personal). Se desconoce la posición del cuerpo, pero al igual que el Entierro 10, el cráneo se encontró orientado hacia el sur. La cabeza fue cubierta con un plato polícromo tetrápode con soportes vacíos, boca abajo, fechado para la primera parte del Clásico Temprano. El cráneo indica que el individuo fue un adulto joven de sexo indeterminado, cuyo cuerpo se encontró delimitado por un pequeño muro de cista al sur y piedras pequeñas alineadas de norte a sur. Por la falta de bienes funerarios, se cree que el individuo del Entierro 10 pudo ser una ofrenda constructiva o parte de la ofrenda funeraria del Entierro 11.

La segunda etapa ocupacional, probablemente correspondiente a la segunda mitad del período Clásico Temprano, está representada por los pisos Mancuernillo, Aceituno y Ramón. Se cree que la ocupación de Aceituno marcó un cambio importante y posiblemente estuvo relacionado con el período inicial de la influencia de la dinastía *Kaanal* en La Corona, correspondiente al gobernante “Buitre”. Por el mal estado de conservación de Mancuernillo y por su baja calidad en relación a Aceituno, puede representar solamente una nivelación para la construcción de Aceituno. Asociado al Piso Aceituno se encontraron dos huellas de poste en lo que hubiese sido la parte superior de la plataforma. De igual manera, cabe mencionar que no hay información acerca de la fachada de esta ocupación, debido a que fue cortada al construir la siguiente etapa. El Piso Ramón también fue construido durante el Clásico Temprano.

El análisis preliminar de la cerámica indica que la estructura asociada al Piso Ramón fue cancelada durante el inicio del Clásico Tardío, cortándolo para colocar el Entierro 9 sobre el Piso Aceituno. El cuerpo se encontró en posición dorsal extendida, con la cabeza orientada hacia el este. El entierro pertenece a un individuo de sexo femenino, asociado con más de 200 cuentas de concha y aproximadamente 100 cuentas pequeñas de jade en el área pélvica. Asimismo, se recuperaron dos orejeras de jade, un collar de 9 cuentas de jade y un cuenco polícromo de tipo indeterminado, colocado boca abajo sobre el cráneo. Esta mujer posiblemente vivió durante la época de *Sak Maas*. En la

cabecera se encontraron algunas piedras que formaban un muro de cista, y asociado a este muro se encontró la Ofrenda 3, que consta de un plato, un cuenco y un vaso, todos del tipo Saxché-Palmar, por lo que se fechan para las fases Tepeu 1-2 del Clásico Tardío.

La tercera etapa está representada por los pisos Chico-Zapote y Guaya y corresponde a la ampliación de la Estructura 13R-10 como una plataforma escalonada con un cuarto en la parte superior y la Escalinata Jeroglífica A en la fachada principal. Esta etapa ya había sido identificada en excavaciones de años anteriores y se cree que esta ampliación fue realizada por el gobernante *Chakaw Nahb Chan*, y posiblemente la Escalinata Jeroglífica A fue agregada posteriormente por *K'inich ¿? Yook*. De igual manera, fue en esta etapa que se construyó la Estructura 13R-9 al oeste.

Entre el Piso Ramón y Chico Zapote se encontró la Ofrenda 2, que consta de tres vasos, un cuenco, un plato y fragmentos de una vasija del tipo Tinaja, correspondientes a la fase Tepeu 2. Los tres vasos, la vasija Tinaja y el cuenco se encontraron agrupados, mientras que el plato se encontró aproximadamente 90 cm al este, asociado a fragmentos de cráneo, dientes, mandíbula y vértebras pertenecientes a por lo menos un individuo. Entre los restos óseos, la mandíbula pertenece a un adulto de edad avanzada, cuyos dientes incluyen incrustaciones de jade.

Entre el Piso Chico Zapote y Guaya se encontró otra ofrenda denominada Ofrenda 1 que consta de un cuenco, un plato y un vaso. El cuenco y el vaso están fechados para las fases Tepeu 1 y 2, mientras que el plato está fechado para la Fase Tepeu 1. Según varios epígrafos, el plato posee un texto muy particular que indica su proveniencia del sitio La Florida. Como parte de esta ofrenda también se identificaron huesos de fauna y de niños.

Las excavaciones del eje central del edificio dieron como resultado una ocupación extensa durante todo el periodo Clásico. Las siete ofrendas recuperadas en el eje central indican que la estructura fue de gran importancia ritual para la élite de La Corona (Figura 11.12). El hecho que los tres entierros fueron colocados después de la cancelación de las etapas constructivas, al igual que la presencia de huesos humanos exhumados en las Ofrendas 1 y 2, indica que probablemente había una razón simbólica importante por la cual fueron enterrados o trasladados a la Estructura 13R-10. La evidencia indica que

durante toda su ocupación, la estructura fue una plataforma que pudo haber sido utilizada para actos rituales, muchos de los cuales se documentaron en la Escalinata Jeroglífica A.

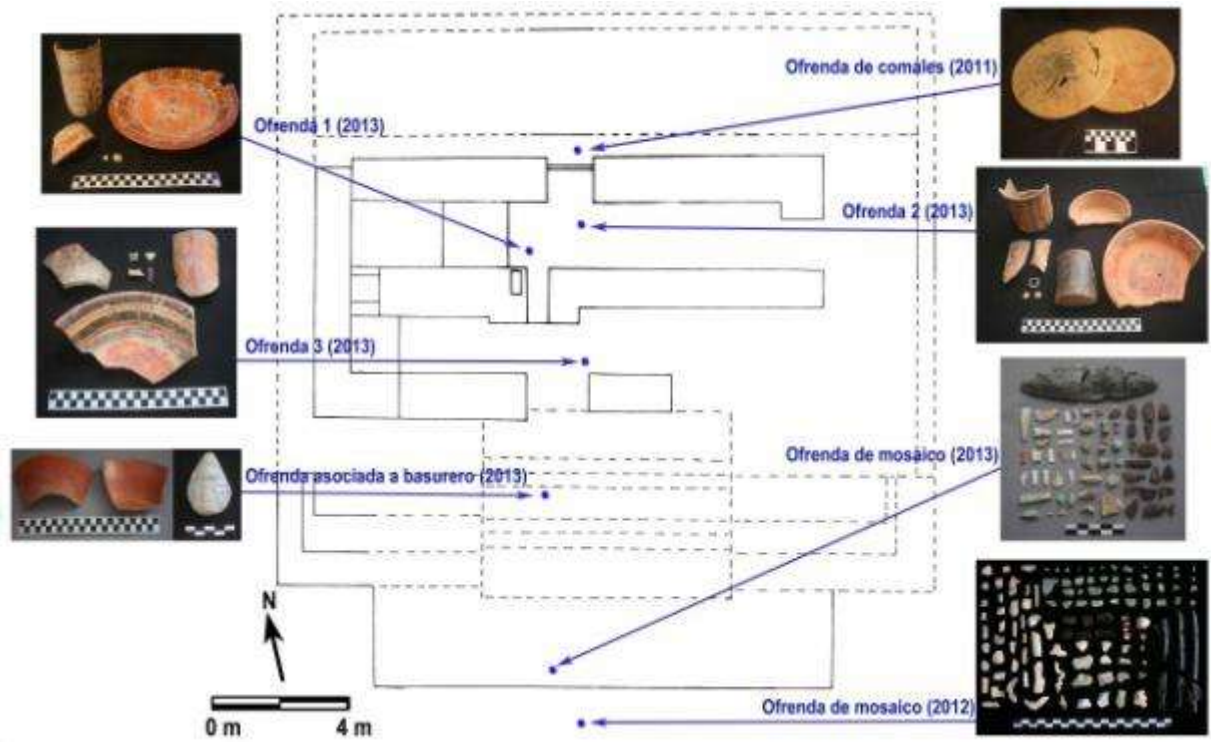


Figura 11.12 Ubicación de ofrendas encontradas en el eje central de la Estructura 13R-10
(Dibujo por J. Ponce)

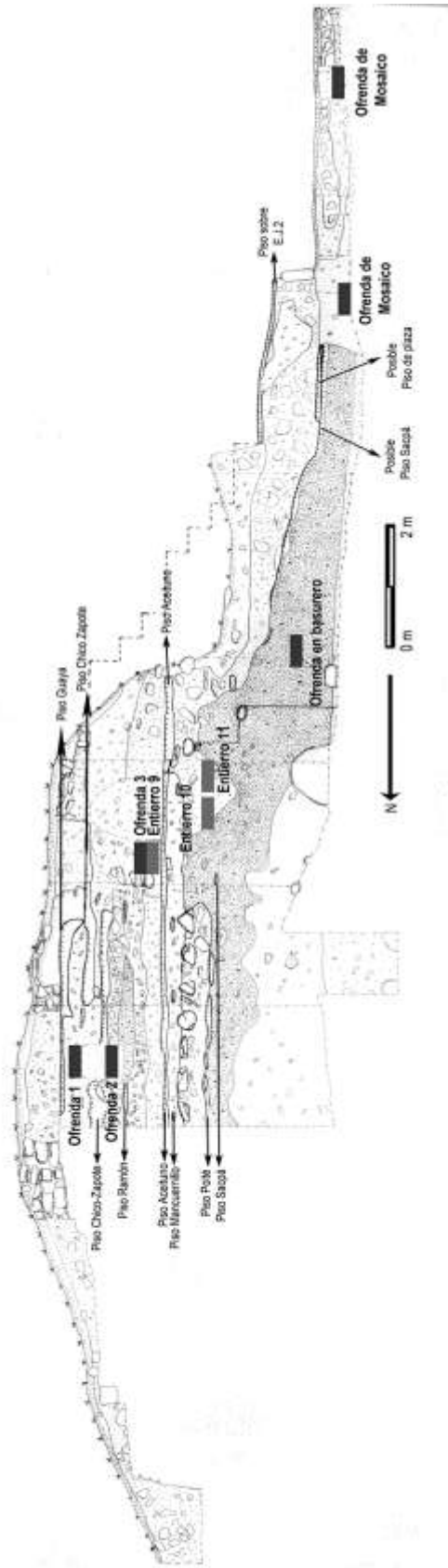


Figura 11.13 Ubicación de pisos y ofrendas encontradas en el eje central de la Estructura 13R-10
(Dibujo por J. Ponce)

Conclusiones

Los resultados de este año confirman que sitios como La Corona no eran pequeños mundos aislados del resto de sus contemporáneos. Desde el inicio de las investigaciones de PRALC se ha planteado un papel regional para el sitio debido a la importancia que se deriva de sus textos. Por lo tanto, ahora se ha podido reconstruir una red de interacciones hacia el norte, sur, y oeste, sugiriendo así una función como nexo de comunicación.

Las investigaciones también demuestran cómo la interacción entre los desarrollos políticos puede asociarse directamente con la función y evolución de la arquitectura monumental. La creación de un modelo explicativo para la entidad política de La Corona se había basado mayormente en la epigrafía y los análisis topográficos, por lo que los nuevos datos han permitido integrar de mejor forma la arquitectura a la reconstrucción de este antiguo reino y su relación con el resto de las Tierras Bajas Mayas. Aunque La Corona no fue transformada arquitectónicamente de la misma manera que Uxul, toda la evidencia sugiere que hubo una amplificación, renovación, y tal vez cambio de función en todos los espacios arquitectónico administrativos, públicos y rituales.

BIBLIOGRAFÍA

Acuña, Mary Jane

- 2007 “Capítulo 14. CR-ES: Excavaciones de sondeo en los Grupos A, B y C de La Corona”. En *Proyecto Arqueológico El Perú-Waka': Informe No.4, Temporada 2006*, editado por Héctor Escobedo y David Freidel, pp.457-466. Instituto de Antropología e Historia, Guatemala.
- 2009 “Capítulo VII: Operación CR 11A: Limpieza de trinchera de saqueo en la Estructura 13R-9”. En *Proyecto Regional Arqueológico La Corona: Informe Final Temporada 2008*, editado por Marcello Canuto y Tomás Barrientos, pp.109-128. Instituto de Antropología e Historia, Guatemala.

Arnauld, Charlotte, Veronique Breuil-Martínez y Erick Ponciano

- 2004 *La Joyanca: Antigua Ciudad Maya del Noroeste del Petén*. Centro Francés de Estudios Mexicanos y Centroamericanos CEMCA. Guatemala.

Avendaño Mendoza, Carlos Enrique

- 2012 *Natural and cultural landscape evolution during the Late Holocene in North Central Guatemalan Lowlands and Highlands*. Tesis de doctorado, Área de Geografía, Universidad de Toronto.

Ball, Joseph W. y Jennifer T. Taschek

- 2001 “The Buenavista-Cahal Pech Royal Court: Multi-Palace Court Mobility and Usage in a Petty Lowland Maya Kingdom”. En *Royal Courts of the Ancient Maya Volume: Data and Case Studies*, editado por Takeshi Inmata y Stephen D. Houston, pp.165-200. Westview Press, Boulder.

Baron, Joanne

- 2012 “Capítulo IX. Operaciones CR14, CR15 y CR17: Excavaciones en el Grupo Coronitas, estructuras 13R-2, 13R-3, 13R-4 y 13R-5”. En *Proyecto Regional Arqueológico La Corona: Informe Final Temporada 2011*, editado por Tomás Barrientos, Marcello Canuto y Jocelyne Ponce, pp. 231-264. Instituto de Antropología e Historia, Guatemala.
- 2013a "Capítulo VI. Operaciones CR15A, CR15B y CR17B: Excavaciones en el Grupo Coronitas, Estructuras 13R-2, 13R-3 y 13R-5, Temporada 2013". En *Proyecto Regional Arqueológico La Corona: Informe Final Temporada 2011*, editado por T. Barrientos, M. Canuto y J. Ponce, pp. 109-124. Instituto de Antropología e Historia, Guatemala.
- 2013b *Patrons of La Corona: Deities and Power in a Classic Maya Community*. Tesis de Doctorado, Área de Antropología, Universidad de Pennsylvania.

Baron, Joanne, Diana Fridberg y Marcello Canuto

- 2011 "Entró el Agua": Utilización de Especies Acuáticas en Contextos Mortuorios de La Corona, Guatemala. En *XXI Encuentro Internacional de Investigadores de Cultura Maya*. Campeche, México.

Barrientos, Tomás y Marcello Canuto (editores)

2010 *Proyecto Regional Arqueológico La Corona, Informe Final Temporada 2009*. Informe entregado a IDAEH, Guatemala.

Barrientos, Tomás, Marcello Canuto y Mary Jane Acuña (editores)

2011 *Proyecto Regional Arqueológico La Corona, Informe Final Temporada 2010*. Informe entregado a IDAEH, Guatemala.

Barrientos, Tomás, Marcello Canuto y Jocelyne Ponce (editores)

2012 *Proyecto Regional Arqueológico La Corona, Informe Final Temporada 2011*. Informe entregado a IDAEH, Guatemala.

2013 *Proyecto Regional Arqueológico La Corona, Informe Final Temporada 2012*. Informe entregado a IDAEH, Guatemala.

Benavides Antonio

2005 "Campeche Archaeology at the turn of the century". *Anthropological Notebooks* 11:13-30. En línea:

www.drustvo-antropologov.si/AN/.../Anthropological_Notebooks_XI-1_2.pdf

Bustamante, Eduardo

2011 "Capítulo 11.4. Operación CR41: Excavaciones en el Grupo Habitacional 13S-2". En *Proyecto Regional Arqueológico La Corona: Informe Final Temporada 2010*, editado por T. Barrientos, M. Canuto y M.J. Acuña, pp. 347-360. Instituto de Antropología e Historia, Guatemala.

2013 "Capítulo IV. Operación CR-20: Excavaciones en el Palacio de La Corona, Temporada 2012". En *Proyecto Regional Arqueológico La Corona: Informe Final, Temporada 2012*, editado por M. Canuto, T. Barrientos y J. Ponce, pp. 57-78. Instituto de Antropología e Historia, Guatemala.

Brazaitis, Peter

1989 "The forensic identification of crocodylian hides and products". En *Crocodiles: Their Ecology, Management, and Conservation*, editado por P. Hall, pp. 17-43. Gland, Switzerland: International Union for Conservation of Nature and Natural Resources.

Cagnato, Clarissa

2011 "Capítulo XIV. Análisis Preliminar de los Restos Paleobotánicos de La Corona". En *Proyecto Regional Arqueológico La Corona: Informe Final, Temporada 2010*, editado por T. Barrientos, M. Canuto y M.J. Acuña, pp. 385-402. Instituto de Antropología e Historia, Guatemala.

2012 "Capítulo XV. Operación CR48: Investigación de *chultunes* en La Corona. En *Proyecto Regional Arqueológico La Corona: Informe Final, Temporada 2011*, editado por T. Barrientos, M. Canuto y J. Ponce, pp. 357-372. Instituto de Antropología e Historia, Guatemala.

2013a "Capítulo XIII. Excavaciones en el Grupo 13S-1". En *Proyecto Regional Arqueológico La Corona: Informe Final, Temporada 2012*, editado por T.

- Barrientos, M. Canuto y J. Ponce, pp. 279-288. Instituto de Antropología e Historia, Guatemala.
- 2013b "Capítulo XIV. Investigación de *chultunes* en El Jobillo". En *Proyecto Regional Arqueológico La Corona: Informe Final, Temporada 2012*, editado por T. Barrientos, M. Canuto, y J. Ponce, pp. 289-296. Instituto de Antropología e Historia, Guatemala.
- 2013c "Capítulo XVIII. Resultados de análisis Paleoetnobotánicos: Temporadas 2009 a 2011". En *Proyecto Regional Arqueológico La Corona: Informe Final, Temporada 2012*, editado por T. Barrientos, M. Canuto, y J. Ponce, pp. 349-366. Instituto de Antropología e Historia, Guatemala.
- Cajas, Antonieta
- 2012 "Capítulo X. Operación 11B: Excavaciones en la Estructura 13R-9, Temporada 2011". En *Proyecto Regional Arqueológico La Corona: Informe Final Temporada 2011*, editado por T. Barrientos, M. Canuto y J. Ponce, pp. 265-278. Instituto de Antropología e Historia, Guatemala.
- 2013 "Capítulo VII. Operaciones CR11D y CR11C: Excavaciones en la Estructura 13R-9, Temporada 2012". En *Proyecto Regional Arqueológico La Corona: Informe Final Temporada 2012*, editado por T. Barrientos, M. Canuto y J. Ponce, pp. 125-140. Instituto de Antropología e Historia, Guatemala.
- Canuto, Marcello A.
- 2007 "Capítulo 13. CR-01: Excavaciones en la Estructura C-5 del Grupo C de La Corona". En *Proyecto Arqueológico El Perú-Waka': Informe No. 4, Temporada 2006*, editado por H. Escobedo y D. Freidel, pp. 431-456. Instituto de Antropología e Historia, Guatemala.
- Canuto, Marcello, Stanley Guenter, Evangelia Tsesmeli y Damien Marken
- 2006 "El Reconocimiento de La Corona, 2005". En *Proyecto Arqueológico El Perú-Waka': Informe No. 3, Temporada 2005*, editado por H. Escobedo y D. Freidel, pp. 455-468. Instituto de Antropología e Historia, Guatemala.
- Canuto, Marcello y Tomás Barrientos Q.
- 2009 *Proyecto Regional Arqueológico La Corona, Informe Final Temporada 2008*. Informe entregado a IDAEH, Guatemala.
- 2011 "La Corona: un acercamiento a las políticas del Reino Kaan desde un centro secundario del Noroeste del Petén". En línea: <http://mari.tulane.edu/PRALC/research.html>
- 2012 "El Reino Kan y La Corona: Más que una alianza". Ponencia presentada en el XXVI *Simposio de Investigaciones Arqueológicas en Guatemala*, Julio 2012, Museo Nacional de Arqueología y Etnología, Guatemala.
- 2013a "Capítulo XIX. Proyecto Regional Arqueológico La Corona: Resultados Generales y Conclusiones de la Temporada 2012". En *Proyecto Regional Arqueológico La Corona: Informe Final Temporada 2012*, editado por T. Barrientos, M. Canuto y J. Ponce, pp. 367-391. Instituto de Antropología e Historia, Guatemala.

2013b "Cinco años de investigaciones en La Corona: una adivinanza envuelta en un misterio dentro de un enigma". En *XXVI Simposio de Investigaciones Arqueológicas en Guatemala, Museo Nacional de Arqueología y Etnología 2012, Tomo II*, editado por B. Arroyo y L. Salinas, pp. 993-998. Asociación Tikal, Guatemala.

2013c "The Importance of La Corona". *La Corona Notes* 1(1). Mesoweb. En línea: <http://www.mesoweb.com/LaCorona/LaCoronaNotes01.pdf>

Canuto, Marcello, Tomás Barrientos y Mary Jane Acuña

2012 "Capítulo XVIII. Proyecto Regional Arqueológico La Corona: Resultados Generales y Conclusiones de la Temporada 2011". En *Proyecto Regional Arqueológico La Corona: Informe Final Temporada 2011*, editado por T. Barrientos, M. Canuto y J. Ponce, pp. 407-438. Instituto de Antropología e Historia, Guatemala.

Castañeda Moya, Francisco, Oscar Lara y Alejandro Queral-Regil

2000 "The herpetofauna of Laguna del Tigre National Park, Petén, Guatemala, with an emphasis on populations of the Morelet's crocodile (*Crocodylus moreletti*)". En *A Biological Assessment of Laguna del Tigre National Park, Petén, Guatemala*, editado por B.T. Bestelmeyer y L.E. Alonso, pp. 67-74. RAP Bulletin of Biological Assessment, Vol. 16. Washington, D.C.: Conservation International.

Chiasson, Robert B.

1962 *Laboratory Anatomy of the Alligator*. Dubuque, Iowa: W.C. Brown.

Coronado-Ruiz, Anabella

2009 "Capítulo IV. Operación CR20G: Excavaciones en el Edificio G de la Estructura 13R-4". En *Informe Final La Corona. Temporada 2008*, editado por M. Canuto y T. Barrientos, pp. 57-74. Instituto de Antropología e Historia, Guatemala.

De Montmollin, Olivier

1995 "Settlement and Politics in Three Classic Maya Polities". Monographs in World Archaeology No. 24. Prehistory Press, Madison.

Desailly-Chanson, Yann

2012 "Capítulo VIII. Operación CR33: Excavación del Entierro 3, Estructura 13Q-3". En *Proyecto Regional Arqueológico La Corona: Informe Final Temporada 2011*, editado por T. Barrientos, M. Canuto y J. Ponce, pp. 201-230. Instituto de Antropología e Historia, Guatemala.

Erdtman, Gunnar

1960 "The acetolysis method. A revised description". *Svensk Bot. Tidskr.* 54: 561-564.

Fernández, Enrique

2011 "Capítulo X. Excavaciones en la Estructura 13R-10 del Grupo 13R-II". En *Proyecto Arqueológico La Corona: Informe Final, Temporada 2010*, editado por

- T. Barrientos, M. Canuto y M.J. Acuña, pp.277-304. Instituto de Antropología e Historia, Guatemala.
- Fitzsimmons, James
 2006 "Kings of Jaguar Hill: Monuments and Caches at Zapote Bobal". Reporte presentado a FAMSI. En línea: <http://www.famsi.org/reports/05047/index.html>
- Ford, Anabel y Ronald Nigh
 2009 "Origins of the Maya forest garden: Maya resource Management". En *Journal of Ethnobiology* 29(2): 213-236.
- Fox, John y John Justeson
 1986 "Classic Maya Dynastic Alliance and Succession". En *Supplement to Handbook of Middle American Indians*, editado por V. Bricker y R. Spores, pp. 7-34. University of Texas Press, Austin.
- Freidel, David A. y Héctor Escobedo
 2004 *Proyecto Arqueológico El Perú-Waka': Informe No. 1, Temporada 2003*. Informe entregado a IDAEH, Guatemala. En línea: <http://www.mesoweb.com/resources/informes/Waka2003.html>
 2005 *Proyecto Arqueológico El Perú-Waka': Informe No. 2, Temporada 2004*. Informe entregado a IDAEH, Guatemala. En línea: <http://www.mesoweb.com/resources/informes/Waka2004.html>
 2006 *Proyecto Arqueológico El Perú-Waka': Informe No. 3, Temporada 2005*. Informe entregado a IDAEH, Guatemala. En línea: <http://www.mesoweb.com/resources/informes/Waka2005.html>
 2007 *Proyecto Arqueológico El Perú-Waka': Informe No. 4, Temporada 2006*. Informe entregado a IDAEH, Guatemala. En línea: <http://www.mesoweb.com/resources/informes/Waka2006.html>
- Freidel, David A., Hector Escobedo y Stanley P. Guenter
 2007 "A Crossroads of Conquerors: Waka' and Gordon Willey's "Rehearsal for the Collapse" Hypothesis". En *Gordon R. Willey and American Archaeology: Contemporary Perspectives*, editado por J. Sabloff y W. Fash, pp. 187-208. Norman: University of Oklahoma Press.
- Freidel, David y Stanley Guenter
 2003 Bearers of War and Creation. *Archaeology*. En línea: <http://archive.archaeology.org/online/features/siteq/index.html>
- Fridberg, Diana y Clarissa Cagnato
 2012 "Plantas y Animales de La Corona". Ponencia presentada en el *XXVI Simposio de Investigaciones Arqueológicas en Guatemala*.

Fuller, Dorian Q. y Steven A. Weber

2005 "Formation processes and paleoethnobotanical interpretation in South Asia". En *Journal of Interdisciplinary Studies in History and Archaeology* 2(1): 93-115.

Goldstein, David J. y Jon B. Hageman

2010 "Power Plants: Paleoethnobotanical Evidence of Rural Feasting in Late Classic Belize". En *Pre-Columbian Foodways in Mesoamerica: Interdisciplinary Approaches to Food, Culture, and Markets in Ancient Mesoamerica*, editado por J. E. Staller y M. D. Carrasco, pp. 421-440. Springer, New York.

Gómez, Erika

2010 "Capítulo VII. Operaciones CR11 y CR13: Excavaciones en el Sector Oeste del Grupo 13R de La Corona". En *Proyecto Arqueológico La Corona: Informe Final, Temporada 2009*, editado por M. Canuto y T. Barrientos, pp.159-198. Instituto de Antropología e Historia, Guatemala.

Graham, Ian

1997 "Mission to La Corona". *Archaeology* 50(5):46.

2010 *The Road to Ruins*. University of New Mexico Press, Albuquerque.

Grube, Nikolai

2007 *Informe: Trabajos de exploración en Uxul (Campeche)*. En línea:
www.iae-onn.de/iae/fileadmin/assest/pdf/InformeINAH2007a.pdf

Grube, Nikolai, Kai Delvendahl, Nicolaus Seefeld y Beniamino Volta

2012 "Under the Rule of the Snake Kings: Uxul in the 7th and 8th Century". *Estudios de Cultura Maya* 40:11-49.

Grube, Nikolai y Kai Delvendahl

2013 "Uxul en los siglos VII y VIII: nuevos datos sobre la expansión y caída de la hegemonía Kaan". Ponencia presentada en el *IX Congreso Internacional de Mayistas*, Campeche, México.

Guenther, Stanley

2010 "Capítulo IV. Operación CR 32: Excavaciones en las estructuras 13Q-2 y 13Q-6". En *Proyecto Arqueológico La Corona: Informe Final, Temporada 2009*, editado por M. Canuto y T. Barrientos, pp.73-98. Instituto de Antropología e Historia, Guatemala.

Guirola, Cristina

2011 "Capítulo 7.2 Operación CR32: Excavaciones en la Estructura 13Q-2A". En *Proyecto Regional Arqueológico La Corona: Informe Final, Temporada 2010*, editado por T. Barrientos, M. Canuto y M.J. Acuña, pp. 195-210. Instituto de Antropología e Historia, Guatemala.

2013 *Análisis de restos microbotánicos de La Corona: Una propuesta metodológica para la arqueobotánica en Guatemala*. Tesis de Licenciatura en Arqueología. Universidad Del Valle de Guatemala. Guatemala.

Guirola, Cristina y Christopher Martínez

2012 "Capítulo VII. Operación CR32: Excavaciones realizadas en la Estructura 13Q-2, Temporada 2011". En *Proyecto Regional Arqueológico La Corona: Informe Final Temporada 2011*, editado por T. Barrientos, M. Canuto y J. Ponce, pp. 173-200. Instituto de Antropología e Historia, Guatemala.

Guirola, Cristina y Olga Slowing

2013 "Capítulo V. Operación CR32: Excavaciones en la Estructura 13Q-2, Temporada 2012". En *Proyecto Regional Arqueológico La Corona: Informe Final Temporada 2012*, editado por T. Barrientos, M. Canuto y J. Ponce, pp. 79-108. Instituto de Antropología e Historia, Guatemala.

Guzmán, Gastón

2003 "Fungi in the Maya culture: past, present and future". En *The Lowland Maya area: three millennia at the human wildland interface*, editado por A. Gómez-Pompa, M.F. Allen, S.L. Fedick, y J.J. Jiménez-Osornio, pp. 315-325. Food Products Press, Nueva York.

Harrison, Peter D'Arcy

2003 "Palaces of the Royal Court at Tikal". En *Maya Palaces and Elite Residences: An Interdisciplinary Approach*, editado por Jessica Joyce Christie, pp. 98-109. University of Texas Press, Austin.

Hoffstetter, Robert y Jean-Pierre Gasc

1969 "Vertebrae and ribs of modern reptiles". En *Biology of the Reptilia*. Editado por C. Gans, pp. 201-310, Vol. 1, Morphology A. London: Academic Press.

Houston, Stephen

1993 *Hieroglyphs and History at Dos Pilas: Dynastic Politics of the Classic Maya*. University of Texas Press, Austin.

Houston, Stephen y David Stuart

2001 "Peopling the Classic Maya Court". En *Royal Courts of the Ancient Maya, Volume 1: Theory, Comparison, and Synthesis*, editado por T. Inomata y S. Houston, pp. 54-83. Westview Press, Boulder y Oxford.

Houston, Stephen, Stacy Symonds, David Stuart y Arthur Demarest

1991 "A Civil War of the Late Classic Maya: Evidence from Hieroglyphic Stairway 4". *Recent Finds at Dos Pilas, no. 3*. Manuscrito no publicado.

Jackson, Sarah y David Stuart

2001 "The *Aj K'uhun* Title: Deciphering a Classic Maya Term of Rank". *Ancient Mesoamerica* 12(2): 217-228.

Jeggins, Stephen

2010 *C2 version 1.7.2*. Craticula. Steve Juggins web pages at Newcastle University. Newcastle University. Reino Unido. En línea: www.staff.ncl.ac.uk/staff/stephen.juggins/software/C2Home.htm

Johnson, Jessica S.

1994 "Consolidation of archaeological bone: A conservation perspective". *Journal of Field Archaeology* 21(2):221-233.

Kaufman, F. y Marco A. Leal

1988 *Proyecto Arqueológico Peruano Guatemalteco al noroccidente de Petén*. Publicación de la Universidad de San Carlos de Guatemala, Guatemala.

Lamoureux-St-Hilaire, Maxime

2011 *The Last Inhabitants of Minanha, Belize: Examining the Differential Abandonment of an Ancient Maya Community*. Tesis de Maestría sin publicar. Trent University, Peterborough.

Leal, Marco A. y Salvador López

1993 "Reconocimiento arqueológico en la brecha topográfica Libertad-Xan (sector Tamariz-Río San Pedro)". *Basic Resources Int. Guatemala* .

Leal, Marco A., Salvador López, Maria T. Chinchilla, José Paredes, José Benítez y Marco Zetina

1988 *Reconocimiento arqueológico en el noroccidente de Petén*. Instituto de Investigaciones Históricas, Antropológicas y Arqueológicas, Vol. 1, Escuela de Historia, USAC, Guatemala.

Lentz, David L., Jason Yaeger, Cynthia Robin y Wendy Ashmore

2005 "Pine, prestige and politics of the Late Classic Maya at Xunantunich, Belize". *Antiquity* 79:573-585.

Lundell, Cyrus L.

1938 "Plants probably utilized by the old Empire Maya of Petén and Adjacent Lowlands". En *Papers of the Michigan Academy of Sciences, Arts, and Letters*. Volumen 24, pp. 37-56. Ann Arbor: University of Michigan.

Macphail, Mike y Janelle Stevenson

2004 "Fungal spores in archaeological contexts: part 1. Background evidence". Centre for Archaeological Research (CAR). Australian National University.

Marken, Damien y Stanley Guenter

- 2007 "Capítulo 15. Levantando el mapa de La Corona y sus monumentos: Temporada del 2006". En *Proyecto Arqueológico El Peru-Waka': Informe No. 4, Temporada 2006*, editado por H. Escobedo y D. Freidel, pp. 479-487. Instituto de Antropología e Historia, Guatemala.

Martin, Simon

- 1991 "Some Observations of Site Q and Related Texts". Manuscrito no publicado.
- 2001 "Court and Realm". En *Royal Courts of the Ancient Maya, Volume 1: Theory, Comparison, and Synthesis*, editado por T. Inomata y S. Houston, pp. 168-194. Westview Press, Boulder y Oxford.
- 2005 "Of Snakes and Bats: Shifting Identities at Calakmul". *The PARI Journal* 6(2):5-15. En línea: www.mesoweb.com/pari/publications/journal/602/SnakesBats_e.pdf.
- 2008 "Wives and Daughters on the Dallas Altar". Mesoweb. En línea: <http://www.mesoweb.com/articles/martin/Wives&Daughters.pdf>.

Mathews, Peter

- 1979 "Notes on the Inscriptions of 'Site Q'". Manuscrito no publicado.

Matteo, Sebastian

- 2010 "Un nuevo monumento atribuido a La Corona, Guatemala". *Mexicon*, Vol.XXXII: 102-104.

McAnany, Patricia y Shannon Plank

- 2001 "Perspectives on Actors, Gender Roles, and Architecture at Classic Maya Courts and Households". En *Royal Courts of the Ancient Maya. Vol 1: Theory, Comparison, and Synthesis*, editado por T. Inomata y S. Houston, pp. 84-129. Westview Press, Boulder.

MCD

- 2012 *Reglamento para Desarrollar Proyectos de Investigación Arqueológica*. Consejo Técnico de Arqueología, IDEAH, Ministerio de Cultura y Deportes, Guatemala.

McKillop, Heather

- 1996 "Prehistoric Maya use of Native Palms: Archaeobotanical and Ethnobotanical evidence". En *The Managed Mosaic, Ancient Maya Agriculture and resource use*, editado por Scott L. Fedick, pp. 278-294. University of Utah Press. Salt Lake City.

McVaugh, Rogers

- 1963 "Flora of Guatemala". *Fieldiana: Botany* 24(7): 3. Chicago Natural History Museum.

Morales, Paulino

- 1998 "Asentamientos prehispánicos en El Naranjo-Frontera, La Libertad, Petén". En *XI Simposio de Investigaciones Arqueológicas en Guatemala, 1997*, editado por J.P.

- Laporte y H. Escobedo, pp. 128-143. Museo Nacional de Arqueología y Etnología, Guatemala.
- Morehart, Christopher T., David L. Lentz y Keith M. Prufer
2005 "Wood of the gods: the ritual use of pine (*Pinus* spp.) by the Ancient Lowland Maya". *Latin American Antiquity* 16(3): 255-274.
- Neill, W. T.
1971 *The Last of the Ruling Reptiles: Alligators, Crocodiles, and Their Kin*. New York: Columbia University Press.
- Nicholas, George P.
1999 "People, Plants, and Landscapes: studies in Paleoethnobotany". Book Reviews. *Journal of Ethnobiology* 19(2): 226-228.
- Olsen, Stanley J.
1968 *Fish, Amphibian and Reptile Remains from Archaeological Sites. Part I: Southeastern and Southwestern United States*. Cambridge, MA: Peabody Museum Press.
- Orbicule
2011 *Macnification*. Orbicule. En línea: www.orbicule.com/macnification/
- Padilla, Liliana
2010 "Capítulo III. Operación CR20 y CR21: Excavaciones en el Palacio de la Corona". En *Proyecto Regional Arqueológico La Corona: Informe Final, Temporada 2009*, editado por M. Canuto y T. Barrientos, pp. 39-72. Instituto de Antropología e Historia, Guatemala.
2011 "Capítulo VI. Operación CR 20: Excavaciones en el Palacio de la Corona". En *Informe Final La Corona. Temporada 2010*, editado por M. Canuto, T. Barrientos y M.J. Acuña, pp. 151- 172. Instituto de Antropología e Historia, Guatemala.
- Padilla, Liliana y Alejandra Roche
2012 "Capítulo VI. Operación CR20: Excavaciones en el palacio de La Corona, Temporada 2011". En *Proyecto Regional Arqueológico La Corona: Informe Final, Temporada 2011*, editado por T. Barrientos, M. Canuto y J. Ponce, pp. 145-172. Instituto de Antropología e Historia, Guatemala.
- Padilla, Liliana y Eduardo Bustamante
2013 "El Palacio de La Corona: En la búsqueda de las princesas del reino Kan". En *XXVI Simposio de Investigaciones Arqueológicas en Guatemala, Museo Nacional de Arqueología y Etnología 2012, Tomo II*, editado por B. Arroyo y L. Salinas, pp. 1021-1028. Asociación Tikal, Guatemala.

Pearsall, Deborah M.

2000 *Paleoethnobotany: A Handbook of Procedures*, Segunda edición. Academic Press, New York.

2004 "Plants and people in ancient Ecuador: the ethnobotany of the Jama River Valley". En *Case Studies in archaeology*, editado por Jeffrey Quilter. Thomson, Wadsworth.

Pearsall, Deborah, Karol Chandler-Ezell y James Zeidler

2004 "Maize in ancient Ecuador: Results of residue analysis of stone tools from the Real Alto site". *Journal of Archaeological Science* 31:423-442.

Perla, Divina

2013 "Capítulo X. Operación CR117: Excavaciones en la Estructura 13R-7, Temporada 2012". En *Proyecto Regional Arqueológico La Corona: Informe Final Temporada 2012*, editado por T. Barrientos, M. Canuto y J. Ponce, pp. 221-250. Instituto de Antropología e Historia, Guatemala.

Platt, Steven G., et al.

2009 "Size estimation, morphometrics, sex ratio, sexual size dimorphism, and biomass of Morelet's crocodile in northern Belize". *Caribbean Journal of Science* 45(1):80-93.

Ponce, Jocelyne

2011 "Capítulo 11.1 Operación CR42: Excavaciones en el Grupo Habitacional 13R-2". En *Proyecto Regional Arqueológico La Corona: Informe Final Temporada 2010*, editado por T. Barrientos, M. Canuto y M.J. Acuña, pp. 305-316. Instituto de Antropología e Historia, Guatemala.

2013 "Capítulo VIII. Operación CR16: Excavaciones en la Estructura 13R-10, Temporada 2012". En *Proyecto Regional Arqueológico La Corona: Informe Final Temporada 2012*, editado por T. Barrientos, M. Canuto y J. Ponce, pp. 141-186. Instituto de Antropología e Historia, Guatemala.

Ponce, Jocelyne y Camilo Nájera

2012 "Capítulo XI. Operación CR16: Excavaciones en la Estructura 13R-10, Temporada 2011". En *Proyecto Arqueológico La Corona: Informe Final, Temporada 2011*, editado por T. Barrientos, M. Canuto y J. Ponce, pp.279-317. Instituto de Antropología e Historia, Guatemala.

Ponce, Jocelyne y María Antonieta Cajas

2013 "El Grupo 13R-II de La Corona: El Contexto Arqueológico de la Escalinata Glífica 2." En *XXVI Simposio de Investigaciones Arqueológicas en Guatemala, Museo Nacional de Arqueología y Etnología 2012, Tomo II*, editado por B. Arroyo y L. Salinas, pp. 1041-1052. Asociación Tikal, Guatemala.

Pontaza, Soto, Jorge y Alejandro González

2013 "Capítulo XII. Operación CR50: Excavaciones en el Grupo 14S-I "El Caballito", Temporada 2012". En *Proyecto Arqueológico La Corona: Informe Final*,

- Temporada 2012*, editado por T. Barrientos, M. Canuto y J. Ponce, pp.259-278. Instituto de Antropología e Historia, Guatemala.
- Pudzisz, Renata, Tegan Jones, Chris Morehart, y David Lentz
S.F. *The use of pine by the ancient Maya of Tikal*. Chicago Botanic Garden. En línea: <http://www.chicagobotanic.org/downloads/reu/PUDZISZ.PDF>
- Raynor, Gilbert S., Lester A. Cohen, Janet V. Hayes y Eugene C. Ogden
1966 "Dyed Pollen Grains and Spores as Tracers in Dispersion and Deposition Studies". *Journal of Applied Meteorology* 5: 728-729.
- Reynolds, Sidney Hugh
1913 *The Vertebrate Skeleton*. Cambridge: Cambridge University Press.
- Rich, Michelle
2011 *Ritual, Royalty and Classic Period Politics: The Archaeology of the Mirador Group at El Peru-Waka, Peten, Guatemala*. Tesis de Doctorado, Área de Antropología, Southern Methodist University, Dallas. University Microfilms, Ann Arbor.
- Ringle, William
1985 "Notes on Two Tablets of Unknown Provenance". En *Fifth Palenque Round Table, 1983. Vol. VII*, editado por M.G. Robertson y V. Fields, pp. 151-158. Pre-Columbian Art Research Institute, San Francisco.
- Robichaux, Hubert R. y Candace Pruett
2005 "Las inscripciones de Oxpemul". En *Los Investigadores de la Cultura Maya* 13 (1): 29-43. Campeche: Universidad Autónoma de Campeche.
- Roubik, David y Jorge Enrique Moreno
2003 "Pollen and spores of Barro Colorado Island". Smithsonian Tropical Research Institute. En línea: <http://stri.si.edu/sites/roubik/>
- Russell, Anthony P., and Aaron M. Bauer
2008 "The appendicular locomotor apparatus of *Sphenodon* and normal-limbed Squamates". En *Biology of the Reptilia. Volume 21, Morphology I: The Skull and Appendicular Locomotor Apparatus of Lepidosauria*, editado por A.S. Gaunt y K. Adler, pp. 1-465. Ithaca, NY: Society for the Study of Amphibians and Reptiles.
- Sabloff, Jeremy A.
1975 *Excavations at Seibal, Number 2: Ceramics*. Peabody Museum of Archaeology and Ethnology. Universidad de Harvard, Cambridge.

Sanders, William

- 1981 "Classic Maya Settlement Patterns and Ethnographic Analogy". En *Lowland Maya Settlement Patterns*, editado por W.A. Ashmore, pp. 351-369. University of New Mexico Press, Albuquerque.
- 1989 "Household, Lineage, and the State in 8th-Century Copan". En *House of the Bacabs, Copan: A Study of the Iconography, Epigraphy, and Social Context of a Maya Elite Structure*, editado por D.L. Webster, pp. 89-105. Studies in Precolumbian Art and Archaeology. Dumbarton Oaks, Washington, D.C.

Sanders, William y David Webster

- 1988 "The Mesoamerican Urban Tradition". *American Anthropologist* 90:521-546.

Schiffer, Michael B.

- 1976 *Behavioral Archaeology*. Academic Press, New York.

Simpson, Michael G.

- 2010 "Glossary". En *Plant Systematics*, pp.691. Academic Press. Estados Unidos. En línea: <http://www.elsevierdirect.com/v2/companion.jsp?ISBN=9780123743800>

Smith, Robert E.

- 1955 *Ceramic Sequence at Uaxactun, Guatemala*. Middle American Research Institute, Publication 20. Tulane University, New Orleans.

Šprajc, Ivan, William J. Folan y Raymundo González

- 2005 "Las ruinas de Oxpemul, Campeche: su redescubrimiento después de 70 años de olvido". En *Los Investigadores de la Cultura Maya* 13(1): 19-27. Campeche: Universidad Autónoma de Campeche.

Stolze, Robert G.

- 1981 "Ferns and fern allies of Guatemala. Part II, Polypodiaceae. The genus *Elaphoglossum* by John T. Mickel. The genus *Thelypteris* by Alan R. Smith". *Fieldiana. Botany*. New Series No. 6. Field Museum of National History.

Stuart, David

- 2001 "Las ruinas de La Corona, Peten, y la identificación del 'Sitio Q'". Ponencia presentada en el *XV Simposio de Investigaciones Arqueológicas en Guatemala*, Julio 2001, Museo Nacional de Arqueología y Etnología, Guatemala.
- 2012 "Notes on a New Text from La Corona". *Maya Decipherment*, 30 Junio, 2012. En línea: <http://decipherment.wordpress.com/2012/06/30/notes-on-a-new-text-from-la-corona/>

Stuart, David y Joanne Baron

- 2013 "Capítulo IX. Análisis preliminar de las inscripciones de la Escalinata Jeroglífica 2 de La Corona". En *Proyecto Regional Arqueológico La Corona: Informe Final Temporada 2012*, editado por T. Barrientos, M. Canuto y J. Ponce, pp. 187-220. Instituto de Antropología e Historia, Guatemala.

Stuart, David y Stephen Houston

1994 *Classic Maya Placenames*. Studies on Pre-Columbian Art & Archaeology, No. 23. Dumbarton Oaks, Washington, DC.

Sullivan, Brigid, and Donald R. Cumberland

1993 "Use of Acryloid B-72 lacquer for labeling museum objects". *Conserve O Gram* 1(4).

Taube, Karl

e.p. "The Ball Game, Boxing and Ritual Bloodsport in Ancient Mesoamerica". En *Play, Ritual and Belief in Animals and Early Human Societies*, editado por C. Renfrew, I. Morley y M.J. Boyd. Cambridge University Press, Cambridge.

Turner, B.L., II y Charles H. Miksicek

1984 "Economic plant species associated with Prehistoric Agriculture in the Maya Lowlands". *Economic Botany* 38(2): 179-193.

Velásquez, Erik

2008 "Los posibles alcances territoriales de la influencia política de Dzibanché durante el Clásico Temprano: nuevas alternativas para interpretar las menciones históricas sobre la entidad política de Kan". En *El territorio maya: memoria de la Quinta Mesa Redonda de Palenque*, editado por R. Liendo Stuardo, pp. 323-352. Instituto Nacional de Antropología e Historia, México, D.F.

Webster, David

2001 "Spatial Dimensions of Maya Courts Life: Problems and Issues". En *Royal Courts of the Ancient Maya. Vol 1: Theory, Comparison, and Synthesis*, editado por T. Inomata y S.D. Houston, pp. 130 – 167. Westview Press, Boulder y Oxford.

Willey, Gordon

1953 "Prehistoric Settlement Patterns in the Virú Valley, Peru". *Bureau of American Ethnology Bulletin* 155. Washington, D.C.

Willey, Gordon, W.R. Bullard, Jr., J.B. Glass y J.C. Gifford

1965 "Prehistoric Maya Settlement in the Belize Valley". *Papers of the Peabody Museum*, 54. Cambridge, Mass. Harvard University Press.

APÉNDICE A

Listado de Monumentos

No. de Monumento	Nombre de monumento	Denominación previa	Descripción
1a	Estela 1		Estela/ Discute los eventos en la vida de <i>Chak Ak'aach Yuk</i> / Lado inferior
1b	Estela 1		Estela / Discute los eventos en la vida de <i>Chak Ak'aach Yuk</i> / Esquina superior derecha
1c	Estela 1		Estela / Discute los eventos en la vida de <i>Chak Ak'aach Yuk</i> / Esquina superior izquierda
1d	Estela 1		Estela / Discute los eventos en la vida de <i>Chak Ak'aach Yuk</i> / Fragmento central
2	Estela 2		Estela/Muy erosionada/Menciona ascenso de un rey
3a	Altar 1		Altar / Muy erosionado / Menciona el aniversario del ascenso de <i>Yuknoom Ch'een</i> / Fragmento con "Sak Wayis"
3b	Altar 1		Altar / Muy erosionado / Menciona el aniversario del ascenso de <i>Yuknoom Ch'een</i> / Fragmento con iconografía
3c	Altar 1		Altar / Muy erosionado / Menciona el aniversario del ascenso de <i>Yuknoom Ch'een</i> / Fragmento con "Sak Nikte"
4a	Altar 2		Altar / Muy erosionado / Da fecha 785 / Muestra un Señor con un pájaro acuático/Fragmento superior
4b	Altar 2		Altar / Muy erosionado / Da fecha 785 / Muestra un Señor con un pájaro acuático/Fragmento inferior
5a	Altar 3		Altar / Muy erosionado / Contiene escenas con figuras / Fragmento superior
5b	Altar 3		Altar / Muy erosionado / Contiene escenas con figuras / Fragmento inferior
6a	Altar 4		Altar / Menciona la llegada de mujer de Tikal / Contiene los glifos A1-I2
6b	Altar 4		Altar / Menciona la llegada de mujer de Tikal / Contiene los glifos J1-R2
6c	Altar 4		Altar / Menciona la llegada de mujer de Tikal / Contiene los glifos A4-R5
6d	Altar 4		Altar / Menciona la llegada de mujer de Tikal / Contiene los glifos U1-H5
6e	Altar 4		Altar / Menciona la llegada de mujer de Tikal / Contiene los glifos L3-P5
7	Panel 1a		Panel / Muestra a <i>K'inich ¿? Yook</i> como el dios del maíz de Calakmul
8	Panel 1b		Panel / Muestra a <i>K'inich ¿? Yook</i> como un Sak Wayis

No. de Monumento	Nombre de monumento	Denominación previa	Descripción
9	Friso Jeroglífico 1, Bloque I		Catalogado en Informe 2008/No hay imagen conocida
10	Friso Jeroglífico 1, Bloque II		Catalogado en Informe 2008/No hay imagen conocida
11	Panel 7	"Panel de Damien"	Altar o panel grande/Muestra varias escenas/Muy erosionado
12	Cilindro Glífico 1		Columna / Glifo único / 7 Ok?
13	Cilindro Glífico 2		Columna / Glifo único / Ilegible
14	Cilindro Glífico 3		Columna / Glifo único/ 3 Keh?
15	E.J. 1, Bloque 23	<i>E.J.1, Bloque XIV</i>	Bloque con glifo único/ Se lee <i>ma'ch'ab</i> (sin penitencia)
16	E.J. 1, Bloque 24	<i>E.J.1, Bloque XV</i>	Bloque con glifo único / Ilegible
17	E.J. 1, Bloque 25	<i>E.J.1, Bloque XVI</i>	Bloque con glifo único / Ilegible
18	E.J. 1, Bloque 26	<i>E.J.1, Bloque XVII</i>	Bloque con glifo único / Ilegible
19	E.J. 1, Bloque 27	<i>E.J.1, Bloque XVIII</i>	Bloque con glifo único / Ilegible
20	E.J. 1, Bloque 28	<i>E.J.1, Bloque XIX</i>	Bloque con glifo único / Ilegible
21	E.J. 1, Bloque 29	<i>E.J.1, Bloque XX</i>	Bloque con glifo único / Ilegible
22	E.J. 1, Bloque 30	<i>E.J.1, Bloque XXI</i>	Bloque con glifo único / Ilegible
23	E.J. 1, Bloque 31	<i>E.J.1, Bloque XXII</i>	Bloque con glifo único / Ilegible
24	E.J. 1, Bloque 32	<i>E.J.1, Bloque XXIII</i>	Bloque con glifo único / Ilegible
25	E.J. 1, Bloque 33	<i>E.J.1, Bloque XIV</i>	Bloque con glifo único / Ilegible
26	E.J. 1, Bloque 34	<i>E.J.1, Bloque XXV</i>	Bloque con glifo único / Ilegible
27	E.J. 1, Bloque 35	<i>E.J.1, Bloque XXVI</i>	Bloque con glifo único / Ilegible
28	E.J. 1, Bloque 36	<i>E.J.1, Bloque XXVII</i>	Bloque con glifo único / Ilegible
29	E.J. 1, Bloque 37	<i>E.J.1, Bloque XXVIII</i>	Bloque con glifo único / Ilegible
30	E.J. 1, Bloque 38	<i>E.J.1, Bloque XXIX</i>	Bloque con glifo único / Ilegible
31	E.J. 1, Bloque 39	<i>E.J.1, Bloque XXX</i>	Bloque con glifo único / Ilegible
32	E.J. 1, Bloque 40	<i>E.J.1, Bloque XXXI</i>	Bloque con glifo único / Ilegible
33	E.J. 1, Bloque 41	<i>E.J.1, Bloque XXXII</i>	Bloque con glifo único / Ilegible
34	E.J. 1, Bloque 42	<i>E.J.1, Bloque XXXIII</i>	Bloque con glifo único / Ilegible
35	E.J. 1, Bloque 43	<i>E.J.1, Bloque XXXIV</i>	Bloque con glifo único / Ilegible
36	E.J. 1, Bloque 44	<i>E.J.1, Bloque XXXV</i>	Bloque con glifo único / Ilegible
37	E.J. 1, Bloque 45	<i>E.J.1, Bloque XXXVI</i>	Bloque con glifo único / Ilegible

No. de Monumento	Nombre de monumento	Denominación previa	Descripción
38	E.J. 1, Bloque 46	<i>E.J.1, Bloque XXXVII</i>	Bloque con glifo único / Ilegible
39	E.J. 1, Bloque 47	<i>E.J.1, Bloque XXXVIII</i>	Bloque con glifo único / Ilegible
40	E.J. 1, Bloque 48	<i>E.J.1, Bloque XXXIX</i>	Bloque con glifo único / Ilegible
41	E.J. 1, Bloque 49	<i>E.J.1, Bloque XL</i>	Bloque con glifo único / Ilegible
42	E.J. 1, Bloque 50	<i>E.J.1, Bloque XLI</i>	Bloque con glifo único / Ilegible
43	E.J. 1, Bloque 51	<i>E.J.1, Bloque XLII</i>	Bloque con glifo único / Ilegible
44	E.J. 1, Bloque 52	<i>E.J.1, Bloque XLIII</i>	Bloque con glifo único / Ilegible
45	E.J. 1, Bloque 53	<i>E.J.1, Bloque XLIV</i>	Bloque con glifo único / Ilegible
46	E.J. 1, Bloque 54	<i>E.J.1, Bloque XLV</i>	Bloque con glifo único / Ilegible
47	E.J. 1, Bloque 55	<i>E.J.1, Bloque XLVI</i>	Bloque con glifo único / Ilegible
48	E.J. 1, Bloque 56	<i>E.J.1, Bloque XLVII</i>	Bloque con glifo único / Ilegible
49	E.J. 1, Bloque 57	<i>E.J.1, Bloque XLVIII</i>	Bloque con glifo único / Ilegible
50	E.J. 1, Bloque 58	<i>E.J.1, Bloque XLIX</i>	Bloque con glifo único / Ilegible
51	E.J. 1, Bloque 59	<i>E.J.1, Bloque L</i>	Bloque con glifo único / Ilegible
52	E.J. 1, Bloque 60	<i>E.J.1, Bloque LI</i>	Bloque con glifo único / Ilegible
53	E.J. 1, Bloque 61	<i>E.J.1, Bloque LII</i>	Bloque con glifo único / Ilegible
54	E.J. 1, Bloque 62	<i>E.J.1, Bloque LIII</i>	Bloque con glifo único / Ilegible
55	E.J. 1, Bloque 63	<i>E.J.1, Bloque LIV</i>	Bloque con glifo único / Ilegible
56	E.J. 1, Bloque 64	<i>E.J.1, Bloque LV</i>	Bloque con glifo único / Ilegible
57	E.J. 1, Bloque 65	<i>E.J.1, Bloque LVI</i>	Bloque con glifo único / Ilegible
58	E.J. 1, Bloque 66	<i>E.J.1, Bloque LVII</i>	Bloque con glifo único / Ilegible
59	E.J. 1, Bloque 67	<i>E.J.1, Bloque LVIII</i>	Bloque con glifo único / Ilegible
60	E.J. 1, Bloque 68	<i>E.J.1, Bloque LIX</i>	Bloque con glifo único / Ilegible
61	E.J. 1, Bloque 69	<i>E.J.1, Bloque LX</i>	Bloque con glifo único / Ilegible
62	E.J. 1, Bloque 70	<i>E.J.1, Bloque LXI</i>	Bloque con glifo único / Ilegible
63	E.J. 1, Bloque 71	<i>E.J.1, Bloque LXII</i>	Bloque con glifo único / Ilegible
64			Fragmento / Iconografía representando rostro con un signo k'an como ojo
65	E.J. 2, Bloque 9 / E.J. A, Bloque 20		Bloque de escalinata/ Menciona llegada de la esposa de <i>K'inich</i> ¿? <i>Yook</i> a La Corona
66	E.J. 2, Bloque 11 / E.J. A, Bloque 21		Bloque de escalinata/ Menciona el baile de flauta de pluma verde

No. de Monumento	Nombre de monumento	Denominación previa	Descripción
67	E.J. 2, Bloque 13 / E.J.A, Bloque 22	<i>E.J. 2, Bloque 1 de segunda fila de la</i>	Bloque de escalinata / Menciona el surgimiento de <i>Yich'aak K'ahk'</i> de una ubicación
68	E.J.2, Bloque 4		Bloque de escalinata / Menciona la muerte de <i>Yich'aak K'ahk'</i>
69	E.J.2, Bloque 10		Bloque de escalinata/ Menciona la captura de <i>K'in Kaloomb Chaak</i>
70	E.J.2, Bloque 1		Bloque de escalinata / Menciona a <i>K'inich Yax K'uk' Mo'</i>
71	E.J.2, Bloque 12		Bloque de escalinata / 8 glifos / Sin terminar
72	E.J.2, Bloque 2		Bloque de escalinata/ Muestra a Señor parado frente a incensario
73	E.J.2, Bloque 3		Bloque de escalinata / Muestra mujer sentada en un trono con un enano
74	E.J.2, Bloque 5	<i>"El Precioso"</i>	Panel glífico / Discute eventos de la vida de <i>Chak Ak'aach Yuk</i> / Menciona fecha en 2012
75	E.J.2, Bloque 6		Panel / Muestra a <i>Yajawte' K'inich</i> sentado en un trono
76	E.J.2, Bloque 7		Panel / Muestra a <i>Sak Maas</i> con una manopla
77	E.J.2, Bloque 8		Panel / Muestra a <i>Yuknoom Ch'een</i> con una manopla
78		<i>"Estela de Eduardo"</i>	Fragmento / Iconografía temprana con un signo k'an

Listado de Monumentos Saqueados

No. de Monumento saqueado	Nombre de monumento	Denominación previa del PRALC	OTRA denominación previa	Descripción
1	Panel 2		<i>Sitio Q, Panel 2 / Panel Detaille</i>	Panel glífico inciso/Discute eventos en las vidas de <i>Sak Maas, K'uk' Ajaw, Chakaw Nahb Chan</i> y <i>K'inich ¿? Yook</i>
2	Panel 2		<i>Sitio Q, Panel 2a</i>	Panel glífico inciso/Discute eventos en las vidas de <i>Sak Maas, K'uk' Ajaw, Chakaw Nahb Chan</i> y <i>K'inich ¿? Yook</i>
3	Panel 3		<i>Sitio Q, Panel 1 / Panel Grolier</i>	Panel jeroglífico / Describe eventos en la vida de <i>Chakaw Nahb Chan</i> / La otra mitad del panel no ha sido recuperada
4	Panel 4		<i>Sitio Q, Panel 4</i>	Panel jeroglífico/Describe el nacimiento de <i>Chak Ak'aach Yuk</i> / Inscripción incompleta
5	Panel 5		<i>Sitio Q, Panel A</i>	Catalogado por Peter Mathews / No hay imagen conocida
6a	Panel 6	<i>Altar 5</i>	<i>Tableta de Dallas / Altar de Dallas</i>	Altar o panel grande/Dos reinas de La Corona representadas/Lado izquierdo
6b	Panel 6	<i>Altar 5</i>	<i>Tableta de Dallas / Altar de Dallas</i>	Altar o panel grande/Dos reinas de La Corona representadas/Lado derecho
6c	Panel 6	<i>Altar 5</i>		Restos del monumento
7	E.J. A, Bloque 1	<i>E.J.3, Bloque I</i>	<i>Sitio Q, Panel Glífico A</i>	Bloque de escalinata jeroglífica/ Menciona la muerte del rey de Santa Elena
8	E.J. A, Bloque 2	<i>E.J.3, Bloque II</i>	<i>Sitio Q, Panel Glífico B</i>	Bloque de escalinata jeroglífica/ Menciona el entierro de los padres de <i>K'inich ¿? Yook</i>
9	E.J. A, Bloque 3	<i>E.J.3, Bloque III</i>	<i>Sitio Q, Panel Glífico D</i>	Bloque de escalinata jeroglífica/ Menciona el surgimiento de <i>Yich'aak K'ahk'</i> de una ubicación
10	E.J. A, Bloque 4	<i>E.J.3, Bloque IV</i>	<i>Sitio Q, Panel Glífico C</i>	Bloque de escalinata jeroglífica/Menciona el conjuro de <i>Ikiy</i> por <i>Sak Maas</i>
11	E.J. B, Bloque ?	<i>E.J.2, Bloque VI</i>	<i>Sitio Q, Panel Glífico 6</i>	Bloque de escalinata jeroglífica/Menciona el nacimiento de <i>Yich'aak K'ahk'</i>
12	E.J. B, Bloque ?	<i>E.J.2, Bloque VII</i>	<i>Sitio Q, Panel Glífico 7</i>	Bloque de escalinata jeroglífica/Menciona la dedicación de la casa de <i>K'ahk' Way Na's</i>
13	E.J. B, Bloque ?	<i>E.J.2, Bloque VIII</i>	<i>Sitio Q, Panel Glífico 1</i>	Bloque de escalinata jeroglífica/ 6 glifos/ Fecha de serie inicial
14	E.J. B, Bloque ?	<i>E.J.2, Bloque IX</i>	<i>Sitio Q, Panel Glífico 9</i>	Bloque de escalinata jeroglífica/ Menciona juego de pelota
15a	E.J. B, Bloque ?	<i>E.J.2, Bloque X</i>	<i>Sitio Q, Panel Glífico 4</i>	Bloque de escalinata jeroglífica/ Menciona juego de pelota por <i>Yich'aak K'ahk'</i>
15b	E.J. B, Bloque ?	<i>E.J.2, Bloque X</i>		Restos del monumento
16	E.J. B, Bloque ?	<i>E.J.2, Bloque XI</i>	<i>Sitio Q, Panel Glífico 8</i>	Bloque de escalinata jeroglífica/Menciona el séptimo señorío
17	E.J. B, Bloque ?	<i>E.J.2, Bloque XII</i>	<i>Sitio Q, Panel Glífico 3</i>	Bloque de escalinata jeroglífica/6 glifos/Calendárico
18	E.J. B, Bloque ?	<i>E.J.2, Bloque XIII</i>	<i>Sitio Q, Panel Glífico 5</i>	Bloque de escalinata jeroglífica/6 glifos / <i>K'ahk' Way Na'</i> es testigo de algo
19	E.J. B, Bloque ?	<i>E.J.2, Bloque XIV</i>	<i>Sitio Q, Panel Glífico 11</i>	Bloque de escalinata jeroglífica/6 glifos/Menciona un casco

No. de Monumento saqueado	Nombre de monumento	Denominación previa del PRALC	OTRA denominación previa	Descripción
20	E.J. B, Bloque ?	Misc. 4	Sitio Q, Panel Glífico 10	Bloque de escalinata jeroglífica/ 4 glifos / Serie Inicial
21	E.J. B, Bloque ?	Misc. 5	Sitio Q, Panel Glífico 2	Bloque de escalinata jeroglífica / 4 glifos / Calendárico
22	E.J. B, Bloque ?	E.J.2, Bloque I	Sitio Q, Panel 2 de jugadores del pelota	Bloque de escalinata jeroglífica/Jugador de pelota viendo hacia la derecha
23	E.J. B, Bloque ?	E.J.2, Bloque II	Sitio Q, Panel 4 de jugadores del pelota	Bloque de escalinata jeroglífica/Jugador de pelota viendo hacia la izquierda
24	E.J. B, Bloque ?	E.J.2, Bloque III	Sitio Q, Panel 3 de jugadores del pelota	Bloque de escalinata jeroglífica/Jugador de pelota viendo hacia la izquierda
25	E.J. B, Bloque ?	E.J.2, Bloque IV	Sitio Q, Panel 6 de jugadores del pelota	Bloque de escalinata jeroglífica/Jugador de pelota viendo hacia la derecha
26	E.J. B, Bloque ?	E.J.2, Bloque V	Sitio Q, Panel 5 de jugadores del pelota	Bloque de escalinata jeroglífica/Jugador de pelota viendo hacia la izquierda
27	E.J. B, Bloque ?	Misc. 1	Sitio Q, Panel 1 de jugadores del pelota	Panel pequeño/ Representa a <i>Chak Ak'aach Yuk</i> jugando pelota en Calakmul
28		Misc. 2	Sitio Q, Panel 3	Panel / Representa a <i>Chakaw Nahb Chan</i> con su esposa
29		Misc. 3	Estela 5	Panel / Menciona la construcción de <i>Akan</i>
30	E.J. 1, Bloque 1	E.J.1, Bloque I		Bloque con un solo glifo / Se lee <i>yajawte'</i>
31	E.J. 1, Bloque 2	E.J.1, Bloque II		Bloque con un solo glifo / Contiene el glifo <i>chak</i> (rojo)
32	E.J. 1, Bloque 3	E.J.1, Bloque III		Bloque con un solo glifo / Se lee <i>k'uhul</i>
33	E.J. 1, Bloque 4	E.J.1, Bloque IV		Bloque con un solo glifo/ Se lee <i>ixik</i>
34	E.J. 1, Bloque 5	E.J.1, Bloque V		Bloque con un solo glifo / Probablemente con fecha 3 Keh
35	E.J.1, Bloque6	E.J.1, Bloque VI		Bloque con un solo glifo/ Contiene sílaba <i>-bu</i>
36	E.J.1, Bloque7	E.J.1, Bloque VII		Bloque con un solo glifo/ Podría contener <i>ha</i> (agua)
37	E.J.1, Bloque8	E.J.1, Bloque VIII		Bloque con un solo glifo/ Ilegible
38	E.J.1, Bloque9	E.J.1, Bloque IX		Bloque con un solo glifo/ Ilegible
39	E.J.1, Bloque10	E.J.1, Bloque X		Bloque con un solo glifo/Podría contener la sílaba <i>-tz'a</i>
40	E.J.1, Bloque11	E.J.1, Bloque XI		Bloque con un solo glifo/Ilegible
41	E.J.1, Bloque12	E.J.1, Bloque XII		Bloque con un solo glifo/Se lee <i>ch'een</i> (cueva/ciudad)
42a	Altar 5			Restos de monumento / Sin pareja conocida
43	E.J.A, Bloque5	E.J.A, Bloque VII	"Bloque de Stanley"	Bloque de escalinata jeroglífica/ Menciona un evento atestiguado por el Kaloonte'
44	E.J.1, Bloque13	E.J.1, Bloque XIII		Bloque con un solo glifo / Se lee <i>ma'ak'abil</i> (sin oscuridad)
45	E.J.1, Bloque14	E.J.1, Bloque XIV		Bloque de escalinata jeroglífica / Bloques de 6-8 glifos / Ilegible
46	E.J.1, Bloque15	E.J.1, Bloque XV		Bloque con un solo glifo/ Ilegible

No. de Monumento saqueado	Nombre de monumento	Denominación previa del PRALC	OTRA denominación previa	Descripción
47	E.J.1, Bloque16	<i>E.J.1, Bloque XVI</i>		Bloque con un solo glifo / Ilegible
48	E.J.1, Bloque17	<i>E.J.1, Bloque XVII</i>		Bloque con un solo glifo / Ilegible
49	E.J.1, Bloque18	<i>E.J.1, Bloque XVIII</i>		Bloque con un solo glifo/ Ilegible
50	E.J.1, Bloque19	<i>E.J.1, Bloque XIX</i>		Bloque con un solo glifo/ Ilegible
51	E.J.1, Bloque20	<i>E.J.1, Bloque XX</i>		Bloque con un solo glifo/ Ilegible
52	E.J.1, Bloque21	<i>E.J.1, Bloque XXI</i>		Bloque con un solo glifo/ Ilegible
53	E.J.1, Bloque22	<i>E.J.1, Bloque XXII</i>		Bloque con un solo glifo/ Ilegible
54	E.J.A, Bloque 6	<i>E.J. 3, Bloque V</i>	K9126	Bloque de escalinata jeroglífica / Menciona el nacimiento de <i>Janahb</i>
55	E.J.A, Bloque 7	<i>E.J. 3, Bloque VI</i>	K9128	Bloque de escalinata jeroglífica / Menciona la construcción de la Casa 11 Ajaw
56	E.J.A, Bloque 8	<i>E.J. 3, Bloque VIII</i>	K9127	Bloque de escalinata jeroglífica / Menciona que <i>K'inich ¿? Yook</i> bebe y da pulque
57		<i>Misc. 6</i>		Bloque con un solo glifo/ Ilegible
58		<i>Misc. 7</i>		Bloque con un solo glifo/ Se lee xu-ba-ba-Te'
59		<i>E.J. 2, Bloque XV</i>	<i>"Bloque Mexicon / de Mateo"</i>	Bloque de escalinata jeroglífica / 6 glifos / Menciona la promoción de <i>K'ahk' Way Na'</i>
60		<i>Misc. 8</i>	<i>06-2011/PH / "Bloque Quenon"</i>	Panel o bloque de escalinata jeroglífica / Bloques de 6 glifos/ Menciona la dedicación de un complejo de 5 plataformas
61	E.J.A, Bloque 9	<i>E.J. 3, Bloque IX</i>	<i>E.J.2, Bloque Saqueado 17</i>	Bloque de escalinata jeroglífica / Casi todo ilegible / Fecha de fin de período con error de escriba
62	E.J.A, Bloque 10	<i>E.J. 3, Bloque X</i>	<i>E.J.2, Bloque Saqueado 21</i>	Bloque de escalinata jeroglífica/ Casi todo ilegible/ Menciona a <i>K'inich ¿? Yook</i>
63	E.J.A, Bloque 11		<i>E.J.2, Bloque Saqueado 15</i>	Bloque de escalinata jeroglífica/ Casi todo ilegible/ Contiene fecha 9 Lamat 16 Yax
64	E.J.A, Bloque 12		<i>E.J.2, Bloque Saqueado 22</i>	Bloque de escalinata jeroglífica / Menciona a <i>K'inich ¿? Yook</i> , un Ajaw de 5 K'atunes
65	E.J.A, Bloque 13		<i>E.J.2, Bloque Saqueado 14</i>	Bloque de escalinata jeroglífica/Menciona la llegada de <i>K'inich ¿? Yook</i> en La Corona después de la muerte de sus padres
66	E.J.A, Bloque 14		<i>E.J.2, Bloque Saqueado 18</i>	Bloque de escalinata jeroglífica/Menciona el conjuro de <i>Ikiiy</i> por <i>K'inich ¿? Yook</i>
67	E.J.A, Bloque 15		<i>E.J.2, Bloque Saqueado 16</i>	Bloque de escalinata jeroglífica / Menciona el viaje de <i>K'inich ¿? Yook</i> a Calakmul
68	E.J.A, Bloque 16		<i>E.J.2, Bloque Saqueado 23</i>	Bloque de escalinata jeroglífica / Casi todo ilegible / Coeficiente visible 13
69	E.J.A, Bloque 17		<i>E.J.2, Bloque Saqueado 24</i>	Bloque de escalinata jeroglífica / Casi todo ilegible / Contiene número de distancia y el nombre de una mujer
70	E.J.A, Bloque 18		<i>E.J.2, Bloque Saqueado 19</i>	Bloque de escalinata jeroglífica/ Discute eventos (posible guerra) involucrando a <i>Aj Wak'ib</i>
71	E.J.A, Bloque 19		<i>E.J.2, Bloque Saqueado 20</i>	Bloque de escalinata jeroglífica/Menciona a <i>Aj Wak'ib</i> y finaliza con <i>chekaj</i>

